



เครื่องวิเคราะห์สเปกตรัมควบคุมด้วยคอมพิวเตอร์
COMPUTER CONTROLLED SPECTRUM ANALYZER



ปริญญานิพนธ์นี้เป็นส่วนหนึ่งของการศึกษาตามหลักสูตรปริญญาวิศวกรรมศาสตรบัณฑิต
สาขาวิชาวิศวกรรมโทรคมนาคม
สถาบันเทคโนโลยีพระจอมเกล้าเจ้าคุณทหารลาดกระบัง
ปีการศึกษา 2542

เอกสารนี้เป็นเอกสารที่สงวนไว้สำหรับการใช้งานเพื่อการศึกษาเท่านั้น ไม่อนุญาตให้นำไปใช้ประโยชน์ด้านการค้า
ไม่ว่ากรณีใดๆ ทั้งสิ้น อีกทั้งห้ามมิให้ตัดแปลงเนื้อหาและต้องอ้างอิงถึงเจ้าของเอกสารทุกครั้งที่มีการนำไปใช้

041813

เครื่องวิเคราะห์สเปกตรัมควบคุมด้วยคอมพิวเตอร์
COMPUTER CONTROLLED SPECTRUM ANALYZER

โดย

นายจักรพงษ์ คำลือวง 40013042

นายธีรชัย สว่างวาริ 40013052

อาจารย์ที่ปรึกษา

ดร. สุทธิชัย นพนาถิพงษ์

ปริญญานิพนธ์นี้เป็นส่วนหนึ่งของการศึกษาตามหลักสูตรปริญญาวิศวกรรมศาสตรบัณฑิต

สาขาวิชาวิศวกรรมโทรคมนาคม

สถาบันเทคโนโลยีพระจอมเกล้าเจ้าคุณทหารลาดกระบัง

ปีการศึกษา 2542

เอกสารนี้เป็นเอกสารที่สงวนไว้สำหรับการใช้งานเพื่อการศึกษาเท่านั้น ไม่อนุญาตให้นำไปใช้ประโยชน์ด้านการค้า
ไม่ว่ากรณีใดๆ ทั้งสิ้น อีกทั้งห้ามมิให้ตัดแปลงเนื้อหาและต้องอ้างอิงถึงเจ้าของเอกสารทุกครั้งที่มีการนำไปใช้

เครื่องวิเคราะห์สเปกตรัมควบคุมด้วยคอมพิวเตอร์

COMPUTER CONTROLLED SPECTRUM ANALYZER

โดย นายจักรพงษ์ ลำลือวง 40013042

นายธีรชัย สว่างวาริ 40013052

อาจารย์ที่ปรึกษา ดร. สุทธิชัย นพนาถิพงษ์

บทคัดย่อ

เครื่องวิเคราะห์สเปกตรัมนี้เป็นเครื่องมือที่ใช้วิเคราะห์สัญญาณความถี่ต่างๆ เช่นสัญญาณความถี่วิทยุ(Radio Frequency) เป็นต้น ซึ่งในโครงการนี้จะใช้คอมพิวเตอร์ควบคุมการวิเคราะห์สัญญาณ โดยมีลักษณะเป็นการวัดเปรียบเทียบกับคอมพิวเตอร์ส่วนบุคคล และควบคุมการทำงานทั้งหมด รวมทั้งแสดงผลด้วยคอมพิวเตอร์ การทำงานของเครื่องวิเคราะห์สเปกตรัมนี้จะประกอบด้วยส่วนใหญ่ๆ 2 ส่วน คือ ฮาร์ดแวร์(Hardware) และ ซอฟต์แวร์(Software) โดยฮาร์ดแวร์คือการวัดที่ทำหน้าที่แปลงสัญญาณอนาล็อกไปเป็นสัญญาณดิจิทัลและติดต่อสื่อสารกับคอมพิวเตอร์ได้ ส่วนซอฟต์แวร์ใช้หลักการแปลงสัญญาณอินพุตด้วยวิธีฟูเรียร์ทรานส์ฟอร์ม (Fast Fourier Transform) สามารถวิเคราะห์สเปกตรัมที่มีความถี่ต่างๆได้ และจะเป็นเครื่องวิเคราะห์สเปกตรัมที่ราคาประหยัด เมื่อเทียบกับเครื่องวิเคราะห์สเปกตรัมทั่วไป สามารถวิเคราะห์สัญญาณที่มีความถี่ตั้งแต่ 10 กิโลเฮิร์ต ถึง 5 เมกกะเฮิร์ต

ABSTRACT

A frequency analyzer is an auxiliary tool that is used for analyzing frequency such as radio frequency etc. That is we will use the computer to control frequency analysis by using a computer card as a medium to communicate with the computer and control all of operation. In addition an analytical result will be displayed on the computer scene. The computer controlled spectrum analyzer operation can be separate into two part. The first one is a hardware card is used to transform an analog signal to be a digital signal and communicate with computer. The second one is a software that using fourier transtorm technique, finally advantage of using computer as the frequency analyzer bring us into a save way.It can be used in frequency range of 10 kHz to 5 MHz.

เอกสารนี้เป็นเอกสารที่สงวนไว้สำหรับการใช้งานเพื่อการศึกษาเท่านั้น ไม่อนุญาตให้นำไปใช้ประโยชน์ด้านการค้าไม่ว่ากรณีใดๆ ทั้งสิ้น อีกทั้งห้ามมิให้ตัดแปลงเนื้อหาและต้องอ้างอิงถึงเจ้าของเอกสารทุกครั้งที่มีการนำไปใช้

ปริญญาโทปีการศึกษา 2542

ภาควิชาวิศวกรรมโทรคมนาคม

คณะวิศวกรรมศาสตร์ สถาบันเทคโนโลยีพระจอมเกล้าเจ้าคุณทหารลาดกระบัง

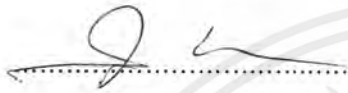
เรื่อง เครื่องวิเคราะห์สเปกตรัมควบคุมด้วยคอมพิวเตอร์

COMPUTER CONTROLLED SPECTRUM ANALYZER

ผู้จัดทำ

1. นายจักรพงษ์ คำลือวงศ์ 40013042

2. นายธีรชัย สว่างวาริ 40013052



อาจารย์ที่ปรึกษา

(ดร. สุทธิชัย นพนาถิพงษ์)



เอกสารนี้เป็นเอกสารที่สงวนไว้สำหรับการใช้งานเพื่อการศึกษาเท่านั้น ไม่อนุญาตให้นำไปใช้ประโยชน์ด้านการค้า
ไม่ว่ากรณีใดๆ ทั้งสิ้น อีกทั้งห้ามมิให้ตัดแปลงเนื้อหาและต้องอ้างอิงถึงเจ้าของเอกสารทุกครั้งที่มีการนำไปใช้

สารบัญ

	หน้า
บทที่ 1 บทนำ	1
บทที่ 2 ทฤษฎีหรือหลักการ	2
2.1 ทฤษฎีฟาสต์ฟูเรียร์ทรานส์ฟอร์ม	2
2.1.1 ทฤษฎีดีสครีทฟูเรียร์ทรานส์ฟอร์ม	2
2.1.2 ทฤษฎีดีสครีทฟูเรียร์ทรานส์ฟอร์มและวิธีการแบบบัตเตอร์ฟลาย	4
2.1.3 คุณสมบัติและเทคนิคช่วยแปลงฟูเรียร์อย่างรวดเร็ว	7
2.1.4 การคำนวณ โดยใช้คอมพิวเตอร์	12
2.1.5 ตัวอย่างการคำนวณหาฟาสต์ฟูเรียร์ทรานส์ฟอร์ม	13
2.2 การแปลงสัญญาณอนาล็อกเป็นสัญญาณดิจิทัล	18
2.2.1 รูปแบบการแปลงสัญญาณอนาล็อกเป็นสัญญาณดิจิทัล	20
2.2.2 แพลตฟอร์มการแปลงสัญญาณอนาล็อกเป็นดิจิทัล	21
2.3 วงจรตามศักดาสัญญาณ	23
2.4 ช่วงตอบสนองต่อความถี่ของออปแอมป์	24
2.4.1 การหาค่าความถี่ภายในวงจรออปแอมป์	24
2.4.2 กราฟการตอบสนองต่อความถี่ภายในออปแอมป์	24
2.4.3 เวลาเพิ่มระดับ	26
2.4.4 อัตราสลับและศักดาสัญญาณออก	26
2.5 ตำแหน่งขาต่างๆบนสล็อต ISA	28
2.5.1 รายละเอียดเกี่ยวกับสัญญาณต่างๆบนสล็อต	30
บทที่ 3 หลักการทำงานและการคำนวณ	32
3.1 หลักการทำงานพื้นฐาน	32
3.2 หลักการทำงานของวงจร	32
3.2.1 วงจรเอทวูดี (A/D)	39
3.2.2 วงจรหน่วยความจำ	42
3.2.3 วงจรนับ	44
3.2.4 วงจรผลิตสัญญาณนาฬิกา	47
3.2.5 วงจรถอดรหัส	50
3.3 หลักการเขียนโปรแกรม	53
บทที่ 4 การทดลองและผลการทดลอง	61
4.1 การทดลองวงจรโดยการทดสอบสั่งงานทางลอจิก (Logic)	61
4.1.1 การทดลองวงจรเอทวูดี	61
4.1.2 การทดลองวงจรผลิตสัญญาณนาฬิกา	65

เอกสารนี้เป็นเอกสารที่สงวนไว้สำหรับการใช้งานเพื่อการศึกษาเท่านั้น ไม่อนุญาตให้นำไปใช้ประโยชน์ด้านการค้า
ไม่ว่ากรณีใดๆ ทั้งสิ้น อีกทั้งห้ามมิให้ตัดแปลงเนื้อหาและต้องอ้างอิงถึงเจ้าของเอกสารทุกครั้งที่มีการนำไปใช้

	หน้า
4.1.3 การทดลองวงจรนับ	67
4.1.4 การทดลองวงจรถอครหัส	67
4.2 การทดลองวงจร โดยการทดสอบสั่งงานด้วยคอมพิวเตอร์	68
4.2.1 การทดลองติดต่อกับคอมพิวเตอร์	68
4.2.2 การทดลองโปรแกรมโดยใช้โหมดปกติ	71
4.2.3 การนำไปทดลองวัดสัญญาณ	72
4.3 แผนภาพ(Flowchart) การทำงานของโปรแกรม	85
บทที่ 5 บทวิจารณ์และสรุปผลการทดลอง	88
ภาคผนวก	
กิตติกรรมประกาศ	
หนังสืออ้างอิง	



เอกสารนี้เป็นเอกสารที่สงวนไว้สำหรับการใช้งานเพื่อการศึกษาเท่านั้น ไม่อนุญาตให้นำไปใช้ประโยชน์ด้านการค้า
ไม่ว่ากรณีใดๆ ทั้งสิ้น อีกทั้งห้ามมิให้ตัดแปลงเนื้อหาและต้องอ้างอิงถึงเจ้าของเอกสารทุกครั้งที่มีการนำไปใช้

สารบัญญภาพ

		หน้า
รูปที่ 2.1	ดิศกริทฟูเรียร์ทรานส์ฟอร์ม	2
รูปที่ 2.2	การหาค่า 8 จุดฟาสต์ฟูเรียร์ทรานส์ฟอร์ม	6
รูปที่ 2.3	การหาค่า 8 จุดฟาสต์ฟูเรียร์ทรานส์ฟอร์ม	7
รูปที่ 2.4	หลักการคำนวณโดยใช้บัคเตอร์ฟลายเดียว	13
รูปที่ 2.5	อินพุท 16 จุดฟาสต์ฟูเรียร์ทรานส์ฟอร์ม	14
รูปที่ 2.6	เอาต์พุท 16 จุดฟาสต์ฟูเรียร์ทรานส์ฟอร์ม	14
รูปที่ 2.7	การสุ่มข้อมูลต่างๆจากฟังก์ชัน $\cos(3t) + \sin(10t)$	15
รูปที่ 2.8	ฟังก์ชันซายน์, โคซายน์ และผลลัพธ์ที่ได้จากฟูเรียร์ทรานส์ฟอร์ม	15
รูปที่ 2.9	วิธีการหาฟาสต์ฟูเรียร์ทรานส์ฟอร์ม 32 จุด	16
รูปที่ 2.10	การพล็อตค่าต่างๆบนแกนความถี่	18
รูปที่ 2.11	ระบบควบคุมที่มีการประมวลข้อมูลแบบดิจิทัล	19
รูปที่ 2.12	รูปแสดงการแซมปลิ่ง	20
รูปที่ 2.13	รูปแสดงลักษณะสัญญาณของภาคควอนไทซ์และการเข้ารหัส	21
รูปที่ 2.14	รูปแสดงวงจร Flash A/D	22
รูปที่ 2.15	รูปแสดงหลักการของ Open Loop Converter	22
รูปที่ 2.16	แสดงวงจรตามศักดาสัญญาณ	23
รูปที่ 2.17	กราฟการตอบสนองต่อความถี่	24
รูปที่ 2.18	ตัวอย่างผลของอัตราสุ่มซึ่งมีต่อสัญญาณออก	28
รูปที่ 2.19	แสดงตำแหน่งขาบนสล็อตของ ISA	29
รูปที่ 3.1	บล็อก ไดอะแกรม	32
รูปที่ 3.2	บล็อก ไดอะแกรมหลักการทำงานของวงจร	33
รูปที่ 3.3	การ์ดแปลงสัญญาณอนาล็อกเป็นสัญญาณดิจิทัล	38
รูปที่ 3.4	บล็อก ไดอะแกรมแสดงการ์ดแปลงสัญญาณอนาล็อกเป็นสัญญาณดิจิทัล	38
รูปที่ 3.5	วงจรเอพูตี	40
รูปที่ 3.6	วงจรหน่วยความจำ	43
รูปที่ 3.7	วงจรมับ	45
รูปที่ 3.8	วงจรผลิตสัญญาณนาฬิกา	48
รูปที่ 3.9	วงจรถอดรหัส	52
รูปที่ 3.10	กราฟ 8 จุด ฟาสต์ฟูเรียร์ทรานส์ฟอร์ม (อินพุทกลับบิต)	54
รูปที่ 3.11	กราฟ 8 จุด ฟาสต์ฟูเรียร์ทรานส์ฟอร์ม (อินพุทไม่กลับบิต)	55
รูปที่ 3.12	บัคเตอร์ฟลายเดียว	56

เอกสารนี้เป็นเอกสารที่สงวนไว้สำหรับการใช้งานเพื่อการศึกษาเท่านั้น ไม่อนุญาตให้นำไปใช้ประโยชน์ด้านการค้า ไม่ว่าจะกรณีใดๆ ทั้งสิ้น อีกทั้งห้ามมิให้ดัดแปลงเนื้อหาและต้องอ้างอิงถึงเจ้าของเอกสารทุกครั้งที่มีการนำไปใช้

สารบัญภาพ(ต่อ)

		หน้า
รูปที่ 4.1	สัญญาณที่ขาอินพุตเตอร์ของ ขา Q1	61
รูปที่ 4.2	สัญญาณอินพุท	62
รูปที่ 4.3	สัญญาณเอาต์พุทของตัวป้องกันเอพูดี	63
รูปที่ 4.4	สัญญาณบิตที่ 1	64
รูปที่ 4.5	สัญญาณบิตที่ 2	64
รูปที่ 4.6	สัญญาณจากคล็อกความถี่ 10 เม็กกะเฮิร์ต	65
รูปที่ 4.7	สัญญาณจากคล็อกความถี่ 78.12 กิโลเฮิร์ต	66
รูปที่ 4.8	แสดงเมนูหลักของโปรแกรม	72
รูปที่ 4.9	แสดงผลการวัดสัญญาณชาชนัน 10 กิโลเฮิร์ต เทียบกับอินพุท	73
รูปที่ 4.10	แสดงผลการวัดสัญญาณสี่เหลี่ยม 10 กิโลเฮิร์ต เทียบกับอินพุท	74
รูปที่ 4.11	แสดงผลการวัดสัญญาณสามเหลี่ยม 10 กิโลเฮิร์ต เทียบกับอินพุท	75
รูปที่ 4.12	แสดงผลการวัดสัญญาณชาชนัน 100 กิโลเฮิร์ต เทียบกับอินพุท	76
รูปที่ 4.13	แสดงผลการวัดสัญญาณสี่เหลี่ยม 100 กิโลเฮิร์ต เทียบกับอินพุท	77
รูปที่ 4.14	แสดงผลการวัดสัญญาณสามเหลี่ยม 100 กิโลเฮิร์ต เทียบกับอินพุท	78
รูปที่ 4.15	แสดงผลการวัดสัญญาณชาชนัน 1 เม็กกะเฮิร์ต เทียบกับอินพุท	79
รูปที่ 4.16	แสดงผลการวัดสัญญาณสี่เหลี่ยม 1 เม็กกะเฮิร์ต เทียบกับอินพุท	80
รูปที่ 4.17	แสดงผลการวัดสัญญาณสี่เหลี่ยม 2 เม็กกะเฮิร์ต เทียบกับอินพุท	81
รูปที่ 4.18	แสดงผลการวัดสัญญาณชาชนัน 2 เม็กกะเฮิร์ต เทียบกับอินพุท	82
รูปที่ 4.19	แสดงผลการวัดสัญญาณชาชนัน 4.5 เม็กกะเฮิร์ต เทียบกับอินพุท	83
รูปที่ 4.20	แสดงผลการวัดสัญญาณสี่เหลี่ยม 5 เม็กกะเฮิร์ต เทียบกับอินพุท	84
รูปที่ 4.21	แผนภาพการทำงานของโปรแกรมสเปคตรัมอะนาไลเซอร์	85
รูปที่ 4.22	แผนภาพการทำงานส่วน โมดูล (module) ฟาสต์ฟูเรียร์ทรานส์ฟอร์ม	86
รูปที่ 4.23	แผนภาพการสร้างกราฟและแสดงผล	87

เอกสารนี้เป็นเอกสารที่สงวนไว้สำหรับการใช้งานเพื่อการศึกษาเท่านั้น ไม่อนุญาตให้นำไปใช้ประโยชน์ด้านการค้า ไม่ว่าจะกรณีใดๆ ทั้งสิ้น อีกทั้งห้ามมิให้ตัดแปลงเนื้อหาและต้องอ้างอิงถึงเจ้าของเอกสารทุกครั้งที่มีการนำไปใช้

สารบัญตาราง

	หน้า
ตารางที่ 2.1 Bit-reversed order for $N = 8$	12
ตารางที่ 2.2 เปรียบเทียบจำนวนการคำนวณระหว่างคิสิกกรีทฟูเรียร์และฟาสต์ฟูเรียร์ทรานส์ฟอร์ม	13
ตารางที่ 2.3 ข้อมูลต่างๆที่ได้จากการคำนวณ โดยวิธีฟาสต์ฟูเรียร์ทรานส์ฟอร์ม	17
ตารางที่ 3.1 แสดงหมายเลขพอร์ทที่ใช้เลือกความถี่สัญญาณนาฬิกา	36
ตารางที่ 3.2 แสดงหมายเลขพอร์ทที่ใช้เลือกสัญญาณควบคุม	36
ตารางที่ 3.3 ความถี่ของสัญญาณนาฬิกาที่ขาต่างๆ	49
ตารางที่ 3.4 การถอดรหัสที่เอาท์พุทของ U12	50
ตารางที่ 3.5 การถอดรหัสของ U14	51
ตารางที่ 3.6 การถอดรหัสของ U12	51
ตารางที่ 4.1 แสดงความถี่ที่ได้จากวงจรผลิตความถี่	66
ตารางที่ 4.2 แสดงสัญญาณที่ขาเอาท์พุทของ U14	67
ตารางที่ 4.3 แสดงเอาท์พุทของ U13	68



บทที่ 1

บทนำ

สเปกตรัมอะนาไลเซอร์เป็นเครื่องมือวัดที่สำคัญตัวหนึ่งในงานด้านการสื่อสารและอิเล็กทรอนิกส์ทั่วไป หากย้อนไปดูประวัติของเครื่องมือวัดตัวนี้จะเห็นการพัฒนาอย่างต่อเนื่องจนถึงปัจจุบันได้มีการใช้ไมโครโปรเซสเซอร์เข้ามาช่วยประมวลผล เปลี่ยนชุดแสดงผลเป็นระบบดิจิทัลปรับปรุงชุดออสซิลเลเตอร์ให้เป็นแบบ Synthesizer และอื่นๆอีกมาก ทำให้สเปกตรัมอะนาไลเซอร์ใช้งานได้ง่ายขึ้น และมีความเที่ยงตรงสูง

สเปกตรัมอะนาไลเซอร์เป็นเครื่องมือที่ทำหน้าที่แยกกระจายองค์ประกอบของสัญญาณที่วัดออกจากรันตามความถี่ และแสดงผลขององค์ประกอบนั้นๆบนจอภาพ โดยมีแกนอน(แกน X)แสดงความถี่ ส่วนแกนตั้ง (แกน Y) จะแสดงค่าความแรง(Amplitude) ของตัวองค์ประกอบแต่ละตัวในปัจจุบันสเปกตรัมอะนาไลเซอร์มี 2 ระบบคือ Super Heterodyne และ FFT ระบบ Super Heterodyne เป็นระบบที่ใช้ทั่วไปในปัจจุบัน สเปกตรัมอะนาไลเซอร์ ซึ่งใช้ระบบนี้จะแยกออกเป็น 2 ชนิดตามย่านความถี่ที่ใช้งานคือ ย่าน RF(Radio Frequency) และย่าน Microwave ส่วนระบบ FFT นั้นจากความก้าวหน้าของเทคโนโลยีดิจิทัล ระบบนี้จะอ่านสัญญาณอินพุตซึ่งเป็นอนาล็อก และเปลี่ยนสัญญาณเป็นดิจิทัลด้วย A-D Converter จากนั้นจะใช้กรรมวิธี Fast Fourier Transform (FFT) หาค่า Amplitude เทียบกับความถี่ หรือค่า Phase เทียบกับความถี่ออกมาแสดงผล

เนื่องจากเครื่องสเปกตรัมอะนาไลเซอร์ ในปัจจุบันจะมีราคาสูงมากจึงมีการพัฒนานำคอมพิวเตอร์ (Computer) ซึ่งจะมีราคาถูกกว่าเครื่องสเปกตรัมอะนาไลเซอร์มาใช้งานโดยเฉพาะเพื่อเป็นเครื่องสเปกตรัมอะนาไลเซอร์ที่วิเคราะห์สัญญาณต่างๆ โดยการสร้างการ์ด(Card)มีลักษณะเฉพาะขึ้นมาเพื่อใช้งานกับคอมพิวเตอร์ โดยตัวการ์ดนี้สามารถแปลงสัญญาณอนาล็อก (Analog Signal) ไปเป็นสัญญาณดิจิทัล(Digital Signal) ที่ความถี่สูงๆได้ แล้วประกอบกับส่วนของ โปรแกรมที่ทำการเปลี่ยนข้อมูลได้ซึ่งเป็นค่าแอมพลิจูด (Amplitude) ให้อยู่ในรูปจำนวนเชิงซ้อน (Complex Number) โดยกำหนดให้ข้อมูลที่ได้เป็นข้อมูลจริง (Real Number) และกำหนดให้ข้อมูลจินตภาพ(Imaginary) มีค่าเป็น "0" โดยข้อมูลที่ได้จะเป็นค่าแอมพลิจูดเชิงเวลา(Time Domain) แล้วทำการเปลี่ยนข้อมูลเชิงเวลาให้อยู่ในรูปของข้อมูลเชิงความถี่(Frequency Domain) โดยใช้วิธีการของฟาสต์ฟูเรียร์ทรานส์ฟอร์มที่เรียกว่าบัตเตอร์ฟลาย (Butterfly) จากนั้นนำข้อมูลที่ได้ไปแสดงผลออกทางจอคอมพิวเตอร์

จะเห็นได้ว่าโครงการนี้เทียบเท่ากับเครื่องสเปกตรัมอะนาไลเซอร์เครื่องหนึ่งที่ใช้คอมพิวเตอร์เป็นตัวควบคุมโดยผ่านทางสล๊อต(Slot)คอมพิวเตอร์

บทที่ 2

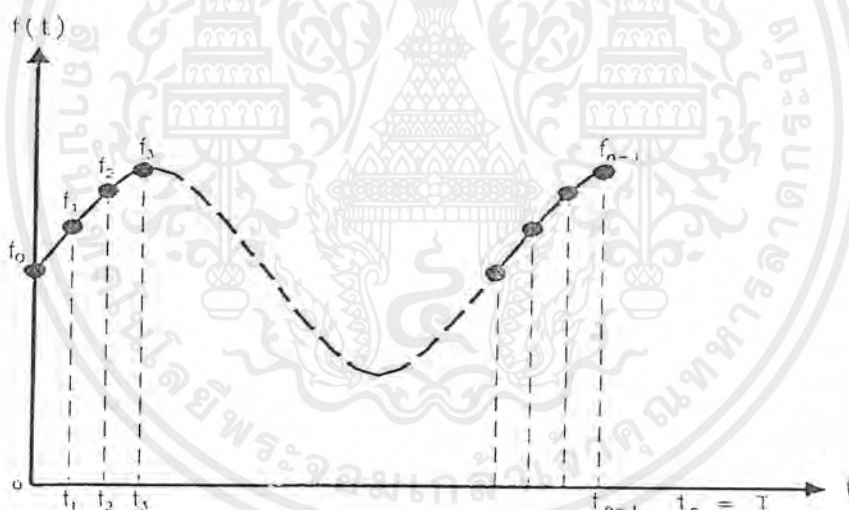
ทฤษฎีหรือหลักการ

2.1 ทฤษฎีฟูรีเยร์ทรานส์ฟอร์ม (FFT)

การคำนวณฟูรีเยร์เพื่อให้สามารถคำนวณได้เร็วขึ้น โดยจะใช้ทฤษฎีฟูรีเยร์ทรานส์ฟอร์ม ดังนั้นจึงจำเป็นต้องทำการศึกษาและทำความเข้าใจทฤษฎีดิสครีตทรานส์ฟอร์มเสียก่อน ซึ่งจะเห็นได้ว่าฟูรีเยร์ทรานส์ฟอร์มนั้นเป็นการพัฒนามาจากดิสครีตทรานส์ฟอร์มจะทำให้คำนวณได้เร็วกว่าประมาณ 10 เท่า

2.1.1 ทฤษฎีดิสครีตฟูรีเยร์ทรานส์ฟอร์ม (THE DISCRETE FOURIER TRANSFORM)

ดิสครีตฟูรีเยร์ทรานส์ฟอร์มเป็นการแปลงฟูรีเยร์แบบไม่ต่อเนื่อง โดยข้อมูลที่สุ่มเข้ามาจะต้องเริ่มจากค่า "0" จนถึงค่า "T" ดังรูปที่ 2.1 โดยให้ค่า N เป็นจำนวนการสุ่มข้อมูลทั้งหมด โดยมี เวลา t_n เป็นเวลาในการสุ่มข้อมูล และค่า f_n เป็นค่าของฟังก์ชันต่อเนื่องตามการสุ่มของ t_n ใดๆ



รูปที่ 2.1 ดิสครีตฟูรีเยร์ทรานส์ฟอร์ม

โดยข้อมูลจะอยู่ที่ตำแหน่ง $n = 0, 1, 2, 3, \dots, N-1$ สามารถเขียนสมการดิสครีตฟูรีเยร์ทรานส์ฟอร์มได้ดังนี้

$$F_k = \sum_{n=0}^{N-1} f_n e^{-jk\omega_0 n} \quad \text{โดยที่ค่า } k = 0 \text{ ถึง } N-1 \quad (2.1)$$

เอกสารนี้เป็นเอกสารที่สงวนไว้สำหรับการใช้งานเพื่อการศึกษาเท่านั้น ไม่อนุญาตให้นำไปใช้ประโยชน์ด้านการค้า ไม่ว่าจะกรณีใดๆ ทั้งสิ้น อีกทั้งห้ามมิให้ตัดแปลงเนื้อหาและต้องอ้างอิงถึงเจ้าของเอกสารทุกครั้งที่มีการนำไปใช้

ดังนั้นจะได้ค่าอินทิกรัลฟูรีเยร์ทรานส์ฟอร์มดังนี้

$$f_n = \frac{1}{N} \sum_{k=0}^{N-1} F_k e^{jk\omega_0 n} \quad \text{โดยที่ค่า } k = 0 \text{ ถึง } N-1 \quad (2.2)$$

โดยค่า $\omega_0 = 2\pi/N$ และการแปลงค่าดีสครีทฟูรีเยร์ทรานส์ฟอร์มจากสมการ (2.1) ต้องทำการคำนวณเป็นจำนวน N^2 โดยข้อมูลต้องอยู่ในรูปของจำนวนเชิงซ้อนเพื่อให้คอมพิวเตอร์คำนวณได้ง่าย จากสมการ (2.1) สามารถใช้ทฤษฎีของอูลเลอร์(Euler's) มาคำนวณได้จากสูตรดังนี้

$$e^{\pm ia} = \cos a \pm j \sin a$$

แทนสูตรของอูลเลอร์ลงในสมการ (2.1) และ (2.2) จะได้

$$F_k = \sum_{n=0}^{N-1} [f_n \cos(k\omega_0 n) - j f_n \sin(k\omega_0 n)] \quad (2.3)$$

$$f_n = \frac{1}{N} \sum_{k=0}^{N-1} [F_k \cos(k\omega_0 n) + j F_k \sin(k\omega_0 n)] \quad (2.4)$$

จากสมการ (2.3) และ (2.4) สามารถนำไปเขียนโปรแกรมเพื่อใช้ในการคำนวณหาค่าฟูรีเยร์ต่อไป ตัวอย่างต่อไปนี้เป็นการสุ่ม(Sampling) สัญญาณดังรูปที่ 2.1 ให้เป็นสัญญาณที่ไม่ต่อเนื่องเพื่อนำขนาดของแอมพลิจูดมาคำนวณ โดยจะให้ Sequence ของสัญญาณ $h_m = [3,4,2,2]$ และหาSpectrum ของสัญญาณนั้นจะได้ $N = 4$

จากสูตรการแปลงฟูรีเยร์ของสัญญาณดีสครีท

$$H_k = \frac{1}{N} \sum_{m=0}^{N-1} h_m e^{jmk2\pi/N} \quad ; k = 0,1,2,3,\dots,N-1$$

$$h_m = \sum_{k=0}^{N-1} h_m e^{jmk2\pi/N} \quad ; m = 0,1,2,3,\dots,N-1$$

แทนค่าต่างๆจะได้

$$H_k = \frac{1}{4} \sum_{m=0}^3 h_m e^{-jmk2\pi/N}$$

เอกสารนี้เป็นเอกสารที่สงวนไว้สำหรับการใช้งานเพื่อการศึกษาเท่านั้น ไม่อนุญาตให้นำไปใช้ประโยชน์ด้านการค้า ไม่ว่ากรณีใดๆ ทั้งสิ้น อีกทั้งห้ามมิให้ตัดแปลงเนื้อหาและต้องอ้างอิงถึงเจ้าของเอกสารทุกครั้งที่มีการนำไปใช้

$$\begin{aligned}
 H_{(0)} &= \frac{1}{4} \sum_{m=0}^3 h_m e^0 \\
 &= \frac{1}{4} [h(0) + h(1) + h(2) + h(3)] \\
 &= \frac{1}{4} [3+4+2+2] = 2.75
 \end{aligned}$$

$$\begin{aligned}
 H_{(1)} &= \frac{1}{4} \sum_{m=0}^3 h_m e^{-j\pi/2} \\
 &= \frac{1}{4} [h(0)e^{-j0} + h(1)e^{-j\pi/2} + h(2)e^{-j\pi} + h(3)e^{-j3\pi/2}] \\
 &= \frac{1}{4} [3 \cdot 1 + 4 \cdot (-j) + 2 \cdot (-1) + 2 \cdot (j)] \\
 &= \frac{1}{4} [3 - j - 2 + 2j] = \frac{1}{4} [1 - j]
 \end{aligned}$$

$$\begin{aligned}
 H_{(2)} &= \frac{1}{4} \sum_{m=0}^3 h_m e^{-j2\pi} \\
 &= \frac{1}{4} [h(0)e^{-j0} + h(1)e^{-j2\pi} + h(2)e^{-j4\pi} + h(3)e^{-j6\pi}] \\
 &= \frac{1}{4} [3 \cdot 1 + 4 \cdot (-1) + 2 \cdot (1) + 2 \cdot (-1)] \\
 &= \frac{1}{4} [3 - 4 + 2 - 2] = -0.25
 \end{aligned}$$

$$\begin{aligned}
 H_{(3)} &= \frac{1}{4} \sum_{m=0}^3 h_m e^{-j3\pi/2} \\
 &= \frac{1}{4} [h(0)e^{-j0} + h(1)e^{-j3\pi/2} + h(2)e^{-j3\pi} + h(3)e^{-j9\pi}] \\
 &= \frac{1}{4} [3 \cdot 1 + 4 \cdot (j) + 2 \cdot (-1) + 2 \cdot (-j)] \\
 &= \frac{1}{4} [3 + j - 2 - 2j] = \frac{1}{4} [1 + 2j]
 \end{aligned}$$

เพราะฉะนั้นสเปกตรัม คือ

$$|H_{(0)}| = 2.75$$

$$|H_{(1)}| = \frac{1}{4} |1^2 + (-2)^2|^{1/2} = 0.56$$

$$|H_{(2)}| = |-0.25| = 0.25$$

$$|H_{(3)}| = \frac{1}{4} |1^2 + 2^2|^{1/2} = 0.56$$

2.1.2 ทฤษฎีฟาสต์ฟูเรียร์ทรานส์ฟอร์มและวิธีการแบบบัตเตอร์ฟลาย

ฟาสต์ฟูเรียร์ทรานส์ฟอร์มเป็นการพัฒนามาจากดิคกรีทฟูเรียร์ทรานส์ฟอร์มเพื่อให้มีการคำนวณได้เร็วขึ้นซึ่งดิคกรีทฟูเรียร์ทรานส์ฟอร์มต้องการข้อมูลที่ใช้ในการคำนวณเป็นจำนวน N^2 แต่ฟาสต์ฟูเรียร์ทรานส์ฟอร์มจะใช้ข้อมูลในการคำนวณประมาณ $N \log_2 N$

ฟาสต์ฟูเรียร์ทรานส์ฟอร์มจะคำนวณเร็วกว่าดิคกรีทฟูเรียร์ทรานส์ฟอร์มประมาณ 10 เท่า โดยจะใช้วิธีการแบบบัตเตอร์ฟลาย หรือวิธีการของคูเลย์-ทูกีย์ (Cooley-Tukey Algorithm)

สมมติให้ $N = 2^M$ โดย M เป็นค่าจริงใดๆก็ได้

$F_k = H(k), f_n = h(m)$ จะได้สมการใหม่ดังนี้

เอกสารนี้เป็นเอกสารที่สงวนไว้สำหรับการใช้งานเพื่อการศึกษาเท่านั้น ไม่อนุญาตให้นำไปใช้ประโยชน์ด้านการค้าไม่ว่ากรณีใดๆ ทั้งสิ้น อีกทั้งห้ามมิให้ดัดแปลงเนื้อหาและต้องอ้างอิงถึงเจ้าของเอกสารทุกครั้งที่มีการนำไปใช้

$$H(k) = \sum_{m=0}^{N-1} h(m)e^{-j(2\pi/N)km} \quad \text{โดย } k = 0, 1, 2, 3, \dots, N-1 \quad (2.5)$$

ถ้าให้ $e^{-j(2\pi/N)km} = W_N^{km}$ ได้สมการใหม่ดังนี้

$$H(k) = \sum_{m=0}^{N-1} h(m)W_N^{mk} \quad (2.6)$$

ซึ่งแบ่งสมการ (2.6) ได้เป็น 2 ส่วนดังนี้

$$H(k) = \sum_{m=0}^{N/2-1} h(2m)W_N^{mk} + \sum_{m=0}^{N/2-1} h(2m+1)W_N^{(2N+1)k} \quad (2.7)$$

N แทนขนาดความยาวของการสุ่มตัวอย่างและแทนสมการทั้งสองด้วยสมการคู่ และสมการคี่ได้สมการใหม่คือ

$$H(k) = \sum_{m=0}^{N/2-1} h_{ev}(m)W_{N/2}^{mk} + \sum_{m=0}^{N/2-1} h_{od}(m)W_{N/2}^{mk} \quad (2.8)$$

หรือ
$$H(k) = H_{ev}(k) + W_{N/2}^k H_{od}(k) \quad (2.9)$$

ในการนี้จะใช้ $N/2$ จุดเท่านั้นเพื่อคำนวณค่า $H(k)$ โดย k ต้องมีค่าตั้งแต่ 0 ถึง $N-1$ อย่างไรก็ตามคุณสมบัติของสมการคู่และสมการคี่หาได้จาก

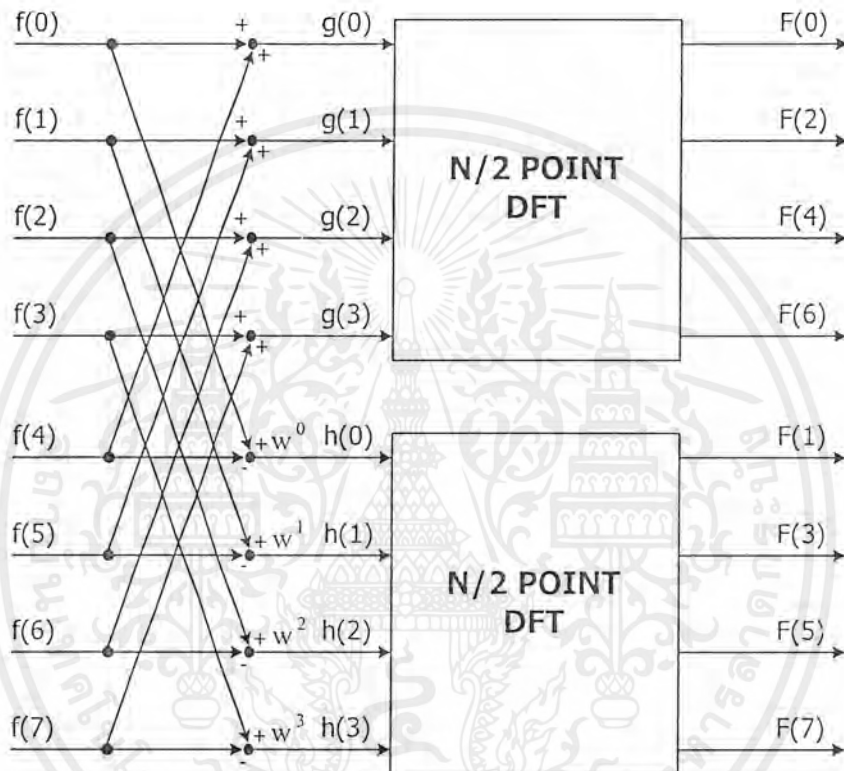
$$H_{ev}(k) = H_{ev}\left(k - \frac{N}{2}\right) \rightarrow \text{for } \frac{N}{2} \leq k \leq (N-1) \quad (2.10)$$

ผลลัพธ์ของการแปลงฟูเรียร์แบบไม่ต่อเนื่องสามารถทำซ้ำๆ จนกระทั่งเหลือข้อมูลแก่ตัวเดียว โดยต้องมีข้อมูลอินพุต 2 ตัวเพื่อใช้ในการคำนวณตลอดเวลา

$$\begin{aligned} \Lambda(k) &= \lambda(0) + \lambda(1)e^{-j2\pi k/2} && \text{for all} \\ &= \lambda(0) + \lambda(1) && \text{for } k \text{ even} \\ &= \lambda(0) - \lambda(1) && \text{for } k \text{ odd. ตามลำดับ} \end{aligned}$$

เอกสารนี้เป็นเอกสารที่สงวนไว้สำหรับการใช้งานเพื่อการศึกษาเท่านั้น ไม่อนุญาตให้นำไปใช้ประโยชน์ด้านการค้า ไม่ว่าจะกรณีใดๆ ทั้งสิ้น อีกทั้งห้ามมิให้ตัดแปลงเนื้อหาและต้องอ้างอิงถึงเจ้าของเอกสารทุกครั้งที่มีการนำไปใช้

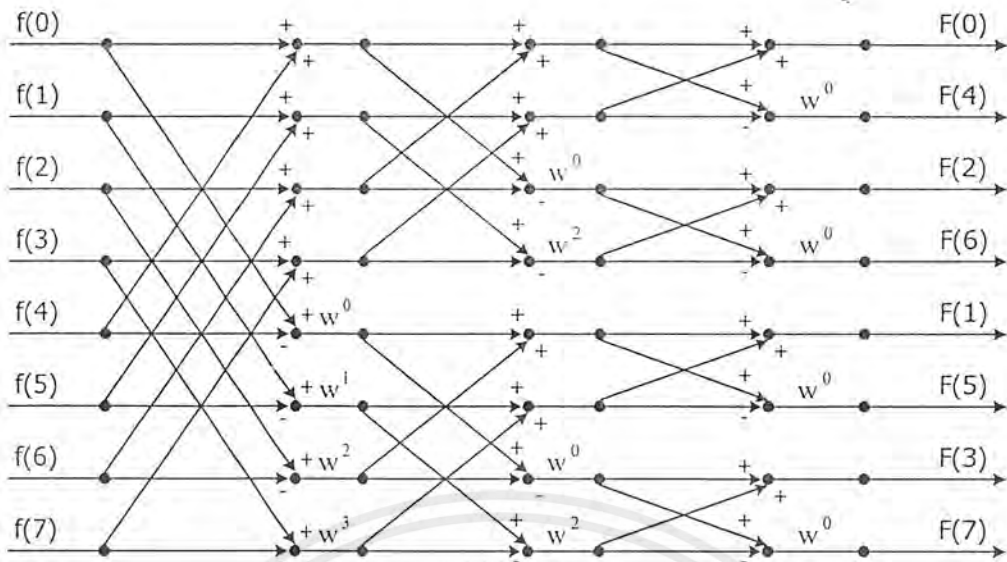
สำหรับการหาค่าฟูรีเยร์ทรานส์ฟอร์มจะใช้แค่ 2 จุดในการคำนวณหาค่าของฟูรีเยร์ทรานส์ฟอร์มที่สมบูรณ์จะต้องมีการคูณโดยใช้แฟกเตอร์ที่เหมาะสมคือ ค่า W โดยค่า W จะต้องเริ่มจาก W^0 ถึง $W^{N/2-1}$ ในรูปที่ 2.2 แสดงกราฟของฟูรีเยร์ทรานส์ฟอร์ม 8 จุดโดยต้องคำนวณค่าต่างๆ ตามวิธีการของบัตเตอร์ฟลาย (Butterflies) ให้เหมาะสม



รูปที่ 2.2 การหาค่า 8 จุดฟูรีเยร์ทรานส์ฟอร์ม

สำหรับการเริ่มต้นคำนวณต้องการทราบค่าของ N ที่จะใช้ในการคำนวณ จากรูปที่ 2.2 จะใช้ค่า $N = 8$ และจะได้ค่า g_n และ h_n ที่คำนวณได้เป็นจำนวน $N/2$ จุดโดยมีค่า W^n มาคูณกับค่า h_n ดังรูปที่ 2.1 และจะคำนวณในลำดับต่อไปดังรูปที่ 2.3

เอกสารนี้เป็นเอกสารที่สงวนไว้สำหรับการใช้งานเพื่อการศึกษาเท่านั้น ไม่อนุญาตให้นำไปใช้ประโยชน์ด้านการค้า ไม่ว่ากรณีใดๆ ทั้งสิ้น อีกทั้งห้ามมิให้ตัดแปลงเนื้อหาและต้องอ้างอิงถึงเจ้าของเอกสารทุกครั้งที่มีการนำไปใช้



รูปที่ 2.3 การหาค่า 8 จุดฟาสต์ฟูเรียร์ทรานส์ฟอร์ม

จากรูปที่ 2.3 เมื่อคำนวณช่วงแรกเสร็จจะคำนวณช่วงที่ 2 ต่อ โดยมีวิธีการคำนวณดังรูปและจะใช้ข้อมูลการคำนวณทั้งหมดประมาณ $N \log_2(N)$ สามารถหาจำนวนของบัตเตอร์ฟลาย (Number of butterflies) ได้ดังนี้

$$\text{จำนวนของบัตเตอร์ฟลาย} = \frac{N}{2} \log_2(N)$$

โดย $N/2$ = จำนวนแถวของบัตเตอร์ฟลาย (มี 2 อินพุต)

$\log_2(N)$ = จำนวนหลักของบัตเตอร์ฟลาย

แต่ละบัตเตอร์ฟลายต้องมี 2 อินพุตเท่านั้น

2.1.3 คุณสมบัติและเทคนิคช่วยแปลงฟูเรียร์อย่างรวดเร็ว

สิ่งจูงใจในการเสาะหาวิธีการ (Motivation to search for an algorithm)

เนื่องจากผลการทำ FFT จะได้

$$H\left(\frac{N}{2} + l\right) = \overline{H\left(\frac{N}{2} - l\right)} \quad ; \quad l = 1, 2, \dots, \frac{N}{2} - 1$$

เมื่อ $\overline{H(k)}$ เป็น complex conjugate ของ $H(k)$

กุญแจสำคัญในการพัฒนาวิธีการ (Key to develop the algorithm)

จาก m ซึ่งเป็นเลขฐานสิบ สามารถเขียนในรูปเลขฐานสองได้เป็น

$$m = m_{n-1} 2^{n-1} + m_{n-2} 2^{n-2} + \dots + m_1 2^1 + m_0 2^0$$

โดย $m_v = 0$ หรือ 1 เมื่อ $v = 0, 1, 2, \dots, n-1$

ทำนองเดียวกันกับ k เป็นเลขฐานสิบ เขียนให้อยู่ในรูปเลขฐานสองจะได้

$$k = k_{n-1} 2^{n-1} + k_{n-2} 2^{n-2} + \dots + k_1 2^1 + m_0 2^0$$

เอกสารนี้เป็นเอกสารที่สงวนไว้สำหรับการใช้งานเพื่อการศึกษาเท่านั้น ไม่อนุญาตให้นำไปใช้ประโยชน์ด้านการค้า ไม่ว่าจะกรณีใดๆ ทั้งสิ้น อีกทั้งห้ามมิให้ดัดแปลงเนื้อหาและต้องอ้างอิงถึงเจ้าของเอกสารทุกครั้งที่มีการนำไปใช้

โดย $k_v = 0$ หรือ 1 เมื่อ $v = 0, 1, \dots, N-1$

ถ้าเราให้ $\tilde{h}(m)$ เป็นลำดับ (Sequence) ของข้อมูลที่ตัวแปรเป็นเลขฐานสองที่ใช้แทน $h(m)$ ซึ่งตัวแปรเป็นเลขฐานสิบ เราจะได้ว่า

$$h(m) = \tilde{h}(m_{n-1}2^{n-1} + m_{n-2}2^{n-2} + \dots + m_12^1 + m_02^0) \quad (2.11)$$

$$\text{หรือ } h(m) = \tilde{h}(m_{n-1}, m_{n-2}, \dots, m_1, m_0)$$

จากสมการที่ (2.11) พบว่า

$$\sum_{m=0}^{N-1} h(m)W^{km} = \sum_{m_{n-1}=0}^1 \sum_{m_{n-2}=0}^1 \dots \sum_{m_1=0}^1 \tilde{h}(m_{n-1}, m_{n-2}, \dots, m_1, m_0) W^{k(m_{n-1}2^{n-1} + m_{n-2}2^{n-2} + \dots + m_12^1 + m_02^0)} \quad (2.12)$$

ตัวอย่างในกรณีที่มี $N = 4$ หรือ $n = \log_2 4 = 2$ ดังนั้นสมการที่ (2.12) เขียนได้เป็น

$$\begin{aligned} \sum_{m_1=0}^1 \sum_{m_0=0}^1 \tilde{h}(m_1, m_0) W^{k(2m_1+m_0)} &= \sum_{m_0=0}^1 \{ \tilde{h}(0, m_0) W^{km_0} + \tilde{h}(1, m_0) W^{k(2+m_0)} \} \\ &= \sum_{m_0=0}^1 \tilde{h}(0, m_0) W^{km_0} + \sum_{m_0=0}^1 \tilde{h}(1, m_0) W^{k(2+m_0)} \\ &= \tilde{h}(0,0) + \tilde{h}(0,1)W^k + \tilde{h}(1,0)W^{2k} + \tilde{h}(1,1)W^{3k} \end{aligned} \quad (2.13)$$

ดังนั้นสมการที่ (2.13) จะได้ว่า

$$\sum_{m_1=0}^1 \sum_{m_0=0}^1 \tilde{h}(m_1, m_0) W^{k(2m_1+m_0)} = \sum_{m=0}^3 h(m) W^{km} \quad \text{นั่นเอง}$$

การพัฒนาวิธีการ (Development of the Algorithm)

สมมุติกรณีที่มี $N = 8$ เป็นพื้นฐานเบื้องต้นในการอธิบายขั้นตอนการพัฒนา FFT

กล่าวคือ

$$H(k) = \frac{1}{8} \sum_{m=0}^7 h(m) W^{km} \quad ; \quad \text{โดย } k = 0, 1, \dots, 7 \quad (2.14)$$

เมื่อ $W = e^{-j\frac{2\pi}{8}} = e^{-j\frac{\pi}{4}}$ และให้ m เขียนอยู่ในรูปเลขฐานคือ

$$m = m_22^2 + m_12^1 + m_02^0 \quad (2.15)$$

จากสมการที่ (2.15) เอา 8 คูณตลอดจะได้

$$8H(k) = \sum_{m=0}^7 h(m) W^{km} \quad (2.16)$$

เมื่อแปลงเทอมทางขวามือของสมการที่ (2.16) ให้ตัวแปรอยู่ในรูปของเลขฐานสองจะได้ว่า

$$\begin{aligned} 8H(k) &= \sum_{m_2=0}^1 \sum_{m_1=0}^1 \sum_{m_0=0}^1 \tilde{h}(m_2, m_1, m_0) W^{k(4m_2+2m_1+m_0)} \\ &= \sum_{m_2=0}^1 \sum_{m_1=0}^1 \sum_{m_0=0}^1 \tilde{h}(m_2, m_1, m_0) W^{4km_2} W^{2km_1} W^{km_0} \end{aligned} \quad (2.17)$$

เอกสารนี้เป็นเอกสารที่สงวนไว้สำหรับการ [unclear] การศึกษาเท่านั้น ไม่อนุญาตให้นำไปใช้ประโยชน์ทางการค้า
ไม่ว่ากรณีใดๆ ทั้งสิ้น อีกทั้งห้ามมิให้ตัดแปลงเนื้อหาและต้องอ้างอิงถึงเจ้าของเอกสารทุกครั้งที่มีการนำไปใช้



จากสมการที่ (2.17) เราให้ summation ของตัวแปร m_2 ในสูตรเป็น M_2 นั่นคือ

$$M_2 = \sum_{m_2=0}^1 \tilde{h}(m_2, m_1, m_0) W^{4km_2}$$

แต่เนื่องจาก $W^4 = \left[e^{-j\frac{\pi}{4}} \right]^4 = e^{-j\pi} = -1$ และแทน k ด้วยเลขฐานสองจะได้

$$M_2 = \sum_{m_2}^1 \tilde{h}(m_2, m_1, m_0) (-1)^{m_2[4k_2+2k_1+k_0]}$$

จาก $(-1)^{m_2[4k_2+2k_1+k_0]} = 1$, M_2 สามารถเขียนได้ใหม่เป็น

$$M_2 = \sum_{m_2=0}^1 \tilde{h}(m_2, m_1, m_0) (-1)^{k_0 m_2} \quad (2.18)$$

summation ของสมการที่ (2.18) เป็นการแทนค่า m_2 ด้วย 0 และ 1 ดังนั้นสมการที่ (2.18) นี้จะมีตัวแปรที่ไม่ทราบค่าคือ k_0, k_1 และ m_0 ดังนั้น M_2 จะเป็นฟังก์ชันของ k_0, m_1 และ m_0 จึงเขียนใหม่ได้

$$M_2 = \tilde{h}_1(k_0, m_1, m_0) \quad (2.19)$$

แทนค่าสมการที่ (2.19) ลงในสมการ (2.17)

$$8H(k) = \sum_{m_0=0}^1 \sum_{m_1=0}^1 \tilde{h}_1(k_0, m_1, m_0) W^{2km_1} W^{km_0} \quad (2.20)$$

summation ของตัวแปร m_1 ของสมการที่ (2.20) สมมติให้เป็น M_1 นั่นคือ

$$M_1 = \sum_{m_1=0}^1 \tilde{h}_1(k_0, m_1, m_0) W^{2km_1}$$

ทำการแทนตัวแปร k ซึ่งเป็นเลขฐานสิบให้อยู่ในรูปของเลขฐานสอง

$$M_1 = \sum_{m_1=0}^1 \tilde{h}_1(k_0, m_1, m_0) (-j)^{(4k_2+2k_1+k_0)m_1} \quad (2.21)$$

โดยที่จากสมการที่ (2.21) นั้น $W^2 = \left[e^{-j\frac{\pi}{4}} \right]^2 = -j$ และเทอม $(-j)^{4k_2 m_1} = 1$

ดังนั้น M_1 เขียนใหม่ได้เป็น

$$M_1 = \sum_{m_1} \tilde{h}_1(k_0, m_1, m_0) (-j)^{(2k_1+k_0)m_1} \quad (2.22)$$

จากสมการที่ (2.22) เมื่อทำการแปรค่า m_1 เป็น 0 และ 1 ดังนั้นเทอม M_1 จะเป็นตัวแปรของ k_0, k_1 และ m_0 นั่นคือสมการ (2.22) เขียนใหม่ได้เป็น

$$M_1 = \tilde{h}_2(k_0, k_1, m_0) \quad (2.23)$$

แทน (2.23) ลงใน (2.20) จะได้ว่า

$$8H(k) = \sum_{m_0} \tilde{h}_2(k_0, k_1, m_0) W^{m_0 k}$$

ในทำนองเดียวกันกับ M_2 และ M_1 เมื่อให้ M_0 เป็นผลการทำ summation ของตัวแปร m_0 นั่นคือ

$$M_0 = \sum_{m_0=0}^1 \tilde{h}_2(k_0, k_1, m_0) W^{m_0(4k_2+2k_1+k_0)}$$

เอกสารนี้เป็นเอกสารที่สงวนไว้สำหรับการใช้งานเพื่อการศึกษาเท่านั้น ไม่อนุญาตให้นำไปใช้ประโยชน์ด้านการค้า ไม่ว่าจะกรณีใดๆ ทั้งสิ้น อีกทั้งห้ามมิให้ตัดแปลงเนื้อหาและต้องอ้างอิงถึงเจ้าของเอกสารทุกครั้งที่มีการนำไปใช้

$$= \sum_{m_0=0}^1 \tilde{h}_2(k_0, k_1, m_0) \left(\frac{1-j}{\sqrt{2}} \right)^{14k_2+2k_1+k_0} m_0 \quad (2.24)$$

หลังจากทำการแปรค่า m_0 ไปแล้วจะพบว่า M_0 เป็นฟังก์ชันของ k_0, k_1 และ k_2 ซึ่งจะแทนด้วย

$$M_0 = \tilde{h}_3(k_0, k_1, k_2)$$

ดังนั้นจากสมการที่ (2.17) จะได้คำตอบว่า

$$8H(k) = 8\tilde{H}(k_2, k_1, k_0) = \tilde{h}_3(k_0, k_1, k_2) \quad (2.25)$$

จากสัมประสิทธิ์ $(-1), (-j)$ และ $\frac{(1-j)}{\sqrt{2}}$ ค่าเหล่านี้จะเป็นรากของ $e^{-j2\pi}$ นั่นเองกล่าวคือ

$(-1), (-j)$ และ $\frac{(1-j)}{\sqrt{2}}$ เป็นรากที่ 2, 4 และ 8 ของ unity ซึ่งจะใช้สัญลักษณ์แทนด้วย

$$A_2 r = e^{-j\frac{2\pi}{2^r}} \quad \text{เมื่อ } r = 1, 2, \dots, \log_2 N$$

โดย $A_2 r$ จะมีคุณสมบัติดังต่อไปนี้

- (i) $A_2 r = W \frac{N}{2^r}$ เมื่อ $W = e^{-j\frac{2\pi}{N}}$
- (ii) $(A_2 r)^{2+l} = -(A_2 r)^l$ เมื่อ $r = 1, 2, \dots, \log_2 N; l = 0, 1, \dots, 2^{r-1}; \lambda = 2^{r-1}$
- (iii) $(A_N)^{\frac{N}{2}} = 1$

จากสมการที่ (2.19) เขียนอยู่ในเทอม $A_2 r$ จะได้ว่า

$$\tilde{h}_1(k_0, m_1, m_0) = \sum_{m_2=0}^1 \tilde{h}(m_2, m_1, m_0) A_2^{k_0 m_2}$$

นั่นคือ $\tilde{h}_1(k_0, m_1, m_0) = \tilde{h}(0, m_1, m_0) + \tilde{h}(1, m_1, m_0) A_2^{k_0}$ (2.26)

สมการที่ (2.26) นี้ k_0 จะมีค่าไม่เป็น 0 ก็เป็น 1 จะได้ว่าค่า k_0 แต่ละค่าจะให้ 4 สมการคือ

กรณีที่ 1 $k_0 = 0$ จะได้

$$\tilde{h}_1(0,0,0) = \tilde{h}(0,0,0) + \tilde{h}(1,0,0) \Rightarrow h_1(0) = h(0) + h(4)$$

$$\tilde{h}_1(0,0,1) = \tilde{h}(0,0,1) + \tilde{h}(1,0,1) \Rightarrow h_1(1) = h(1) + h(5)$$

$$\tilde{h}_1(0,1,0) = \tilde{h}(0,1,0) + \tilde{h}(1,1,0) \Rightarrow h_1(2) = h(2) + h(6)$$

$$\tilde{h}_1(0,1,1) = \tilde{h}(0,1,1) + \tilde{h}(1,1,1) \Rightarrow h_1(3) = h(3) + h(7)$$

กรณีที่ 2 $k_0 = 1$ จะได้

$$\tilde{h}_1(1,0,0) = \tilde{h}(0,0,0) + A_2 \tilde{h}(1,0,0) \Rightarrow h_1(4) = h(0) - h(4)$$

$$\tilde{h}_1(1,0,1) = \tilde{h}(0,0,1) + A_2 \tilde{h}(1,0,1) \Rightarrow h_1(5) = h(1) - h(5)$$

$$\tilde{h}_1(1,1,0) = \tilde{h}(0,1,0) + A_2 \tilde{h}(1,1,0) \Rightarrow h_1(6) = h(2) - h(6)$$

$$\tilde{h}_1(1,1,1) = \tilde{h}(0,1,1) + A_2 \tilde{h}(1,1,1) \Rightarrow h_1(7) = h(3) - h(7)$$

สมการที่ (2.22) เมื่อแทน $(-j)$ ด้วยเทอม A_4 จะได้ว่า

$$\tilde{h}_2(k_0, k_1, m_0) = \tilde{h}_1(k_0, 0, m_0) + \tilde{h}_1(k_0, 1, m_0) A_4^{(2k+k_0)}$$

จากสมการที่ (2.22) fixed ค่า k_0, k_1 แล้วทำการแปร m_0 ไปแต่ละครั้งจะได้ 2 สมการดังนี้

กรณีที่ 1 $(k_1, k_0) = (0,0)$

เอกสารนี้เป็นเอกสารที่สงวนลิขสิทธิ์สำหรับการใช้งานเพื่อการศึกษาเท่านั้น ไม่อนุญาตให้นำไปใช้ประโยชน์ด้านการค้า
ไม่ว่ากรณีใดๆ ทั้งสิ้น อีกทั้งห้ามมิให้ตัดแปลงเนื้อหาและต้องอ้างอิงถึงเจ้าของเอกสารทุกครั้งที่มีการนำไปใช้

$$\tilde{h}_2(0,0,0) = \tilde{h}_1(0,0,0) + \tilde{h}_1(0,1,0) \Rightarrow h_2(0) = h_1(0) + h_1(2)$$

$$\tilde{h}_2(0,0,1) = \tilde{h}_1(0,0,1) + \tilde{h}_1(0,1,1) \Rightarrow h_2(1) = h_1(1) + h_1(3)$$

กรณีที่ 2 $(k_1, k_0) = (0,1)$

$$\tilde{h}_2(1,0,0) = \tilde{h}_1(1,0,0) + A_4 \tilde{h}_1(1,1,0) \Rightarrow h_2(4) = h_1(4) + A_4 h_1(6)$$

$$\tilde{h}_2(1,0,1) = \tilde{h}_1(1,0,1) + A_4 \tilde{h}_1(1,1,1) \Rightarrow h_2(5) = h_1(5) + A_4 h_1(7)$$

กรณีที่ 3 $(k_1, k_0) = (1,0)$

$$\tilde{h}_2(0,1,0) = \tilde{h}_1(0,0,0) + A_4^2 \tilde{h}_1(0,1,0) \Rightarrow h_2(2) = h_1(0) - h_1(2)$$

$$\tilde{h}_2(0,1,1) = \tilde{h}_1(0,0,1) + A_4^2 \tilde{h}_1(0,1,1) \Rightarrow h_2(3) = h_1(1) - h_1(3)$$

กรณีที่ 4 $(k_1, k_0) = (1,1)$

$$\tilde{h}_2(1,1,0) = \tilde{h}_1(1,0,0) + A_4^3 \tilde{h}_1(1,1,0) \Rightarrow h_2(6) = h_1(4) - A_4 h_1(6)$$

$$\tilde{h}_2(1,1,1) = \tilde{h}_1(1,0,1) + A_4^3 \tilde{h}_1(1,1,1) \Rightarrow h_2(7) = h_1(5) - A_4 h_1(7)$$

ในที่สุดสมการที่ (2.25) ซึ่งเป็นการทำ iteration ครั้งที่ 2 โดย $r = 3$ เขียนค่าสัมประสิทธิ์ในเทอมของ A_8 จะได้ว่า

$$\tilde{h}_3(k_0, k_1, k_2) = \tilde{h}_2(k_0, k_1, 0) + \tilde{h}_2(k_0, k_1, 1) A_8^{(4k_1 + 2k_1 + k_0)}$$

จะได้ว่า

กรณีที่ 1 $(k_2, k_1, k_0) = (0,0,0)$

$$\tilde{h}_3(0,0,0) = \tilde{h}_2(0,0,0) + \tilde{h}_2(0,0,1) \Rightarrow h_3(0) = h_2(0) + h_2(1)$$

กรณีที่ 2 $(k_2, k_1, k_0) = (0,0,1)$

$$\tilde{h}_3(1,0,0) = \tilde{h}_2(1,0,0) + A_8 \tilde{h}_2(1,0,1) \Rightarrow h_3(4) = h_2(4) + A_8 h_2(5)$$

กรณีที่ 3 $(k_2, k_1, k_0) = (0,1,0)$

$$\tilde{h}_3(0,1,0) = \tilde{h}_2(0,1,0) + A_8^2 \tilde{h}_2(0,1,1) \Rightarrow h_3(2) = h_2(2) + A_8^2 h_2(3)$$

กรณีที่ 4 $(k_2, k_1, k_0) = (0,1,1)$

$$\tilde{h}_3(1,1,0) = \tilde{h}_2(1,1,0) + A_8^3 \tilde{h}_2(1,1,1) \Rightarrow h_3(6) = h_2(6) + A_8^3 h_2(7)$$

กรณีที่ 5 $(k_2, k_1, k_0) = (1,0,0)$

$$\tilde{h}_3(0,0,1) = \tilde{h}_2(0,0,0) + A_8^4 \tilde{h}_2(0,0,1) \Rightarrow h_3(1) = h_2(0) - h_2(1)$$

กรณีที่ 6 $(k_2, k_1, k_0) = (1,0,1)$

$$\tilde{h}_3(1,0,1) = \tilde{h}_2(1,0,0) + A_8^5 \tilde{h}_2(1,0,1) \Rightarrow h_3(5) = h_2(4) - A_8 h_2(5)$$

กรณีที่ 7 $(k_2, k_1, k_0) = (1,1,0)$

$$\tilde{h}_3(0,1,1) = \tilde{h}_2(0,1,0) + A_8^6 \tilde{h}_2(0,1,1) \Rightarrow h_3(3) = h_2(2) - A_8^2 h_2(3)$$

กรณีที่ 8 $(k_2, k_1, k_0) = (1,1,1)$

$$\tilde{h}_3(1,1,1) = \tilde{h}_2(1,1,0) + A_8^7 \tilde{h}_2(1,1,1) \Rightarrow h_3(7) = h_2(6) - A_8^3 h_2(7)$$

เอกสารนี้เป็นเอกสารที่สงวนไว้สำหรับการใช้งานเพื่อการศึกษาเท่านั้น ไม่อนุญาตให้นำไปใช้ประโยชน์ด้านการค้า
ไม่ว่ากรณีใดๆ ทั้งสิ้น อีกทั้งห้ามมิให้ตัดแปลงเนื้อหาและต้องอ้างอิงถึงเจ้าของเอกสารทุกครั้งที่มีการนำไปใช้

ถ้า bit reversal จะได้ดังตารางข้างล่างนี้

Decimal Number	Binary Representation	Bit-Reversed Representation	Decimal Equivalent
0	000	000	0
1	001	100	4
2	010	010	2
3	011	110	6
4	100	001	1
5	101	101	5
6	110	011	3
7	111	111	7

ตารางที่ 2.1 Bit-reversed order for $N = 8$

หลังจากทำ Bit reversal แล้วจะได้ว่า

$$h_3(0) = 8H(0)$$

$$h_3(4) = 8H(1)$$

$$h_3(2) = 8H(2)$$

$$h_3(6) = 8H(3)$$

$$h_3(1) = 8H(4)$$

$$h_3(5) = 8H(5)$$

$$h_3(3) = 8H(6)$$

$$h_3(7) = 8H(7)$$

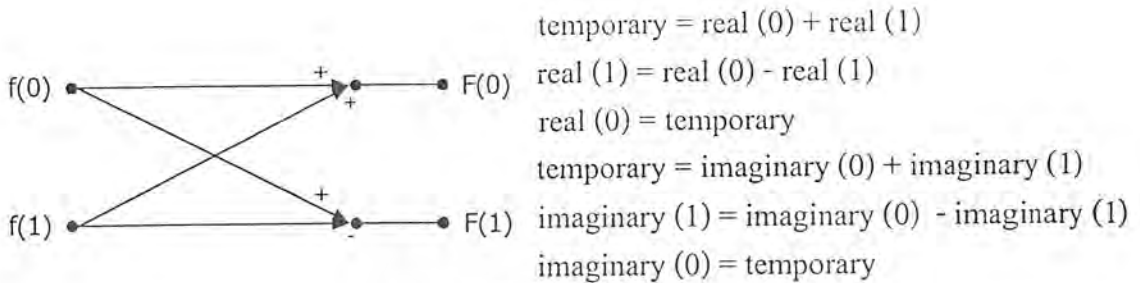
2.1.4 การคำนวณโดยใช้คอมพิวเตอร์

ในการคำนวณ โดยใช้คอมพิวเตอร์จะต้องทำการแปลงฟังก์ชันเอ็กโปเนนเชียลให้เป็นฟังก์ชันตรีโกณมิติจากสูตร

$$e^{-ja} = \cos a \pm i \sin a$$

เอกสารนี้เป็นเอกสารที่สงวนไว้สำหรับการใช้งานเพื่อการศึกษาเท่านั้น ไม่อนุญาตให้นำไปใช้ประโยชน์ด้านการค้า ไม่ว่ากรณีใดๆ ทั้งสิ้น อีกทั้งห้ามมิให้ตัดแปลงเนื้อหาและต้องอ้างอิงถึงเจ้าของเอกสารทุกครั้งที่มีการนำไปใช้

เนื่องจากโปรแกรมที่ใช้เขียนไม่รู้จักฟังก์ชันเอ็กโปเนนเชียล ในการคำนวณจะยกตัวอย่างมาแค่ บัต์เตอร์ฟลายเดียว และจะต้องมีการเก็บค่าไว้ชั่วคราว ดังรูปที่ 2.4



รูปที่ 2.4 หลักการคำนวณโดยใช้บัต์เตอร์ฟลายเดียว

จากรูปที่ 2.4 จะได้ว่า $F(0) = f(0) + f(1)$

$F(1) = f(0) - f(1)$

โดยข้อมูลที่ได้อาจจะมีทั้งค่าจริงและค่าจินตภาพ

2.1.5 ตัวอย่างการคำนวณหาฟาสต์ฟูเรียร์ทรานส์ฟอร์ม

ตัวอย่างที่ 1 จะเป็นการหาค่า 16 จุดฟาสต์ฟูเรียร์ทรานส์ฟอร์ม โดยมีการสุ่มข้อมูล 16 จุดและมีค่าสัญญาณดังนี้

$$x(n) = \cos[2\pi(4n/16)]$$

จะเปรียบเทียบจำนวนบัต์เตอร์ฟลายแบบดิสครีทฟูเรียร์ทรานส์ฟอร์ม ที่ใช้ในการคำนวณ

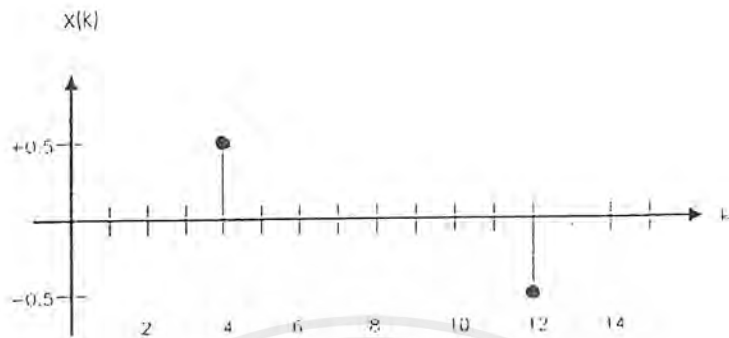
Length of Transform (N)	DFT Operations (N^2)	FFT Operations $N \log_2(N)$
8	64	24
16	256	64
32	1024	160
64	4096	384
128	1,6384	896

ตารางที่ 2.2

เปรียบเทียบจำนวนการคำนวณระหว่างดิสครีทฟูเรียร์ทรานส์ฟอร์มและฟาสต์ฟูเรียร์ทรานส์ฟอร์ม

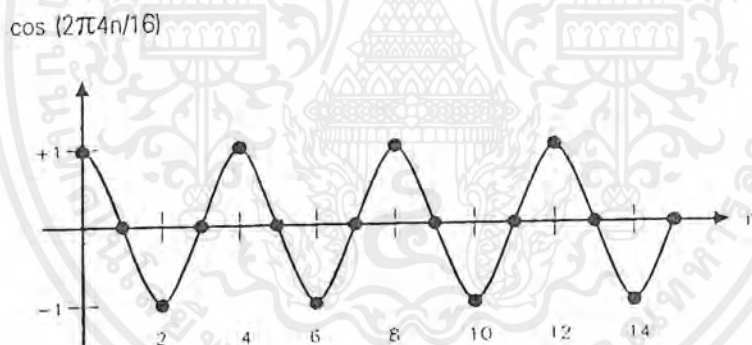
เอกสารนี้เป็นเอกสารที่สงวนไว้สำหรับการใช้งานเพื่อการศึกษาเท่านั้น ไม่อนุญาตให้นำไปใช้ประโยชน์ด้านการค้า ไม่ว่ากรณีใดๆ ทั้งสิ้น อีกทั้งห้ามมิให้ตัดแปลงเนื้อหาและต้องอ้างอิงถึงเจ้าของเอกสารทุกครั้งที่มีการนำไปใช้

จากตัวอย่างมีค่าแอมพลิจูด “1” และสัญญาณเป็นค่าจริง ส่วนค่าจินตภาพเป็น “0” การสุ่มข้อมูล
คู่ได้จากรูปที่ 2.5 ซึ่งมีจำนวนข้อมูล 16 จุดตั้งแต่ $x(0) - x(15)$



รูปที่ 2.5 อินพุต 16 จุดฟาสต์ฟูเรียร์ทรานส์ฟอร์ม

โดยค่าเอาต์พุตที่ได้จะแสดงในรูปที่ 2.5 ซึ่งมีค่าอยู่ที่ $k = 4$ โดยมีขนาดแอมพลิจูด 0.5 และที่
 $k = 12$ มีขนาดแอมพลิจูด -0.5



รูปที่ 2.6 เอาต์พุตของ 16 จุดฟาสต์ฟูเรียร์ทรานส์ฟอร์ม

สำหรับสัญญาณที่ได้ในรูปของความถี่โดยใช้ฟูเรียร์ทรานส์ฟอร์ม จะได้

$$X(f) = \int_{-\infty}^{\infty} \cos(2\pi f_0 t) e^{-j2\pi f t} dt$$

แปลงให้อยู่ในรูปเอ็กโปเนนเชียล (Exponential) ได้

$$X(f) = \frac{1}{2} \int_{-\infty}^{+\infty} \exp[j2\pi(f_0 - f)t] dt - \frac{1}{2} \int_{-\infty}^{+\infty} \exp[-j2\pi(f_0 + f)t] dt$$

ผลลัพธ์จะได้ที่ $k = 4$ มีขนาดแอมพลิจูด 0.5 และที่ $k = 12$ มีขนาดแอมพลิจูด -0.5 จะมีค่า

$f = f_0$ และที่ $k = 12$ จะมีค่า $f = -f_0$ ตามรูปที่ 2.5 เช่นเดียวกัน

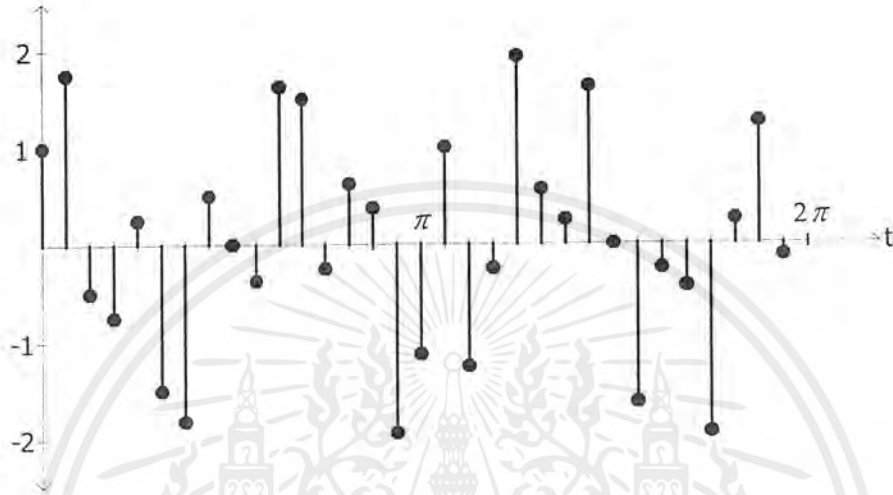
เอกสารนี้เป็นเอกสารที่สงวนไว้สำหรับการใช้งานเพื่อการศึกษาเท่านั้น ไม่อนุญาตให้นำไปใช้ประโยชน์ด้านการค้า
ไม่ว่ากรณีใดๆ ทั้งสิ้น อีกทั้งห้ามมิให้ตัดแปลงเนื้อหาและต้องอ้างอิงถึงเจ้าของเอกสารทุกครั้งที่มีการนำไปใช้

ตัวอย่างที่ 2 จงหาค่าความถี่จากสัญญาณต่อไปนี้

$$f(t) = \cos(3t) + \sin(10t)$$

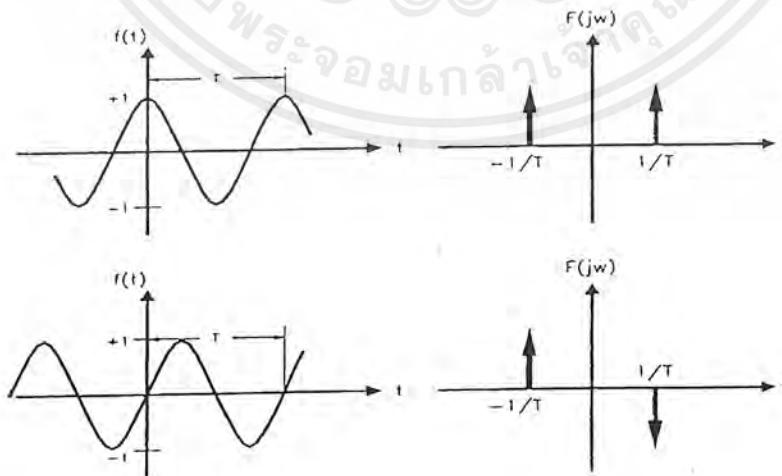
มีการสุ่มข้อมูลมา 32 จุด เวลาที่ใช้ในการสุ่มข้อมูลทั้งหมด = $2\pi/32$ โดยมีการสุ่มข้อมูลดังรูปที่

2.7



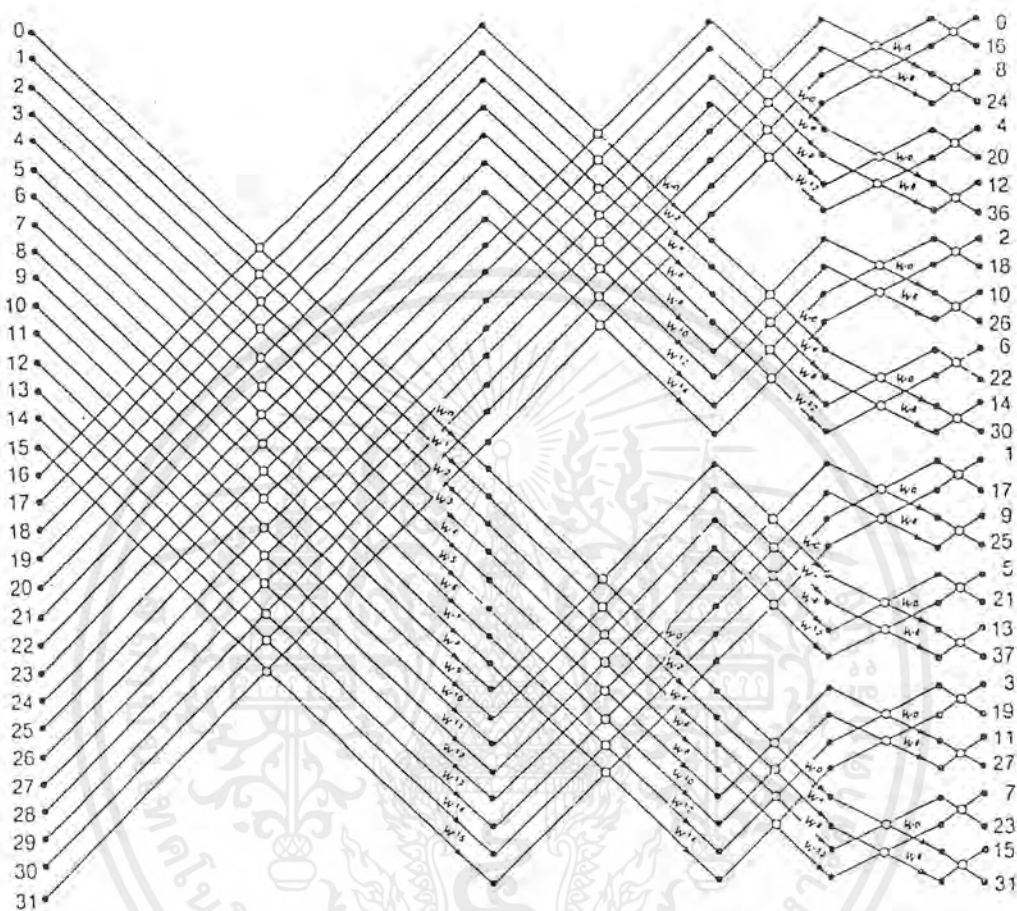
รูปที่ 2.7 การสุ่มข้อมูลต่างๆจากฟังก์ชัน $\cos(3t) + \sin(10t)$

เมื่อทำการวิเคราะห์โดยใช้วิธีฟูรีเยร์ทรานส์ฟอร์มจะได้ค่า โคซายน์(cosine) มีค่าเป็นบวกอยู่ที่ตำแหน่ง $+1/T$ โดยเป็นค่าจริงอยู่บนแกนความถี่และฟังก์ชันซายน์(sine) จะได้ค่าบวกและลบอยู่ที่ตำแหน่ง $-1/T$ และ $1/T$ โดยจะเป็นค่าจินตภาพอยู่บนแกนความถี่ดังรูปที่ 2.8



รูปที่ 2.8 ฟังก์ชันซายน์, โคซายน์และผลลัพธ์ที่ได้จากฟูรีเยร์ทรานส์ฟอร์ม

เอกสารนี้เป็นเอกสารที่สงวนไว้สำหรับการใช้งานเพื่อการศึกษาเท่านั้น ไม่อนุญาตให้นำไปใช้ประโยชน์ด้านการค้า ไม่ว่ากรณีใดๆ ทั้งสิ้น อีกทั้งห้ามมิให้ดัดแปลงเนื้อหาและต้องอ้างอิงถึงเจ้าของเอกสารทุกครั้งที่มีการนำไปใช้



รูปที่ 2.9 วิธีการหาฟาสต์ฟูเรียร์ทรานส์ฟอร์ม 32 จุด

เมื่อคำนวณ โดยใช้วิธีฟูเรียร์ทรานส์ฟอร์มจะได้ข้อมูลต่างๆดังรูปที่ 2.10

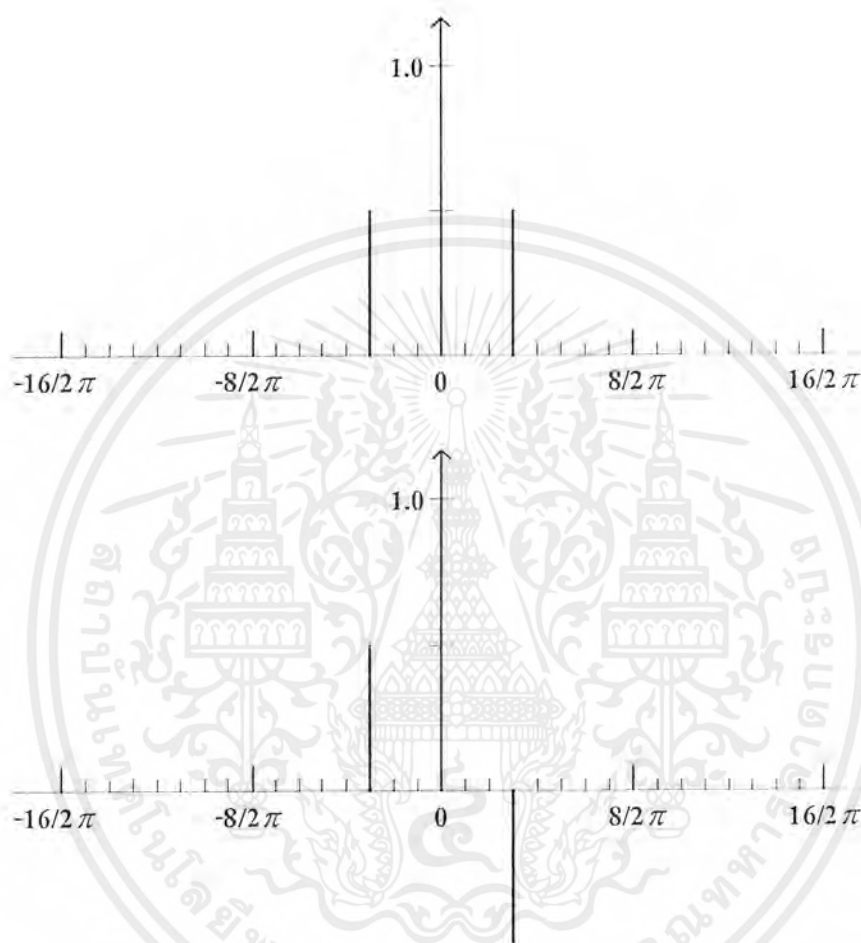
เอกสารนี้เป็นเอกสารที่สงวนไว้สำหรับการใช้งานเพื่อการศึกษาเท่านั้น ไม่อนุญาตให้นำไปใช้ประโยชน์ด้านการค้า ไม่ว่ากรณีใดๆ ทั้งสิ้น อีกทั้งห้ามมิให้ตัดแปลงเนื้อหาและต้องอ้างอิงถึงเจ้าของเอกสารทุกครั้งที่มีการนำไปใช้

Index	$f(t)$	Real	Imaginary	Frequency
0	1.000	-0.000	0.000	0
1	1.755	-0.000	0.000	$1/2 \pi$
2	-0.324	0.000	-0.000	$2/2 \pi$
3	-0.578	0.500	0.000	$3/2 \pi$
4	0.029	-0.000	-0.000	$4/2 \pi$
5	-1.363	-0.000	-0.000	$5/2 \pi$
6	-1.631	-0.000	-0.000	$6/2 \pi$
7	0.368	-0.000	-0.000	$7/2 \pi$
8	-0.000	-0.000	-0.000	$8/2 \pi$
9	-0.368	-0.000	-0.000	$9/2 \pi$
10	1.631	0.000	-0.500	$10/2 \pi$
11	1.363	-0.000	0.000	$11/2 \pi$
12	-0.293	-0.000	0.000	$12/2 \pi$
13	0.578	-0.000	0.000	$13/2 \pi$
14	0.324	-0.000	0.000	$14/2 \pi$
15	-1.755	-0.000	0.000	$15/2 \pi$
16	-1.000	-0.000	0.000	$-16/2 \pi$ (Nyquist Frequency)
17	0.092	-0.000	-0.000	$-15/2 \pi$
18	-1.090	-0.000	-0.000	$-14/2 \pi$
19	-0.188	-0.000	-0.000	$-13/2 \pi$
20	1.707	-0.000	-0.000	$-12/2 \pi$
21	0.598	-0.000	-0.000	$-11/2 \pi$
22	0.217	0.000	0.500	$-10/2 \pi$
23	1.479	-0.000	0.000	$-9/2 \pi$
24	0.000	-0.000	0.000	$-8/2 \pi$
25	-1.479	-0.000	0.000	$-7/2 \pi$
26	-0.217	-0.000	0.000	$-6/2 \pi$
27	-0.598	-0.000	0.000	$-5/2 \pi$
28	-1.707	-0.000	0.000	$-4/2 \pi$
29	0.188	0.500	-0.000	$-3/2 \pi$
30	1.090	0.000	0.000	$-2/2 \pi$
31	-0.092	-0.000	-0.000	$-1/2 \pi$

ตารางที่ 2.3 ข้อมูลต่างๆที่ได้จากการคำนวณ โดยวิธีฟาสต์ฟูเรียร์ทรานส์ฟอร์ม

เอกสารนี้เป็นเอกสารที่สงวนไว้สำหรับการใช้งานเพื่อการศึกษาเท่านั้น ไม่อนุญาตให้นำไปใช้ประโยชน์ด้านการค้า ไม่ว่ากรณีใดๆ ทั้งสิ้น อีกทั้งห้ามมิให้ตัดแปลงเนื้อหาและต้องอ้างอิงถึงเจ้าของเอกสารทุกครั้งที่มีการนำไปใช้

จากข้อมูลที่ได้ที่ตำแหน่ง $k = 16 - 32$ จะเป็นค่าความถี่ทางด้านลบ และที่ตำแหน่ง $k = 0 - 15$ จะเป็นค่าความถี่ทางด้านบวก โดยผลลัพธ์ที่ได้จะแสดงในรูปที่ 2.10 ซึ่งมีค่าจริงเป็นบวกที่ $f = \pm 3/2\pi$ และค่าจินตภาพเป็นค่าบวกและค่าลบที่ $f = -10/2\pi$ และ $f = 10/2\pi$ ตามลำดับ



รูปที่ 2.10 การพล็อตค่าต่างๆ บนแกนความถี่

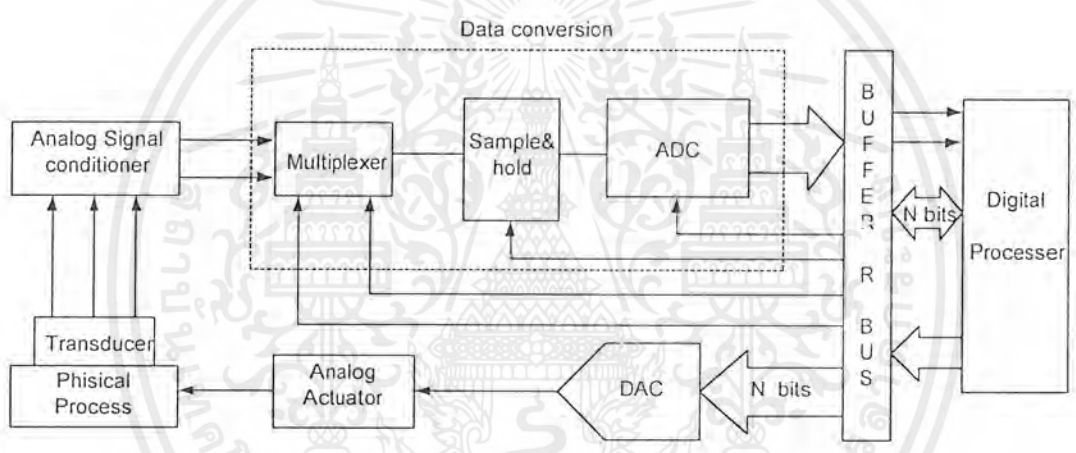
ในการหาค่าฟาสต์ฟูเรียร์ทรานส์ฟอร์มโดยใช้วิธีการแบบบัตเตอร์ฟลายนั้นจะใช้วิธีการหาค่าต่างๆ ตามรูปที่ 2.4 โดยจะต้องรู้ว่าสุ่มสัญญาณมากที่สุดและต้องหาค่า N มาให้ครบทุกค่า ซึ่งจะเป็นวิธีการที่ยุ่งยาก เพราะว่าจะมีบัตเตอร์ฟลายหลายตัว

2.2 การแปลงสัญญาณอนาล็อกเป็นดิจิทัล (ANALOG TO DIGITAL CONVERSION)

รูปแบบสัญญาณไฟฟ้าที่เราพบเห็นและคุ้นเคยในชีวิตประจำวันจะอยู่ในรูปของสัญญาณที่ต่อเนื่องหรือที่เรียกว่า สัญญาณอนาล็อก (Analog Signal) ซึ่งเดิมการนำเอาสัญญาณไฟฟ้างี้ดังกล่าวมาประมวล (Process) เพื่อให้มีรูปแบบที่เหมาะสมจะกระทำในแบบอนาล็อกนั่นเอง แต่เมื่อเทคนิคและเอกสารนี้เป็นเอกสารที่สงวนไว้สำหรับการใช้งานเพื่อการศึกษาเท่านั้น ไม่อนุญาตให้นำไปใช้ประโยชน์ด้านการค้าไม่ว่ากรณีใดๆ ทั้งสิ้น อีกทั้งห้ามมิให้ดัดแปลงเนื้อหาและต้องอ้างอิงถึงเจ้าของเอกสารทุกครั้งที่มีการนำไปใช้



อุปกรณ์การประมวลสัญญาณทางสัญญาณดิจิทัลได้รับการพัฒนาขึ้นมา เนื่องจากพบว่าในรูปแบบดิจิทัล การประมวล เก็บ สื่อสาร และการนำเสนอกระทำได้ง่ายและอย่างมีประสิทธิภาพมากกว่า ดังนั้นการเปลี่ยนรูปแบบของสัญญาณ (conversion) จึงได้มีความจำเป็นขึ้นมา ในรูปที่ 2.11 เป็นตัวอย่างแสดงระบบควบคุมที่ใช้ในการประมวลข้อมูลในระบบดิจิทัลในระบบที่ยกมาเป็นตัวอย่างนี้การเปลี่ยนแปลงทางกายภาพในลักษณะใดๆก็ตาม (physical process) เช่น ความดัน อุณหภูมิ ฯลฯ จะถูกเปลี่ยนเป็นสัญญาณไฟฟ้าที่มีความต่อเนื่อง (สัญญาณอนาล็อก) โดยการใช้ตัวทรานสดิวเซอร์ที่มีคุณสมบัติเหมาะสมกับรูปแบบทางกายภาพนั้น สัญญาณไฟฟ้าจะถูกปรับให้อยู่ในรูปและขนาดที่เหมาะสมก่อนโดย Analog signal conditioner ซึ่งอาจจะเป็นวงจรขยาย หรือ ฟิลเตอร์ เป็นต้น ADC จะทำหน้าที่เปลี่ยนรูปแบบของสัญญาณจากอนาล็อกเป็นดิจิทัล ตัวประมวลผลทางดิจิทัล (Digital processors) เช่น คอมพิวเตอร์จะจัดการกับข้อมูลเพื่อนำเสนอหรือถูกเปลี่ยนกลับมายู่ในรูปแบบอนาล็อกโดย DAC เพื่อป้อนกลับไปควบคุม Physical Process



รูปที่ 2.11 ระบบควบคุมที่มีการประมวลข้อมูลแบบดิจิทัล

ในระบบที่มีข้อมูลที่ต้องประมวลในเวลาเดียวกันหลายข้อมูล หาก ADC ทำงานได้เร็วพอจะไม่จำเป็นต้องใช้ ADC หลายตัวทำงานแยกกันสำหรับข้อมูลแต่ละชุด แต่จะใช้วิธีแบ่งเวลา (timesharing) โดยวิธี multiplexing (รูปที่ 2.11) วงจร sampling and hold (S/H) จะสุ่ม (sample) ขนาดของสัญญาณอนาล็อกมาและเก็บ (hold) ไว้ชั่วขณะเพื่อรอให้ ADC รับเปลี่ยนให้เป็นสัญญาณดิจิทัลจนเรียบร้อยแล้วค่อยสุ่มสัญญาณใหม่ ทั้งนี้เพื่อที่ไม่จำเป็นต้องใช้ ADC ที่มีความเร็วสูงราคาแพง ข้อมูลดิจิทัลจะถูกส่งต่อไปยัง System bus และถูกประมวลโดย Processor ผลของการประมวลจะถูกส่งกลับออกมาเพื่อเปลี่ยนกลับเป็นสัญญาณอนาล็อกโดย DAC เพื่อไปควบคุมกิจกรรมทางกายภาพของระบบผ่าน Analog actuator

วงจร A/D มีด้วยกันหลายแบบ แต่ที่นิยมใช้กันแพร่หลายมี 3 แบบคือ

- แบบสโลปคู่ (dual slope)
- แบบแปลงแรงดันเป็นความถี่ (V to F converter)
- แบบประมาณทีละบิต (successive approximation)

ปน
จ 219ก
15/42

เอกสารนี้เป็นเอกสารที่สงวนไว้สำหรับการใช้งานเพื่อการศึกษาเท่านั้น ไม่อนุญาตให้นำไปใช้ประโยชน์ด้านธุรกิจ
ไม่ว่ากรณีใดๆ ทั้งสิ้น อีกทั้งห้ามมิให้ตัดแปลงเนื้อหาและต้องอ้างอิงถึงเจ้าของเอกสารทุกครั้งที่มีการนำไปใช้

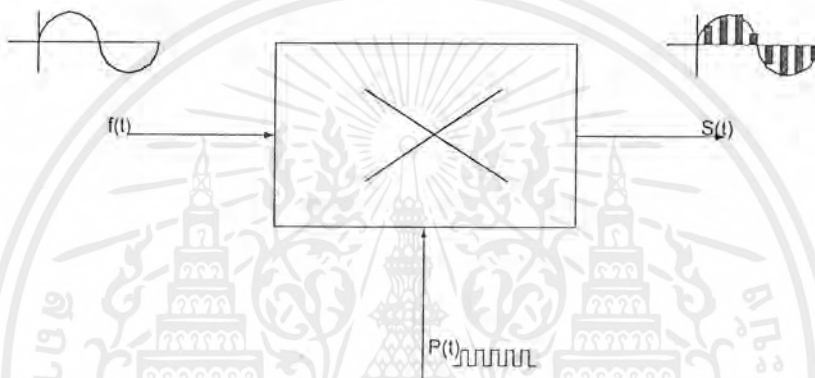
091913

2.2.1 รูปแบบการแปลงสัญญาณอนาล็อกเป็นสัญญาณดิจิทัล

การแปลงสัญญาณอนาล็อกเป็นดิจิทัลประกอบด้วยขบวนการสำคัญ ๆ 3 ส่วนคือ

- 1) การแซมปลิง (Sampling)
- 2) การควอนไทซิง (Quantizing)
- 3) การเข้ารหัส (Encoder)

ซึ่งส่วนประกอบที่สำคัญที่สุดคือการแซมปลิง เพราะความผิดพลาดของสัญญาณดิจิทัลที่แปลงมาจากสัญญาณอนาล็อกนั้นจะมีมากหรือน้อยขึ้นอยู่กับความสัมพันธ์ของความถี่แซมปลิงกับความถี่สูงสุดของสัญญาณอนาล็อก โดยมีทฤษฎีการแซมปลิง (Sampling Theory) ซึ่งความสัมพันธ์ตามทฤษฎีการแซมปลิงดูได้จากรูปที่ 2.12



รูปที่ 12 รูปแสดงการแซมปลิง

จากรูปจะได้ $S(t) = P(t)*f(t)$

เมื่อคูณ $P(t)$ ซึ่งเป็นพัลส์สี่เหลี่ยมและนำมาเขียนสมการฟูรีเยร์ (Fourier) จะได้

$$P(t) = DC + a_0 \cos \omega_0 t + a_1 \cos 3 \omega_0 t + a_2 \cos 5 \omega_0 t + \dots$$

ซึ่ง $P(t)$ ประกอบด้วยความถี่พื้นฐานรวมกับฮาร์โมนิกที่เป็นเลขคี่ไปจนถึง ∞ และนำค่าของ $P(t)$ คูณด้วย $f(t)$ จะได้ $S(t)$

$$S(t) = f(t)*DC + (a_0 \cos \omega_0 t)*f(t) + (a_1 \cos 3 \omega_0 t)*f(t) + \dots$$

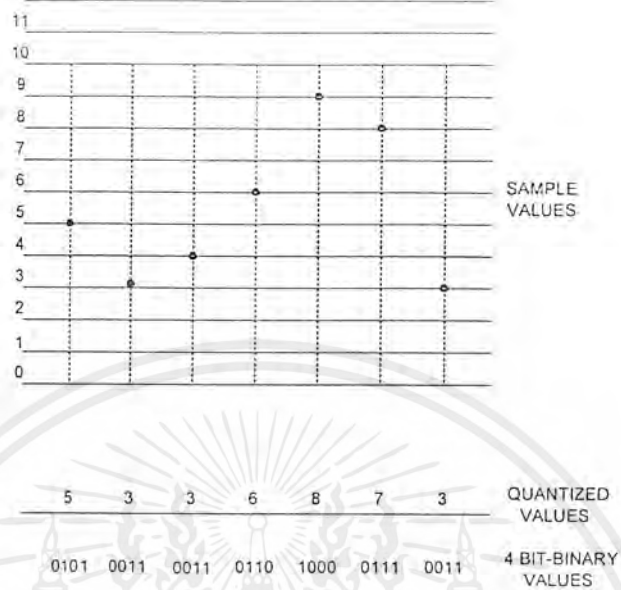
เมื่อพิจารณาคุณทอมที่ 2 จะพบว่ามึรูปแบบเหมือนแอมพลิจูดมอดูเลชัน (AM)

โดยถ้า $f(t) = B \cos \omega_m t$

$$f(t)*a_0 \cos \omega_0 t = (Ba_0/2) \cos(\omega_0 - \omega_m)t - (Ba_0/2) \cos(\omega_0 + \omega_m)t$$

ซึ่งความถี่ ω_0 ที่ใช้สำหรับการแซมปลิงและการดีเทคสัญญาณที่ได้คลื่นมาจะใช่วงจรกรองความถี่ต่ำ (Low Pass Filter) กรองเฉพาะ $f(t)*DC$ ออกมาเท่านั้น ซึ่งถ้าค่า ω_0 มีค่าน้อยกว่า 2 เท่าของ ω_m แล้วจะทำให้มีความถี่ซึ่งเป็นผลต่างของ $\omega_0 - \omega_m$ เข้ามาแทรกใน $f(t)*DC$ ด้วย ซึ่งจะมีผลทำให้สัญญาณที่ดีที่กลับคืนมามีความผิดพลาด ดังนั้นจึงต้องทำการเลือก ω_0 หรือความถี่แซมปลิงให้มีค่ามากกว่า 2 เท่าของความถี่สูงสุดก่อนที่จะมีการแซมปลิง หรือ ω_0 ซึ่งสัญญาณที่ได้ออกมาจากการแซมปลิงนั้น เอกสารนี้เป็นเอกสารที่สงวนไว้สำหรับการใช้งานเพื่อการศึกษาเท่านั้น ไม่อนุญาตให้นำไปใช้ประโยชน์ทางการค้า ไม่ว่ากรณีใดๆ ทั้งสิ้น อีกทั้งห้ามมิให้ตัดแปลงเนื้อหาและต้องอ้างอิงถึงเจ้าของเอกสารทุกครั้งที่มีการนำไปใช้

จะเรียกว่า “พัลส์แอมพลิจูดมอดูเลชัน (Pulse Amplitude Modulation :PAM)”



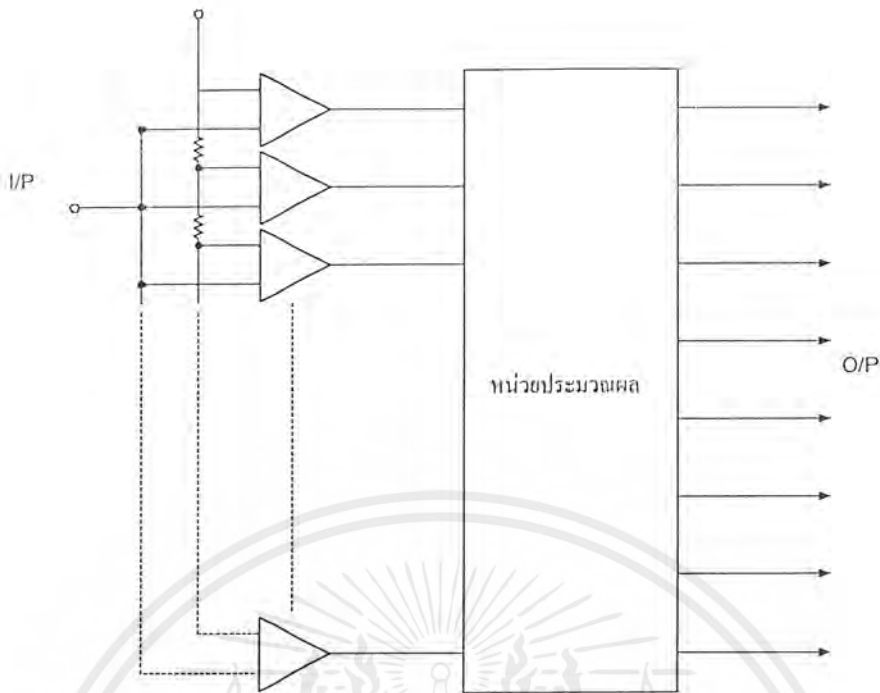
รูปที่ 2.13 รูปแสดงลักษณะสัญญาณของภาคควอนไทซิ่งและการเข้ารหัส

ภาคควอนไทซิ่ง (Quantizing) เป็นการจัดระบบของสัญญาณ PAM ซึ่งอาจจะมีระดับของสัญญาณที่ไม่แน่นอนให้ไปอยู่ในระดับที่แน่นอน ซึ่งในขั้นตอนนี้จะมีความผิดพลาดจากการจัดระดับอยู่ เรียกว่า ควอนไทซิ่งเออเรอร์ หรือสัญญาณรบกวนควอนไทซิ่ง (Quantizing Error , Quantizing Noise) ซึ่งจะมีค่ามากหรือน้อยขึ้นอยู่กับระดับของสัญญาณที่จะแบ่ง ซึ่งลักษณะของสัญญาณภาคควอนไทซิ่งและข้อผิดพลาดของสัญญาณเมื่อได้รับควอนไทซิ่งแล้วก็จะนำไปเข้าสู่วงจรเข้ารหัสให้เป็นสัญญาณดิจิทัลซึ่งจะมีค่า 2 ระดับคือ 0 กับ 1 เท่านั้น ถ้าการส่งข้อมูลเป็นแบบ 8 บิต เพราะฉะนั้นจะส่งข้อมูลได้ถึง $2^8 = 256$ ระดับ โดยกำหนดให้ระดับต่ำสุดของสัญญาณควอนไทซิ่ง (Quantizing Signal) เท่ากับ 1111 1111 ดังนั้นข้อมูลที่ออกมาจะเป็นสัญญาณดิจิทัลที่มีค่าตามระดับที่ตั้งไว้

2.2.2 แฟลชอนาล็อกทูดิจิตอลคอนเวอร์เตอร์ (Flash A/D)

แฟลชอนาล็อกทูดิจิตอลคอนเวอร์เตอร์ คือ วงจรที่เปลี่ยนสัญญาณอนาล็อกให้เป็นสัญญาณดิจิทัล (A/D Converter) ที่มีความเร็วสูงในการเปลี่ยน เนื่องจากแฟลชเอทูดิจจะใช้การ โปรแกรมเอาท์พุทไว้ก่อนแล้ว ส่วนวงจรเปรียบเทียบในโซ่อุปแอมป์ที่มีจำนวนเท่ากับจำนวนของสัญญาณเอาท์พุทที่เกิดขึ้นเป็นสัญญาณดิจิทัล 8 บิต ซึ่งจะต้องใช้ซอฟต์แวร์ $2^8 = 256$ ตัวโดยที่แต่ละตัวจะมีแรงดันอ้างอิงที่เป็นค่าคงที่อยู่ที่ค่าหนึ่งตามระดับของสัญญาณดังรูปที่ 2.14

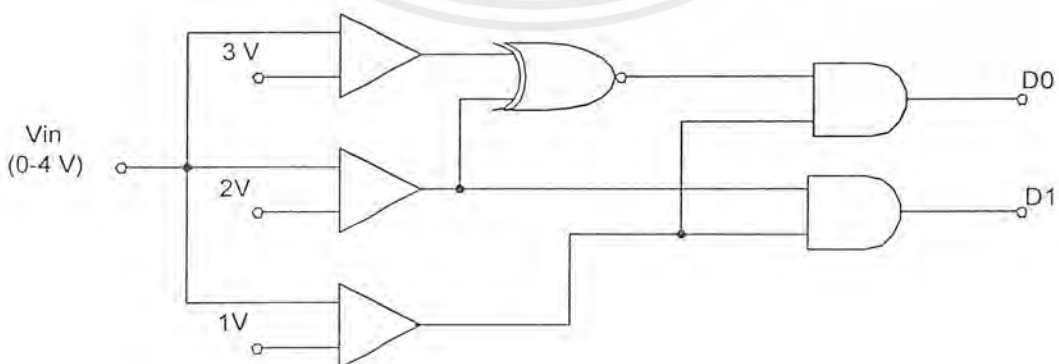
เอกสารนี้เป็นเอกสารที่สงวนไว้สำหรับการใช้งานเพื่อการศึกษาเท่านั้น ไม่อนุญาตให้นำไปใช้ประโยชน์ด้านการค้าไม่ว่ากรณีใดๆ ทั้งสิ้น อีกทั้งห้ามมิให้ดัดแปลงเนื้อหาและต้องอ้างอิงถึงเจ้าของเอกสารทุกครั้งที่มีการนำไปใช้



รูปที่ 14 รูปแสดงวงจร Flash A/D

เมื่อมีสัญญาณอินพุตเข้ามาสัญญาณที่เข้ามาจะถูกส่งต่อไปยังออปแอมป์ทุกตัวเพื่อทำการเปรียบเทียบกับแรงดันอ้างอิงของแต่ละตัว ถ้าสัญญาณอินพุตที่เข้ามาไปตรงกับออปแอมป์ตัวใดก็จะทำให้มีสัญญาณออกมาที่เอาท์พุทส่งไปให้วงจรประมวลผล เพื่อที่จะจัดหาค่าของสัญญาณดิจิทัล สัญญาณเอาท์พุทให้ได้ตามค่าของสัญญาณอินพุตที่ส่งเข้ามา ซึ่งการเปลี่ยนสัญญาณในรูปแบบนี้ไม่ต้องใช้วงจรนับแล้วป้อนกลับมาเปรียบเทียบทีละค่า จึงทำให้ความเร็วในการเปลี่ยนสัญญาณสูงมาก

บางครั้งจะเรียกเฟลชอูคู่ว่า Open Loop Converter เนื่องจากไม่มีสัญญาณป้อนกลับไปยังอินพุท ตัวอย่างดังรูปที่ 2.15



รูปที่ 2.15 แสดงหลักการของ Open Loop Converter

เอกสารนี้เป็นเอกสารที่สงวนไว้สำหรับการใช้งานเพื่อการศึกษาเท่านั้น ไม่อนุญาตให้นำไปใช้ประโยชน์ด้านการค้าไม่ว่ากรณีใดๆ ทั้งสิ้น อีกทั้งห้ามมิให้ตัดแปลงเนื้อหาและต้องอ้างอิงถึงเจ้าของเอกสารทุกครั้งที่มีการนำไปใช้

จากรูปที่ 2.15 จะใช้ลอจิกเกตเป็นวงจรที่เปลี่ยนระดับของสัญญาณอินพุตให้เป็นสัญญาณดิจิทัล โดยเริ่มจากเมื่อมีอินพุต 0 โวลต์ เข้ามาจะทำให้เอาต์พุตทุกตัวของคอมพาราเตอร์ (Comparator) เป็น 0 หหมด และเมื่อผ่านเอ็กคลูซีฟนอร์เกต (Exclusive-Nor Gate) จะมีผลทำให้เอาต์พุตเป็น 1 ซึ่งจะเข้าไปเข้า AND เกตเบอร์ 1 เป็น 0 $D_0 = 0$ และ AND เบอร์ 2 จะมีเอาต์พุตเป็น 00 ดังนั้น $D_1 = 1$ เพราะฉะนั้นระดับ 0 โวลต์เอาต์พุตของเอชดีจึงเท่ากับ 00 เมื่อ $V_{in} = 1$ โวลต์จะทำให้เอาต์พุตของคอมพาราเตอร์ตัวที่ 1 เป็น 1 ไป AND กับเอาต์พุตของเอ็กคลูซีฟนอร์เกตซึ่งเป็น 1 ทำให้ได้ $D_0 = 1$ ส่วน D_1 ได้จากการ AND กันของ เอาต์พุตคอมพาราเตอร์ตัวที่ 1 กับตัวที่ 2 เป็น 1 0 ดังนั้นเอาต์พุต $D_1 = 0$ เพราะฉะนั้นที่ระดับ $V_{in} = 2$ โวลต์จะทำให้เอาต์พุตของคอมพาราเตอร์ตัวที่ 1 กับตัวที่ 2 เป็น 1 ทำให้เอาต์พุตของ $D_1 = 1$ และ $D_2 = 0$ เพราะฉะนั้นเอาต์พุตของเอชดีจึงเท่ากับ 1 0 และเมื่อ $V_{in} = 3$ โวลต์จะทำให้เอาต์พุตของคอมพาราเตอร์ทุก ตัวเป็น 1 ดังนั้นเมื่อผ่าน ลอจิกเกตจะได้เอาต์พุตเป็น 1 1

ข้อดีของวงจรแฟลชเอชดีคือ มีความสามารถในการเปลี่ยนสัญญาณได้เร็วมาก

ข้อเสียของวงจรแฟลชเอชดีคือ จะต้องใช้จำนวนของคอมพาราเตอร์จำนวนมากเป็น 2 เท่าเมื่อ ต้องการเพิ่ม 1 บิต หรือถ้าเป็นสมการจะได้จำนวนออปแอมป์เท่ากับ 2^{N-1} ตัวโดย N คือจำนวนบิต ดังนั้น เมื่อเราใช้สัญญาณดิจิทัล 8 บิต เราจะต้องใช้คอมพาราเตอร์ถึง 256 ตัว ซึ่งจะทำให้อุปกรณ์มีราคาสูงมาก

ในโครงการนี้จึงใช้แฟลชเอชดีเบอร์ CA3318C ที่มีค่าควอนไทซ์ 256 ระดับ (8 บิต) และมีความถี่ในการแซมปลิงสูงถึง 15 MHz

2.3 วงจรตามศักดาสัญญาณ (Voltage Follower)

วงจรในรูปที่ 2.16 จะปฏิบัติตามศักดาสัญญาณ นั่นคือศักดาสัญญาณออกจะเปลี่ยนแปลงตาม สัญญาณเข้าทุกประการ



รูปที่ 2.16 แสดงวงจรตามศักดาสัญญาณ

บางครั้งอาจจะเรียกวงจรดังกล่าวนี้ว่า เป็นวงจรค่าขยายสัญญาณหนึ่ง (Unity gain amplifier) หรือ วงจรสะท้อนสัญญาณ (Buffer amplifier) สัญญาณเข้า E_i จะจ่ายเข้าโดยตรงยังขาสัญญาณเข้า (+) และเนื่องจากศักดาระหว่างขาสัญญาณเข้า (+) และ (-) จะถือได้ว่าเป็น 0 และจากรูปที่ 2.16 เราจะเห็นว่าขา สัญญาณออกได้ต่อยู่กับขาสัญญาณเข้า (-) ดังนั้นศักดาสัญญาณออกเท่ากับศักดาสัญญาณเข้าทั้งระดับ และเครื่องหมายส่วนค่าขยายสัญญาณเท่ากับหนึ่ง

$$V_o = E_i$$

เอกสารนี้เป็นเอกสารที่สงวนไว้สำหรับการใช้งานเพื่อการศึกษาเท่านั้น ไม่อนุญาตให้นำไปใช้ประโยชน์ด้านการค้า ไม่ว่ากรณีใดๆ ทั้งสิ้น อีกทั้งห้ามมิให้ตัดแปลงเนื้อหาและต้องอ้างอิงถึงเจ้าของเอกสารทุกครั้งที่มีการนำไปใช้

$$A_{CL} = V_o / E_i = 1$$

อิมพีแดนซ์จุดสัญญาณเข้า ซึ่งมองเข้าไปที่จุดสัญญาณเข้า (+) จะมีค่าสูงที่สุดมาก(หลายเม็กกะโอห์ม)ดังนั้นจุดสัญญาณออกและจุดสัญญาณเข้าจึงถูกแยกออกจากกันอย่างอิสระ

2.4 ช่วงตอบสนองต่อความถี่ของออปแอมป์

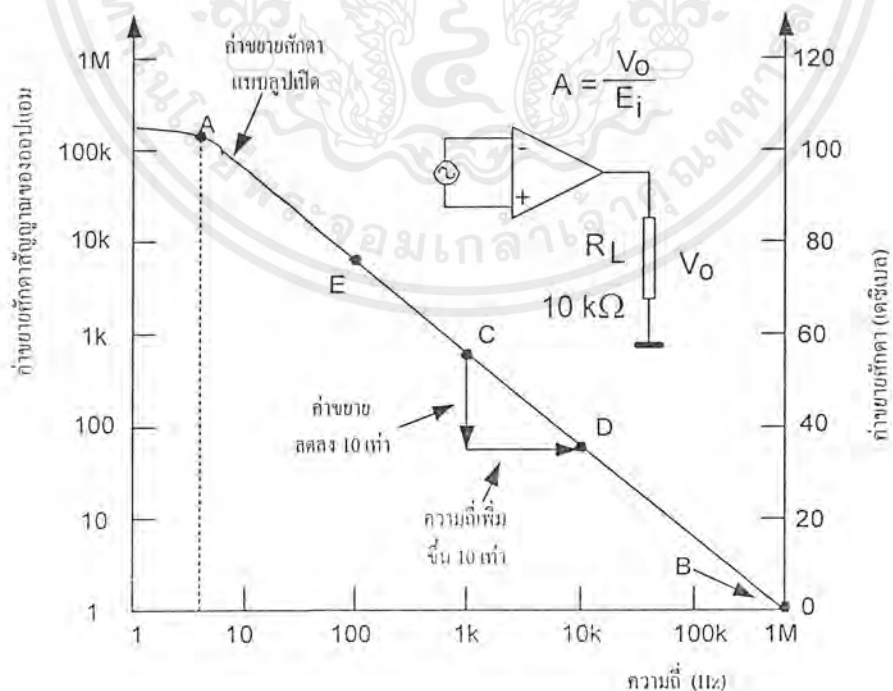
2.4.1 การชดเชยความถี่ภายในวงจรออปแอมป์

ออปแอมป์หลายแบบมีการชดเชยความถี่ภายในตัวออปแอมป์ นั่นคือผู้ผลิตได้สร้างความจุไฟฟ้าค่าเล็กประมาณ 30 ไมโครฟาราดไว้ในตัวออปแอมป์ และความจุไฟฟ้าชดเชยความถี่ดังกล่าวนี้จะคอยกั้นไม่ให้ออปแอมป์ ออสซิลเลทที่ความถี่สูง การออสซิลเลทนี้จะทำได้โดยการลดค่าขยายแบบรูปเปิดของออปแอมป์ที่ความถี่สูง มิเช่นนั้นแล้วที่ความถี่สูงๆจะมีจุด ซึ่งทั้งค่าขยายและค่าเลื่อนเฟส และระดับสัญญาณป้อนกลับมีเพียงพอที่จะทำให้ออปแอมป์ออสซิลเลทได้

จากทฤษฎีของวงจรมีเบื้องต้น เราทราบว่ารีแอกแตนซ์ของความจุไฟฟ้าจะลดลงเมื่อความถี่เพิ่มขึ้น ในลักษณะ $X_c = 1/(2\pi fC)$ นั่นคือเมื่อความถี่เพิ่มขึ้น 10 เท่ารีแอกแตนซ์จะลดลง 10 เท่าความถี่ที่เปลี่ยนไป 10 เท่าจะเรียกว่าหนึ่งดีเซต ผู้ผลิตจะแสดงความสัมพันธ์ระหว่างค่าขยายศักดาสัญญาณแบบรูปเปิด และความถี่ในลักษณะของกราฟ ซึ่งจะเรียกว่ากราฟการตอบสนองต่อความถี่สำหรับสัญญาณระดับต่ำ

2.4.2 กราฟการตอบสนองต่อความถี่ภายในออปแอมป์

รูปที่ 2.17 เช่นออปแอมป์แบบ 741 และ 747 ที่ความถี่ต่ำมากๆ (ต่ำกว่า 0.1 เฮิรต์) ค่าขยายศักดาสัญญาณแบบรูปเปิดจะมีค่าสูงมาก โดยทั่วไปจะมีค่าประมาณ 200,000 เท่าหรือ 106 เดซิเบล ในกรณีที่ผู้ผลิตไม่ได้แสดงกราฟการตอบสนองต่อความถี่ เขามักจะแจ้งค่าขยายศักดาสัญญาณดังกล่าวนี้แทน



รูปที่ 2.17 กราฟการตอบสนองต่อความถี่

เอกสารนี้เป็นเอกสารที่สงวนไว้สำหรับการใช้งานเพื่อการศึกษาเท่านั้น ไมออนุญาตให้นำไปใช้ประโยชน์ด้านการค้า ไม่ว่าจะกรณีใดๆ ทั้งสิ้น อีกทั้งห้ามมิให้ดัดแปลงเนื้อหาและต้องอ้างอิงถึงเจ้าของเอกสารทุกครั้งที่มีการนำไปใช้

จุด A ในรูปที่ 2.17 จะเป็นจุดแยกความถี่(Break frequency point) ณ จุดนี้ค่าขยายศักดาสัญญาณจะมีค่าประมาณ 0.707 เท่าของค่าที่ความถี่ต่ำมากๆ ดังนั้น ค่าขยายศักดาสัญญาณที่จุด A จะเท่ากับ $0.707 \times 200,000$ หรือประมาณ 140,000 เท่า

จุด C และ D แสดงว่าค่าขยายสัญญาณจะลดลง 10 เท่า เมื่อความถี่เพิ่มขึ้น 10 เท่าหรืออาจจะกล่าวได้ว่าค่าขยายสัญญาณจะลดลง 1 ดีเซต ต่อความถี่เพิ่มขึ้น 1 ดีเซต แทนขวามถี่ในรูปที่ 10 แสดงค่าขยายศักดาสัญญาณในหน่วยเดซิเบล ดังนั้นจะเห็นได้ว่าค่าขยายสัญญาณจะลดลงในอัตรา 20 เดซิเบลต่อ 1 ดีเซตของการเพิ่มของสัญญาณ หรือในบางกรณี เราอาจจะใช้ในหน่วยออกเทป(2 เท่า) ได้ว่าค่าขยายศักดาสัญญาณจะลดลงในระดับ 6 เดซิเบลต่อความถี่เพิ่มขึ้น 1 ออกเทปแบนด์วิดเมื่อค่าขยายเท่ากับหนึ่ง

จุด B แทนกราฟของรูปที่ 2.17 เป็นจุดกำหนดแบนด์วิด ณ จุดค่าขยายเท่ากับหนึ่งของออปแอมป์ นั่นคือจะอยู่ ณ จุดความถี่ที่ค่าขยายศักดาสัญญาณแบบรูปเปิดเท่ากับหนึ่ง

ในบางกรณีผู้ผลิตจะไม่แจ้งแบนด์วิดค่าขยายหนึ่ง หรือกราฟของการตอบสนองต่อความถี่ แต่จะแจ้งเวลาตอบสนองต่ำสุดในการเพิ่มระดับสัญญาณออก เมื่อค่าขยายสัญญาณรูปเปิดเท่ากับหนึ่ง (Transient response rise time at unity gain) สำหรับออปแอมป์แบบ 741 จะมีเวลาตอบสนองดังกล่าวอยู่ในช่วง 0.25 ไมโครวินาที ถึง 0.8 ไมโครวินาที ดังนั้นแบนด์วิด B จะคำนวณได้จาก

$$B = 0.35 / (\text{Rise Time})$$

โดย B หน่วยเป็นเฮิร์ต และเวลาเพิ่มระดับหรือ Rise Time มีหน่วยเป็นวินาที เราจะได้นิยามของการเพิ่มระดับให้รัดกุมกว่านี้ในหัวข้อย่อยที่ 2.4.3

ตัวอย่างที่ 1 ถ้าออปแอมป์แบบ 741 มีเวลาเพิ่มระดับหรือ Rise Time เท่ากับ 0.35 ไมโครวินาที จงคำนวณหาแบนด์วิดเมื่อค่าขยายเท่ากับหนึ่ง

วิธีทำ

$$\begin{aligned} \text{จากสมการเราจะได้ } B &= 0.35 / 0.35 \mu\text{sec} \\ &= 1 \text{ MHz} \end{aligned}$$

ตัวอย่างที่ 2 จงคำนวณหาค่าขยายศักดาสัญญาณแบบรูปเปิด ณ จุดความถี่ 100 กิโลเฮิร์ตสำหรับออปแอมป์ในตัวอย่างที่ 1

วิธีทำ จากรูปที่ 10 จะเห็นได้ว่าเมื่อความถี่ลดลง 10 เท่าเนื่องจากค่าขยายสัญญาณเท่ากับหนึ่ง เมื่อความถี่เท่ากับ 1 เมกกะเฮิร์ต ดังนั้น ณ จุดความถี่ 100 กิโลเฮิร์ต ค่าขยายศักดาสัญญาณจะเท่ากับ 10

ตัวอย่างที่ 3 จงคำนวณหาค่าขยายศักดาสัญญาณแบบรูปเปิด สำหรับออปแอมป์ซึ่งมีแบนด์วิดเมื่อมีค่าขยายสัญญาณเท่ากับหนึ่ง เท่ากับ 15 เมกกะเฮิร์ต ณ จุดความถี่ 1 กิโลเฮิร์ต

วิธีทำ จากตัวอย่างที่ 2 เราอาจสรุปได้ว่า เมื่อหารแบนด์วิดค่าขยายหนึ่งด้วยความถี่ของสัญญาณ เราจะได้ค่าขยายรูปเปิด ณ ความถี่นั้นๆ นั่นคือ

$$\text{ค่าขยายรูปเปิด } G = \text{แบนด์วิด} / \text{ความถี่ของสัญญาณเข้า}$$

ดังนั้นในกรณีปัจจุบันนี้ เราจะได้ค่าขยายศักดาสัญญาณรูปเปิด ณ ความถี่ 1 กิโลเฮิร์ต เท่ากับ

$$1.5 \text{ MHz} / 1 \text{ kHz} = 1500$$

เอกสารนี้เป็นเอกสารที่สงวนไว้สำหรับการใช้งานเพื่อการศึกษาเท่านั้น ไม่อนุญาตให้นำไปใช้ประโยชน์ด้านการค้า ไม่ว่ากรณีใดๆ ทั้งสิ้น อีกทั้งห้ามมิให้ตัดแปลงเนื้อหาและต้องอ้างอิงถึงเจ้าของเอกสารทุกครั้งที่มีการนำไปใช้

โดยทั่วไปสำหรับออปแอมป์ราคาถูก ผู้ผลิตจะกำหนดค่าขยายศักดาสัญญาณแบบลูเปิด โดยเฉลี่ยเท่ากับ 200,000 แต่ออปแอมป์แต่ละตัวอาจจะมีค่าขยายลดลงได้ 10 เท่า คือเท่ากับ 20,000 โดยทั่วไปผู้ผลิตจะรับรองว่าไม่มีออปแอมป์ตัวใด ค่าขยายต่ำกว่า 20,000 ค่าขยายศักดาสัญญาณ แบบลูเปิดเพียง 20,000 ก็เพียงพอต่อการใช้งานในกรณีต่างๆไปแล้ว

2.4.3 เวลาเพิ่มระดับ

ถ้าสมมุติว่าระดับศักดาสัญญาณเข้าของวงจรตามสัญญาณ ซึ่งมีค่าขยายศักดาสัญญาณเท่ากับหนึ่ง เปลี่ยนระดับอย่างรวดเร็วในลักษณะสัญญาณรูปสี่เหลี่ยมผืนผ้า อาจจะเปลี่ยนระดับจากศูนย์โวลต์ถึง + 20 มิลลิโวลต์ในเวลาศูนย์วินาที แต่ในทางปฏิบัติ การเปลี่ยนระดับของสัญญาณเข้าอาจจะใช้เวลาหลายนาโนวินาที สัญญาณออกของออปแอมป์ก็ควรเปลี่ยนระดับจากศูนย์โวลต์ไปเป็น +20 มิลลิโวลต์เช่นกัน แต่ลักษณะการเปลี่ยนระดับของสัญญาณออกจะล่าหลังศักดาสัญญาณเข้า ดังนั้นเราจึงกำหนดนิยามของเวลาของการเพิ่มระดับไว้ว่าคือเวลาที่ศักดาสัญญาณออกใช้ในการเพิ่มระดับจากค่า 10 เปอร์เซ็นต์ของระดับสุดท้ายจนถึง 90 เปอร์เซ็นต์ ของระดับสุดท้ายสำหรับออปแอมป์แบบ 741 มีเวลาเพิ่มระดับเท่ากับ 0.35 ไมโครวินาที นั่นคือศักดาสัญญาณออกจะใช้เวลา 0.35 ไมโครวินาที ในการเพิ่มระดับจาก 2 มิลลิโวลต์ ถึง 18 มิลลิโวลต์

2.4.4 อัตราสากและศักดาสัญญาณออก

นิยามของอัตราสาก

อัตราสากของออปแอมป์จะเป็นตัวกำหนดอัตราสากสูงสุด ซึ่งศักดาสัญญาณออกจะเปลี่ยนระดับได้สำหรับออปแอมป์แบบใช้งานทั่วไป เช่นแบบ 741 อัตราสากจะเท่ากับประมาณ 0.5 โวลต์/ไมโครวินาที นั่นคือระดับศักดาออกจะเปลี่ยนค่าได้สูงสุดเพียง 0.5 โวลต์ในเวลา 1 ไมโครวินาที อัตราสากจะขึ้นอยู่กับหลายสิ่ง คือค่าขยายสัญญาณของวงจรรค่าความจุไฟฟ้าชดเชย และแม้กระทั่งว่าระดับศักดาสัญญาณเข้ากำลังเพิ่มหรือลดระดับ อัตราสากค่าต่ำสุดจะเกิดขึ้น เมื่อค่าขยายสัญญาณของวงจรเท่ากับหนึ่ง ดังนั้นผู้ผลิตออปแอมป์มักจะแจ้งอัตราสาก เมื่อค่าขยายเท่ากับหนึ่ง

สาเหตุที่จำกัดอัตราสาก

โดยทั่วไป ภายในออปแอมป์ (หรือบางกรณีอาจจะอยู่ภายนอก) จะต้องมีความจุไฟฟ้าอย่างน้อยหนึ่งตัวเพื่อป้องกันการออสซิลเลทของออปแอมป์ วงจรของออปแอมป์ซึ่งค่ออยู่กับความจุไฟฟ้าดังกล่าวนี้ จะจ่ายกระแสผ่านความจุไฟฟ้าได้สูงสุดค่าหนึ่งขึ้นอยู่กับลักษณะการออกแบบของวงจร อัตราส่วนของกระแสสูงสุด 1 และค่าความจุไฟฟ้าชดเชย จะเท่ากับอัตราสาก ตัวอย่างเช่น ออปแอมป์แบบ 741 จะจ่ายกระแสสูงสุดเพื่อเพิ่มหรือลดประจุของความจุไฟฟ้าชดเชยซึ่งมีค่าประมาณ 30 พิโคฟาราด เท่ากับ 15 ไมโครแอมป์ดังนั้น

$$\begin{aligned}\text{อัตราสาก} &= (\text{ระดับเปลี่ยนของศักดาสัญญาณออก}) / \text{เวลา} \\ &= I/C = 15 \mu\text{A} / 30\text{pF} \\ &= 0.5 \text{ V}/\mu\text{sec}\end{aligned}$$

เอกสารนี้เป็นเอกสารที่สงวนไว้สำหรับการใช้งานเพื่อการศึกษาเท่านั้น ไม่อนุญาตให้นำไปใช้ประโยชน์ด้านการค้าไม่ว่ากรณีใดๆ ทั้งสิ้น อีกทั้งห้ามมิให้ดัดแปลงเนื้อหาและต้องอ้างอิงถึงเจ้าของเอกสารทุกครั้งที่มีการนำไปใช้

จากสมการจะเห็นได้ว่า ถ้าต้องการอัตราสลับที่เร็วขึ้น ออปแอมป์จะต้องมีความสามารถจ่ายกระแสสูงสุดได้เพิ่มขึ้น หรือความจุไฟฟ้าชดเชย จะต้องลดลง เช่นในออปแอมป์ AD 518 ซึ่งมีอัตราสลับเท่ากับ 80 โวลต์/ไมโครวินาที จะต้องมี $I = 400$ ไมโครแอมป์และ $C = 50$ พิโกฟาราด

ตัวอย่างที่ 4 ถ้าศักดาสัญญาณเข้าเปลี่ยนแปลงอย่างทันทีทันใด เท่ากับ 10 โวลต์ สำหรับวงจรถ่ายศักดาสัญญาณแบบกลับศักดา ซึ่งมีค่าขยายเท่ากับหนึ่ง ถ้าออปแอมป์ที่ใช้เป็นแบบ 741 จงคำนวณหาเวลาที่ศักดาสัญญาณออกต้องการในการเพิ่มระดับขึ้น 10 โวลต์

วิธีทำ

$$\text{อัตราสลับ} = (\text{ระดับเปลี่ยนของศักดาสัญญาณออก}) / \text{เวลา}$$

$$0.5V/1\mu\text{sec} = 10 V / t$$

ดังนั้นจะได้

$$t = (10 V \times 1 \mu\text{sec}) / 0.5 V \\ = 20 \mu\text{sec}$$

การจำกัดอัตราสลับสำหรับสัญญาณรูปซายน์

ในวงจรตามสัญญาณของภาพที่ 2.16 มี E_i เป็นสัญญาณเข้ารูปซายน์ ซึ่งมีระดับศักดาสูงสุดเท่ากับ E_p อัตราการเปลี่ยนระดับสูงสุด E_i ขึ้นอยู่กับความถี่ f และระดับศักดาสูงสุด E_p เท่ากับ $2\pi f E_p$ ถ้าอัตราดังกล่าวมีค่าสูงกว่าอัตราสลับของออปแอมป์ ผลจะปรากฏว่าศักดาของสัญญาณออกจะเปลี่ยนรูปไปจากสัญญาณเข้า คือเกิดคิสรอขึ้นขึ้น ทั้งนี้เพราะศักดา V_o จะพยายามตามศักดา E_i แต่ V_o จะเปลี่ยนระดับได้ค่าสูงสุดเท่ากับอัตราสลับเท่านั้น ดังนั้นถ้า $2fE_p$ มีค่าสูงเท่าอัตราสลับมากขึ้นเท่าใด ผลจะปรากฏว่า V_o จะมีลักษณะใกล้เคียงกับสัญญาณรูปสามเหลี่ยมมากขึ้นเท่านั้น ความถี่สูงสุด (f_{\max}) ซึ่งเราจะได้สัญญาณออกซึ่งมีระดับสูงสุดเท่ากับ V_{op} และไม่มีคิสรอขึ้นจะหาได้จาก

$$f_{\max} = (\text{อัตราสลับ}) / 6.28 \times V_{op}$$

โดยที่ f_{\max} มีหน่วยเป็นเฮิรต, V_{op} มีหน่วยเป็นโวลต์ และอัตราสลับมีหน่วยเป็นโวลต์ต่อไมโครวินาที

ตัวอย่างที่ 5 ถ้าอัตราสลับของออปแอมป์แบบ 741 เท่ากับ 0.5 โวลต์/ไมโครวินาที จงหาความถี่สูงสุดซึ่งจะได้สัญญาณออกแบบ ไม่มีคิสรอขึ้นสำหรับระดับศักดาสูงสุดดังนี้ (a) 10 โวลต์ (b) 1 โวลต์

วิธีทำ (a) จากสมการ

$$f_{\max} = (1 \times 0.5V/\mu\text{sec}) / (6.28 \times 13V) \\ = 8 \text{ kHz}$$

(b) จากสมการ

$$f_{\max} = 80 \text{ kHz}$$

ตัวอย่างที่ 6 ระดับอัตราสัญญาณออกสูงสุดของออปแอมป์แบบ 741 จะเท่ากับ 13 โวลต์ ถ้าใช้

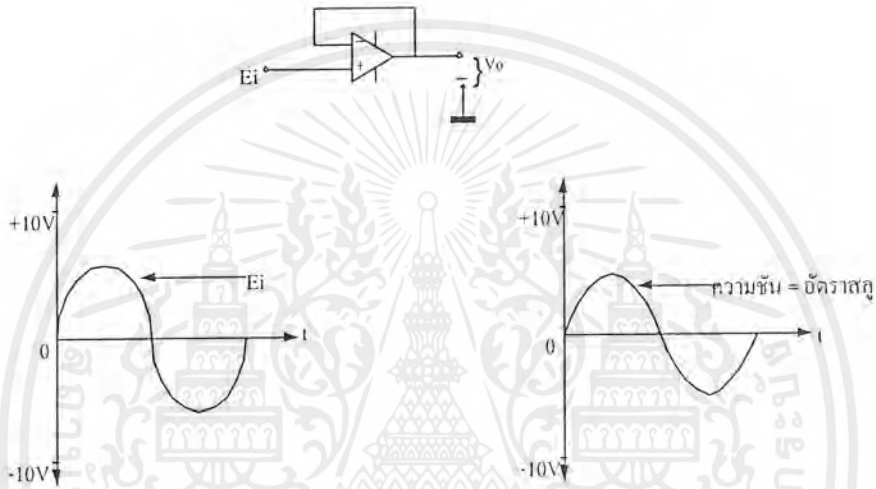
ไฟจ่ายซึ่งมีระดับศักดา ± 15 โวลต์ ระดับศักดาสัญญาณออกดังกล่าวนี้จะเรียกว่าเป็นระดับสัญญาณออก เอกสารนี้เป็นเอกสารที่สงวนไว้สำหรับการใช้งานเพื่อการศึกษาเท่านั้น ไมออนุญาตให้นำไปใช้ประโยชน์ด้านการค้า ไม่ว่าจะกรณีใดๆ ทั้งสิ้น อีกทั้งห้ามมิให้ดัดแปลงเนื้อหาและต้องอ้างอิงถึงเจ้าของเอกสารทุกครั้งที่มีการนำไปใช้

กำลังสูงสุด จึงคำนวณหาความถี่สูงสุดซึ่งออปแอมป์จะจ่ายสัญญาณออกกำลังสูงสุดได้ โดยไม่มีคิสรหรือชั้น

วิธีทำ

$$f_{\max} = (1 \times 0.5V/\mu\text{sec}) / (6.28 \times 13V) \\ = 6 \text{ kHz}$$

ตัวอย่างที่ 5 และ ตัวอย่างที่ 6 แสดงว่าอัตราสจรจะเป็นจำนวนจำกัดขีดความถี่สูงสุดสำหรับสัญญาณระดับสูง เมื่อระดับสัญญาณลดลง ขีดความถี่สูงสุด ซึ่งถูกจำกัดโดยอัตราสจรจะเพิ่มขึ้น



รูปที่ 2.18 ตัวอย่างผลของอัตราสจรที่มีต่อสัญญาณออก

จากที่ได้กล่าวมาแล้วในหัวข้อก่อนว่าขีดความถี่สูงสุดสำหรับสัญญาณระดับต่ำจะเพิ่มขึ้น ถ้าค่าขยายคิกคาแบบรูปปิดลดลง ดังนั้นในการปฏิบัติงานของออปแอมป์ในแต่ละกรณี ขีดความถี่สูงสุดซึ่งถูกจำกัดโดยอัตราสจรและแบนด์วิดสัญญาณระดับต่ำ จะต้องคำนวณเปรียบเทียบกัน ขีดความถี่อื่นต่ำที่คำนวณได้จะเป็นขีดความถี่ซึ่งจะจำกัดความถี่สูงสุดของการใช้งาน โดยทั่วไปอัตราสจรจะเป็นจำนวนจำกัดความถี่สูงสุด เมื่อสัญญาณมีระดับสูง และการตอบสนองต่อสัญญาณระดับต่ำจะเป็นจำนวนจำกัดความถี่สูงสุดเมื่อสัญญาณมีระดับต่ำ

2.5 ตำแหน่งขาต่าง ๆ บนสล็อต ISA

ภายใน IBM PC ได้มีการออกแบบให้สามารถเพิ่มเติมวงจรรินเตอร์เฟสเข้าไปภายหลังได้โดยผ่านสล็อตที่มีอยู่บนเมนบอร์ด สำหรับสล็อตมาตรฐานแรกบนเครื่องคอมพิวเตอร์ส่วนบุคคลคือสล็อตแบบ ISA ซึ่งแต่ละสล็อตมีจำนวนขาทั้งสิ้น 64 ขา แบ่งเป็น 2 ข้าง ๆ ละ 32 ขา ตำแหน่งขาของที่อยู่ด้านซ้ายของสล็อตจะเลือกโดยใช้อักษร B นำเลขหน้าของตำแหน่งของขา เช่นขา B10 คือขาทางด้านซ้ายของเอกสารนี้เป็นเอกสารที่สงวนไว้สำหรับการใช้งานเพื่อการศึกษาเท่านั้น ไม่อนุญาตให้นำไปใช้ประโยชน์ด้านการค้า ไม่ว่าจะกรณีใดๆ ทั้งสิ้น อีกทั้งห้ามมิให้ดัดแปลงเนื้อหาและต้องอ้างอิงถึงเจ้าของเอกสารทุกครั้งที่มีการนำไปใช้

สล็อดขาที่ 10 (นับจากทางด้านซ้ายของเครื่อง) ส่วนตำแหน่งของขาที่อยู่ทางด้านขวาของสล็อดจะเลือกโดยใช้อักษร A นำหน้าเลขตำแหน่งของขา เช่น A24 คือขาทางด้านขวาของสล็อดขาที่ 24 (นับจากทางด้านซ้ายของเครื่อง)

แต่ขาของสล็อดเหล่านี้เชื่อมต่อกับเส้นสัญญาณต่าง ๆ บนเมนบอร์ด ทำให้การสร้างวงจรรินเตอร์เฟสกับเครื่องคอมพิวเตอร์ส่วนบุคคลสามารถทำได้สะดวก เส้นสัญญาณที่เชื่อมต่อกับขาสล็อดเหล่านี้ประกอบด้วย เส้นสัญญาณของแอดเดรส (Address Bus) , บัสข้อมูล (Data Bus) , บัสควบคุม สำหรับการเขียนและการอ่านข้อมูลจากหน่วยความจำหรือพอร์ท I/O , เส้นสัญญาณสำหรับการขออินเตอร์รัพของวงจรรินเตอร์เฟส , เส้นสัญญาณสำหรับขอ DMA (Direct Memory Access) , สัญญาณฐานเวลา (Timing Signal) ต่าง ๆ ที่ใช้ในระบบเส้นสัญญาณแสดงการรีเฟรชหน่วยความจำและสัญญาณสำหรับตรวจสอบความผิดพลาด (I/O Check) นอกจากนี้เส้นสัญญาณเหล่านี้แล้วสล็อด ISA ยังสามารถเชื่อมต่อกับแหล่งจ่ายไฟต่าง ๆ คือ ± 5 V(DC) , ± 12 V(DC) ตำแหน่งขาต่าง ๆ บนสล็อด ISA แสดงไว้ในรูปที่ 2.19

ชื่อ สัญญาณ	ตำแหน่งขาบนสล็อด		ชื่อ สัญญาณ	ชื่อ สัญญาณ	ชื่อ สัญญาณ	ตำแหน่งขาบนสล็อด		ชื่อ สัญญาณ
	ด้านซ้าย ทองแดง	ด้านติดตั้ง อุปกรณ์				ด้านซ้าย ทองแดง	ด้านติดตั้ง อุปกรณ์	
GND	B01	A01	I/OCHK	D7	DACK1	B17	A17	A14
RESET	B02	A02	D6	D6	DREQ1	B18	A18	A13
+5V	B03	A03	D5	D5	DACK0	B19	A19	A12
IRQ9	B04	A04	D4	D4	CLK	B20	A20	A11
-5V	B05	A05	D3	D3	IRQ7	B21	A21	A10
DREQ2	B06	A06	D2	D2	IRQ6	B22	A22	A09
-12V	B07	A07	D1	D1	IRQ5	B23	A23	A08
OVS	B08	A08	D0	D0	IRQ4	B24	A24	A07
+12V	B09	A09	I/O CHRD	I/O CHRD	IRQ3	B25	A25	A06
GND	B10	A10	AEN	AEN	DACK2	B26	A26	A05
MEMW	B11	A11	A19	A19	TC	B27	A27	A04
MEMR	B12	A12	A18	A18	ALE	B28	A28	A03
IOWC	B13	A13	A17	A17	+5V	B29	A29	A02
IORC	B14	A14	A16	A16	OSC	B30	A31	A01
DACK3	B15	A15	A15	A15	GND	B31	A32	A00
DRQ3	B16	A16	A15	A15				

รูปที่ 2.19 แสดงตำแหน่งขาบนสล็อดของ ISA

เอกสารนี้เป็นเอกสารที่สงวนไว้สำหรับการใช้งานเพื่อการศึกษาเท่านั้น ไม่อนุญาตให้นำไปใช้ประโยชน์ด้านการค้าไม่ว่ากรณีใดๆ ทั้งสิ้น อีกทั้งห้ามมิให้ดัดแปลงเนื้อหาและต้องอ้างอิงถึงเจ้าของเอกสารทุกครั้งที่มีการนำไปใช้

2.5.1 รายละเอียดเกี่ยวกับสัญญาณต่าง ๆ บนสล็อต ISA

สัญญาณต่าง ๆ บนสล็อต ISA มีหลายสัญญาณ แต่ในที่นี้จะกล่าวถึงเฉพาะสัญญาณต่าง ๆ ที่จำเป็นที่ใช้เกี่ยวกับการอ่าน/เขียนข้อมูลกับหน่วยความจำและพอร์ทัล I/O เท่านั้น

$A_0 - A_{19}$ (Address Bus : ขา A31 – A12)

ขาสัญญาณทั้ง 20 สัญญาณนี้เป็นเอาต์พุต ซึ่งใช้สำหรับกำหนดแอดเดรสของหน่วยความจำหรืออุปกรณ์ I/O ที่ CPU ต้องการติดต่อ โดยสัญญาณที่ A_0 จะมีค่านัยสำคัญต่ำที่สุด (LSB) และ A_{19} จะมีนัยสำคัญสูงที่สุด (MSB) สำหรับค่าแอดเดรส $A_0 - A_{19}$ นี้ในระหว่างกระบวนการอ่าน/เขียนข้อมูลกับหน่วยความจำหรืออุปกรณ์ I/O ถูกกำหนดโดย CPU แต่ในระหว่างกระบวนการ DMA จะถูกกำหนดโดย DMA-Controller (ระหว่างนี้ CPU จะถูกตัดออกจากระบบ) จะเห็นได้ว่าแอดเดรส 20 เส้นสามารถอ้างอิงแอดเดรสของหน่วยความจำได้ถึง 1 M byte คือตั้งแต่ 0FC00-0FFFFFF สำหรับการอ้างอิงแอดเดรสพอร์ทัล I/O จะเลือกใช้เพียง 16 เส้น คือ $A_0 - A_{15}$ ซึ่งจะทำให้อ้างอิงแอดเดรสของพอร์ทัลเพียง 10 เส้นคือ $A_0 - A_9$ และค่าแอดเดรสที่ใช้งานจะต้องอยู่ในช่วง 0200 – 03FF

$D_0 - D_7$ (Data Bus : ขา A9 – A2)

ขาสัญญาณนี้เป็นแบบ Bi-Directional ซึ่งต่ออยู่กับบัสข้อมูลของระบบเพื่อทำหน้าที่ในการส่งผ่านข้อมูลระหว่างพอร์ทัล I/O กับเครื่องคอมพิวเตอร์ส่วนบุคคล โดยบิต D_0 จะมีค่านัยสำคัญต่ำที่สุด (LSB) และบิต D_7 จะมีค่านัยสำคัญสูงที่สุด (MSB)

IOW(I/O Write : ขา B13)

ขาสัญญาณนี้เป็นเอาต์พุตซึ่งแอกทิฟที่ลอจิก 0 ซึ่งถูกสร้างขึ้นโดย 8080 Bus Controller เพื่อแสดงว่าไซเคลิซที่เกิดขึ้นเป็นไซเคลิซของการเขียนข้อมูลลงบนพอร์ทัล I/O เพื่อให้พอร์ทัล I/O ที่มีแอดเดรสตรงกับแอดเดรสบนแอดเดรสบัสนั้นรับข้อมูลไปเก็บไว้ และขา LOW นี้จะแอกทิฟในอีกกรณีหนึ่งคือ กรณี DMA Controller จะทำการส่งสัญญาณ LOW เอง โดยที่ค่าแอดเดรสที่อยู่บนบัสแอดเดรสจะเป็นค่าของหน่วยความจำที่พอร์ทัล I/O ที่ DMA ต้องการจะอ่านข้อมูล

MEMW (Memory Write : ขา B11)

ขานี้เป็นขาเอาต์พุตซึ่งจะแอกทิฟที่ลอจิก 0 ซึ่ง 8080 Bus Controller สร้างขึ้นในระหว่างไซเคลิซในการเขียนข้อมูลลงในหน่วยความจำที่แอดเดรสตรงกับค่าแอดเดรสบนบัสแอดเดรสนั้นทำการรับข้อมูลที่อยู่บนบัสข้อมูลไปเก็บไว้ โดยทั่วไปหน่วยความจำจะรับข้อมูลในช่วงขอบขาขึ้นของสัญญาณ MEMW สำหรับในกระบวนการ DMA นั้น MEMW ก็แอกทิฟไปเช่นเดียวกัน

MEMR (Memory Read : ขาB12)

ขานี้เป็นขาเอาท์พุทจะแอดทิฟที่ลอจิก 0 ในระหว่างไซเคิลของการอ่านข้อมูลจากหน่วยความจำของ CPU เพื่อให้อ่านหน่วยความจำที่มีแอดเดรสตรงกับแอดเดรสบนแอดเดรสนั้นทำการส่งข้อมูลออกมาไปยังบัลข้อมูลสำหรับในระหว่างกระบวนการ DMA นั้น MEMR ก็จะแอดทิฟเช่นกัน

AEN (Address Enable : ขาA11)

สัญญาณนี้เป็นเอาท์พุทที่ใช้ในการแสดงว่าไซเคิลที่เกิดขึ้นในช่วงเวลาที่สัญญาณ AEN แอดทิฟที่ลอจิก 1 นั้นเป็นไซเคิลของกระบวนการ DMA

AGD (Ground Address : ขาB1 , B10 และB31)

ขาทั้งสามนี้จะต่อเข้ากับกราวด์ของระบบ

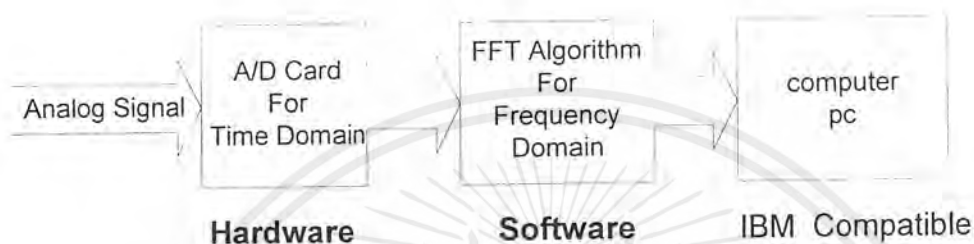


บทที่ 3

หลักการทํางานและการคำนวณ

3.1 หลักการทํางานพื้นฐาน

สามารถสรุปหลักการทํางานเป็นบล็อกไดอะแกรม(Block Diagram)ได้คร่าวๆดังรูป 3.1



รูปที่ 3.1 บล็อกไดอะแกรม

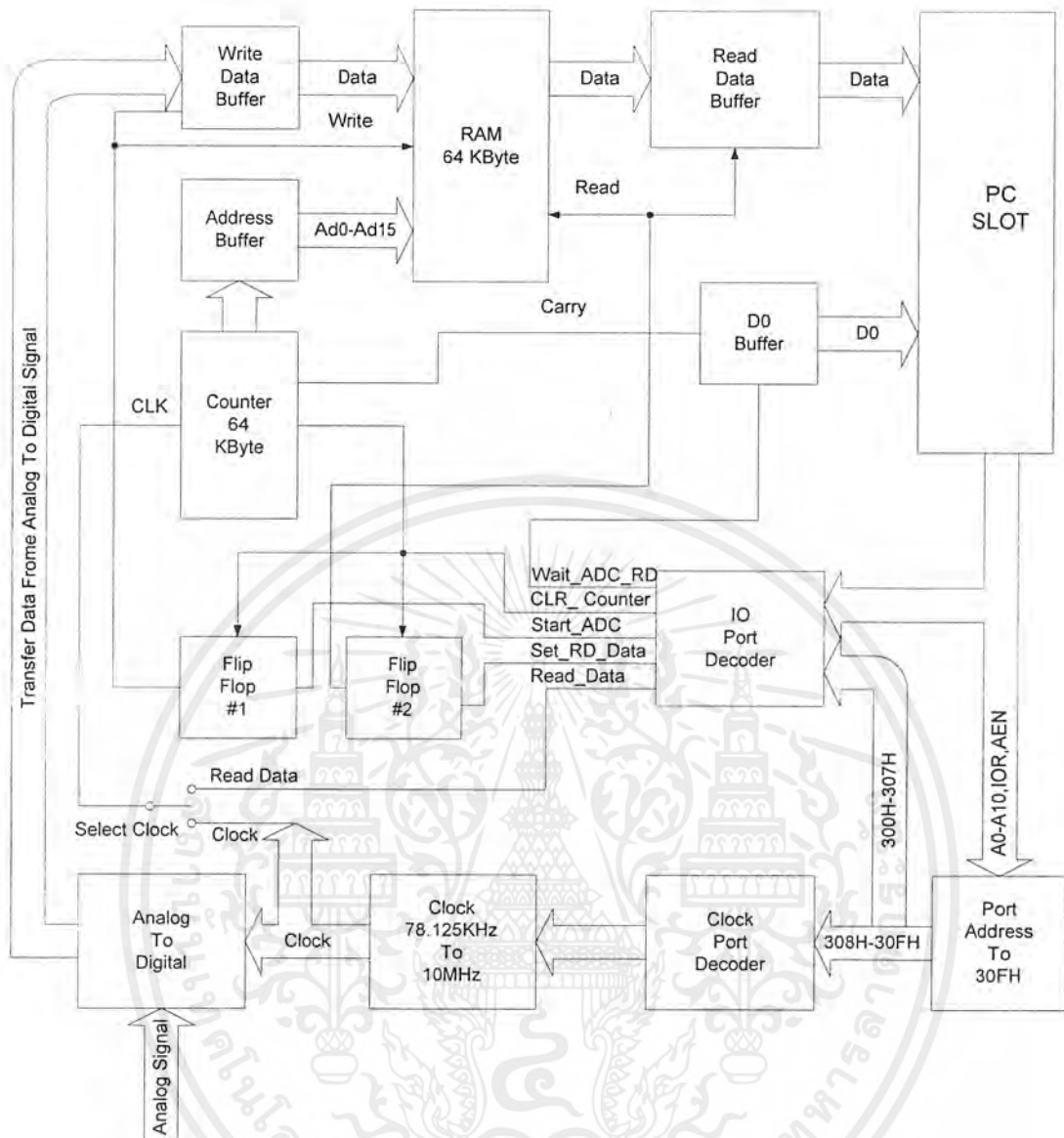
จากบล็อกไดอะแกรมสามารถแบ่งได้เป็น 2 ส่วนใหญ่ๆคือ ฮาร์ดแวร์(Hardware) และ ซอฟต์แวร์ (Software) โดยฮาร์ดแวร์คือการ์ดที่จะต้องทำขึ้นมาเพื่อที่จะแปลงค่าสัญญาณจากอนาล็อกไปเป็นสัญญาณแบบดิจิทัลและติดต่อสื่อสารกับคอมพิวเตอร์ได้ โดยค่าที่แปลงได้จากอนาล็อกเป็นดิจิทัลจะได้ข้อมูลเป็นค่าแอมพลิจูดในเชิงเวลา หลังจากนั้นคอมพิวเตอร์จะนำค่าแอมพลิจูดที่ได้ไปเปลี่ยนให้อยู่ในรูปแบบของจำนวนเชิงซ้อน โดยจะให้ค่าแอมพลิจูดเป็นค่าจริงและให้ค่าจินตภาพมีค่าเท่ากับศูนย์ จากนั้นจะแปลงค่าจำนวนเชิงซ้อนที่ได้ในเชิงเวลาให้อยู่ในเชิงความถี่โดยใช้วิธีการแบบบัตเตอร์ฟลายเป็นตัวคำนวณและนำค่าที่ได้ไปแสดงผลที่จอของคอมพิวเตอร์และคำนวณหาความถี่ต่อไป

โดยในบทนี้จะอธิบายส่วนของฮาร์ดแวร์และซอฟต์แวร์ โดยซอฟต์แวร์จะมีการคำนวณหาค่าของฟาสต์ฟูเรียร์ทรานส์ฟอร์มและการแสดงผลที่คำนวณได้ให้อยู่ในรูปความถี่

3.2 หลักการทํางานของวงจร

จากบล็อกไดอะแกรมของฮาร์ดแวร์ตามรูปที่ 3.1 มาทำการแยกเป็นบล็อกเพื่อจะได้อธิบายการทํางานของส่วนต่างๆและเป็นแนวทางในการออกแบบฮาร์ดแวร์ต่อไปซึ่งพอที่จะอธิบายได้เป็นบล็อกไดอะแกรมดังรูปที่

3.2



รูปที่ 3.2 บล็อกไดอะแกรมหลักการทำงานของวงจร

รูปที่ 3.2 บล็อกไดอะแกรมหลักการทำงานของวงจร พอดีที่จะอธิบายหน้าที่การทำงานของแต่ละบล็อกได้คร่าวๆดังนี้โดยเริ่มจาก

สล็อตคอมพิวเตอร์ (PC Slot)

โดยทั่วไปสล็อตของคอมพิวเตอร์จะทำหน้าที่ติดต่อสื่อสารระหว่างเครื่องคอมพิวเตอร์กับการ์ดที่ทำขึ้นมาส่วนใหญ่คอมพิวเตอร์จะมีพอร์ต(Port)ว่างอยู่ช่วงหนึ่งจะใช้พอร์ตที่ว่างอยู่สำหรับการควบคุมการทำงานของส่วนต่างๆของการ์ดได้ เช่นใช้พอร์ตหมายเลข 0300H-030FH และใช้แอดเดรส A0-A10 ของคอมพิวเตอร์เป็นตำแหน่งในการควบคุมพอร์ตโดยใช้ร่วมกับขา IOR และ AEN ของคอมพิวเตอร์

เอกสารนี้เป็นเอกสารที่สงวนไว้สำหรับการใช้งานเพื่อการศึกษาเท่านั้น ไม่อนุญาตให้นำไปใช้ประโยชน์ด้านการค้าไม่ว่ากรณีใดๆ ทั้งสิ้น อีกทั้งห้ามมิให้ตัดแปลงเนื้อหาและต้องอ้างอิงถึงเจ้าของเอกสารทุกครั้งที่มีการนำไปใช้

การอ้างตำแหน่งพอร์ต(Port Address)

พอร์ตแอดเดรสตำแหน่ง 0300H-030FH จะถูกแบ่งเป็น 2 กลุ่มใหญ่ๆคือ พอร์ตแอดเดรสตำแหน่ง 0300H-0307H และพอร์ตแอดเดรสตำแหน่ง 0308H-030FH โดย พอร์ตแอดเดรสตำแหน่ง 0300H-0307H ใช้ในการอ่านข้อมูลและเขียนข้อมูลเพื่อควบคุมการทำงานต่างๆ และพอร์ตแอดเดรสตำแหน่ง 0308H-030FH จะใช้ในการเลือกสัญญาณนาฬิกาโดยสามารถเลือกสัญญาณนาฬิกาได้ทั้งหมด 8 พอร์ตแอดเดรสด้วยกัน

พอร์ตเลือกความถี่ของสัญญาณนาฬิกา (Clock Port Decoder)

ทำหน้าที่เลือกความถี่ของสัญญาณนาฬิกาเพื่อป้อนให้กับเอชดีและตัวนับโดยเลือกได้ทั้งหมด 8 ความถี่โดยจะใช้พอร์ตแอดเดรสตำแหน่ง 0308H-030FH

อินพุท/เอาต์พุท พอร์ต (I/O Port Decoder)

เป็นพอร์ตที่ใช้ควบคุมการติดต่อระหว่างฮาร์ดแวร์กับคอมพิวเตอร์ โดยอินพุท/เอาต์พุทพอร์ตจะสร้างเอาต์พุตมา 8 เส้น แต่จะใช้เพียง 5 เส้นเท่านั้น โดยมีสัญญาณจากขาต่างๆ ดังนี้

1.เคลียร์ตัวนับ(CLR_Counter)จะเป็นตัวเคลียร์ส่วนของตัวนับ(Counter) เพื่อให้เริ่มนับที่ตำแหน่งแอดเดรส 0000H-FFFFH และเคลียร์ฟลิป-ฟลอป(Flip-Flop) ทั้ง 2 ตัวให้มีสถานะเป็นศูนย์

2.เลือกการเขียนข้อมูล(Start_Counter) หน้าที่เปิดบัฟเฟอร์การเขียนข้อมูลที่บล็อกของตัวป้องกันการเขียนข้อมูล(Wait Data Buffer)และทำหน้าที่เขียนข้อมูลที่แปลงได้จากเอชดี(ADC) ไปเก็บไว้ในหน่วยความจำให้เต็ม 64 กิโลไบต์(k bytes)

3.รอการเขียนข้อมูล(Wait_ADC_RD) ทำหน้าที่รอการเขียนข้อมูลจากเอชดี ว่ามีข้อมูลเต็มหน่วยความจำหรือยังโดยใช้ร่วมกับตัวนับ โดยตัวนับทำการนับถึง 64 กิโลไบต์แล้วตัวนับจะส่งแอสแตริชออกมาเป็นสัญญาณนาฬิกา 1 ลูก เพื่อบอกให้คอมพิวเตอร์รู้ว่าการเขียนข้อมูลในหน่วยความจำเต็ม 64 กิโลไบต์ โดยจะส่งสัญญาณเส้นนี้มาตลอดเวลาเพื่อคอยตรวจสอบว่าการเขียนข้อมูลลงในหน่วยความจำเต็มหรือยัง เมื่อข้อมูลเต็ม 64 กิโลไบต์แล้วคอมพิวเตอร์จะหยุดส่งสัญญาณเส้นนี้ทันที

4.เลือกการอ่านข้อมูล(Set_RD_Data)เป็นตัวเลือกการอ่านข้อมูลโดยอ่านข้อมูลจกหน่วยความจำเพื่อนำไปเก็บไว้ในคอมพิวเตอร์และเป็นตัวเปิดเกตให้กับตัวป้องกันการอ่านข้อมูล(Read Data Buffer) โดยจะส่งสัญญาณนาฬิกาไปแค่ลูกเดียว

5.การอ่านข้อมูล (Read_Data) ทำหน้าที่เป็นสัญญาณนาฬิกาให้กับตัวนับเพื่ออ้างตำแหน่งแอดเดรสในการอ่านข้อมูลจากหน่วยความจำไปเก็บไว้ในคอมพิวเตอร์

ตัวผลิตสัญญาณนาฬิกา(Clock)

เป็นตัวกำเนิดสัญญาณนาฬิกาโดยจะได้ความถี่ของสัญญาณนาฬิกาจากการออสซิลเลเตอร์(Oscillator) ซึ่งผลิตความถี่ 20 เมกกะเฮิร์ตโดยผ่านวงจรนับ 8 บิต จะได้สัญญาณนาฬิกา 8 ความถี่คือความถี่สูงสุดของสัญญาณ 10 เมกกะเฮิร์ต และค่อยๆหาร 2 ไปเรื่อยๆจนได้ความถี่ต่ำสุดของสัญญาณ 78.125 กิโลเฮิร์ต สาเหตุที่ต้องมีการเลือกสัญญาณนาฬิกาหลายความถี่ต่างๆไม่สามารถแปลงข้อมูลจากอนาล็อกเป็นดิจิทัลได้ครบ 1 คาบ เพราะมีหน่วยความจำในการเก็บข้อมูลจำกัด(ประมาณ 64 กิโลไบต์) โดยข้อมูลที่ได้อาจจะยังไม่ครบ 1 คาบ หน่วยความจำอาจจะเต็มแล้ว จึงต้องมีการเลือกสัญญาณนาฬิกา

เอกสารนี้เป็นเอกสารที่สงวนไว้สำหรับการใช้งานเพื่อการศึกษาเท่านั้น ไม่อนุญาตให้นำไปใช้ประโยชน์ด้านการค้าไม่ว่ากรณีใดๆ ทั้งสิ้น อีกทั้งห้ามมิให้ตัดแปลงเนื้อหาและต้องอ้างอิงถึงเจ้าของเอกสารทุกครั้งที่มีการนำไปใช้

เพื่อใช้ในการสุ่มค่าอินพุทและสัญญาณนาฬิกาที่ได้ก็จะนำไปเป็นสัญญาณนาฬิกาให้กับตัวนับเพื่อใช้ในการอ้างตำแหน่งแอดเดรสด้วย

เอดูดี(ADC)

เอดูดีจะทำหน้าที่แปลงจากสัญญาณอนาล็อกไปเป็นสัญญาณดิจิทัลโดยส่งข้อมูลที่ได้ออกไปเก็บไว้ในหน่วยความจำโดยมีการแปลงค่าตลอดเวลา

ตัวป้องกันการเขียนข้อมูล(Write Data Buffer)

ตัวป้องกันการเขียนข้อมูลทำหน้าที่เป็นตัวกันชนระหว่าง เอดูดี กับหน่วยความจำโดยมี ฟลิป-ฟลอป 1 เป็นตัวเปิดเกตให้กับตัวป้องกันการเขียนข้อมูลเพื่อเป็นการถ่ายเทข้อมูลจากเอดูดีไปสู่หน่วยความจำ

ตัวเลือกสัญญาณนาฬิกา(Select Clock)

ตัวเลือกสัญญาณนาฬิกาจะเป็นตัวเลือกสัญญาณนาฬิกาของตัวผลิตสัญญาณนาฬิกาที่สัญญาณนาฬิกาจากการอ่านข้อมูลของอินพุท/เอาต์พุท พอร์ต

ฟลิป-ฟลอป 1 (Flip-Flop 1)

ฟลิป-ฟลอป 1 ทำหน้าที่เป็นตัวจำสภาวะให้กับสัญญาณการเขียนข้อมูลซึ่งมาจาก อินพุท/เอาต์พุท พอร์ตและทำหน้าที่เปิดเกตของตัวป้องกันการเขียนข้อมูลเพื่อให้ข้อมูลจากเอดูดีผ่านไปหน่วยความจำและเป็นสัญญาณการเขียนข้อมูลให้กับหน่วยความจำ

ฟลิป-ฟลอป 2 (Flip-Flop 2)

ฟลิป-ฟลอป 2 ทำหน้าที่เป็นตัวจำสภาวะให้กับสัญญาณการอ่านข้อมูลซึ่งมาจาก อินพุท/เอาต์พุท พอร์ต และทำหน้าที่เปิดเกตของตัวป้องกันการอ่านข้อมูลเพื่อให้ข้อมูลจากหน่วยความจำไปเก็บไว้ในคอมพิวเตอร์โดยผ่านทางสล็อตของคอมพิวเตอร์

ตัวนับ(Counter)

ตัวนับจะทำหน้าที่เป็นตัวนับเพื่ออ้างตำแหน่งแอดเดรสของหน่วยความจำทั้งการอ่านข้อมูลและการเขียนข้อมูล

เมื่อรู้หน้าที่ต่างๆของแต่ละบล็อกแล้วก็สามารถอธิบายบล็อกไดอะแกรมทั้งหมดให้สัมพันธ์กันเพื่อจะนำมาสร้างเป็นวงจรต่อไป เริ่มต้นด้วยต้องการหาค่าสเปคตรัมของสัญญาณหนึ่งโดยต้องการเลือกสัญญาณนาฬิกาเพื่อใช้ในการสุ่มข้อมูลให้เหมาะสมกับสัญญาณอินพุทโดยจะใช้คอมพิวเตอร์ในการเลือกความถี่ของสัญญาณนาฬิกาจะถอดรหัสได้ทั้งหมด 8 พอร์ต โดยจะใช้ขาต่างๆของคอมพิวเตอร์เป็นตัวถอดรหัสโดยนำขาที่มาถอดรหัสตั้งนี้คือขาแอดเดรส A0-A10 สัญญาณ IOR และAEN และจะได้สัญญาณนาฬิกาในความถี่ต่างๆตามตาราง 3.1

หมายเลขพอร์ท	ความถี่
0308H	10MHz
0309H	5MHz
030AH	2.5MHz
030BH	1.25MHz
030CH	625kHz
030DH	312.5kHz
030EH	156.25kHz
030FH	78.125kHz

ตาราง 3.1 แสดงหมายเลขพอร์ทที่ใช้เลือกความถี่สัญญาณนาฬิกา

จะเลือกความถี่ของสัญญาณนาฬิกา มา 1 ค่า เพื่อใช้เป็นสัญญาณนาฬิกาของตัวนับ และเป็นสัญญาณนาฬิกาให้กับการสุ่มข้อมูลของเอชดี และคอมพิวเตอร์จะอ้างตำแหน่งพอร์ทที่ใช้การอ้างข้อมูล การเขียนและการอ่านข้อมูลได้อีก 8 พอร์ท แต่จะใช้เพียง 5 พอร์ท ซึ่งอยู่ในส่วนของ อินพุท/เอาต์พุท พอร์ท ดังนี้

หมายเลขพอร์ท	สัญญาณ
0300H	เคลียร์ตัวนับ
0302H	เขียนข้อมูล
0302H	รอกการเขียนข้อมูล
0303H	เลือกการอ่านข้อมูล
0304H	อ่านข้อมูล

ตาราง 3.2 แสดงหมายเลขพอร์ทที่ใช้เลือกสัญญาณควบคุม

หลักการทำงานเริ่มจากเมื่อคอมพิวเตอร์ได้ความถี่ของสัญญาณนาฬิกา 1 ค่าแล้วคอมพิวเตอร์ก็จะส่งสัญญาณเคลียร์ตัวนับมาที่พอร์ทแอดเดรส “0300H” เพื่อทำการเคลียร์ตัวนับ เพื่อให้มีค่าเริ่มต้นที่

เอกสารนี้เป็นเอกสารที่สงวนไว้สำหรับการใช้งานเพื่อการศึกษาเท่านั้น ไม่อนุญาตให้นำไปใช้ประโยชน์ด้านการค้า ไม่ว่ากรณีใดๆ ทั้งสิ้น อีกทั้งห้ามมิให้ดัดแปลงเนื้อหาและต้องอ้างอิงถึงเจ้าของเอกสารทุกครั้งที่มีการนำไปใช้

แอดเดรส “0000H” และให้ฟลิป-ฟลอปทั้ง 2 ตัวมีค่าเป็น “1” จึงไม่มีการเปิดเกตในการอ่านข้อมูลของหน่วยความจำ

จากนั้นคอมพิวเตอร์ก็จะส่งสัญญาณการเขียนข้อมูลออกมาที่พอร์ทแอดเดรส 0301H เพื่อไปทริกฟลิป-ฟลอป 1 ทำให้ฟลิป-ฟลอป 1 เปลี่ยนสถานะจาก “1” ไปเป็น “0” เพื่อไปเปิดเกตให้ตัวป้องกันการเขียนข้อมูล ทำให้มีข้อมูลจาก เอชดูตี ซึ่งแปลงจากอนาล็อกไปเป็นดิจิทัลผ่านไปสู่หน่วยความจำขณะเดียวกันก็จะเปิดสัญญาณการเขียนข้อมูลของหน่วยความจำด้วยแต่ต้องรอดตัวนับเริ่มนับเสียบก่อน

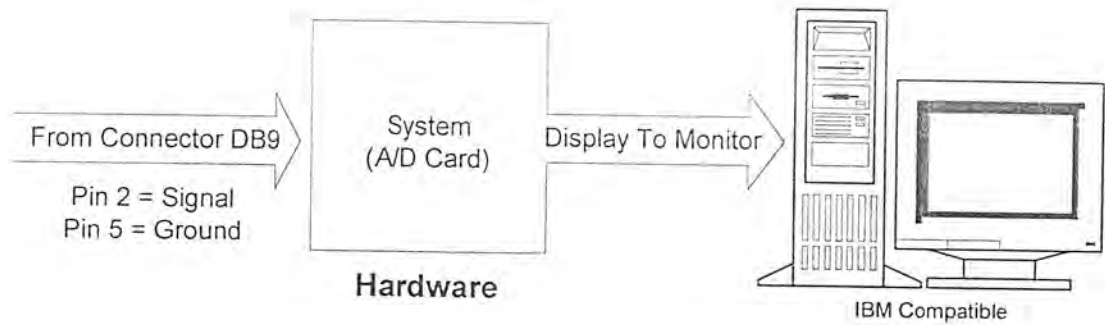
ในขณะที่เดียวกันตัวเลือกสัญญาณนาฬิกาจะถูกเลือกมาที่สัญญาณนาฬิกาทำให้มีสัญญาณนาฬิกาถูกแรกผ่านเข้ามาที่ตัวนับทำให้ตัวนับเริ่มนับที่ตำแหน่งแอดเดรส “0001H” เพื่ออ้างตำแหน่งแอดเดรสในการเขียนข้อมูลลงในหน่วยความจำของข้อมูลที่แปลงจากเอชดูตีในตำแหน่งแรกก็ถูกเขียนลงในหน่วยความจำแล้วคอมพิวเตอร์ก็จะส่งสัญญาณรอกการเขียนข้อมูลมาที่พอร์ทแอดเดรส “0032H” เพื่อเช็คว่า D0 ของคอมพิวเตอร์เป็น 1 หรือยัง ถ้ายังก็ให้ตัวนับทำการนับต่อไป

เมื่อสัญญาณนาฬิกาถูกที่ 2 เข้ามาตัวนับก็เริ่มเพิ่มค่าอีก 1 ค่าเพื่อการอ้างตำแหน่งแอดเดรส 0002H และข้อมูลที่แปลงจาก เอชดูตี ในตำแหน่งที่ 2 ก็จะถูกเขียนลงไป อีกค่าหนึ่งของสัญญาณนาฬิกาและคอมพิวเตอร์ก็จะส่งสัญญาณรอกการเขียนข้อมูลมาที่พอร์ทแอดเดรส “0032H” เพื่อเช็คว่า D0 ของคอมพิวเตอร์เป็น 1 หรือยังถ้ายังก็ให้ตัวนับทำการนับต่อไป

จนกระทั่งสัญญาณนาฬิกาถูกที่ 64 กิโลไบท์เข้ามาทำให้ตัวนับ นับไปถึงตำแหน่งที่ 64 กิโลไบท์และมีการเขียนข้อมูลลงในหน่วยความจำเต็ม ตัวนับก็จะหยุดนับโดยอัตโนมัติ พร้อมจะส่งสัญญาณพัลซ์มาหนึ่งลูก ขณะเดียวกันคอมพิวเตอร์ก็จะส่งสัญญาณรอกการเขียนข้อมูลมาที่พอร์ทแอดเดรส “0032H” เพื่อเช็คว่า D0 ของคอมพิวเตอร์เป็น 1 หรือยัง เนื่องจากตอนนี้มีพัลซ์ถูก เข้ามาที่ขา D0

ทำให้คอมพิวเตอร์รู้ว่าขณะนี้มีการเขียนข้อมูลลงในหน่วยความจำเต็ม 64 กิโลไบท์แล้วคอมพิวเตอร์ก็จะส่งสัญญาณเคลียร์ตัวนับออกมาที่พอร์ทแอดเดรส “0300H” เพื่อเคลียร์ฟลิป-ฟลอป ทั้ง 1 ตัวและเคลียร์ตัวนับด้วย

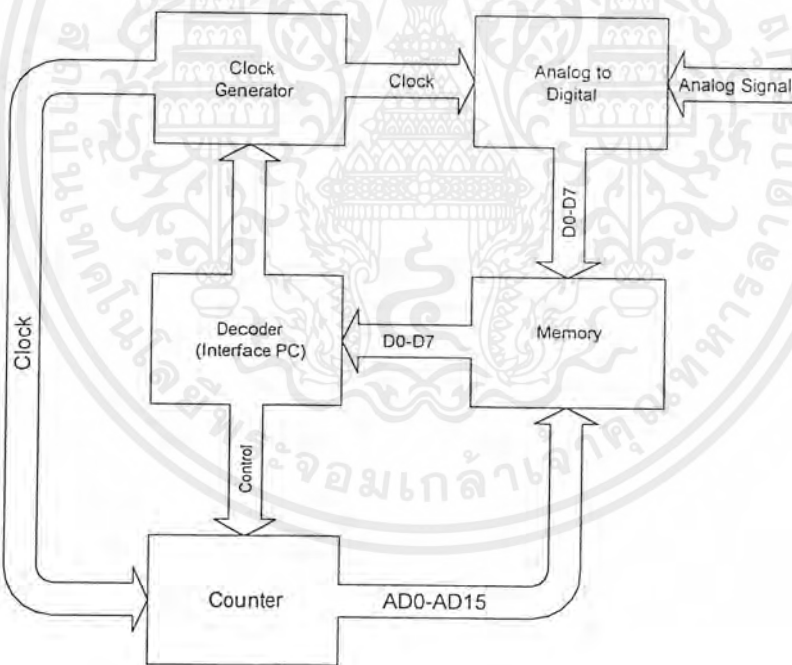
จากนั้นคอมพิวเตอร์ก็จะเริ่มส่งสัญญาณเลือกการอ่านข้อมูลมาที่พอร์ทแอดเดรส “0303H” เพื่อเลือกข้อมูลจากหน่วยความจำไปสู่คอมพิวเตอร์ เมื่อส่งสัญญาณการอ่านข้อมูลมาทำให้ ฟลิป-ฟลอป 2 เปิดเกตมีสัญญาณ “0” ไปที่ขา RD ของหน่วยความจำและเปิดเกตของตัวป้องกันการอ่านข้อมูลของหน่วยความจำ และคอมพิวเตอร์ก็จะส่งสัญญาณการอ่านข้อมูลมาที่พอร์ทแอดเดรส “0304H” ขณะเดียวกันตัวเลือกสัญญาณนาฬิกา ก็จะไปปิดสวิทช์ขาการอ่านข้อมูลเพื่อให้เป็นสัญญาณการอ่านข้อมูลเป็นสัญญาณนาฬิกาให้กับตัวนับเมื่อส่งสัญญาณการอ่านข้อมูลมา 1 ครั้งตัวนับก็จะนับ 1 ครั้งทำให้แอดเดรสเลื่อนไป 1 ตำแหน่งเพื่ออ่านข้อมูลจากหน่วยความจำไปสู่คอมพิวเตอร์ 1 ค่าจากนั้นคอมพิวเตอร์ก็จะส่งสัญญาณการอ่านข้อมูลมาตลอดทำให้การอ่านข้อมูลมาเก็บไว้ที่หน่วยความจำของคอมพิวเตอร์ จากนั้นนำข้อมูลอ่านได้ไปทำการแปลงให้อยู่ในรูปความถี่ต่อไป และสามารถสรุปฮาร์ดแวร์ทั้งหมดดังรูปที่ 3.3 ซึ่งเป็นการ์ดที่ทำขึ้นมาเพื่อติดต่อกับคอมพิวเตอร์



รูปที่ 3.3 การ์ดแปลงสัญญาณอนาล็อกเป็นสัญญาณดิจิทัล

ระบบ (การ์ดอนาล็อกเป็นดิจิทัล)

สัญญาณอินพุตที่เข้ามาทางคอนเน็คเตอร์ จะถูกแปลงเป็นสัญญาณดิจิทัลด้วย ADC ขนาด 8 Bit การ์ดส่วนนี้แบ่งเป็น 5 ส่วนใหญ่ๆดังรูปที่ 3.4



รูปที่ 3.4 บล็อกไดอะแกรมแสดง การ์ดแปลงสัญญาณอนาล็อกเป็นสัญญาณดิจิทัล

จากรูปที่ 3.4 มีทั้งหมด 5 บล็อกคือ เอทูดี้(Analog to Digital) , หน่วยความจำ(Memory) , วงจรผลิตสัญญาณนาฬิกา(Clock Generator) , วงจรถอดรหัส(Decoder) , วงจรนับ(Counter) จะอธิบายทีละบล็อกได้ดังนี้

เอกสารนี้เป็นเอกสารที่สงวนไว้สำหรับการใช้งานเพื่อการศึกษาเท่านั้น ไม่อนุญาตให้นำไปใช้ประโยชน์ด้านการค้าไม่ว่ากรณีใดๆ ทั้งสิ้น อีกทั้งห้ามมิให้ตัดแปลงเนื้อหาและต้องอ้างอิงถึงเจ้าของเอกสารทุกครั้งที่มีการนำไปใช้

เอทูดิ(Analog to Digital)

ในส่วนของบล็อกนี้จะทำหน้าที่ในการแปลงสัญญาณอนาล็อกไปเป็นดิจิทัล โดยใช้สัญญาณนาฬิกาของวงจรผลิตสัญญาณนาฬิกาเป็นสัญญาณนาฬิกาในการสุ่มข้อมูลและข้อมูลที่ได้อาจจะถูกส่งต่อไปให้บล็อกหน่วยความจำ

หน่วยความจำ(Memory)

จะทำหน้าที่ในการเก็บข้อมูลที่แปลงได้จากสัญญาณอนาล็อกไปเป็นดิจิทัล โดยจะมีวงจรนับเป็นตัวกำหนดแอดเดรสในการเก็บข้อมูล

วงจรผลิตสัญญาณนาฬิกา(Clock Generator)

เป็นตัวกำเนิดสัญญาณนาฬิกาให้แก่วงจรนับและเอทูดิ โดยสัญญาณนาฬิกาของวงจรผลิตสัญญาณนาฬิกานี้จะผลิตสัญญาณนาฬิกาได้ทั้งหมด 8 ความถี่ เพื่อใช้ในการเลือกสัญญาณในการสุ่มสัญญาณ

วงจรถอดรหัส(Decoder)

เป็นตัวถอดรหัสใช้ในการควบคุมวงจรถอดรหัส หน่วยความจำและเลือกความถี่ของวงจรผลิตความถี่ของสัญญาณนาฬิกาและวงจรถอดรหัสนี้จะควบคุมการอ่านและเขียนข้อมูลจากหน่วยความจำเพื่อส่งข้อมูลที่ได้ออกไปให้คอมพิวเตอร์ต่อไป

วงจรถอดรหัส(Counter)

ใช้สำหรับอ้างแอดเดรสของหน่วยความจำ โดยการนับแต่ละครั้งจะถูกควบคุมโดยสัญญาณนาฬิกาของวงจรผลิตสัญญาณนาฬิกาและวงจรถอดรหัส

จากการคั่นออกในรูปแบบที่ 3.4 แบ่งได้ 5 ส่วนใหญ่ๆ ที่วงจรเอทูดิ , วงจรหน่วยความจำ , วงจรผลิตสัญญาณนาฬิกา , วงจรถอดรหัส และวงจรถอดรหัส

3.2.1 วงจรเอทูดิ

เป็นการแปลงสัญญาณจากอนาล็อกเป็นดิจิทัล โดยใช้ไอซีเอทูดิ 8 บิตเบอร์ CA 3318 เป็นตัวแปลงสัญญาณโดยมีการสุ่มสัญญาณที่เฉพาะไฟบวกไม่เกิน 6.4 โวลท์ เท่านั้นเมื่อเทียบกับกราวด์ มิฉะนั้นข้อมูลที่แปลงมาได้จะผิดพลาด เป็นวงจรดังรูปที่ 3.5 แบ่งได้เป็น 3 ส่วนดังนี้คือวงจรอ้างอิงแรงดัน(Voltage Reference) , วงจรป้องกันสัญญาณ(Analog Buffer) , วงจรเอทูดิ(ADC) อธิบายที่ละส่วนดังนี้

วงจรรองแรงดัน

จะทำหน้าที่ปรับระดับแรงดันเพื่อเป็นจุดอ้างอิงให้กับ U3(CA3318) โดยมี D1(LM336) ทำหน้าที่ปรับค่าโวลเตจ โดยมี R3,R4 เป็นวงจรวอลเตจดีไวเดอร์ ในที่นี้จะปรับค่า D1ให้ได้ประมาณ 5 โวลต์ เพื่อเป็นอินพุตให้กับ U2(LM308) ซึ่งเป็นออปแอมป์ ต่อยังจรรยาในลักษณะนอนอินเวรตติง โดยมี R5,R6 เป็นตัวแบ่งแรงดัน เพื่อให้ได้เอาต์พุตประมาณ 6.4 โวลต์และเอาต์พุตที่ได้จะไปเข้าขาเบสของ Q1 (2N4922)ซึ่ง Q1 จะทำหน้าที่เพิ่มกระแสให้อาต์พุตโดยมี C6 เป็นตัวกรองไฟให้เรียบอีกที เอาต์พุตที่ได้จะไปต่อกับขา +REF ของ CA3318 และ R13(10 k Ω)

จากการต่อแบบนอนอินเวรตติงแอมพลิฟาย(Non Inverting Amplifier) สามารถคำนวณค่า R5,R6 เพื่อให้ได้เอาต์พุตประมาณ 6.4 โวลต์ ได้จากสมการ

$$V_{out}/V_{in} = 1 + R5/R6$$

กำหนดให้ $V_{in} = 5$ โวลต์

$$V_{out} = 6.4 \text{ โวลต์}$$

$$R5 = 1.43 \text{ k} \Omega \text{ 1\%}$$

แทนค่าต่างๆในสมการ จะได้

$$6.4/5 = 1 + 1.43 \text{ k} \Omega / R6$$

$$1.28 - 1 = 1.43 \text{ k} \Omega / R6$$

$$R6 = 1.43 \text{ k} \Omega / 0.28$$

$$R6 = 5.11 \text{ k} \Omega$$

สรุปได้ว่าถ้าต้องการเอาต์พุตโวลต์เตจประมาณ 6.4 โวลต์ จะต้องเลือก

$$R5 = 1.43 \text{ k} \Omega \text{ 1\%}$$

$$R6 = 5.11 \text{ k} \Omega \text{ 1\%}$$

ถ้ายังไม่ได้ 6.4 โวลต์ สามารถปรับค่า R4 ซึ่งเป็นความต้านทานแบบปรับค่าได้เพื่อปรับค่าเอาต์พุตให้ได้ดังต้องการเพื่อป้อนให้ขา 22 (+REF) ของ U3(CA3318) และเป็นขาอินพุตให้กับ R13(10 k Ω)

วงจรรองกันฮอตุติ

ทำหน้าที่เป็นตัวกันชนระหว่างอินพุตกับตัวเอมูติและเนื่องจากเอมูติต้องการอินพุตเป็นสัญญาณไฟบวกเท่านั้น แต่สัญญาณที่ทำการวัดจะต้องมีทั้งช่วงบวกและช่วงลบ จึงต้องมีการดัดแปลงสัญญาณอินพุต ก่อนที่จะส่งสัญญาณผ่านวงจรรองกันสัญญาณเพื่อให้สัญญาณรับได้ทั้งช่วงบวกและช่วงลบจึงต้องยกระดับสัญญาณอินพุตที่ได้ไปอีกครั้งหนึ่งโดยใช้ขา +REF ของ U3(CA3318) ต่อยังจรรยา R1 และ R13 ทำให้อาต์พุตที่ได้ก่อนที่จะมาถึงขา 3 ของ U1(LM6361) ถูกยกระดับลงไปครึ่งหนึ่งจากสัญญาณอินพุตแต่จะยกระดับสัญญาณดีซีโวลต์เตจไปประมาณ 3.2 โวลต์โดย C1 ,C2 ,C3 และ C4 เป็นตัวกรองแรงดันไฟ +12 โวลต์ และ -12 โวลต์ ให้เรียบและขา 3 (IN) ของ U1(LM6361) จะเป็นสัญญาณอินพุตของสัญญาณอนาล็อกและจะได้เอาต์พุตออกที่ขา 6 (OUT) ของ U1 (LM6361) โดยสัญญาณที่ได้จะ

เอกสารนี้เป็นเอกสารที่สงวนไว้สำหรับการใช้งานเพื่อการศึกษาเท่านั้น ไม่อนุญาตให้นำไปใช้ประโยชน์ด้านการค้าไม่ว่ากรณีใดๆ ทั้งสิ้น อีกทั้งห้ามมิให้ดัดแปลงเนื้อหาและต้องอ้างอิงถึงเจ้าของเอกสารทุกครั้งที่มีการนำไปใช้

มีการคิดเพี้ยนน้อยที่สุด ค่าเอาต์พุตที่ได้จะป้อนให้วงจรเอชดีโดยต่อเข้ากับ Vin1 , Vin2 ตามวงจร เนื่องจากเอาต์พุตที่ใช้ไม่มีแรงดัน โวลต์เดจที่ใช้อ้างอิง จึงต้องสร้างแรงดัน โวลต์เดจอ้างอิงขึ้นมาเพื่อเป็นจุดอ้างอิง สำหรับการแปลงสัญญาณอนาล็อกเป็นสัญญาณดิจิทัลและแรงดัน โวลต์เดจที่ใช้อ้างอิงมีค่าประมาณ 6.4 โวลต์

วงจรเอชดี

ทำหน้าที่แปลงสัญญาณอนาล็อกเป็นดิจิทัลโดยขา Vin1 , Vin2 เป็นอินพุต ขา 22(+REF)เป็นแรงดัน โวลต์เดจอ้างอิงให้กับ ADC(CA3318) และขา REF อื่นๆไม่ใช่คืออนุกรมกับตัวเก็บประจุลงกราวด์เพื่อไม่ให้มีสัญญาณไปรบกวน ADC(CA3318) รวมไปถึงขา -REF ,Phase และ AGND ก็ต่อกราวด์ด้วยเหมือนกัน

ขา Phase ต่อลงกราวด์ แสดงว่ามีการสุ่มสัญญาณนาฬิกาแบบไม่สมดุลย์ ถ้าต่อขา Phase กับไฟ +5 โวลต์ จะเป็นการสุ่มสัญญาณแบบสมดุล

ขา CLK ของเอชดีต่อมาจากวงจรผลิตสัญญาณนาฬิกา

ขา CE1 และ CE2 จะถูกอินาเบิล(Enable) ตลอดเวลาทำให้มีการแปลงข้อมูลตลอดเวลา D0-D7 ไปต่อกับหน่วยความจำเพื่อนำค่าข้อมูลที่ได้อ่านไปเขียนลงหน่วยความจำต่อไป

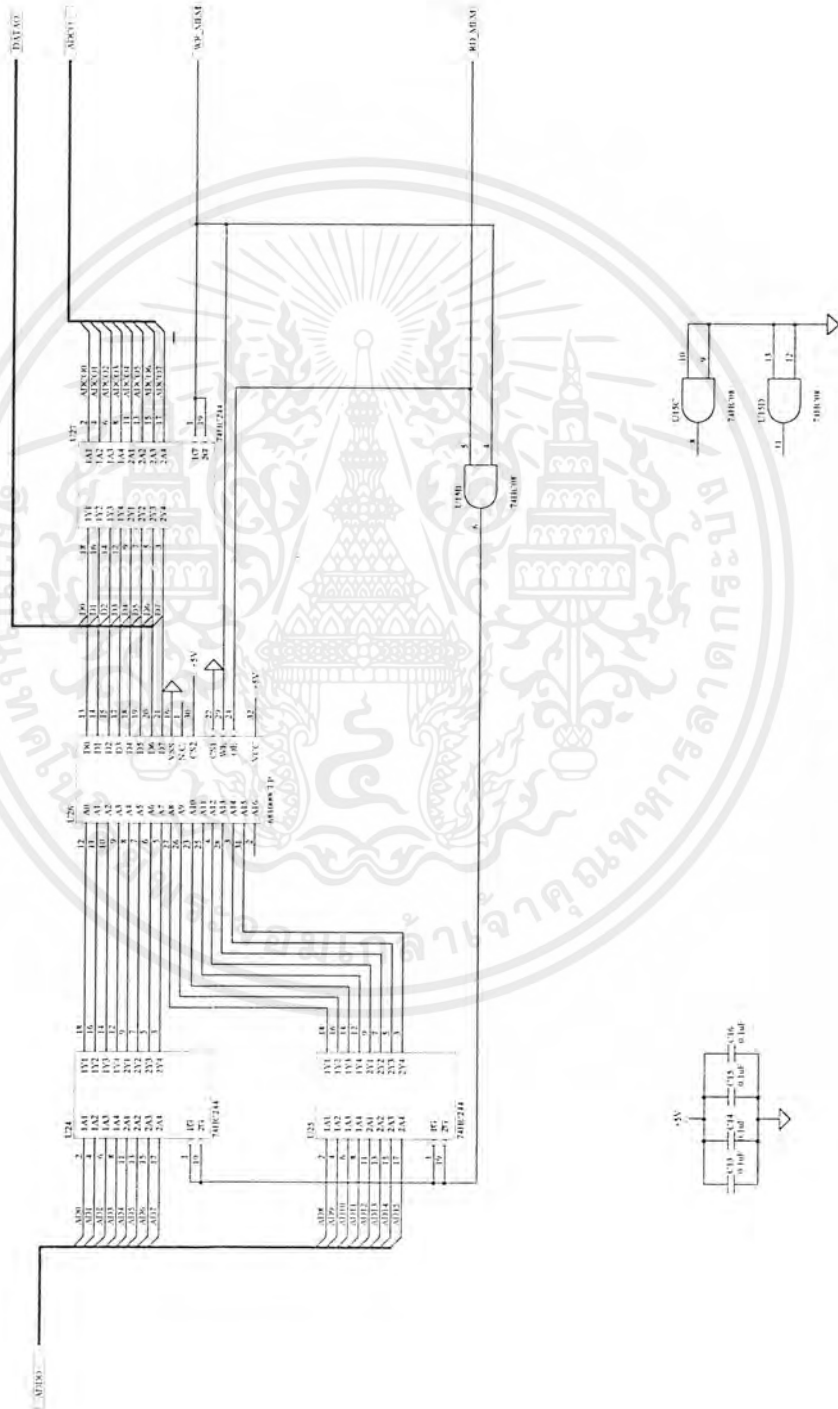
ขา OVER FLOW ไม่ใช่ใช้งานก็ปล่อยลอยไว้

หมายเหตุ

อนาล็อกกราวด์และดิจิทัลกราวด์ต้องแยกออกจากกันให้ชัดเจนเพื่อไม่ให้มีสัญญาณรบกวนจากสัญญาณอนาล็อกไปรบกวนส่วนของดิจิทัลและจะนำกราวด์ทั้งสองมารวมกันอีกครั้งก่อนที่ต่อเข้ากับสล็อตของคอมพิวเตอร์

3.2.2 วงจรหน่วยความจำ

วงจรหน่วยความจำทำหน้าที่เขียนข้อมูลที่ได้จากการแปลงสัญญาณอนาล็อกเป็นสัญญาณดิจิทัลและอ่านข้อมูลจากหน่วยความจำไปให้คอมพิวเตอร์ตามการเขียนโปรแกรมโดยมี U24(74HC244), U25 (74HC244) ทำหน้าที่เป็นตัวป้องกันแอสแตเรสและ U27(74HC244) ทำหน้าที่เป็นตัวกันชนการเขียนข้อมูลและ U26(KM681000cp1) เป็นหน่วยความจำขนาด 128 K byte เท่านั้น



รูปที่ 3.6 วงจรหน่วยความจำ

เอกสารนี้เป็นเอกสารที่สงวนไว้สำหรับการใช้งานเพื่อการศึกษาเท่านั้น ไม่อนุญาตให้นำไปใช้ประโยชน์ด้านการค้าไม่ว่ากรณีใดๆ ทั้งสิ้น อีกทั้งห้ามมิให้ตัดแปลงเนื้อหาและต้องอ้างอิงถึงเจ้าของเอกสารทุกครั้งที่มีการนำไปใช้

หลักการทำงานเริ่มจากคอมพิวเตอร์ส่งสัญญาณมาเคลียร์วงจรมันทำให้พอร์ทการเขียนข้อมูล (WR_MEM) และพอร์ทการอ่านข้อมูล (RE_MEM) เป็น "1" ทั้งคู่ทำให้ U24(74HC244), U25(74HC244), U27(74HC244) เป็นไฮอิมพีแดนซ์ทำให้ไม่มีการอ่านข้อมูลและเขียนข้อมูลมาที่หน่วยความจำ

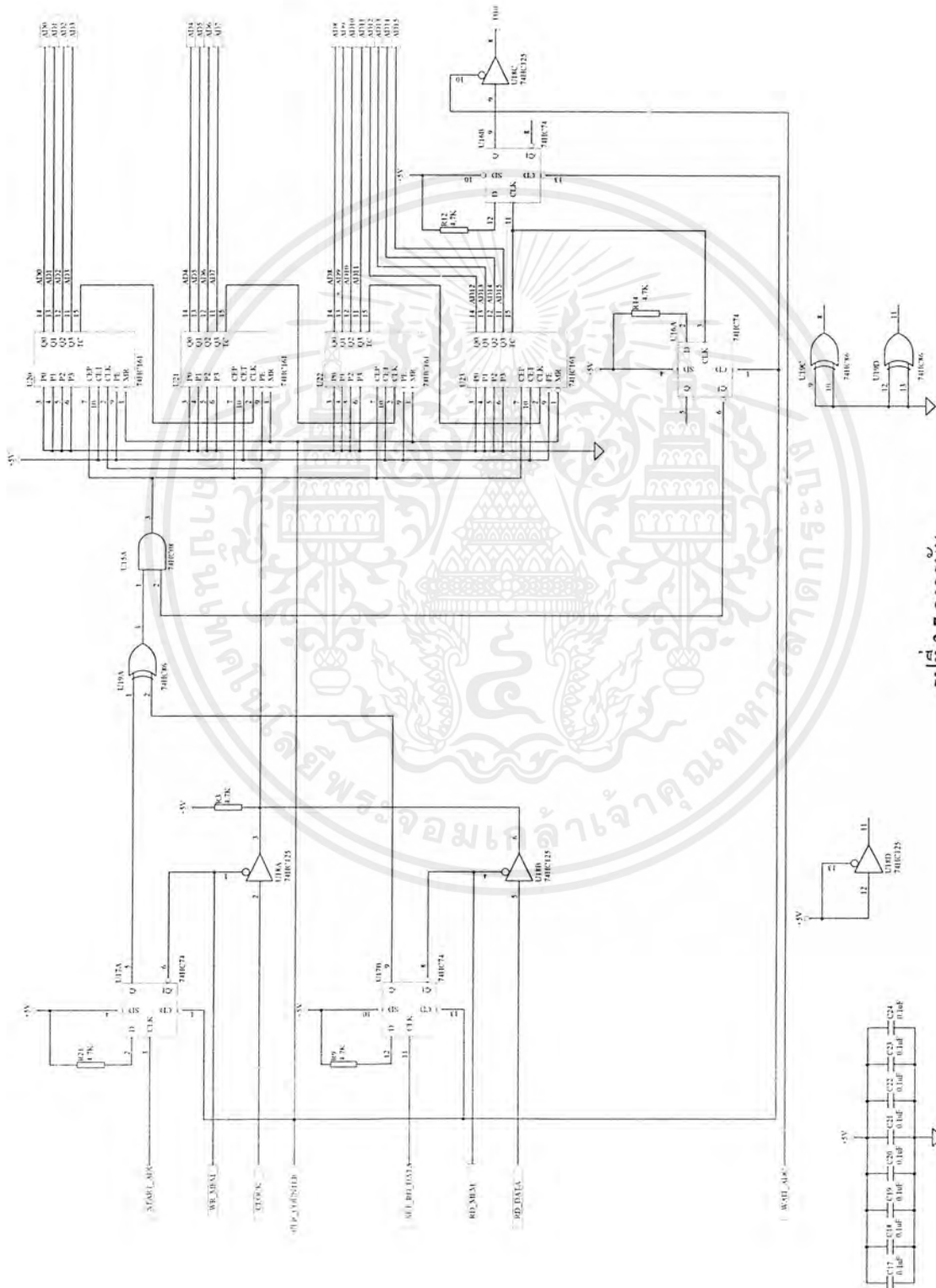
เมื่อต้องการเขียนข้อมูลมาที่หน่วยความจำจะต้องส่งสัญญาณมาที่พอร์ทการเขียนข้อมูลเป็น "0" ทำให้ U27(74HC244) หรือตัวป้องกันการเขียนข้อมูลเปิดเกต และเป็นผลทำให้ขา WE ของหน่วยความจำ ถูกอีนเบิล แต่พอร์ทการเขียนข้อมูลยังเป็น "1" อยู่ ทำให้ขา OE ของหน่วยความจำ ถูกอีนเบิลและขา 4,5 ของ U15(74HC08) เป็นอินพุทของแอนด์เกต (And Gate) ซึ่งทั้งสองขาต่ออยู่กับพอร์ทการเขียนข้อมูล และพอร์ทการเขียนข้อมูลทำให้ได้เอาท์พุทที่ขา 6 ของ U15(74HC08) เป็น "0" ทำให้ U24, U25, U27 (74HC244) เปิดเกต จึงมีการเขียนข้อมูลลงในหน่วยความจำโดยตำแหน่งที่มีการเขียนข้อมูลถูกเลื่อนตำแหน่งแอดเดรสโดยวงจรมัน โดยข้อมูลถูกเขียนจากเอาท์พุทมายังพอร์ทข้อมูล DA(0-7) เพื่อทำการเขียนข้อมูลลงในหน่วยความจำ

เมื่อมีการเขียนข้อมูลจนเต็ม 64 K byte จะต้องทำการเคลียร์วงจรมันอีกทำให้พอร์ทการเขียนข้อมูลและพอร์ทการอ่านข้อมูลเป็น "1" ทั้งคู่ทำให้ U24, U25, U27(74HC244) เป็นไฮอิมพีแดนซ์ และไม่มีการเปิดหน่วยความจำ

เมื่อต้องการอ่านข้อมูลจากหน่วยความจำเพื่อนำข้อมูลไปเก็บไว้ในหน่วยความจำของคอมพิวเตอร์ คอมพิวเตอร์จะต้องทำการส่งสัญญาณการอ่านข้อมูลเป็น "0" และพอร์ทการเขียนข้อมูลเป็น "1" ทำให้ U27(74HC244) หรือตัวป้องกันการข้อมูลเปิดเกต เป็นผลทำให้ขา WE ของหน่วยความจำ ถูกอีนเบิล แต่พอร์ทการอ่านข้อมูลเป็น "0" ทำให้ขา OE ของหน่วยความจำ ถูกอีนเบิลและขา 4, 5 ของ U15 (74HC08) เป็นอินพุทของแอนด์เกต ซึ่งทั้ง 2 ขาคืออยู่กับพอร์ทการเขียนข้อมูลและพอร์ทการอ่านข้อมูล ทำให้ได้เอาท์พุทที่ขา 6 ของ U15(74HC08) เป็น "0" ทำให้ U24, U25(74HC244) เปิดเกตทำให้มีการอ่านข้อมูลจากหน่วยความจำไปสู่คอมพิวเตอร์ โดยตำแหน่งที่มีการอ่านข้อมูลถูกเลื่อนแอดเดรสโดยวงจรมัน

3.2.3 วงจรมัน

วงจรมันทำหน้าที่เป็นตัวนับเพื่อเลือกตำแหน่งแอดเดรสในการอ่านและเขียนหน่วยความจำและคอยตรวจสอบว่ามีการนับตำแหน่งของแอดเดรสเต็ม 64 กิโลไบต์



รูปที่ 3.7 วงจรนับ

เอกสารนี้เป็นเอกสารที่สงวนไว้สำหรับการใช้งานเพื่อการศึกษาเท่านั้น ไม่อนุญาตให้นำไปใช้ประโยชน์ด้านการค้าไม่ว่ากรณีใดๆ ทั้งสิ้น อีกทั้งห้ามมิให้ดัดแปลงเนื้อหาและต้องอ้างอิงถึงเจ้าของเอกสารทุกครั้งที่มีการนำไปใช้

จากรูปที่ 3.7 จะเห็นว่าวงจรมีไอซีเบอร์ 74HC161 ซึ่งเป็นวงจรนับ 4 บิต จะทำการนับได้ก็ต่อเมื่อขา ENP และ ENT ทั้งคู่เป็น “1” เท่านั้น และวงจรนี้สามารถอ้างตำแหน่งแอดเดรสได้ทั้งหมด 64 กิโลไบต์ จากวงจรขา A, B, C, D ของ 74HC161(U20-U23) ต่อกราวด์เพื่อให้เริ่มต้นนับที่แอดเดรส “0000” และไม่ใช้ขา LOAD จึงต่อไฟแบบ +5V และ ENT ต่อไฟ +5 V จากวงจรทั้งหมดอธิบายได้ดังนี้

1. คอมพิวเตอร์จะส่งสัญญาณนาฬิกามา 1 ลูก ที่พอร์ทเคลียร์ตัวนับ(CLR_Counter) ทำให้มีการเคลียร์ฟลิป-ฟลอปและเคลียร์วงจรรับทำให้

- 1.1 ขา 5(U17) เป็น “0” และขา 6(U17)เป็น “1”
- 1.2 ขา 9(U17) เป็น “0” และขา 8(U17)เป็น “1”
- 1.3 U18ปิดเกทจึงไม่มีสัญญาณนาฬิกาที่วงจรรับ
- 1.4 ขา 1และขา 2 ของ(U19)เป็น “0” ทำให้ขา 3(U19) เป็น “0”
- 1.5 ขา 6(U16) เป็น “1” ต่อเข้าอินพุทที่ขา 2(U15)
- 1.6 ขา 3(U15) เป็น “0” ทำให้วงจรรับไม่ทำงาน
- 1.7 ขา 9(U18)เป็น “0”

2. คอมพิวเตอร์จะส่งสัญญาณนาฬิกาที่พอร์ทเลือกสัญญาณนาฬิกา(Set_Clock)ซึ่งอยู่ที่วงจรผลิตสัญญาณนาฬิกา ทำให้มีการส่งสัญญาณนาฬิกาที่พอร์ทสัญญาณนาฬิกา(Clock) แต่ก็ยังไม่มีการเปิดเกทของ U18(74HC125) ทำให้ไม่มีสัญญาณนาฬิกาเข้ามาในวงจรรับ

3. เมื่อคอมพิวเตอร์ต้องการเขียนข้อมูลจากเอทูดิ คอมพิวเตอร์จะส่งสัญญาณนาฬิกาที่พอร์ทการเขียนข้อมูล(Start_ADC)โดนส่งสัญญาณนาฬิกามา 1 ลูก ทำให้

- 3.1 ขา 5(U17)เป็น “1”และขา 6(U17) เป็น “0”
- 3.2 ขา 9(U17)เป็น “0”และขา 8(U17)เป็น “1”
- 3.3 U18 เปิดเกททำให้มีสัญญาณนาฬิกาเข้ามาที่วงจรรับและส่ง “0” ไปพอร์ทเขียน

หน่วยความจำทำให้หน่วยความจำ (WR_MEM) เพื่อเปิดตัวป้องกันข้อมูลและเปิดขา WR ของหน่วยความจำในวงจรหน่วยความจำ ทำให้หน่วยความจำถูกอีนาเบิลจึงมีการเขียนข้อมูลลงหน่วยความจำได้

- 3.4 ขา 1(U19)เป็น “1” และขา 6 (U17) เป็น “0” ทำให้ขา 3(U19)เป็น “1”
- 3.5 ขา 6(U16) เป็น “1” ต่อเข้ามาที่อินพุทที่ขา 2(U15)
- 3.6 ขา 3(U15)เป็น “1” ทำให้วงจรรับ (U20-U23) เริ่มทำงาน
- 3.7 เมื่อมีสัญญาณนาฬิกา 1 ลูก ก็จะเริ่มนับตำแหน่งแอดเดรสแรกทำให้ความจำซี

แอดเดรสแรกและมีการเขียนข้อมูลจากเอทูดิไปสู่หน่วยความจำแอดเดรส 0000H

- 3.8 ขา 15 ของ U23 เป็น “0” ทำให้ขา 9(U16) เป็น “0”

3.9 คอมพิวเตอร์จะทำการเช็คทันทีว่ามีการเขียนข้อมูลจากเอทูดิไปสู่หน่วยความจำเต็ม 64 กิโลไบต์หรือยังโดยส่งสัญญาณนาฬิกา 1 ลูก ที่พอร์ทการเขียนข้อมูล (WAIT_ADC_RD) ทำให้ U18 เปิดเกทเอาต์พุทออกมาที่ขา 8(U18) เป็น “0” ค่าที่ได้จึงถูกส่งออกไปที่คอมพิวเตอร์ทำให้คอมพิวเตอร์รู้ว่ามีการเขียนข้อมูลไปตำแหน่งใดบ้างแล้ว

- 3.10 เมื่อมีสัญญาณนาฬิกาที่ 2 เข้ามาวงจรรับก็จะอ้างตำแหน่งแอดเดรสถัดไป

เอกสารนี้เป็นเอกสารที่สงวนไว้สำหรับการใช้งานเพื่อการศึกษาเท่านั้น ไม่อนุญาตให้นำไปใช้ประโยชน์ทางการค้า ไม่ว่าจะกรณีใดๆ ทั้งสิ้น อีกทั้งห้ามมิให้ดัดแปลงเนื้อหาและต้องอ้างอิงถึงเจ้าของเอกสารทุกครั้งที่มีการนำไปใช้

3.11 มีการเขียนข้อมูลจากเอาต์พุตไปหน่วยความจำในตำแหน่งแอดเดรสถัดไป

3.12 ไปทำที่หัวข้อ 3.9

3.13 มีสัญญาณนาฬิกาถูกตัดไปเข้ามาก็เหมือนข้อ 3.12 จนกระทั่งสัญญาณนาฬิกาถูกที่ 64 กิโลไบต์ เข้ามาทำให้ขา 15(U23) มีสัญญาณเป็นพัลส์ร่นมา 1 ลูกทำให้ขา 9(U16) เป็น “1”

3.14 คอมพิวเตอร์จะส่งสัญญาณนาฬิกาามาหนึ่งลูกที่พอร์ตรอกการเขียนข้อมูลทำให้ U18 เปิดเกตมีเอาต์พุตออกมาที่ขา 8(U18) เป็น “1” ค่าที่ได้จึงถูกส่งไปที่คอมพิวเตอร์ ทำให้คอมพิวเตอร์รู้ว่ารู้ว่ามีกรเขียนข้อมูลเต็ม 64 กิโลไบต์แล้ว

4. คอมพิวเตอร์จะส่งสัญญาณนาฬิกา มา 1 ลูกที่พอร์ทเคลียร์ตัวนับ(CLR_Counter) ทำให้มีการเคลียร์ฟลิป-ฟลอปและเคลียร์วงจรรนับทำให้ทำให้สถานะต่างๆเหมือนข้อ 1

5. คอมพิวเตอร์ทำการอ่านข้อมูลจากหน่วยความจำไปเก็บไว้ที่คอมพิวเตอร์โดยคอมพิวเตอร์จะส่งสัญญาณมาที่พอร์ทเลือกการอ่านข้อมูล(SEL_RD_DATA)โดยส่งสัญญาณมา 1 ลูก ทำให้

5.1 มีสัญญาณมาที่ขา 11 (CLK,U17B)

5.2 ขา 9(U17) เป็น “1” และขา 8(U17) เป็น “0”

5.3 U18B เปิดเกตส่ง “0” ไปยังพอร์ทการอ่านหน่วยความจำ (RD_MEM) เพื่อเปิดตัวป้องกันข้อมูลและปิดขา OE ของหน่วยความจำทำให้หน่วยความจำอินาเบิสการอ่านข้อมูล

5.4 ขา 1(U19) เป็น “0” และขา 2 (U19) เป็น “1” ทำให้ขา 3 (U19) เป็น “1”

5.5 ขา 6(U16) เป็น “1” ต่อเข้าอินพุต ที่ขา 2(U15)

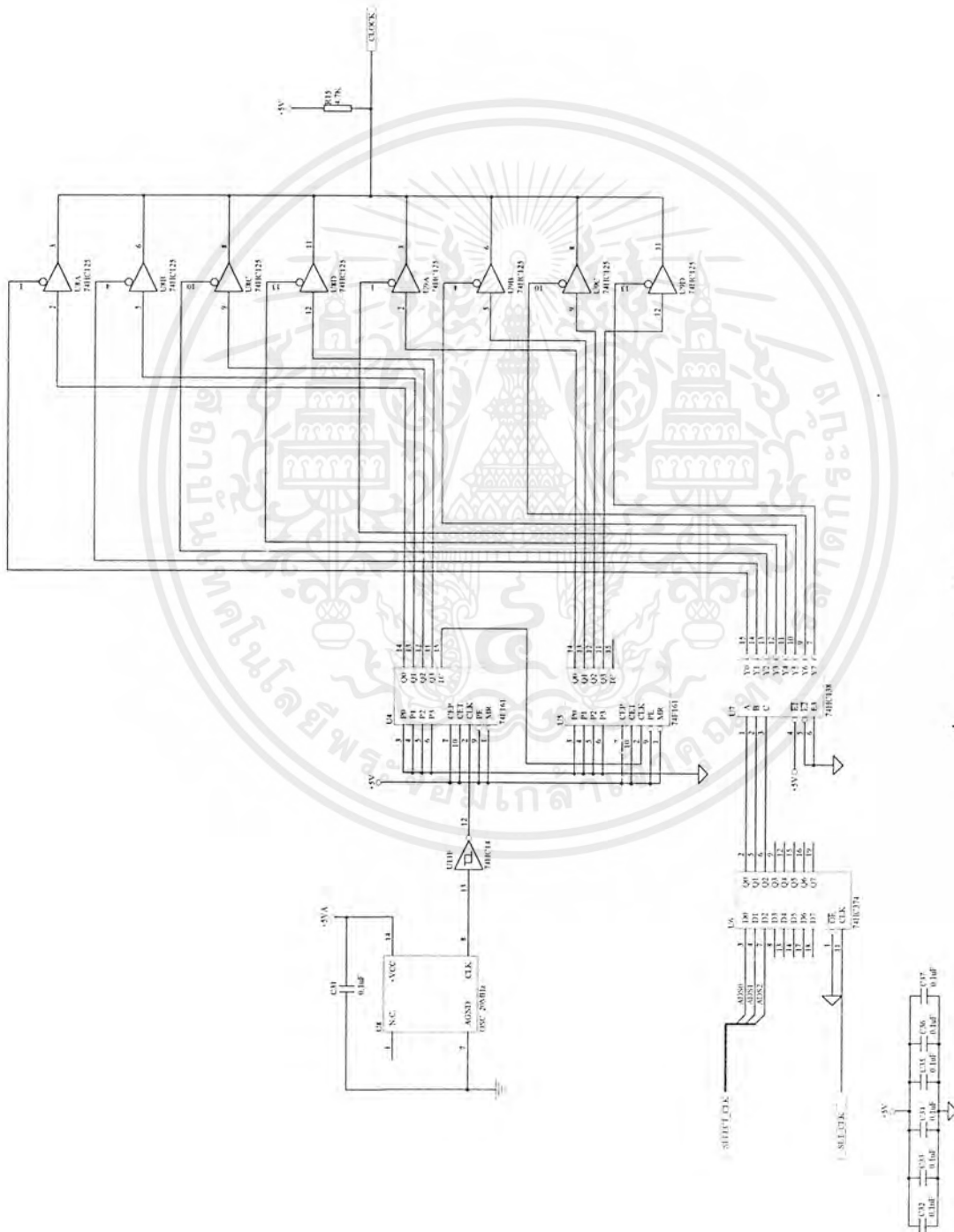
5.6 ขา 3 (U15) เป็น “1” ทำให้วงจรรนับเริ่มทำงาน

5.7 คอมพิวเตอร์ส่งสัญญาณนาฬิกา มา 1 ลูกที่พอร์ทการอ่านข้อมูลทำให้มีสัญญาณนาฬิกาเข้ามาที่วงจรรนับทำให้วงจรรนับเริ่มนับและมีการอ่านข้อมูลจากหน่วยความจำไปสู่คอมพิวเตอร์ในตำแหน่งแอดเดรส “000”

5.8 เมื่อมีสัญญาณนาฬิกาที่พอร์ทการอ่านข้อมูลลูกที่ 2 วงจรรนับก็เริ่มทำการนับแอดเดรสตำแหน่งแอดเดรสถัดไป และมีการอ่านข้อมูลจากหน่วยความจำไปสู่คอมพิวเตอร์ ในตำแหน่งแอดเดรส “0002”

5.9 เมื่อมีสัญญาณนาฬิกาที่พอร์ทการอ่านข้อมูลลูกถัดไปเข้ามาในวงจรรนับก็จะอ้างแอดเดรสถัดไปและมีการอ่านข้อมูลจากหน่วยความจำไปสู่คอมพิวเตอร์เป็นเช่นนี้ไปเรื่อยๆ จนกระทั่งมีการอ่านข้อมูลจากหน่วยความจำจนหมด

3.2.4 วงจรผลิตสัญญาณนาฬิกา จะเป็นตัวกำเนิดสัญญาณนาฬิกาดังรูปที่ 3.8



รูปที่ 3.8 วงจรผลิตสัญญาณนาฬิกา

เอกสารนี้เป็นเอกสารที่สงวนไว้สำหรับการใช้งานเพื่อการศึกษาเท่านั้น ไม่อนุญาตให้นำไปใช้ประโยชน์ด้านการค้า ไม่ว่าจะกรณีใดๆ ทั้งสิ้น อีกทั้งห้ามมิให้ดัดแปลงเนื้อหาและต้องอ้างอิงถึงเจ้าของเอกสารทุกครั้งที่มีการนำไปใช้

จากรูปที่ 3.8 จะมีออสซิลเลเตอร์ผลิตความถี่ประมาณ 30 เมกกะเฮิร์ต เป็นตัวกำเนิดสัญญาณนาฬิกาและป้อนให้กับ U4(74HC161) ซึ่งทำหน้าที่เป็นวงจรมีขนาด 4 บิต แล้วนำตัวทวดไปป้อนให้ขาสัญญาณนาฬิกาของ U5(74HC161) ซึ่งเป็นวงจรมีขนาด 4 บิตเช่นกันจึงเปรียบเทียบเสมือนทั้ง 2 ตัวต่ออนุกรมกัน ทำให้ได้วงจรมีขนาด 8 บิต โดยขา A,B,C,D ทั้ง 2 ตัวเป็นค่าเริ่มต้นในการนับโดยล่อทั้ง 4 ขาลงกราวด์เพื่อเริ่มต้นในการนับที่ตำแหน่งแอดเดรส “0000H” ส่วนขา CLR,LOAD ไม่ได้ใช้ต่อ +5 โวลท์ส่วนขา ENT,ENP ต้องเป็น “1” ทั้งคู่ มิฉะนั้นเมื่อมีสัญญาณนาฬิกาเข้ามาก็จะไม่มีการนับ โดยจะได้สัญญาณนาฬิกาที่ขาเอาต์พุตต่างๆที่มีความถี่ต่างกันดังตารางที่ 3.3

หมายเลขขา	ความถี่
ขา 14,U4	10MHz
ขา 13,U4	5MHz
ขา 12,U4	2.5MHz
ขา 11,U4	1.25MHz
ขา 14,U5	625kHz
ขา 13,U5	312.5kHz
ขา 12,U5	156.25kHz
ขา 11,U5	78.125kHz

ตารางที่ 3.3 ความถี่ของสัญญาณนาฬิกาที่ขาต่างๆ

เอาท์พุตทุกขาจะไปต่อเข้ากับ U8,U9(74HC125) ซึ่งทำหน้าที่เป็นตัวกันชนแต่ก็ยังไม่มีการเอาท์พุตออกมาได้จนกว่าจะมีการถอดรหัสโดย U7(74HC138) ซึ่งทำหน้าที่ในการเปิดเกททั้ง 8 ตัวเพื่อจะเลือกสัญญาณนาฬิกาโดมมี U6(74HC374) ทำหน้าที่เป็นตัวจำข้อมูล(Latch) เพื่อเอาค่าที่ได้ไปป้อนให้เอาท์พุตให้ขา 74HC138 เพื่อนำไปถอดรหัสต่อ โดย U6 จะต่อใช้งานเพียง 3 ขา เพื่อใช้จำข้อมูล 3 ค่าคือ AD0,AD1,AD2 ของคอมพิวเตอร์แต่จะต้องมีสัญญาณนาฬิกาเข้ามาที่ขา 11(U6) มิฉะนั้นข้อมูลที่ทำการจำไว้ก็จะไม่สามารถผ่านออกมาได้ทำให้การถอดรหัสผิดพลาดได้ การทำงานของวงจรมีการสร้างสัญญาณนาฬิกาได้ 8 ค่ามารออยู่ที่ตัวกันชน U8,U9 และจะเปิดเกทเพื่อเลือกสัญญาณนาฬิกาออกมาค่าหนึ่งโดย

1. ส่งค่า AD0,AD1,AD2 มาที่ U6(74HC374) โดยสามารถเลือกได้ 8 พอร์ต
2. ส่งสัญญาณนาฬิกาไปที่พอร์ทเลือกสัญญาณนาฬิกา (Set Clock) เพื่อป้อนให้ขา CLK ของ U6
3. มีข้อมูลออกมาที่ขา Q0,Q1,Q2 ของ U6
4. นำ Q0 ต่อขา A ของ U7,Q1 ต่อขา B ของ U7,Q2 ต่อขา C ของ U7

เอกสารนี้เป็นเอกสารที่สงวนไว้สำหรับบริการเชิงงานเพื่อการศึกษาเท่านั้น ไม่อนุญาตให้นำไปใช้ประโยชน์ด้านการค้าไม่ว่ากรณีใดๆ ทั้งสิ้น อีกทั้งห้ามมิให้ตัดแปลงเนื้อหาและต้องอ้างอิงถึงเจ้าของเอกสารทุกครั้งที่มีการนำไปใช้

5. ทำให้ Y0-Y7 “ON” เส้นใดเส้นหนึ่งเท่านั้น จนกว่าจะมีการเปลี่ยนค่า AD0-AD2
6. จะได้สัญญาณนาฬิกา 1 ความถี่เพื่อป้อนให้ส่วนอื่นต่อไป

3.2.5 วงจรถอดรหัส

เป็นวงจรถอดรหัสเพื่อควบคุมการทำงานต่างๆดังรูปที่ 3.9

วงจรถอดรหัสเป็นวงจรถควบคุมการทำงานต่างๆโดยผ่านทางสล็อตคอมพิวเตอรื จากขา B1-B31 จะต่อเพียงบางขาเพื่อป้อนเป็นแหล่งจ่ายไฟให้กับวงจรทั้งหมดโดยผ่านทางสล็อตคอมพิวเตอรื โดยมีขาต่างๆที่นำออกมาถอดรหัสเนื่องจากคอมพิวเตอรืมีพอร์ทที่วางอยู่ตั้งแต่แอดเดรส “3000H-301F” จึงใช้พอร์ทที่ส่งออกมาถอดรหัสเพื่อไม่ให้ชนกับส่วนอื่นๆ ของคอมพิวเตอรืโดยมี U12(74HC30) ทำหน้าที่เป็นตัวเข้ารหัส 8 อินพุต 1 เอาท์พุทเพื่อเลือกตำแหน่งแอดเดรสออกไปหนึ่งค่าเท่านั้นโดยมีอินพุตต่างๆดังต่อไปนี้

1. AD10 (คอมพิวเตอรื)ต่อผ่านน็อคเกต (U11) ไปเข้าที่ขา 1 ของ U12
2. AD9 (คอมพิวเตอรื) ต่อขา 2 ของ U12
3. AD8 (คอมพิวเตอรื) ต่อขา 3 ของ U12
4. AD7 (คอมพิวเตอรื) ต่อผ่านน็อคเกต (U11) ไปเข้าที่ขา 4 ของ U12
5. AD6 (คอมพิวเตอรื) ต่อผ่านน็อคเกต (U11) ไปเข้าที่ขา 5 ของ U12
6. AD7 (คอมพิวเตอรื) ต่อผ่านน็อคเกต (U11) ไปเข้าที่ขา 6 ของ U12
7. ขา 11,12 ของ U12 ต่อ +VCC

เพราะฉะนั้น เอาท์พุทของ U12 (ขา8) จะเป็น “0” ได้ก็ต่อเมื่อ

AD10	AD9	AD8	AD7	AD6	AD5	AD4	AD3	AD2	AD1	AD0
0	1	1	0	0	0	X	X	X	X	X

ตาราง 3.4 การถอดรหัสที่เอาท์พุทของ U12

จะได้เอาท์พุทที่ขา 8 ของ U12 เป็นเบอร์พอร์ทหมายเลข 0300H-031FH แต่จะนำไปใช้เพียง 16 พอร์ท คือ 0300H-030FH ก็เพียงพอสำหรับการถอดรหัสแล้ว เอาท์พุทที่ได้จะต่อเข้าขา G2B ของ U14 (74HC138) โดยมีขา IOR ของคอมพิวเตอรืต่อเข้าที่ขา G2A ของ U14(74HC138) และขา AEN กับ AD9 ของคอมพิวเตอรืต่อเข้ากับอินพุทของ U19 และเอาท์พุทที่ได้ต่อเข้าที่ขา G1 ของ U14(74HC138) เอาขา AD3,AD4 ของคอมพิวเตอรืต่อเข้าขา A,B ของ U14 และขา C ของ U14 ต่อกราวด์

เอกสารนี้เป็นเอกสารที่สงวนไว้สำหรับการใช้งานเพื่อการศึกษาเท่านั้น ไม่อนุญาตให้นำไปใช้ประโยชน์ด้านการค้า ไม่ว่าจะกรณีใดๆ ทั้งสิ้น อีกทั้งห้ามมิให้ดัดแปลงเนื้อหาและต้องอ้างอิงถึงเจ้าของเอกสารทุกครั้งที่มีการนำไปใช้

เหตุที่นำ AEN มาใช้ ก็เพื่อป้องกันการถอดรหัสผิดพลาดเพราะถ้า AEN เป็น “1” จะทำให้พอร์ทที่ถอดรหัสมาผิด ถ้า AEN เป็น “0” ก็จะทำให้แอดเดรสที่นำมาถอดรหัสไม่มีการถอดรหัสผิด เมื่อ AEN เป็น “0” และ AD9 เป็น “1” ทำให้ขา G1 ของ U14 เป็น “1” ด้วย ส่วนขา IOR ของคอมพิวเตอร์ต่อขา G2A เพื่อให้มีการอ่านข้อมูลจากภายนอกได้อย่างเดียว เพราะฉะนั้น U14 จะถอดรหัสค่าต่างๆ ได้ดังนี้

แอดเดรสของคอมพิวเตอร์

10	9	8	7	6	5	4	3	2	1	0	O/P	แอดเดรส
0	1	1	1	0	0	0	0	X	X	X	Y0	0300-0307H
0	1	1	1	0	0	0	1	X	X	X	Y1	0308-0301H

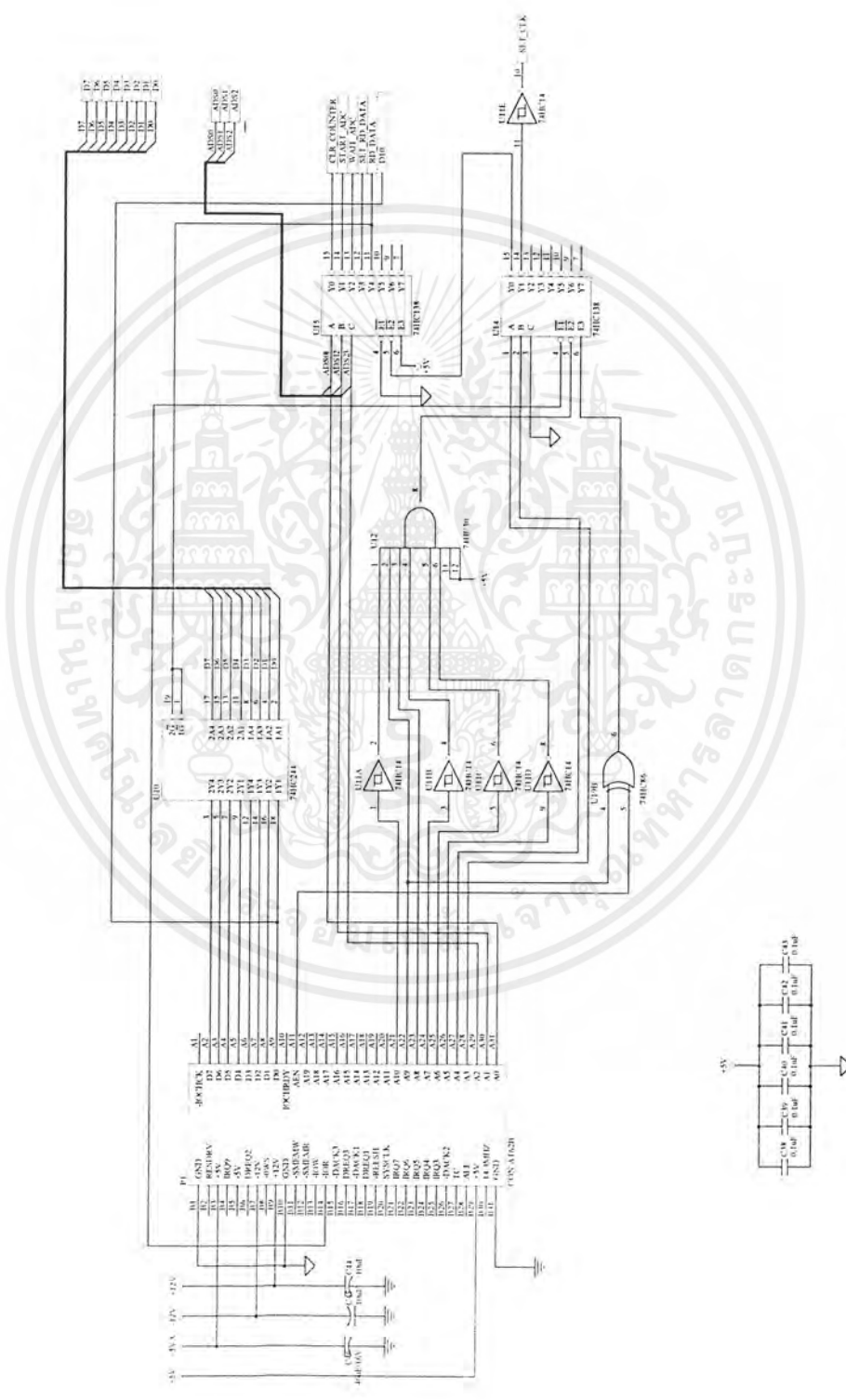
ตาราง 3.5 การถอดรหัสของ U14

ขา Y1 ของ U14 จะไปผ่านน็อตเกทเพื่อทำการเลือกพอร์ทสัญญาณนาฬิกาเพื่อเลือกสัญญาณนาฬิกาความถี่ค่าต่างๆ เหตุที่ต้องผ่านน็อตเกทเพราะขา CLK ของ U6 จะทำงานที่สัญญาณนาฬิกาที่ขอบขาขึ้นเท่านั้นจึงต้องมีการกลับเกทโดยใส่น็อตเกทคั่งวงจรเพื่อใช้เรียกพอร์ท 0308H-030FH ส่วนขา Y0 ของ U14 จะไปเข้าที่ขา G2B ของ U13 ส่วน G2A ต่อกราวด์ G1 ต่อ +5V เมื่อ G2B เป็น “0” หมายความว่าคอมพิวเตอร์ต้องการจะถอดรหัสพอร์ทหมายเลข 0300H-0307H เพื่อเลือกสัญญาณควบคุมการอ่านข้อมูลและเขียนข้อมูลลงบนหน่วยความจำ โดยขา A B C ของ U13 จะต่อ AD0, AD1, AD2 ตามลำดับ โดยจะมีการถอดรหัสของ U13 ได้ดังนี้

10	9	8	7	6	5	4	3	2	1	0	O/P	หมายเลขพอร์ท	หน้าที่
0	1	1	0	0	0	0	0	0	0	0	Y0	0300H	เคลียร์วงจรนับ
0	1	1	0	0	0	0	0	0	0	1	Y1	0301H	เขียนข้อมูล
0	1	1	0	0	0	0	0	0	1	0	Y2	0302H	รอการเขียนข้อมูล
0	1	1	1	0	0	0	0	0	1	1	Y3	0303H	เลือกอ่านข้อมูล
0	1	1	0	0	0	0	1	1	0	0	Y4	0304H	อ่านข้อมูล

ตารางที่ 3.6 การถอดรหัสของ U12

เอกสารนี้เป็นเอกสารที่สงวนไว้สำหรับการใช้งานเพื่อการศึกษาเท่านั้น ไม่อนุญาตให้นำไปใช้ประโยชน์ด้านการค้าไม่ว่ากรณีใดๆ ทั้งสิ้น อีกทั้งห้ามมิให้ดัดแปลงเนื้อหาและต้องอ้างอิงถึงเจ้าของเอกสารทุกครั้งที่มีการนำไปใช้



รูปที่ 3.9 วงจรถอดรหัส

เอกสารนี้เป็นเอกสารที่สงวนไว้สำหรับการใช้งานเพื่อการศึกษาเท่านั้น ไม่อนุญาตให้นำไปใช้ประโยชน์ด้านการค้าไม่ว่ากรณีใดๆ ทั้งสิ้น อีกทั้งห้ามมิให้ดัดแปลงเนื้อหาและต้องอ้างอิงถึงเจ้าของเอกสารทุกครั้งที่มีการนำไปใช้

ส่วนอีก 3 พอร์ตไม่ได้ใช้และ U10(74HC244)ทำหน้าที่เป็นตัวป้องกันการเขียนข้อมูลจะมีหน้าที่ในการอ่านข้อมูลจากหน่วยความจำของวงจรมานำเข้าไว้ในหน่วยความจำของคอมพิวเตอร์เท่านั้น

ส่วนพอร์ต D10 ต่อเข้ากับ SD0 ของคอปพิวเตอรืเพื่อทำหน้าที่ตรวจสอบการเขียนข้อมูลจากเอทูดิจิไปสู่วหน่วยความจำ เพื่อให้คอมพิวเตอร์ทราบว่ามีการเขียนข้อมูลลงหน่วยความจำเต็มหรือยัง

สรุปการทำงานของวงจร

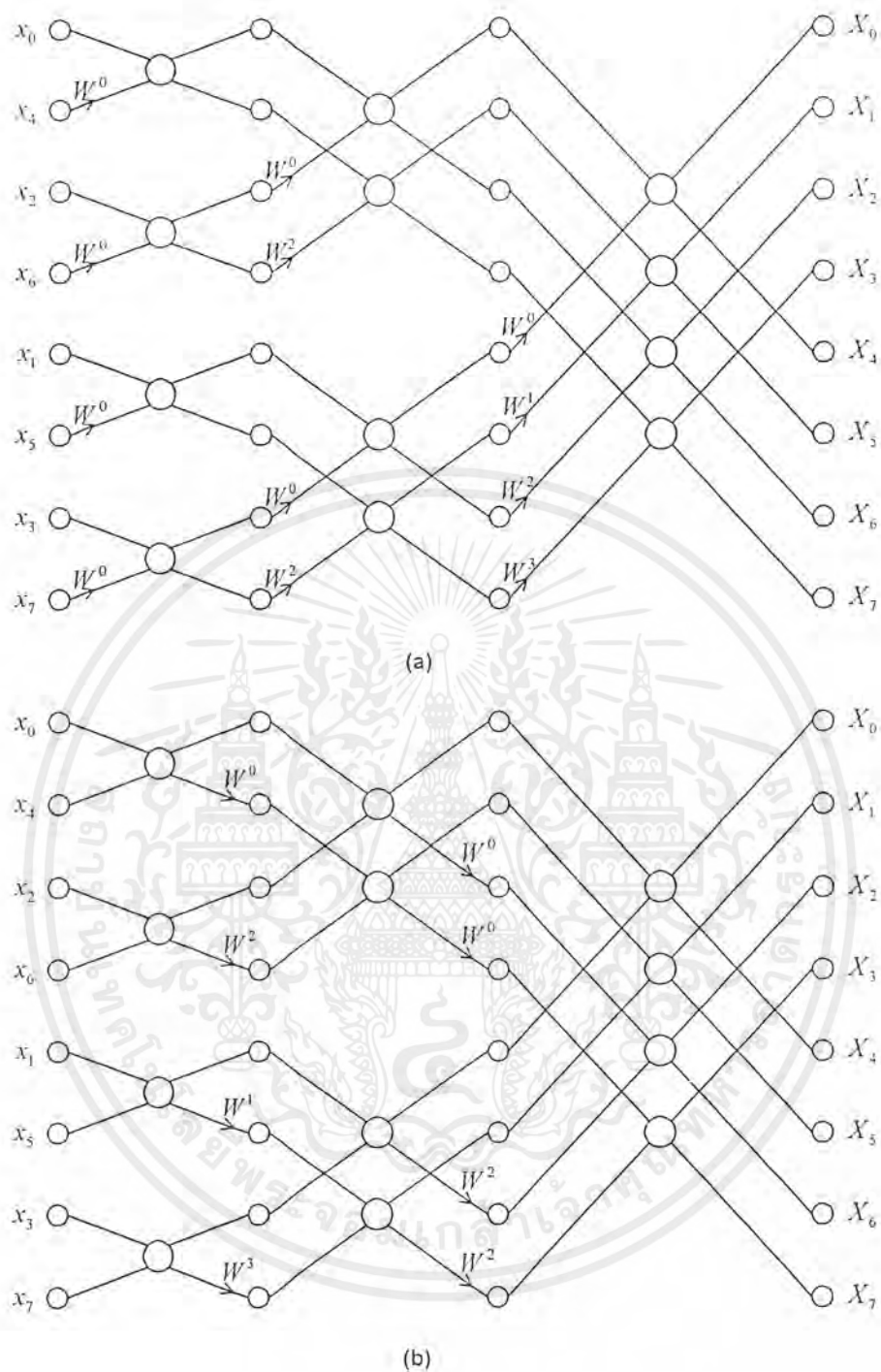
การทำงานของวงจรมีเป็นวงจรของการถอดรหัสเพื่อเลือกการเขียนข้อมูลจากเอทูดิจิไปสู่วหน่วยความจำและอ่านข้อมูลจากหน่วยความจำเข้าไปเก็บไว้ในคอมพิวเตอร์ โดยจะถูกควบคุมโดยโปรแกรมคอมพิวเตอร์

3.3 หลักการเขียนโปรแกรมฟาสต์ฟูเรียร์ทรานส์ฟอร์ม

ในการคำนวณหาฟาสต์ฟูเรียร์ทรานส์ฟอร์ม ($N \log_2(N)$) และของดิสครีทฟูเรียร์ทรานส์ฟอร์ม คือ N^2 (N = ความยาวในการคำนวณ) จะแตกต่างในเรื่องของความเร็วในการคำนวณ โดยฟาสต์ฟูเรียร์ทรานส์ฟอร์มจะทำการคำนวณได้เร็วกว่า แต่ฟาสต์ฟูเรียร์ทรานส์ฟอร์มมีข้อจำกัดที่จะต้องนำมาพิจารณาคือ

1. วิธีการหาฟาสต์ฟูเรียร์ทรานส์ฟอร์มจะใช้ข้อมูลในการคำนวณแค่ 2 ตัวในบิตเตอร์ฟลายหนึ่งตัวและมีความยาวในการคำนวณเท่ากับข้อมูลทั้งหมดยกกำลังสอง (N^2) โดยการคำนวณต้องเริ่มจากค่า 0 จนถึงค่า N
2. เมื่อมีการคำนวณฟาสต์ฟูเรียร์ทรานส์ฟอร์มต้องมีการกลับบิตเมื่อคำนวณเสร็จแล้ว (นำข้อมูลที่คำนวณแล้วมาเรียงใหม่ตามลำดับ)

ทั้งสองข้อข้างเป็นข้อบกพร่องของการหาฟาสต์ฟูเรียร์ทรานส์ฟอร์มที่ยุ่งยาก แต่มีวิธีการหาฟาสต์ฟูเรียร์ทรานส์ฟอร์มอยู่ 2 ทางเรียกว่าเดซิเมชันอินไทม์ (Decimation in Time) และ เดซิเมชันอินฟริควเ็นซี (Decimation in Frequency) ซึ่งวิธีการทั้ง 2 นี้เป็นพื้นฐานของฟาสต์ฟูเรียร์ที่ใช้ในการคำนวณในแต่ละจุดของฟาสต์ฟูเรียร์ทรานส์ฟอร์มและทั้งสองรูปแบบนี้ก็มีข้อแตกต่าง ดังรูปที่ 3.10 (บิทอินพุทกลับด้านส่วนเอาต์พุทจะปกติ) และในรูปที่ 3.11 จะแสดง (บิทอินพุทปกติแต่เอาต์พุทกลับด้าน)

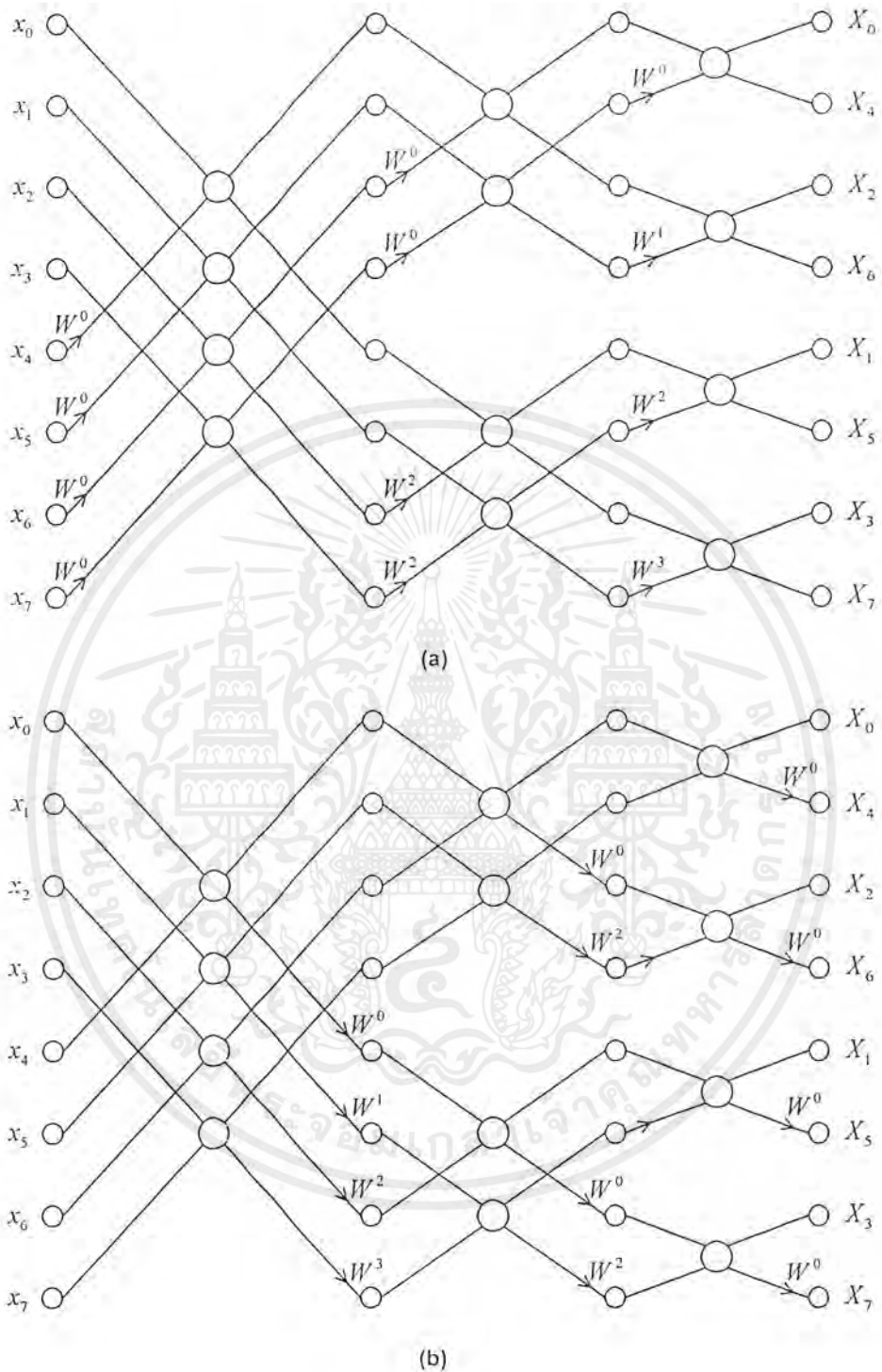


รูปที่ 3.10 กราฟ 8 จุด ฟาสต์ฟูเรียร์ทรานส์ฟอร์ม (อินพุทกลับบิท)

(a) กราฟเดซิเมชันอินไทม์ (Decimation in Time Flowgraph)

(b) กราฟเดซิเมชันอินฟริเกนซี (Decimation in Frequency Flowgraph)

เอกสารนี้เป็นเอกสารที่สงวนไว้สำหรับการใช้งานเพื่อการศึกษาเท่านั้น ไม่อนุญาตให้นำไปใช้ประโยชน์ด้านการค้า
ไม่ว่ากรณีใดๆ ทั้งสิ้น อีกทั้งห้ามมิให้ดัดแปลงเนื้อหาและต้องอ้างอิงถึงเจ้าของเอกสารทุกครั้งที่มีการนำไปใช้



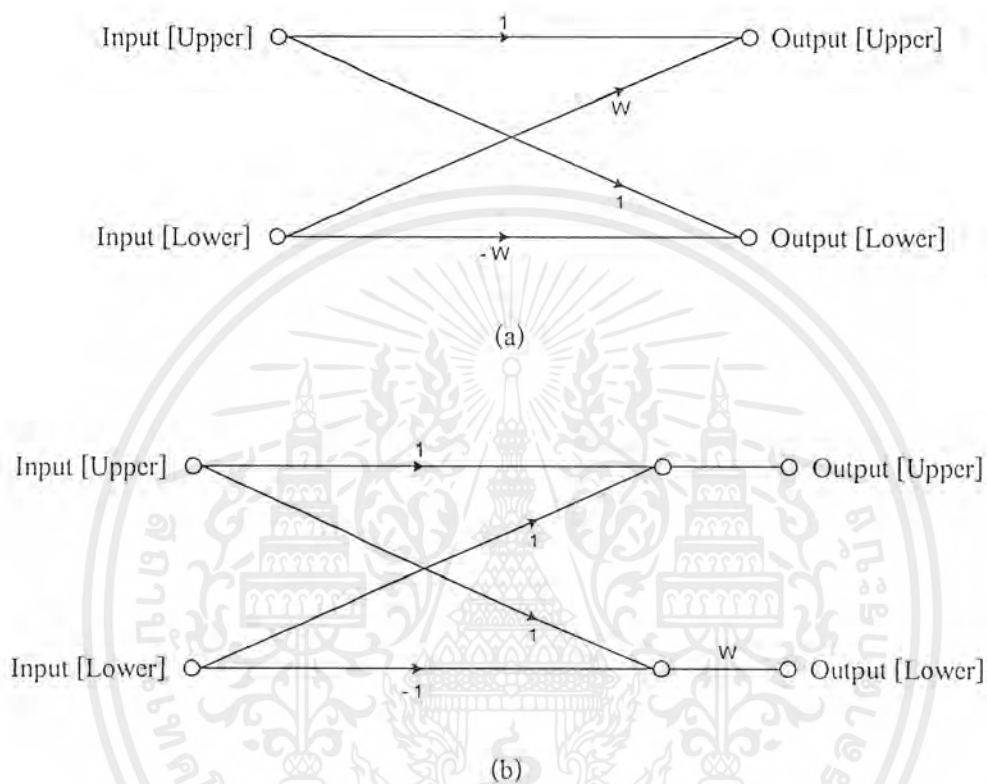
รูปที่ 3.11 กราฟ 8 จุด ฟาสต์ฟูเรียร์ทรานส์ฟอร์ม (อินพุตไม่กลับบิท)

(a) กราฟเดซิเมชันอินไทม์ (Decimation in Time Flowgraph)

(b) กราฟเดซิเมชันอินฟริควเอนซี (Decimation in Frequency Flowgraph)

เอกสารนี้เป็นเอกสารที่สงวนไว้สำหรับการใช้งานเพื่อการศึกษาเท่านั้น ไม่อนุญาตให้นำไปใช้ประโยชน์ด้านการค้า
ไม่ว่ากรณีใดๆ ทั้งสิ้น อีกทั้งห้ามมิให้ดัดแปลงเนื้อหาและต้องอ้างอิงถึงเจ้าของเอกสารทุกครั้งที่มีการนำไปใช้

จากกราฟทั้ง 4 สามารถแบ่งบัตเตอร์ฟลายได้ 2 ชนิด คือ กราฟเดซิเมชันอินพุทใหม่และกราฟเดซิเมชันอินพุทเฟรเควนซีซึ่งมี 2 แบบคือแบบกลับบิทและไม่กลับบิทที่เอาท์พุท เพื่อให้ง่ายขึ้นในการทำความเข้าใจ จากกราฟจะนำมาอธิบายแค่บัตเตอร์ฟลายเดียว (2 อินพุท 2 เอาท์พุท) ดังรูปที่ 3.12



รูปที่ 3.12 บัตเตอร์ฟลายเดี่ยว

- (a) เดซิเมชันอินพุทใหม่ มีการคูณด้วยค่า W ก่อนทำการบวกและลบ
 (b) เดซิเมชันอินพุทเฟรเควนซี มีการบวกและลบก่อนทำการคูณด้วยค่า W

โดยสมการของ เดซิเมชันอินพุทใหม่บัตเตอร์ฟลาย คือ

$$\text{Output (Upper)} = \text{Input (Upper)} + W * \text{Input (Lower)}$$

$$\text{Output (Lower)} = \text{Input (Upper)} - W * \text{Input (Lower)}$$

สมการของ เดซิเมชันอินพุทเฟรเควนซีบัตเตอร์ฟลาย คือ

$$\text{Output (Upper)} = \text{Input (Upper)} + \text{Input (Lower)}$$

$$\text{Output (Lower)} = W * [\text{Input (Lower)} - \text{Input (Upper)}]$$

เอกสารนี้เป็นเอกสารที่สงวนไว้สำหรับการใช้งานเพื่อการศึกษาเท่านั้น ไม่อนุญาตให้นำไปใช้ประโยชน์ด้านการค้าไม่ว่ากรณีใดๆ ทั้งสิ้น อีกทั้งห้ามมิให้ตัดแปลงเนื้อหาและต้องอ้างอิงถึงเจ้าของเอกสารทุกครั้งที่มีการนำไปใช้

ในหลักการเขียน โปรแกรมนี้จะใช้วิธีการแบบเดซิเมชันอินพีรีเวนซ์บิตเตอร์ไฟลยและจะต้องมีการเก็บค่าข้อมูลที่ได้ให้คุ่มค่าเพื่อประหยัดหน่วยความจำในการเก็บข้อมูล โดยจะต้องนำข้อมูลที่คำนวณได้ไปเก็บไว้ที่ตำแหน่งข้อมูลเดิมและทำการคำนวณเช่นนี้ไปเรื่อยๆ จนกระทั่งคำนวณเสร็จ ในการคำนวณแบบเดซิเมชันอินพีรีเวนซ์ จะมีข้อมูลที่ต้องการดังนี้

- (1) การชี้ตำแหน่งขาบน (Upper Leg) ของอินพุท
- (2) ความแตกต่างระหว่างขาบน (Upper Leg) และขาล่าง (Lower Leg)
- (3) ค่าของ W (การเก็บค่า W อาร์เรย์)

ตัวแปรที่ใช้ในการคำนวณฟาสต์ฟูเรียร์ทรานส์ฟอร์ม

- x : ชี้ค่าเริ่มต้นของคำสั่งจำนวนเชิงซ้อนซึ่งรองรับข้อมูลของอินพุทและเอาต์พุท
- I : การอ้างอิงตำแหน่งขาบนใน x อาร์เรย์
- lc : การอ้างอิงความแตกต่างระหว่างขาบนและขาล่าง
- $wptr$: เป็นจุดที่ใช้เก็บค่าของ W
- n : เป็นจำนวนจุดต่างๆที่ใช้คำนวณ
- m : เป็นตัวยกกำลังของ n
- $temp$: เก็บค่าจำนวนเชิงซ้อนที่เป็นค่าจริงไว้ชั่วคราว
- tm : เก็บค่าจำนวนเชิงซ้อนที่เป็นค่าจินตภาพไว้ชั่วคราว

จากรูปที่ 3.12 สามารถเขียนโปรแกรมของเดซิเมชันอินพีรีเวนซ์บิตเตอร์ไฟลยได้ดังนี้

```

xi = x + i
xip = xi + lc
temp.real = xi->real + xip->real
temp.imag = xi->imag + xip->imag
tm.real = xi->real - xip->real
tm.imag = xi->imag - xip->imag
xip->real = tm.real*u.real - tm.imag*u.imag
xip->imag = tm.real*u.imag + tm.imag*u.real
*xi = temp

```

- โดย xi แทนตำแหน่งอินพุทขาบน
- xip แทนตำแหน่งอินพุทขาล่าง
- $temp$ แทนตำแหน่งเอาต์พุทขาบนชั่วคราวซึ่งมีค่าจริงและค่าจินตภาพ
- tm แทนตำแหน่งเอาต์พุทขาล่างก่อนคูณกับค่า W ซึ่งมีค่าจริงและค่าจินตภาพ

การหาค่าเอาต์พุทขาล่างจะหามาจากสมการ

เอกสารนี้เป็นเอกสารที่สงวนไว้สำหรับการใช้งานเพื่อการศึกษาเท่านั้น ไม่อนุญาตให้นำไปใช้ประโยชน์ด้านการค้าไม่ว่ากรณีใดๆ ทั้งสิ้น อีกทั้งห้ามมิให้ดัดแปลงเนื้อหาและต้องอ้างอิงถึงเจ้าของเอกสารทุกครั้งที่มีการนำไปใช้

$$\begin{aligned}(a + jb) * (c + jd) &= ac + jad + jbc - bd \\ &= (ac - bd) + j(ad + bc)\end{aligned}$$

$$\text{เอาที่หุทขาล้าง} = (tm.\text{real} + j tm.\text{imag}) (wptr.\text{real} + j wptr.\text{imag})$$

$$\begin{aligned}\text{เอาที่หุทขาล้าง} &= (tm.\text{real} * wptr.\text{real}) + (tm.\text{real} * j wptr.\text{imag}) + \\ &\quad (j tm.\text{imag} * wptr.\text{real}) - (tm.\text{imag} * wptr.\text{imag})\end{aligned}$$

$$\text{เอาที่หุทค่าจริงขาล้าง} = (tm.\text{real} * wptr.\text{real}) - (tm.\text{imag} * wptr.\text{imag})$$

$$\text{เอาที่หุทค่าจินตภาพขาล้าง} = (tm.\text{real} * wptr.\text{imag}) + (tm.\text{imag} * wptr.\text{real})$$

ที่บรรทัดสุดท้ายของโปรแกรมจะใช้ตัวแปร temp เก็บค่าเอาที่หุทขานไว้ชั่วคราว และจะเปลี่ยนเป็นตัวแปร xi อีกครั้งเพื่อใช้ในการคำนวณครั้งต่อไป

ในการคำนวณบัคเตอร์ฟลายหลายตัวจะยกตัวอย่างการเขียนโปรแกรมในรูปที่ 3.11(b) กราฟเดซิเมชันอินฟริควนซี การหาบัคเตอร์ฟลายในแนวตั้งจะมีจำนวนแถวทั้งหมดเท่ากับ $(\log_2 N)$ แต่ละแถวของบัคเตอร์ฟลายจะต้องคำนึงถึงค่า W ด้วย ในแต่ละแถวต้องมีค่า W ในบัคเตอร์ฟลายแรกเหมือนกัน แต่ในบัคเตอร์ฟลายที่สองจะมีค่าของ W แต่ละตัวอาจจะเหมือนเดิมหรือไม่ก็ได้ และโครงสร้างของบัคเตอร์ฟลายที่มีค่า W เหมือนกันจะใช้การวนลูป (Loop) ดังโปรแกรมที่เพิ่มดังต่อไปนี้

```
for (i = j; i < n; i = I + 2*lc)
{
    xi = x + i
    xip = xi + lc
    temp.real = xi->real + xip->real
    temp.imag = xi->imag + xip->imag
    tm.real = xi->real - xip->real
    tm.imag = xi->imag - xip->imag
    xip->real = tm.real*u.real - tm.imag*u.imag
    xip->imag = tm.real*u.imag + tm.imag*u.real
    *xi = temp
}
```

ในลูปที่กล่าวถึงจะชี้ค่าเริ่มต้นที่ขานโดยค่า j และทำต่อไปโดยใช้ระยะห่างระหว่างขานและขาล้างของบัคเตอร์ฟลาย โดยสามารถตรวจสอบจากกราฟโดยมีจำนวนของ W เหมือนกัน และทำการคำนวณในแต่ละแถวจะเพิ่มโปรแกรมลูปต่อไปนี้

```

for (j=1; j<lc; j++)
{
    for (i = j; i<n; i = 1 + 2*lc)
    {
        xi = x + i
        xip = xi + lc
        temp.real = xi->real + xip->real
        temp.imag = xi->imag + xip->imag
        tm.real = xi->real - xip->real
        tm.imag = xi->imag - xip->imag
        xip->real = tm.real*u.real - tm.imag*u.imag
        xip->imag = tm.real*u.imag + tm.imag*u.real
        *xi = temp
    }
    wptr = wptr + windex
}

```

ในการวนลูปแต่ละครั้งจะชี้ตำแหน่งขานโดยใช้ค่า j เพิ่มตำแหน่งการหาบัตเตอร์ฟลายในแต่ละแถว โดยดูภายในจะสนใจทุกๆ ค่าของบัตเตอร์ฟลายโดยใช้ค่า j เป็นจุดเริ่มต้นเช่นกัน และจะเพิ่มค่า W ($wptr$) โดยใช้ $windex$ ค่าของ $windex$ จะเปลี่ยนไปแต่ละแถว

ในลำดับสุดท้ายจะเพิ่มลูปจนถึงแถวที่ m โดยเพิ่มลูปนอกเข้าไปดังนี้

```

le = n
windex = 1;
for (l=0; l<m; l++)
{
    le = lc/2
    wptr = w
    for( i=0; i<n; i=l + 2*lc)
    {
        xi = x+i
        xip = xi+le
        temp.real = xi->real + xip->real
        temp.imag = xi->imag + xip->imag

```

เอกสารนี้เป็นเอกสารที่สงวนไว้สำหรับการใช้งานเพื่อการศึกษาเท่านั้น ไม่อนุญาตให้นำไปใช้ประโยชน์ด้านการค้า ไม่ว่ากรณีใดๆ ทั้งสิ้น อีกทั้งห้ามมิให้ตัดแปลงเนื้อหาและต้องอ้างอิงถึงเจ้าของเอกสารทุกครั้งที่มีการนำไปใช้

```

    xip->real = xi->real - xip->real
    xip->imag = xi->imag - xip->imag
        *xi = temp
    }
    wptr = wptr + windex
}
winddex = 2 * dindex
}

```

ค่า w จะชี้จุดเริ่มต้นของอาร์เรย์ W ก่อนจะผ่านไปแต่ละแถว

ค่า le เป็นระยะทางระหว่างขบวนและขาล่างของแบตเตอรี่ฟลาย

ค่า $*wptr$ เป็นค่าเริ่มต้นของเฟลคเตอร์ W โดยจะเพิ่มไปเรื่อยๆ จนจบแถวแรกโดยใช้ค่า

$windex = 1$ และเมื่อคำนวณแบตเตอรี่ฟลายในแถวที่สองค่า $windex$ ก็จะเพิ่มเป็น 2 เท่าและถ้าเพิ่มการคำนวณแบตเตอรี่ฟลายในแถวต่อไปค่า $windex$ ก็จะเพิ่มจากเดิมเป็น 2 เท่า จะเป็นเช่นนี้ไปเรื่อยๆ จนจบการคำนวณ จากโปรแกรมข้างต้นสามารถนำไปแก้ไขให้เป็น โปรแกรมฟาสต์ฟูเรียร์ทรานส์ฟอร์มที่สมบูรณ์และมีการแสดงผลการคำนวณที่ได้ไปพล็อตที่คอมพิวเตอร์

บทที่ 4

การทดลองและผลการทดลอง

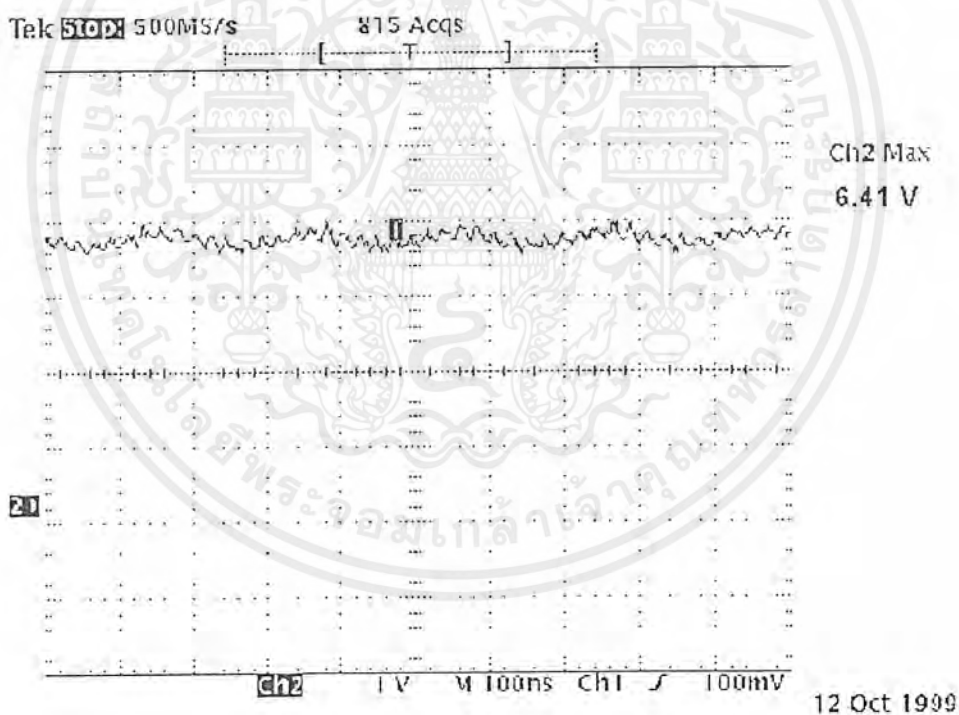
เราจะทำการทดลองออกเป็น 2 ลักษณะคือทดลองวงจร โดยการทดสอบสั่งงานทางโลจิก(Logic) และ การทดลองวงจร โดยการทดสอบสั่งงานด้วยคอมพิวเตอร์

4.1 การทดลองวงจรโดยการทดสอบสั่งงานทางโลจิก

4.1.1 การทดลองวงจรเอทาคี

วงจรอ้างอิงแรงดัน

1. ต่อวงจรลงบน แผงทดลอง
2. ป้อนแรงดัน +12 โวลต์
3. ให้ทำการปรับค่า R4 จนกระทั่งวัดที่ขาอีมิเตอร์ของ Q1 ได้ประมาณ 6.4 โวลต์
4. ทำการใช้สโคปวัดที่ขาอีมิเตอร์ของ Q1 จะเกิดสัญญาณรบกวนเล็กน้อย

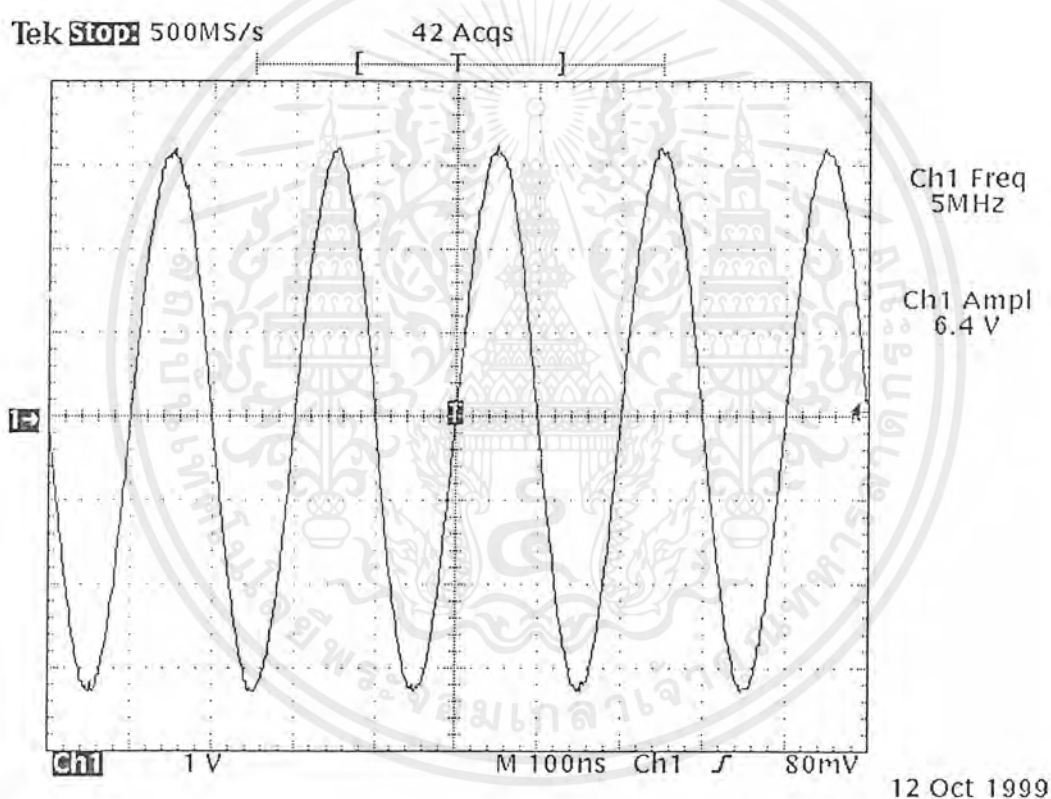


รูปที่ 4.1 สัญญาณที่ขา อีมิเตอร์ของ Q1

เอกสารนี้เป็นเอกสารที่สงวนไว้สำหรับการใช้งานเพื่อการศึกษาเท่านั้น ไม่อนุญาตให้นำไปใช้ประโยชน์ด้านการค้า ไม่ว่าจะกรณีใดๆ ทั้งสิ้น อีกทั้งห้ามมิให้ตัดแปลงเนื้อหาและต้องอ้างอิงถึงเจ้าของเอกสารทุกครั้งที่มีการนำไปใช้

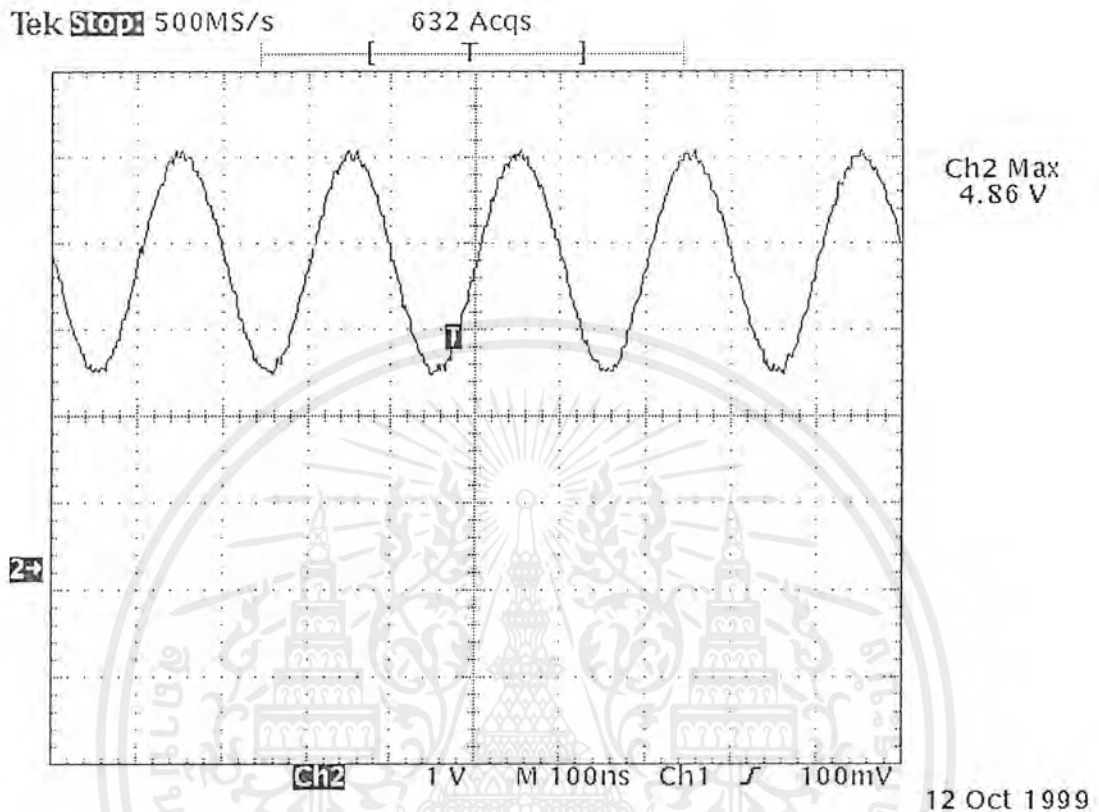
ตัวป้องกันเหตุ

1. ตัววงจรบนแผงทดลอง
2. ป้อนแหล่งจ่ายไฟ +12 โวลต์และ -12 โวลต์
3. ป้อนสัญญาณไซน์เวฟ ที่ขา R1 ประมาณ 6.4 โวลต์ ที่ความถี่ 5 MHz
4. จะได้สัญญาณที่ขา 6 ของ U1 โดยที่สัญญาณที่ได้จะมีค่าขนาดลดลงครึ่งหนึ่งของสัญญาณอินพุตและสัญญาณถูกยกกระดืบขึ้น 3.2 โวลต์
5. จากการคำนวณค่าอัตราสลดของจ่ายสัญญาณความถี่มากกว่าที่กำหนดประมาณ 7.5 MHz สังเกตสัญญาณแล้วไม่เกิดความเพี้ยนจากสัญญาณเดิม แต่ลดจ่ายสัญญาณที่ความถี่ 10 MHz สังเกตดูสัญญาณเกิดความเพี้ยนจากสัญญาณเดิม



รูปที่ 4.2 สัญญาณอินพุต

เอกสารนี้เป็นเอกสารที่สงวนไว้สำหรับการใช้งานเพื่อการศึกษาเท่านั้น ไม่อนุญาตให้นำไปใช้ประโยชน์ด้านการค้าไม่ว่ากรณีใดๆ ทั้งสิ้น อีกทั้งห้ามมิให้ดัดแปลงเนื้อหาและต้องอ้างอิงถึงเจ้าของเอกสารทุกครั้งที่มีการนำไปใช้



รูปที่ 4.3 สัญญาณเอาต์พุตของตัวป้องกันเอทวูดี

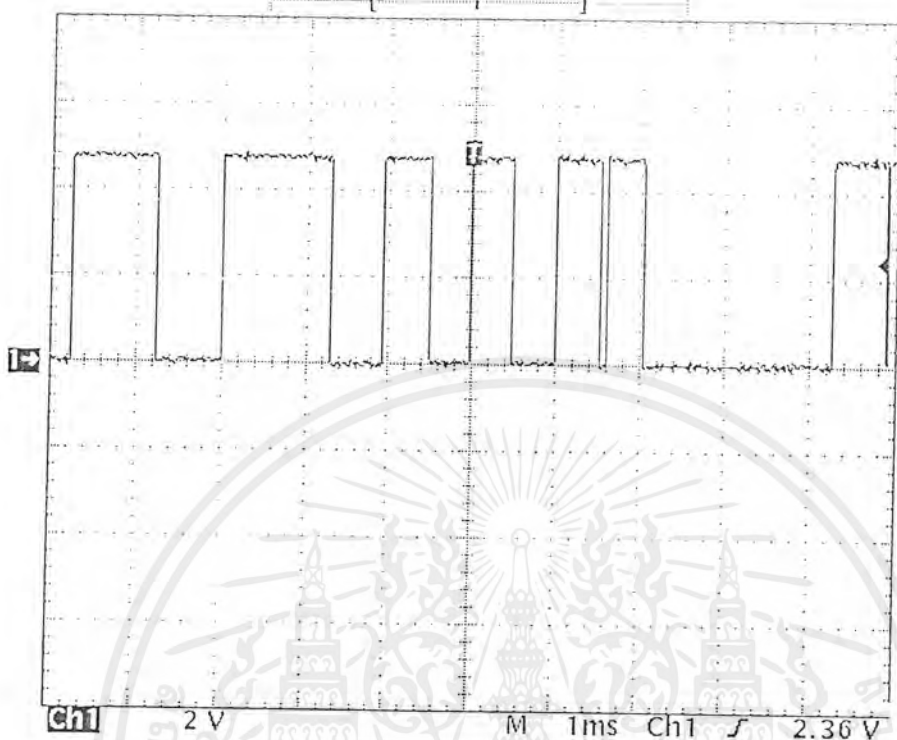
วงจรเอทวูดี

1. ต่อวงจรลงบนแผงทดลองโดยทำการต่อวงจรทั้งหมดของวงจรเอทวูดี
2. ป้อนแหล่งจ่ายไฟ +5 โวลท์
3. ทำการจ่าย CLOCK ให้กับวงจรที่ขา 18 ของ U3
4. ใช้สโคปทำการทดสอบดูว่าที่ขา 1-8 ของ U3 มีสัญญาณเกิดการเปลี่ยนแปลงหรือไม่
5. ถ้ามีการเปลี่ยนแปลงแสดงว่าวงจรเอทวูดีทำงาน มีการเปลี่ยนแปลงทั้ง 8 ขา

สัญญาณที่วัดได้จาก สัญญาณเบิตที่ 1 และ สัญญาณเบิตที่ 8 ของเอทวูดี

Tek **Stop** 50kS/s

71 Acqs

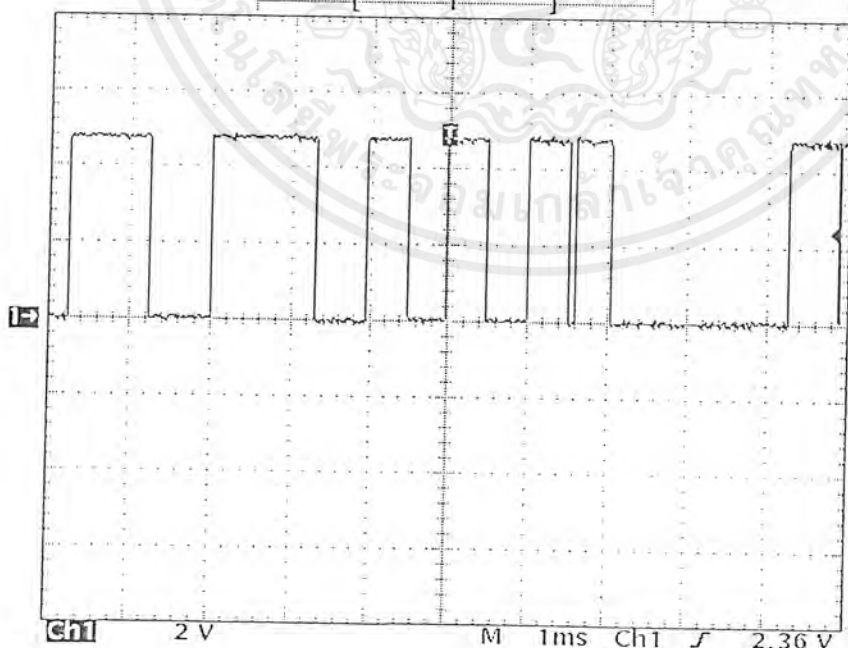


27 Mar 2000

รูปที่ 4.4 สัญญาณบิตที่ 1

Tek **Stop** 50kS/s

71 Acqs

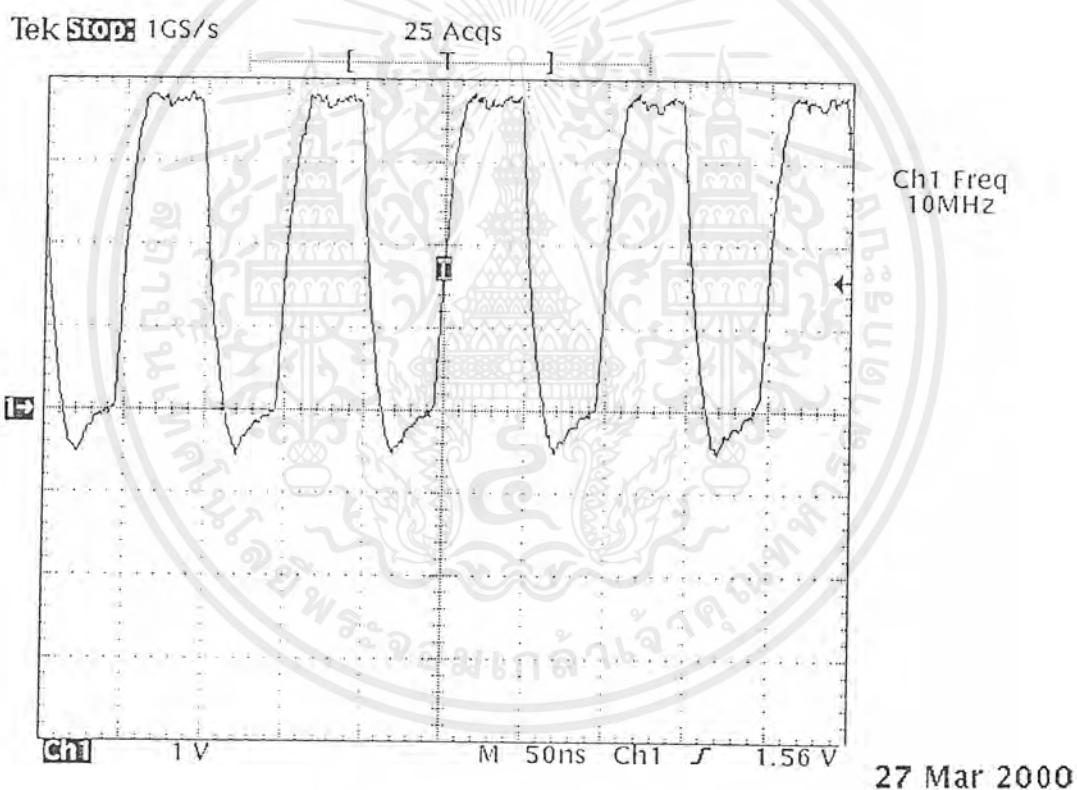


27 Mar 2000

เอกสารนี้เป็นเอกสารที่สงวนไว้สำหรับการรูปที่ 4.5 สัญญาณบิตที่ 8 นั้น ไม่อนุญาตให้นำไปใช้ประโยชน์ด้านการค้า
ไม่ว่ากรณีใดๆ ทั้งสิ้น อีกทั้งห้ามมิให้ดัดแปลงเนื้อหาและต้องอ้างอิงถึงเจ้าของเอกสารทุกครั้งที่มีการนำไปใช้

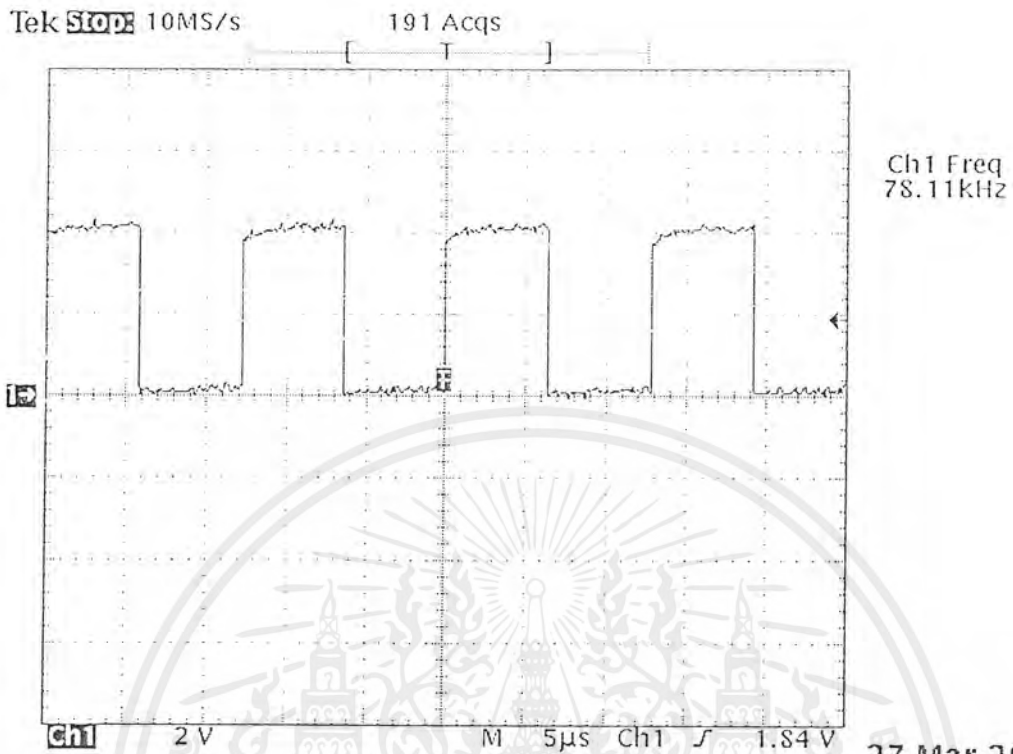
4.1.2 การทดลองวงจรผลิตสัญญาณนาฬิกา

1. ต่อวงจรลงบนแผงทดลอง
2. ป้อนแหล่งจ่ายไฟ +5 โวลท์
3. จับสัญญาณเอาต์พุตที่ขา U4 และ U5 จะได้ความถี่สัญญาณนาฬิกาตามที่ต้องการ 8 ความถี่
4. ทำการทริก D0, D1, D2 เป็น "0" และ ที่ขา I1 เป็น "1" ของ U6 พร้อมกัน
5. จะได้สัญญาณที่ขา 3 ของ U9 เป็น Clock เท่ากับ 10 MHz
6. ทำการทริก D0, D1, D2 เป็น "0" และ ที่ขา I1 เป็น "1" ของ U6 พร้อมกัน
7. จะได้สัญญาณที่ขา 3 ของ U9 เป็น CLOCK เท่ากับ 78.125 kHz



รูปที่ 4.6 สัญญาณจาก CLOCK ความถี่ 10 MHz

เอกสารนี้เป็นเอกสารที่สงวนไว้สำหรับการใช้งานเพื่อการศึกษาเท่านั้น ไม่อนุญาตให้นำไปใช้ประโยชน์ด้านการค้าไม่ว่ากรณีใดๆ ทั้งสิ้น อีกทั้งห้ามมิให้ตัดแปลงเนื้อหาและต้องอ้างอิงถึงเจ้าของเอกสารทุกครั้งที่มีการนำไปใช้



27 Mar 2000

รูปที่ 4.7 สัญญาณจาก CLOCK ความถี่ 78.12 KHz

จากการทดลองวัดสัญญาณทั้ง 8 ได้ค่าสัญญาณประมาณดังนี้

ค่าที่ต้องกำหนดที่ขาต่างๆของ U6(74HC374)				
D2	D1	D0	ขา11ทำ การทริก	เอาท์พุท
0	0	0	1	10 MHz
0	0	1	1	5.001 MHz
0	1	0	1	2.5 MHz
0	1	1	1	1.25 MHz
1	0	0	1	625.01 kHz
1	0	1	1	312.5 kHz
1	1	0	1	156.23 kHz
1	1	1	1	78.11 kHz

เอกสารนี้เป็นเอกสารที่สงวนไว้สำหรับใช้ในการงานเพื่อการศึกษาเท่านั้น ไม่อนุญาตให้นำไปใช้ประโยชน์ด้านการค้า
 ตารางที่ 4.1 แสดงความถี่ที่ได้จากวงจรผลคูณความถี่
 ไม่ว่าจะกรณีใดๆ ทั้งสิ้น อีกทั้งห้ามมิให้ตัดแปลงเนื้อหาและต้องอ้างอิงถึงเจ้าของเอกสารทุกครั้งที่มีการนำไปใช้

4.1.3 การทดลองวงจรมินิ

1. ต่อวงจรลงบนแผงทดลอง
2. ป้อนแหล่งจ่ายไฟ +5 โวลต์
3. ต่อ LED ที่ขา 6 และขา 8 ของ U17 เพื่อแสดงสถานะการWRITE และการ READ ของ MEMORY
4. ทำการป้อนสัญญาณ พัลส์ 1 ลูกที่ขา CLR_COUNTER
5. ป้อนสัญญาณ พัลส์ 1 ลูกที่ขา 3 (START_ADC) ของ U17
6. สังเกต LED ที่ขา 6 ของ U17 จะติด แสดงสถานะการเขียนข้อมูลลงบนหน่วยความจำ
7. ป้อนสัญญาณเป็น “1” ที่ขา 10(WAIT_ADC_READY)ของ U18 เพื่อรอการนับครบ FFFFH
8. จ่าย CLOCK ให้ที่ขา 2 ของ U18 จะได้การนับที่เอาท์พุทเริ่มจาก 0000H-FFFFH
9. สังเกตเมื่อนับครบแล้ว จะหยุดนับและ LED ที่ขา 8 ของ U18 จะติดขึ้นบอกว่าการนับถึงตำแหน่งที่ FFFFH แล้ว
10. ทำการป้อนสัญญาณ พัลส์ 1 ลูกที่ขา CLR_COUNTER เพื่อทำการเคลียร์ เกทต่างๆและ LED ทุกตัว จะดับเพื่อพร้อมเริ่มการอ่านข้อมูล
11. ป้อนสัญญาณพัลส์ 1 ลูกที่ขา 11 (START_RD_DATA)ของ U17 เพื่อทำการเริ่มอ่านข้อมูลหรือทำการนับแอดเดรส
12. สังเกต LED ที่ขา 8 ของ U17 จะติด แสดงสถานะการอ่านข้อมูลจากบนหน่วยความจำ
13. ทำการเริ่มนับ โดยการป้อนพัลส์ที่ขา 5(READ_DATA)ของ U18
14. แอดเดรสจะเริ่มทำการนับขึ้น แต่การทดลองจะทำการป้อนขบวนพัลส์แทนเพื่อความเร็วการสังเกตการนับของแอดเดรส
15. สังเกตเมื่อนับครบแล้ว จะหยุดนับและ LED ที่ขา 8 ของ U18 จะติดขึ้นบอกว่าการนับถึงตำแหน่งที่ FFFFH แล้ว

4.1.4 ทดลองวงจรถอดรหัส

1. ต่อวงจรลงบนแผงทดลอง
2. ทำการป้อนแรงดันไฟ +5 โวลต์
3. ป้อนค่าต่างๆดังตารางเพื่อทดลองการถอดรหัสของ U13 และ U14
4. โดยการป้อนแรงดันที่ขาต่างๆของ U14 ดังนี้และสังเกต LED ที่ขา 14 และขา 15 ได้ดังตาราง 4.2

ADDRESS											output(U14)	
IOR	AEN	10	9	8	7	6	5	4	3	8,U12	Y0	Y1
0	1	0	1	1	0	0	0	0	0	0	0	1
0	1	0	1	1	0	0	0	1	0	0	1	0

ตารางที่ 4.2 แสดงสัญญาณที่ขาเอาต์พุทของ U14

เอกสารนี้เป็นเอกสารที่สงวนไว้สำหรับการใช้งานเพื่อการศึกษาเท่านั้น ไม่อนุญาตให้นำไปใช้ประโยชน์ด้านการค้า ไม่ว่าจะกรณีใดๆ ทั้งสิ้น อีกทั้งห้ามมิให้ดัดแปลงเนื้อหาและต้องอ้างอิงถึงเจ้าของเอกสารทุกครั้งที่มีการนำไปใช้

5. ทำการป้อนแรงดันที่ขาต่างๆของ U13 ดังนี้และสังเกต LED ที่ขา 15, 14, 13, 12, 11 ได้ดังนี้
 ป้อน IOR = 0, AEN = 1, A10, A9 = 1, A8 = 1, A7 = 0, A6 = 0, A5 = 0, A4 = 0, A3 = 0

ADDRESS												(U13)	
IOR	AEN	10	9	8	7	6	5	4	3	2	1	0	'ON'
0	1	0	1	1	0	0	0	0	0	0	0	0	Y0
0	1	0	1	1	0	0	0	0	0	0	0	1	Y1
0	1	0	1	1	0	0	0	0	0	0	1	0	Y2
0	1	0	1	1	0	0	0	0	0	0	1	1	Y3
0	1	0	1	1	0	0	0	0	0	1	0	0	Y4

ตารางที่ 4.3 แสดงเอาต์พุตของ U13

4.2 การทดสอบวงจรโดยการทดสอบสั่งงานด้วยคอมพิวเตอร์

ใส่อุปกรณ์ทั้งหมดลงบนแผ่นวงจรเพื่อทดสอบดูว่าวงจรที่ทำขึ้นนั้นสามารถใช้ติดต่อกับคอมพิวเตอร์ได้หรือไม่ โดยจะใช้การเขียนโปรแกรมช่วยในการทดลอง โดยการเขียนโปรแกรมควบคุมการทำงานทั้งหมดของวงจรและจะใช้คอมพิวเตอร์ควบคุมการทำงานต่างๆ ของการ์ดที่ทำขึ้นมาโดยมีรายละเอียดดังนี้

4.2.1 การทดลองติดต่อกับคอมพิวเตอร์

การทำงานของโปรแกรมจะมีการเลือกอยู่ 2 โหมด(mode) คือดีบักโหมด (Debug mode) และโหมดปกติ (Normal mode) ถ้าเลือกดีบักโหมดจะเป็นการทำงานที่ละขั้นตอนแล้วจะกดคีย์เพื่อเลือกว่าจะทดสอบส่วนใดเพื่อจะได้วิเคราะห์ดูว่าที่ออกแบบมาสามารถติดต่อกับคอมพิวเตอร์ได้หรือเปล่า ส่วนโหมดปกติจะทำการทดสอบเพื่อดูการติดต่อกับคอมพิวเตอร์โดยทำงานเป็นขั้นตอนจนจบ

ผลการทดลองโปรแกรมโดยใช้ดีบักโหมด

เมื่อทำการต่อการ์ดเข้ากับสล็อตคอมพิวเตอร์ แล้วทดลองป้อนอินพุตเป็นสัญญาณชาน์เนลที่ประมาณ 50 กิโลเฮิร์ต ขนาดแอมพลิจูดประมาณ 3 โวลต์ แล้วทำการรันโปรแกรม (run program) โดยพิมพ์ spectrum/d จะมีการเขียนข้อมูลจากเอาต์พุตหน่วยความจำและอ่านข้อมูลจากหน่วยความจำไปหาคอมพิวเตอร์แล้วนำค่าที่ได้แสดงผลที่จอคอมพิวเตอร์ดังนี้

Spectrum Analyzer

[DebugMode]

1	- Clear Counter	F1	- Display data buffer
2	- Set Clock	F2	- Display FFT
3	- Start ADC	F9	- Read data from file
4	- Wait ADC to be ready	F10	- Create data
5	- Set Read data		
6	- Read ADC data		
?	- Help Menu	ESC	- Exit

โดยต้องเลือกกดคีย์ต่างๆ เพื่อตีบักวงจรทีละส่วนตามการกดหมายเลขคีย์ โดยจะใช้โຈิกโพลป (Logic Probe) จับสัญญาณต่างๆ ที่การัดตามการกดคีย์ต่างๆ โดยอาจกดคีย์ดังต่อไปนี้

- 1.) กดคีย์ “1” เพื่อเคลียร์ตำแหน่งการนับแอดเดรสและเคลียร์ฟลิป – ฟลอปของการ์ด
- 2.) กดคีย์ “2” เพื่อเลือกความถี่สัญญาณนาฬิกาให้กับวงจรนับและวงจรเอฮูติ
- 3.) กดคีย์ “3” เพื่อเลือกการเขียนข้อมูลจากเอฮูติเพื่อไปเก็บในหน่วยความจำ
- 4.) กดคีย์ “4” เพื่อเช็คความมีการเขียนข้อมูลจากเอฮูติไปเก็บในหน่วยความจำเต็ม 64 กิโลไบท์ หรือยังถ้าเต็มก็จะหลุมมาที่โปรแกรมหลัก
- 5.) กดคีย์ “1” เพื่อเคลียร์ตำแหน่งการนับแอดเดรสและเคลียร์ฟลิป – ฟลอปของการ์ด
- 6.) กดคีย์ “5” เพื่อเลือกการอ่านข้อมูลจากหน่วยความจำ
- 7.) กดคีย์ “6” เพื่ออ่านข้อมูลจากหน่วยความจำของการ์ดเพื่อไปเก็บไว้ในหน่วยความจำของเครื่องคอมพิวเตอร์ และเป็นสัญญาณนาฬิกาให้กับวงจรนับ
- 8.) กดคีย์ “F1” เพื่อแสดงผลข้อมูลที่แปลงได้จากเอฮูติ
- 9.) กดคีย์ “F2” เพื่อแสดงผลของการคำนวณที่ได้จากการทำฟาสต์ฟูเรียร์ทรานส์ฟอร์มทั้งค่าจริงและจินตภาพ
- 10.) กดคีย์ “F9” เพื่ออ่านข้อมูลจากไฟล์ Input.dat โดยการป้อนข้อมูลจากภายนอกเมื่อรู้ค่าการแซมปลิง(sampling)ที่จุดต่างๆ เป็นการทดสอบโดยไม่ต้องติดต่อกับการัด
- 11.) กดคีย์ “F10” เพื่อสร้างฐานข้อมูลก่อนจะนำไปเข้าคำนวณ
- 12.) กดคีย์ “?” กลับไปยังเมนูหลักใหม่
- 13.) กดคีย์ “ESC” เพื่อออกจากโปรแกรมตีบัก

เอกสารนี้เป็นเอกสารที่สงวนไว้สำหรับการศึกษาเท่านั้น ไม่อนุญาตให้นำไปใช้ประโยชน์ด้านการค้าไม่ว่ากรณีใดๆ ทั้งสิ้น อีกทั้งห้ามมิให้ดัดแปลงเนื้อหาและต้องอ้างอิงถึงเจ้าของเอกสารทุกครั้งที่มีการนำไปใช้

เมื่อคลิก “F1” แสดงผลของข้อมูลที่แปลงได้จากเฮกซ์ที่จอกอมพิวเตอร์จะมีค่าต่างๆ ณ ตำแหน่งแอดเรสต่างๆดังนี้ (จะนำมาแสดงประมาณ 1 หน้า) และจะนำข้อมูลเหล่านี้ไปคำนวณหาฟาสต์ฟูเรียร์ทรานส์ฟอร์มต่อไป

Address 0280: BB 7B BB FB BB FB BB 7A-BB 7B BB FA BB FB BB 5A
 Address 0290: BB 7B BB FB BB FB BB 7A-BB 7B BB 7A BB FB BB 5A
 Address 02A0: BB FB BB FB BB FB BB 7A-BB 7B BB 7A FB FB FC 5A
 Address 02B0: BB 7B BC FA BB 7B BB 5A-BB 7B BB 7A BB FB BB 5A
 Address 02C0: BB 79 BB FA BB 7B BB 7A-BB 7B BB FA BB FB BB 5A
 Address 02D0: BB 7B BB FB BB FB BB 5A-BB 79 BB 7A BB FB BB 5A
 Address 02E0: BB 7B BB FB BB 7B BB 7A-BB 79 BB 7A BB FB BB 5A
 Address 02F0: BB 79 BB FB BB 7B BB 7A-BB 79 BB 7A BB FB BC 5A
 Address 0300: BC FD BB FB BB 7B BB 7A-BC FD BB 7A BB FB BB 5A
 Address 0310: BB 79 BC FA BC FE BC FA-BC FD BB 7A FE FE BB 5A
 Address 0320: BB 79 BB FB BC FE BC FA-BC FD BD FA BC FE BC 5A
 Address 0330: BC FD BC FA BE FE BC FA-BC FD BB 79 BD FE BC 5A
 Address 0340: BC FD BB FB BC FE BB 7A-BE FE BC FA BE FE BC 59
 Address 0350: BC FD BC F9 BD FE BC F9-BC FD BC FA BE FE BC 59
 Address 0360: BC FD BC FE BC FE BC F9-BC FD BC FA BE FE BC 59
 Address 0370: BC FD BC F9 BD FE BC F9-BC FD BC F9 BD FE BC 59
 Address 0380: BC FD BC F9 BD FE BC F9-BC FD BC F9 BD FE BC 59
 Address 0390: BC FD BC F9 BD FD BC F9-BC FD BC F9 BD FE BC 59
 Address 03A0: BC FD BC F9 BD FE BC F9-BC FD BC F9 BD FE BC 59
 Address 03B0: BC FD BC F9 BD FD BC F9-BC FD BC F9 BD FE BC 59
 Address 03C0: BC FD BD F9 BD FD BD F9-BC FD BD F9 BD FE BC 59
 Address 03D0: BC FD BD F9 BD FD BD F9-BC FD BD FA BC FD BD 59
 Address 03E0: BC FD BD F9 BD FD BD F9-BC FD BD F9 BD FD BD 59
 Address 03F0: BD FD BD FD BD FD BD F9-BD FD BD F9 BD FD BD 59

เอกสารนี้เป็นเอกสารที่สงวนไว้สำหรับการใช้งานเพื่อการศึกษาเท่านั้น ไม่อนุญาตให้นำไปใช้ประโยชน์ด้านการค้าไม่ว่ากรณีใดๆ ทั้งสิ้น อีกทั้งห้ามมิให้ดัดแปลงเนื้อหาและต้องอ้างอิงถึงเจ้าของเอกสารทุกครั้งที่มีการนำไปใช้

4.2.2 การทดลองโปรแกรมโดยใช้โหมดปกติ

- 1.) เสียบการ์ดเข้าที่สล็อตคอมพิวเตอร์
- 2.) ต่อสัญญาณที่จะวัดเข้าที่คอนเน็คเตอร์ DB9
- 3.) พิมพ์ "Spectrum" แล้วกด "Enter"
- 4.) โข้วเมนูหลัก
 - 4.1 กด "Esc" เพื่อออกจากโปรแกรม
 - 4.2 กด "F2" เพื่อทำการขยายย่านวัดให้กว้างขึ้น
 - 4.3 กด "F3" เพื่อทำการลดย่านวัดให้แคบลง
 - 4.4 กด "F4" เป็นการอ่านข้อมูลจากไฟล์ Input.dat โดยการป้อนค่าเพื่อการทดสอบ
- 5.) ถ้าผลการทดลองไม่สามารถวัดได้ให้กด "Esc" เพื่อกลับสู่เมนูหลัก
- 6.) เพื่อให้ได้สเปคตรัมที่ละเอียดขึ้นให้ทำการเปลี่ยนขยายย่านการวัดโดยกด "F2"
- 7.) ถ้าต้องการลดย่านการวัดกด "F3" เพื่อคำนวณและแสดงผลที่จอคอมพิวเตอร์
- 8.) เลื่อนตำแหน่ง "Mouse" ไปตำแหน่งที่ต้องการวัดค่าความถี่
- 9.) จะแสดงค่าความถี่และค่าแอมพลิจูดที่จอคอมพิวเตอร์
- 10.) ถ้าจะทำการวัดสัญญาณใหม่ให้ออกไปที่เมนูหลัก โดยกด "Esc" เพื่อกลับเมนูหลัก
- 11.) ทำตามข้อ 6-9
- 12.) กด "Esc" เพื่อออกจากโปรแกรม

สรุปผลการทำงาน

เมื่อนำการ์ดมาต่อร่วมกับคอมพิวเตอร์สามารถแปลงข้อมูลจากสัญญาณอนาล็อกมาเป็นสัญญาณดิจิทัลโดยใช้การเขียนโปรแกรมและสามารถควบคุมการทำงานต่างๆ ตามการกดคีย์ ซึ่งจะมีผลการทดลองนำไปใช้งานจริง ทำให้สามารถวิเคราะห์สัญญาณต่างๆ ได้ เป็นอย่างดี

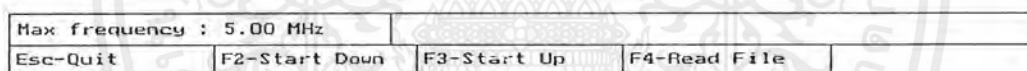
จากการทดลองวัดรูปคลื่นชานน์ เห็นได้ว่าจะปรากฏเป็นสเปคตรัมแนวตั้ง 1 แท่ง ที่ตรงกับตำแหน่งความถี่สัญญาณที่ทำการวัดนั้นๆ บนแกนราบเพียงแห่งเดียวเพราะเป็นคลื่นรูปชานน์บริสุทธิ์ เมื่อทำการวัดคลื่นรูปสี่เหลี่ยม ซึ่งคลื่นรูปสี่เหลี่ยมนั้นจะประกอบด้วยคลื่นรูปชานน์จำนวนมากหรือกล่าวอีกนัยหนึ่งว่า คลื่นรูปสี่เหลี่ยมประกอบด้วยคลื่นรูปชานน์ที่เป็นคลื่นความถี่พื้นฐาน (Fundamental) จำนวน 1 คลื่น และคลื่นรูปชานน์ที่มีความถี่เท่ากับฮาร์โมนิกที่ (odd) ซึ่งมีความถี่เป็น 1 เท่า, 3 เท่า, 5 เท่า... จนถึงจำนวนนับอนันต์ และเมื่อทำการวัดคลื่นรูปสามเหลี่ยม (Sawtooth wave) จะได้สเปคตรัมที่ประกอบไปด้วยฮาร์โมนิกลำดับคู่ (even) และลำดับคี่ (odd) ซึ่งเป็นการรวมของรูปคลื่นชานน์พื้นฐานตามนัยกับฮาร์โมนิกที่ 2, 3, 4 ...

เอกสารนี้เป็นเอกสารที่สงวนไว้สำหรับการใช้งานเพื่อการศึกษาเท่านั้น ไม่อนุญาตให้นำไปใช้ประโยชน์ด้านการค้าไม่ว่ากรณีใดๆ ทั้งสิ้น อีกทั้งห้ามมิให้ตัดแปลงเนื้อหาและต้องอ้างอิงถึงเจ้าของเอกสารทุกครั้งที่มีการนำไปใช้

4.2.3 การทดลองนำไปวัดสัญญาณ

ดังนี้

เมื่อรัน(Run)โปรแกรมด้วยโหมดปกติจะแสดงหน้าจอคอมพิวเตอร์ มีเมนูให้เลือกใช้งานต่างๆ



Max frequency : 5.00 MHz			
Esc-Quit	F2-Start Down	F3-Start Up	F4-Read File

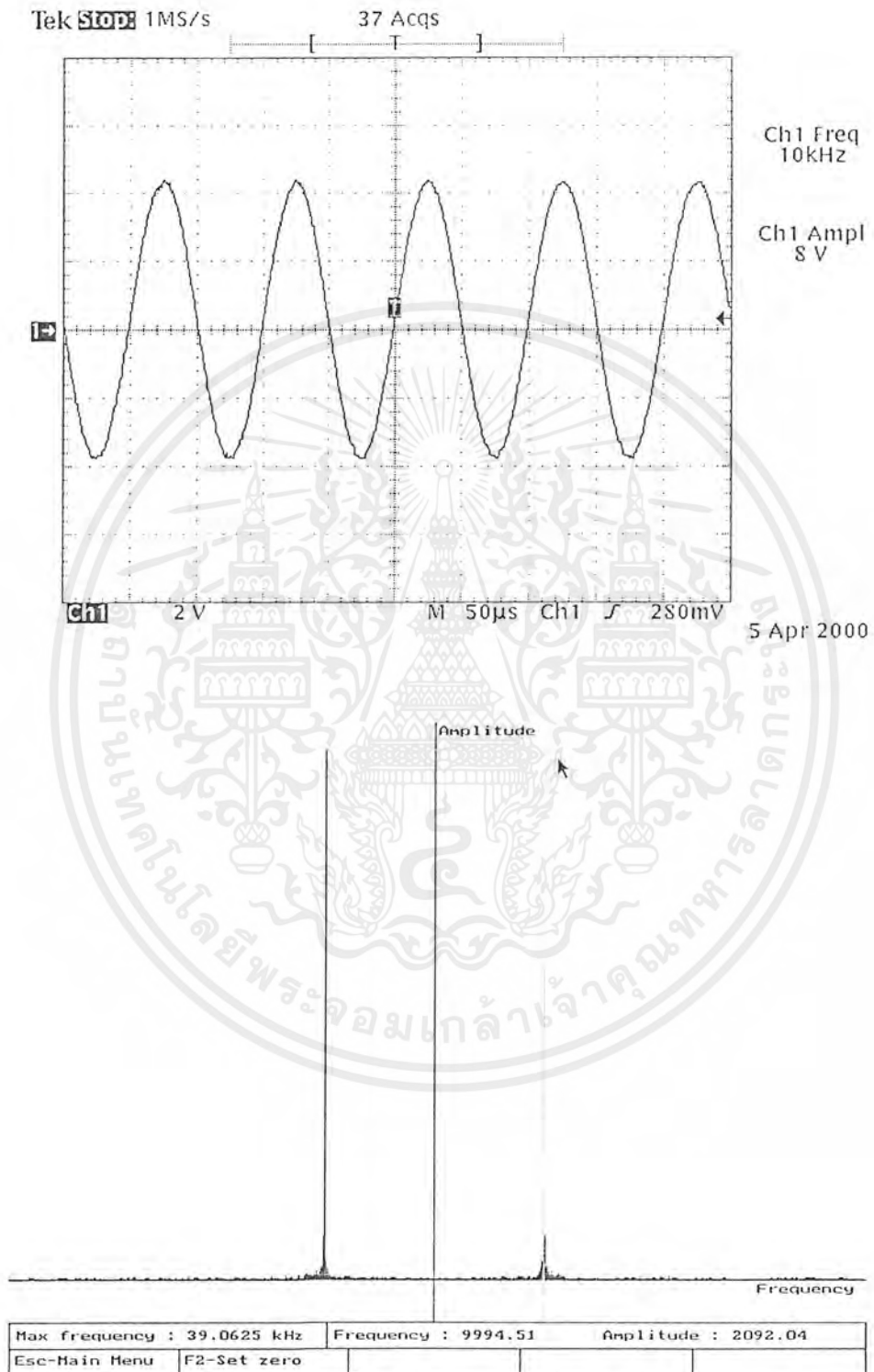
รูปที่ 4.8 แสดงเมนูหลักของโปรแกรม

โดยมีการแสดงค่าความถี่สูงสุดของสัญญาณที่จะทำการวัดและมีการกดคีย์ต่างๆดังนี้

- กด “F2” เพื่อเลือกการขยายขอบเขตการวัดที่กว้างขึ้น
- กด “F3” เพื่อเลือกการลดขอบเขตการวัดให้แคบลง
- กด “F4” เพื่อทำการคำนวณและแสดงผล โดยการอ่านจากไฟล์ Input.dat ซึ่งได้จากการป้อนค่าจากภายนอกเมื่อรู้ค่า ณ จุดต่างๆ ของสัญญาณ
- กด “Esc” เพื่อออกจากโปรแกรม

เอกสารนี้เป็นเอกสารที่สงวนไว้สำหรับการใช้งานเพื่อการศึกษาเท่านั้น ไม่อนุญาตให้นำไปใช้ประโยชน์ด้านการค้าไม่ว่ากรณีใดๆ ทั้งสิ้น อีกทั้งห้ามมิให้ดัดแปลงเนื้อหาและต้องอ้างอิงถึงเจ้าของเอกสารทุกครั้งที่มีการนำไปใช้

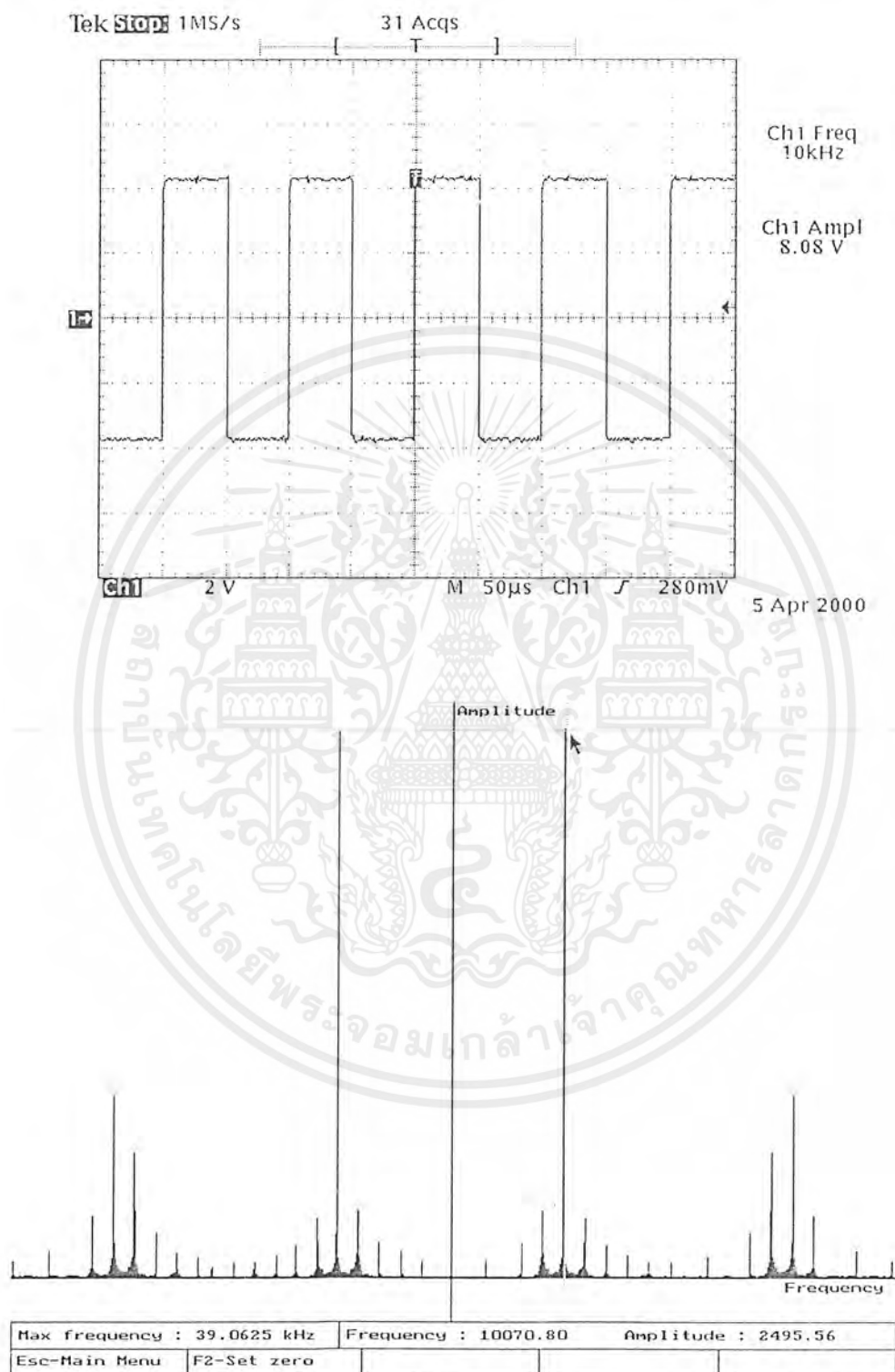
ผลการวัดสัญญาณไซน์ที่มีความถี่ 10 กิโลเฮิร์ต เทียบกับสัญญาณอินพุตที่ป้อน



รูปที่ 4.9 แสดงผลการวัดสัญญาณไซน์ 10 กิโลเฮิร์ต เทียบกับอินพุต

เอกสารนี้เป็นเอกสารที่สงวนไว้สำหรับการใช้งานเพื่อการศึกษาเท่านั้น ไม่อนุญาตให้นำไปใช้ประโยชน์ด้านการค้า ไม่ว่าจะกรณีใดๆ ทั้งสิ้น อีกทั้งห้ามมิให้ดัดแปลงเนื้อหาและต้องอ้างอิงถึงเจ้าของเอกสารทุกครั้งที่มีการนำไปใช้

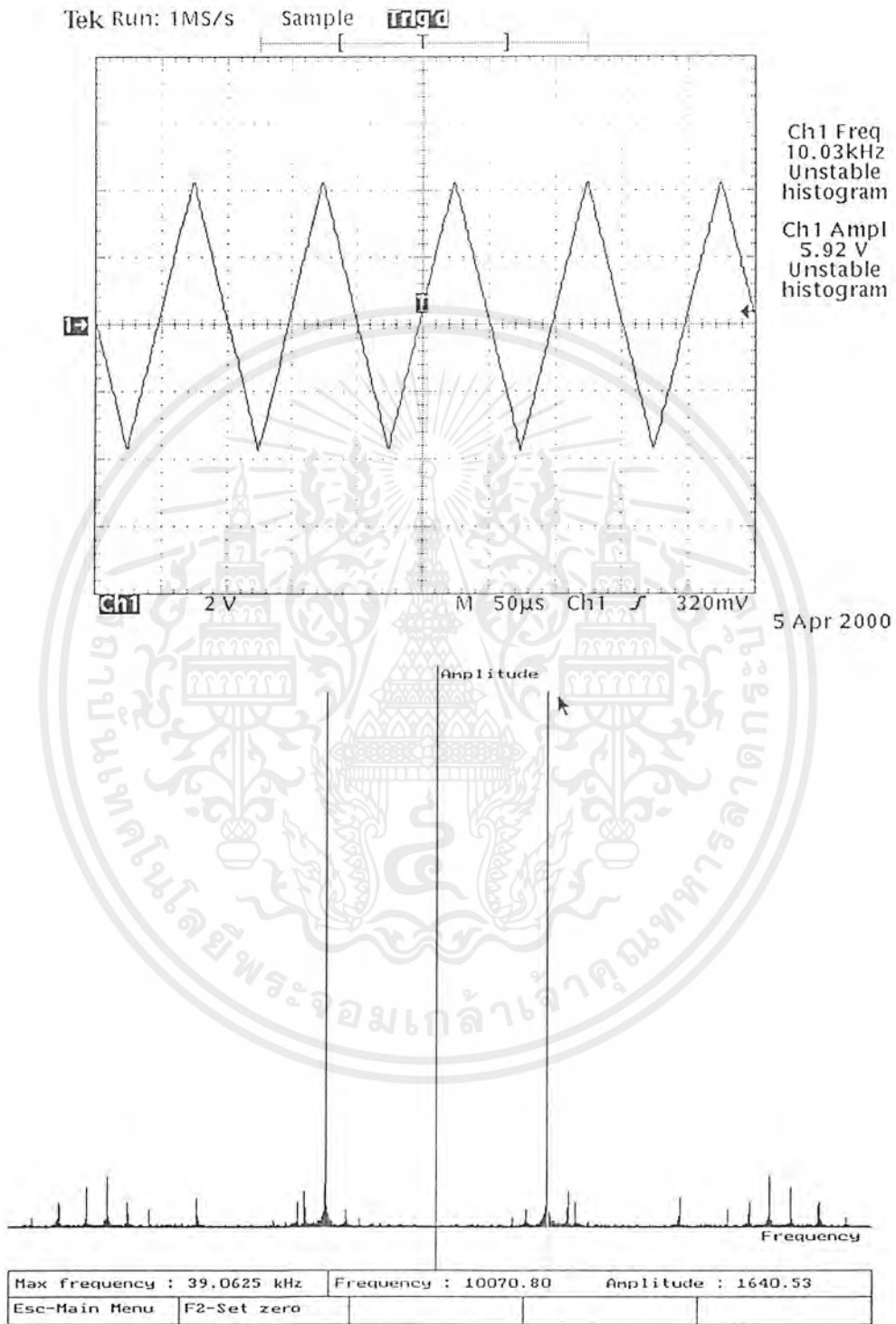
ผลการวัดสัญญาณสี่เหลี่ยมที่ความถี่ 10 กิโลเฮิร์ต เทียบกับสัญญาณอินพุตที่ป้อน



รูปที่ 4.10 แสดงผลการวัดสัญญาณสี่เหลี่ยม 10 กิโลเฮิร์ต เทียบกับอินพุต

เอกสารนี้เป็นเอกสารที่สงวนไว้สำหรับการใช้งานเพื่อการศึกษาเท่านั้น ไม่อนุญาตให้นำไปใช้ประโยชน์ด้านการค้า ไม่ว่าจะกรณีใดๆ ทั้งสิ้น อีกทั้งห้ามมิให้ตัดแปลงเนื้อหาและต้องอ้างอิงถึงเจ้าของเอกสารทุกครั้งที่มีการนำไปใช้

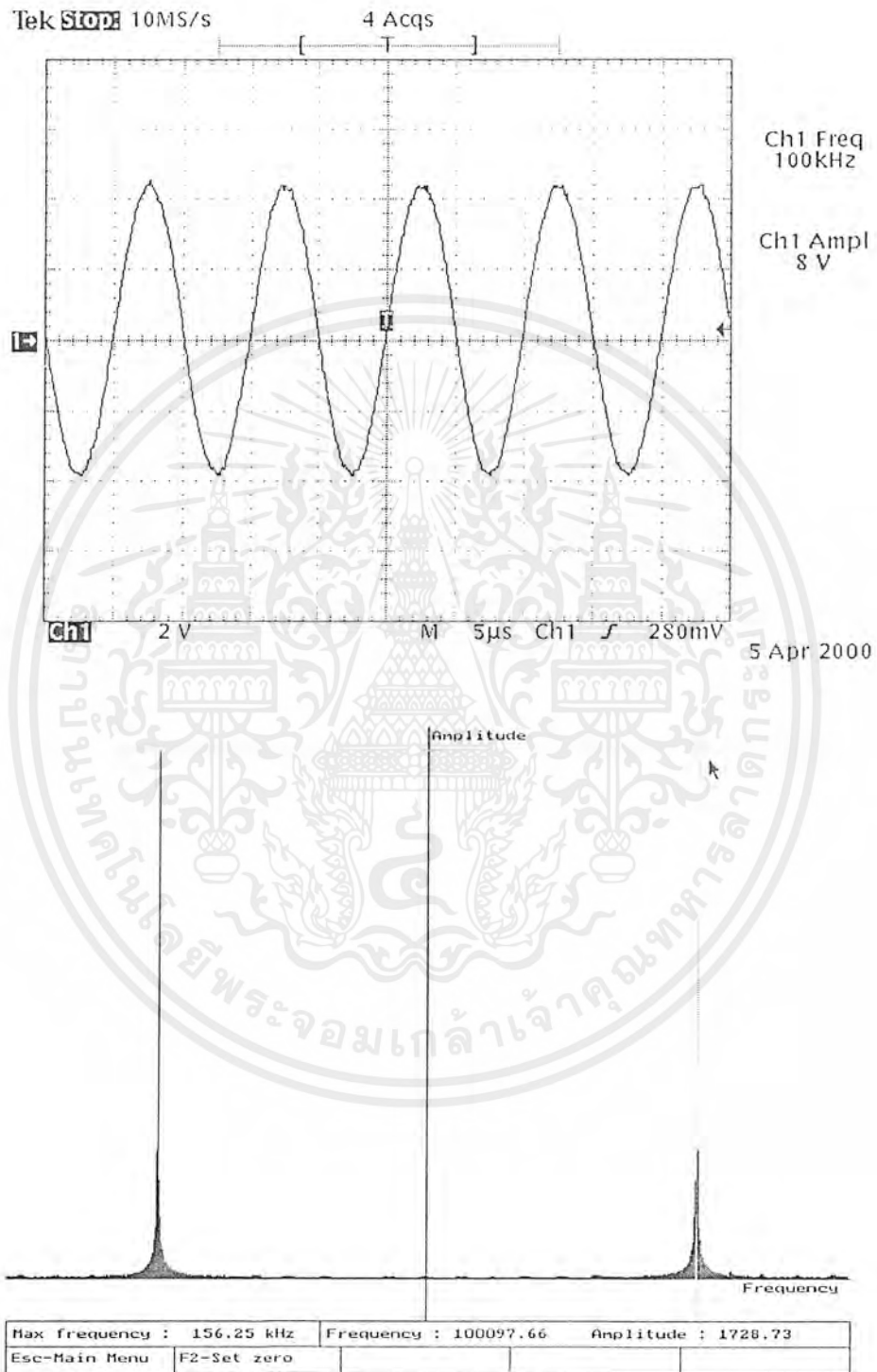
ผลการวัดสัญญาณสามเหลี่ยมที่ความถี่ 10 กิโลเฮิร์ต เทียบกับสัญญาณอินพุตที่ป้อน



รูปที่ 4.11 แสดงผลการวัดสัญญาณสามเหลี่ยม 10 กิโลเฮิร์ต เทียบกับอินพุต

เอกสารนี้เป็นเอกสารที่สงวนไว้สำหรับการใช้งานเพื่อการศึกษาเท่านั้น ไม่อนุญาตให้นำไปใช้ประโยชน์ด้านการค้า ไม่ว่าจะกรณีใดๆ ทั้งสิ้น อีกทั้งห้ามมิให้ดัดแปลงเนื้อหาและต้องอ้างอิงถึงเจ้าของเอกสารทุกครั้งที่มีการนำไปใช้

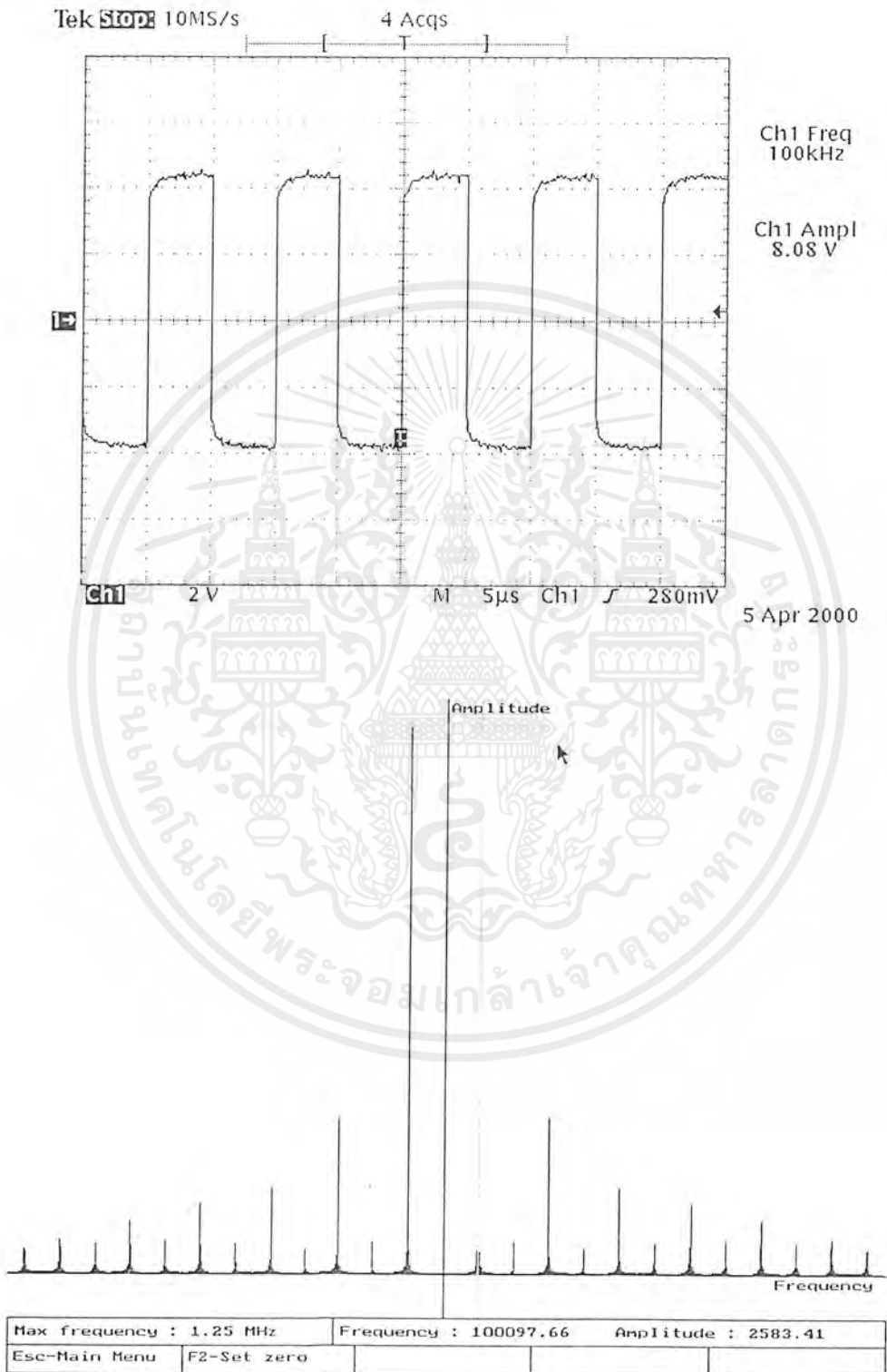
ผลการวัดสัญญาณขาอินพุตที่ความถี่ 100 กิโลเฮิร์ต เทียบกับสัญญาณอินพุตที่ป้อน



รูปที่ 4.12 แสดงผลการวัดสัญญาณขาอินพุตที่ความถี่ 100 กิโลเฮิร์ต เทียบกับอินพุต

เอกสารนี้เป็นเอกสารที่สงวนไว้สำหรับการใช้งานเพื่อการศึกษาเท่านั้น ไม่อนุญาตให้นำไปใช้ประโยชน์ด้านการค้า ไม่ว่าจะกรณีใดๆ ทั้งสิ้น อีกทั้งห้ามมิให้ดัดแปลงเนื้อหาและต้องอ้างอิงถึงเจ้าของเอกสารทุกครั้งที่มีการนำไปใช้

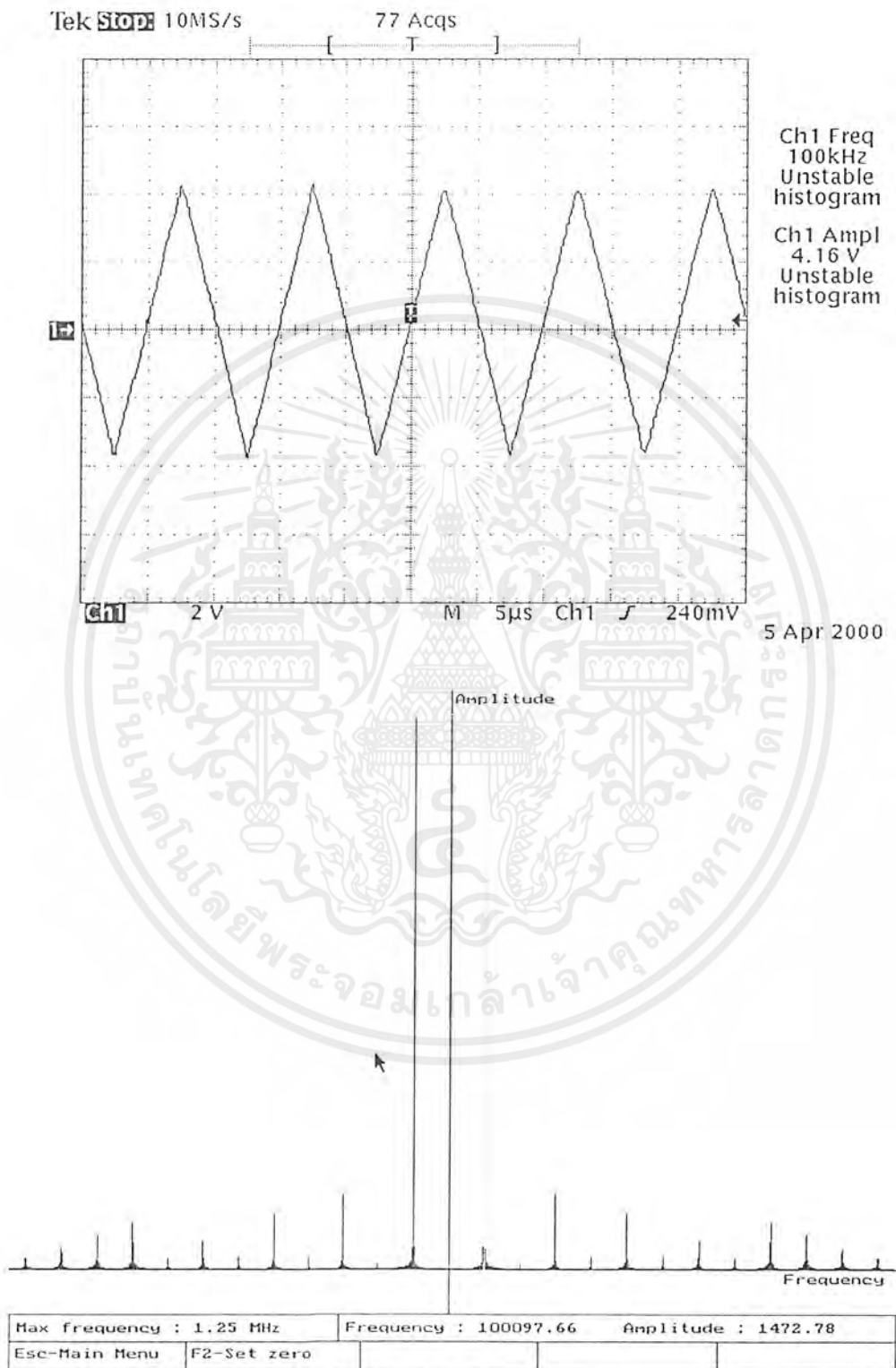
ผลการวัดสัญญาณสี่เหลี่ยมที่ความถี่ 100 กิโลเฮิร์ต เทียบกับสัญญาณอินพุตที่ป้อน



รูปที่ 4.13 แสดงผลการวัดสัญญาณสี่เหลี่ยม 100 กิโลเฮิร์ต เทียบกับอินพุต

เอกสารนี้เป็นเอกสารที่สงวนไว้สำหรับการใช้งานเพื่อการศึกษาเท่านั้น ไม่อนุญาตให้นำไปใช้ประโยชน์ด้านการค้า ไม่ว่ากรณีใดๆ ทั้งสิ้น อีกทั้งห้ามมิให้ตัดแปลงเนื้อหาและต้องอ้างอิงถึงเจ้าของเอกสารทุกครั้งที่มีการนำไปใช้

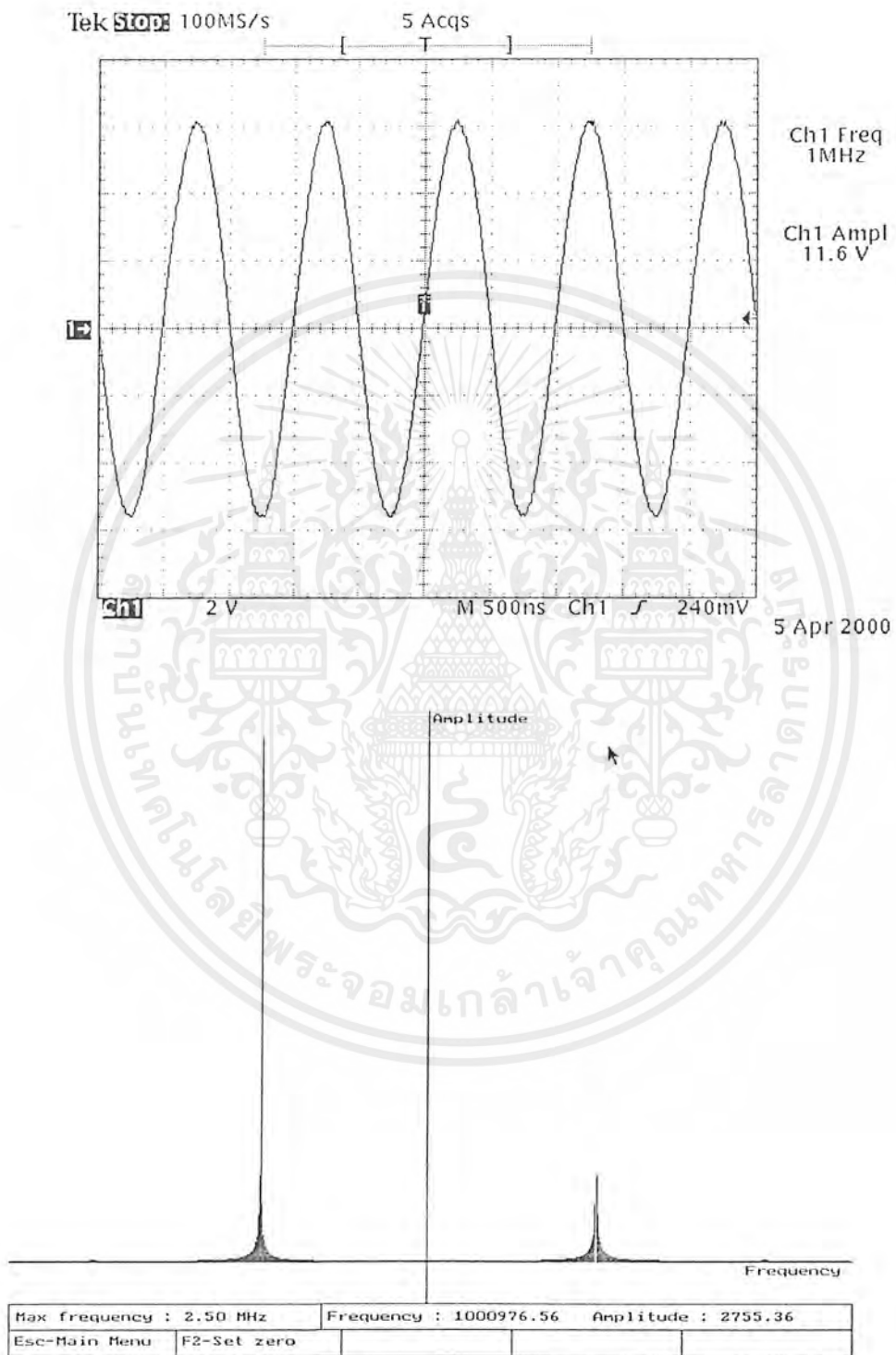
ผลการวัดสัญญาณสามเหลี่ยมที่ความถี่ 100 กิโลเฮิร์ต เทียบกับสัญญาณอินพุตที่ป้อน



รูปที่ 4.14 แสดงผลการวัดสัญญาณสามเหลี่ยม 100 กิโลเฮิร์ต เทียบกับอินพุต

เอกสารนี้เป็นเอกสารที่สงวนไว้สำหรับการใช้งานเพื่อการศึกษาเท่านั้น ไม่อนุญาตให้นำไปใช้ประโยชน์ด้านการค้า ไม่ว่ากรณีใดๆ ทั้งสิ้น อีกทั้งห้ามมิให้ตัดแปลงเนื้อหาและต้องอ้างอิงถึงเจ้าของเอกสารทุกครั้งที่มีการนำไปใช้

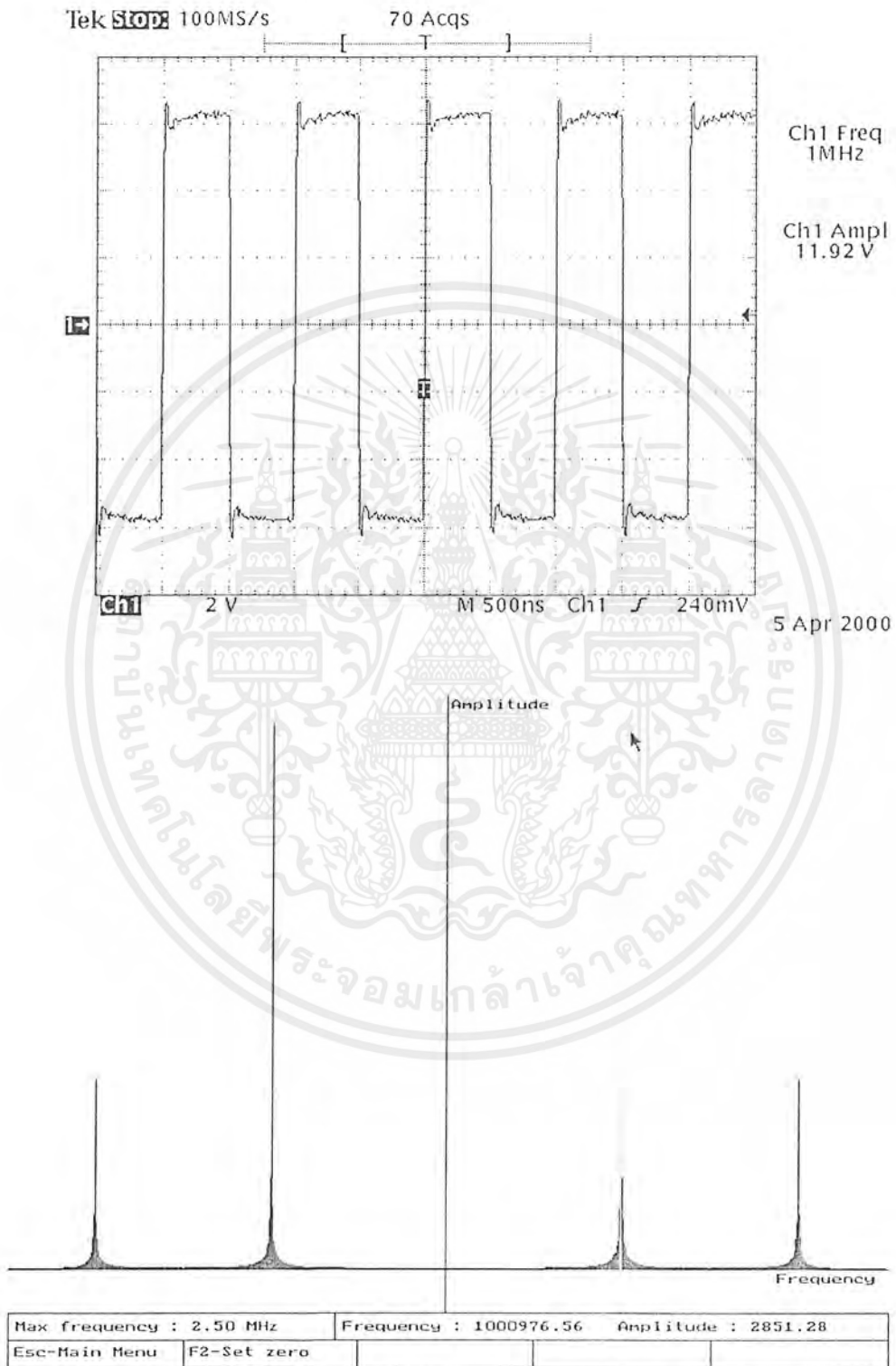
ผลการวัดสัญญาณชานน์ที่ความถี่ 1 เม็กกะเฮิร์ต เทียบกับสัญญาณอินพุทที่ป้อน



รูปที่ 4.15 แสดงผลการวัดสัญญาณชานน์ 1 เม็กกะเฮิร์ต เทียบกับอินพุท

เอกสารนี้เป็นเอกสารที่สงวนไว้สำหรับการใช้งานเพื่อการศึกษาเท่านั้น ไม่อนุญาตให้นำไปใช้ประโยชน์ด้านการค้า ไม่ว่ากรณีใดๆ ทั้งสิ้น อีกทั้งห้ามมิให้ตัดแปลงเนื้อหาและต้องอ้างอิงถึงเจ้าของเอกสารทุกครั้งที่มีการนำไปใช้

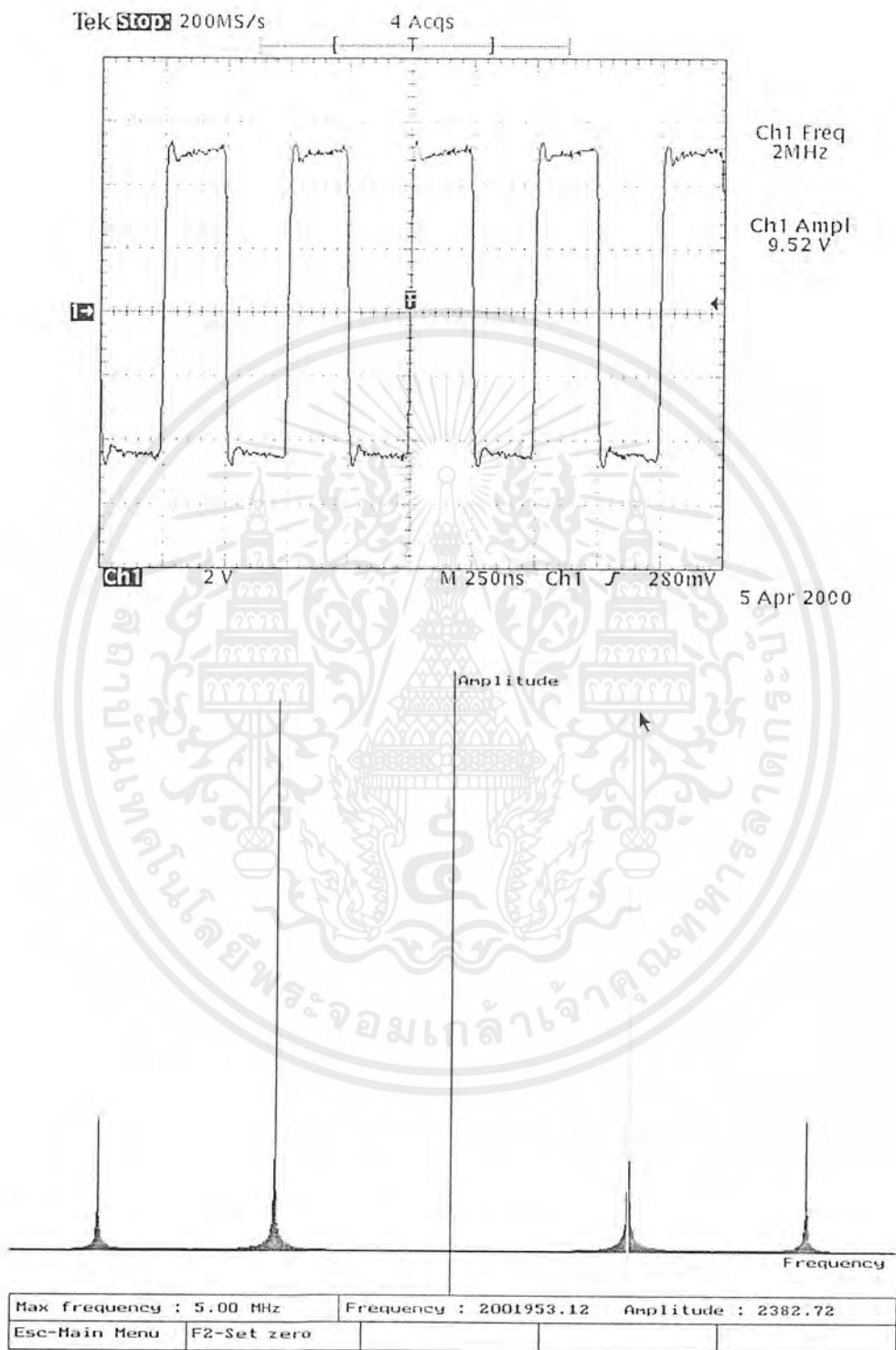
ผลการวัดสัญญาณสี่เหลี่ยมที่ความถี่ 1 เมกกะเฮิร์ต เทียบกับสัญญาณอินพุทที่ป้อน



รูปที่ 4.16 แสดงผลการวัดสัญญาณสี่เหลี่ยมที่ความถี่ 1 เมกกะเฮิร์ต เทียบกับอินพุท

เอกสารนี้เป็นเอกสารที่สงวนไว้สำหรับการใช้งานเพื่อการศึกษาเท่านั้น ไม่อนุญาตให้นำไปใช้ประโยชน์ด้านการค้า ไม่ว่าจะกรณีใดๆ ทั้งสิ้น อีกทั้งห้ามมิให้ตัดแปลงเนื้อหาและต้องอ้างอิงถึงเจ้าของเอกสารทุกครั้งที่มีการนำไปใช้

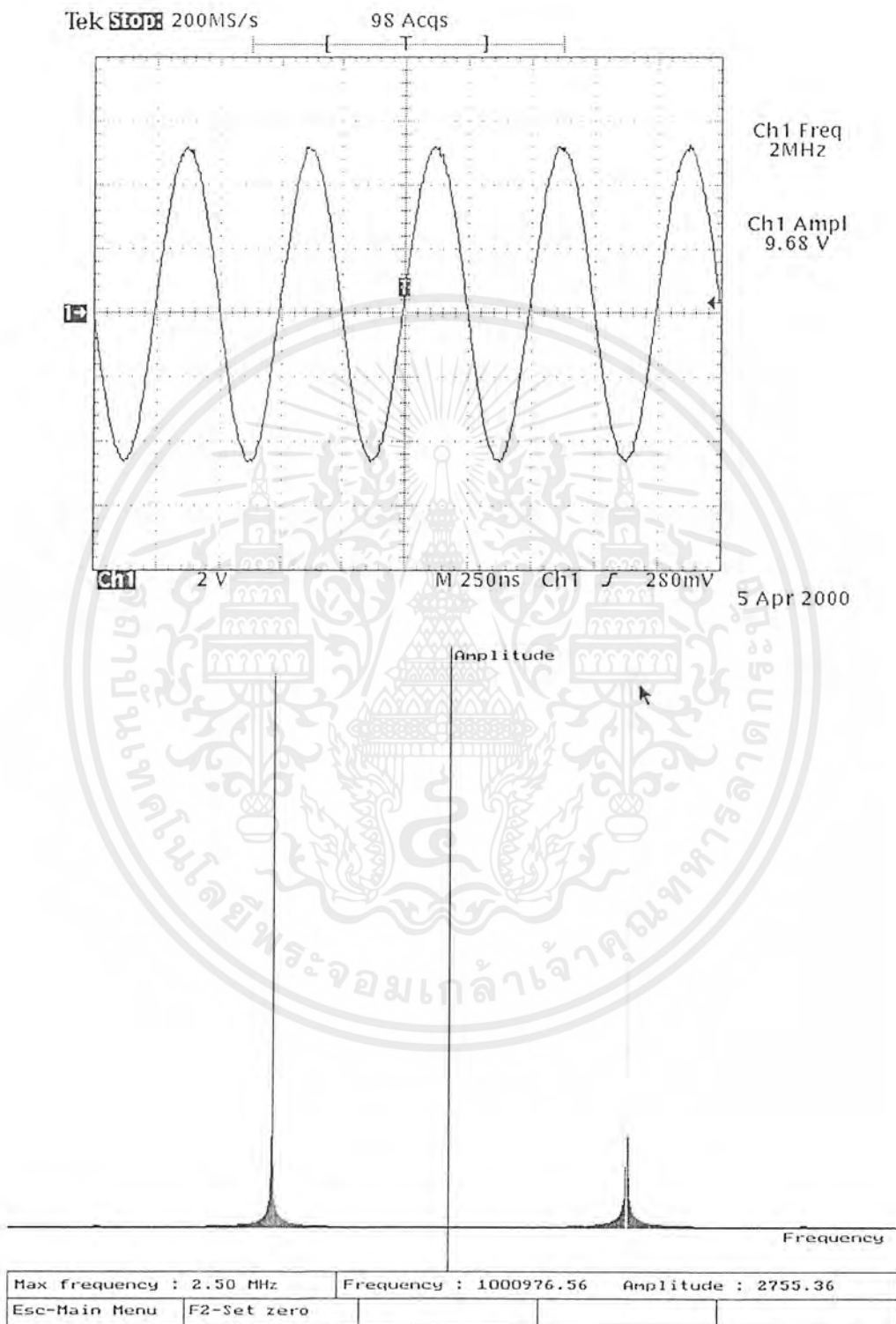
ผลการวัดสัญญาณสี่เหลี่ยมที่ความถี่ 2 เมกกะเฮิร์ต เทียบกับสัญญาณอินพุตที่ป้อน



รูปที่ 4.17 แสดงผลการวัดสัญญาณสี่เหลี่ยมที่ความถี่ 2 เมกกะเฮิร์ต เทียบกับอินพุต

เอกสารนี้เป็นเอกสารที่สงวนไว้สำหรับการใช้งานเพื่อการศึกษาเท่านั้น ไม่อนุญาตให้นำไปใช้ประโยชน์ด้านการค้า ไม่ว่ากรณีใดๆ ทั้งสิ้น อีกทั้งห้ามมิให้ตัดแปลงเนื้อหาและต้องอ้างอิงถึงเจ้าของเอกสารทุกครั้งที่มีการนำไปใช้

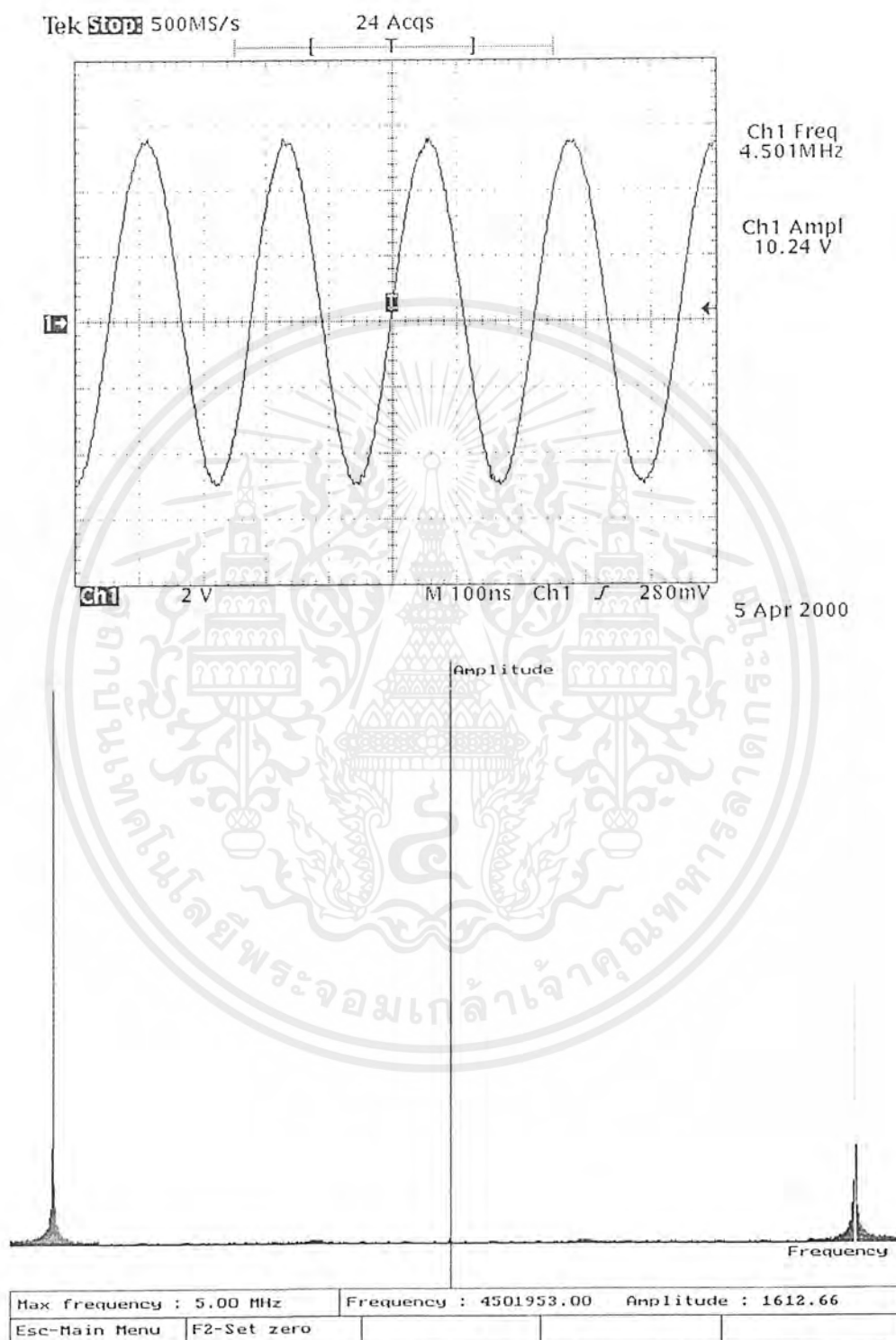
ผลการวัดสัญญาณชานน์ที่ความถี่ 2 เม็กกะเฮิรต์ เทียบกับสัญญาณอินพุทที่ป้อน



รูปที่ 4.18 แสดงผลการวัดสัญญาณชานน์ 2 เม็กกะเฮิรต์ เทียบกับอินพุท

เอกสารนี้เป็นเอกสารที่สงวนไว้สำหรับการใช้งานเพื่อการศึกษาเท่านั้น ไม่อนุญาตให้นำไปใช้ประโยชน์ด้านการค้า ไม่ว่ากรณีใดๆ ทั้งสิ้น อีกทั้งห้ามมิให้ดัดแปลงเนื้อหาและต้องอ้างอิงถึงเจ้าของเอกสารทุกครั้งที่มีการนำไปใช้

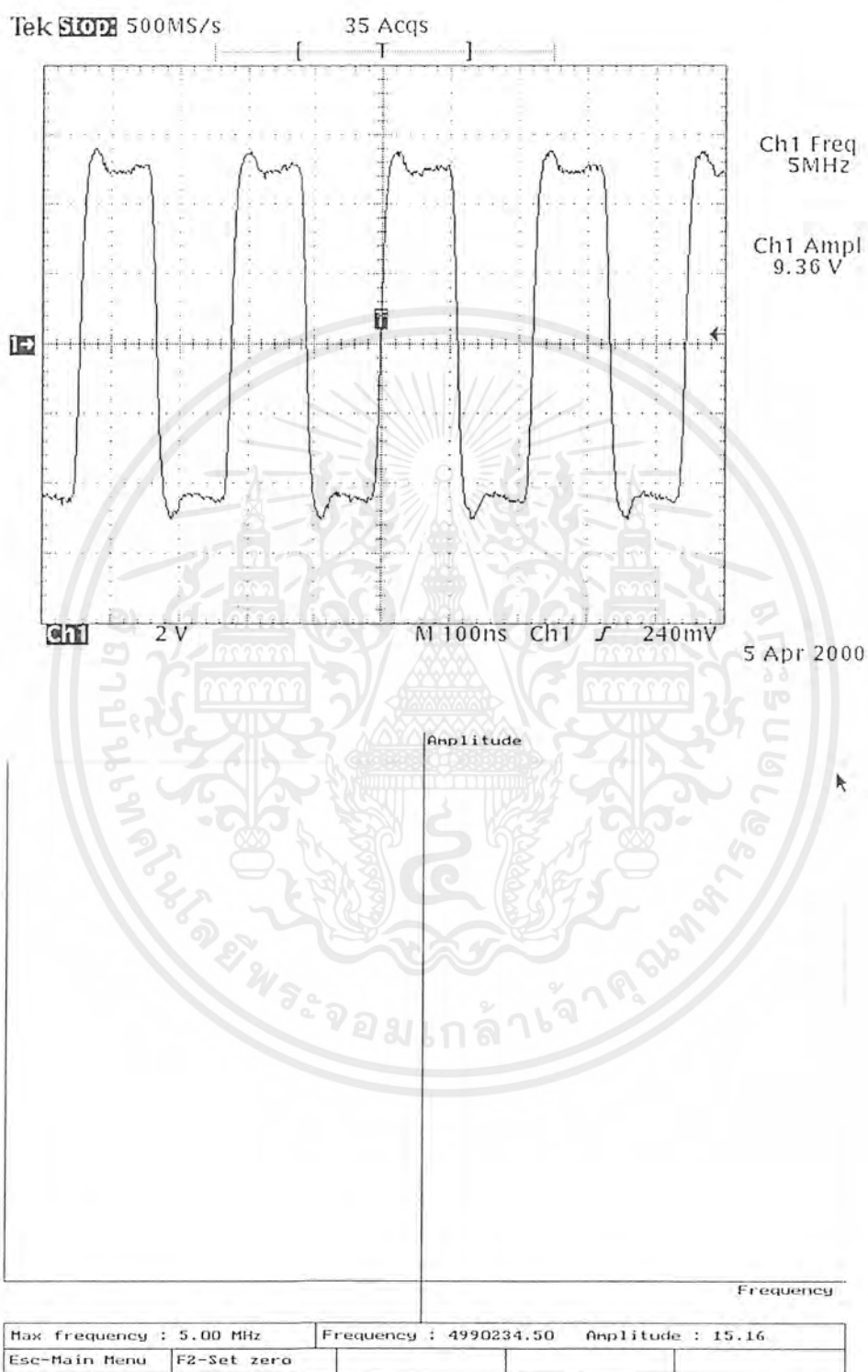
ผลการวัดสัญญาณขาอินพุตที่ความถี่ 4.5 เมกกะเฮิร์ต เทียบกับสัญญาณอินพุตที่ป้อน



รูปที่ 4.19 แสดงผลการวัดสัญญาณขาอินพุตที่ความถี่ 4.5 เมกกะเฮิร์ต เทียบกับอินพุต

เอกสารนี้เป็นเอกสารที่สงวนไว้สำหรับการใช้งานเพื่อการศึกษาเท่านั้น ไม่อนุญาตให้นำไปใช้ประโยชน์ด้านการค้า ไม่ว่าจะกรณีใดๆ ทั้งสิ้น อีกทั้งห้ามมิให้ตัดแปลงเนื้อหาและต้องอ้างอิงถึงเจ้าของเอกสารทุกครั้งที่มีการนำไปใช้

ผลการวัดสัญญาณสี่เหลี่ยมที่ความถี่ 5 เมกกะเฮิร์ต เทียบกับสัญญาณอินพุตที่ป้อน



รูปที่ 4.20 แสดงผลการวัดสัญญาณสี่เหลี่ยม 5 เมกกะเฮิร์ต เทียบกับอินพุต

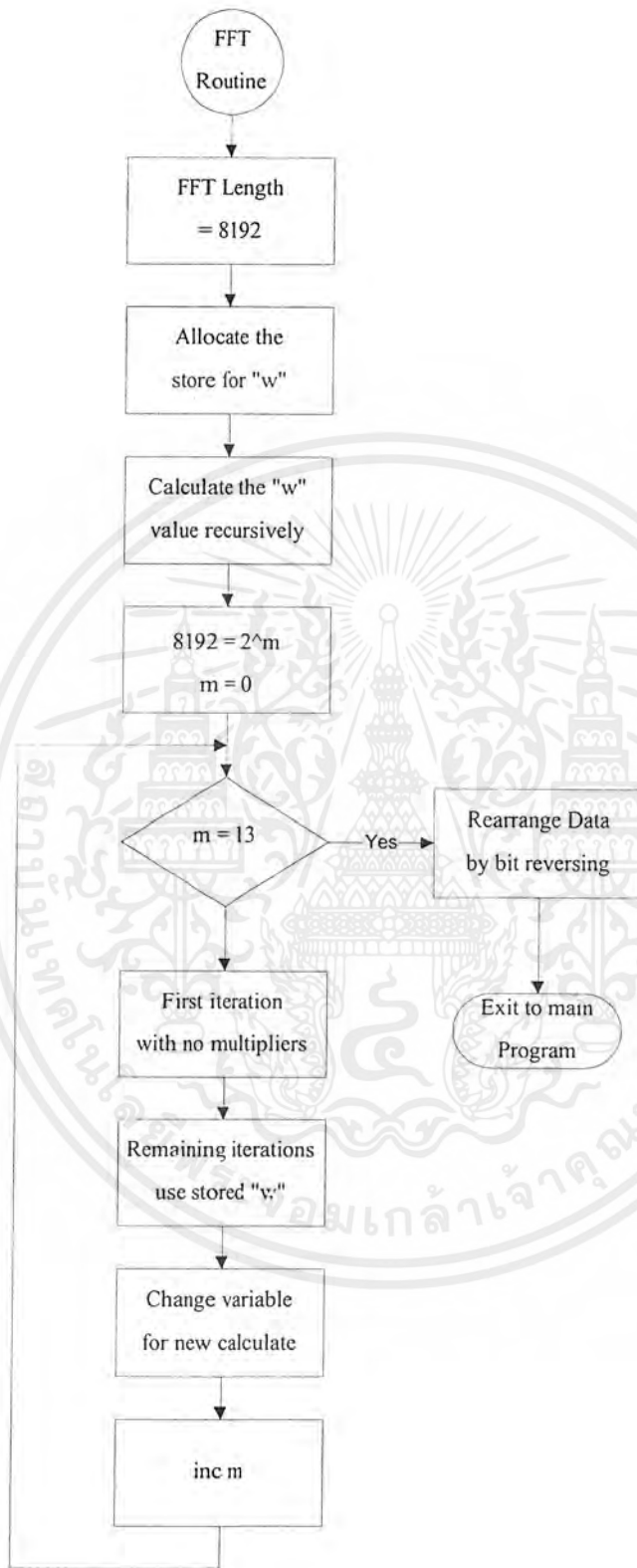
เอกสารนี้เป็นเอกสารที่สงวนไว้สำหรับการใช้งานเพื่อการศึกษาเท่านั้น ไม่อนุญาตให้นำไปใช้ประโยชน์ด้านการค้า ไม่ว่าจะกรณีใดๆ ทั้งสิ้น อีกทั้งห้ามมิให้ตัดแปลงเนื้อหาและต้องอ้างอิงถึงเจ้าของเอกสารทุกครั้งที่มีการนำไปใช้

4.3 แผนภาพ (Flowchart) การทำงานของโปรแกรม



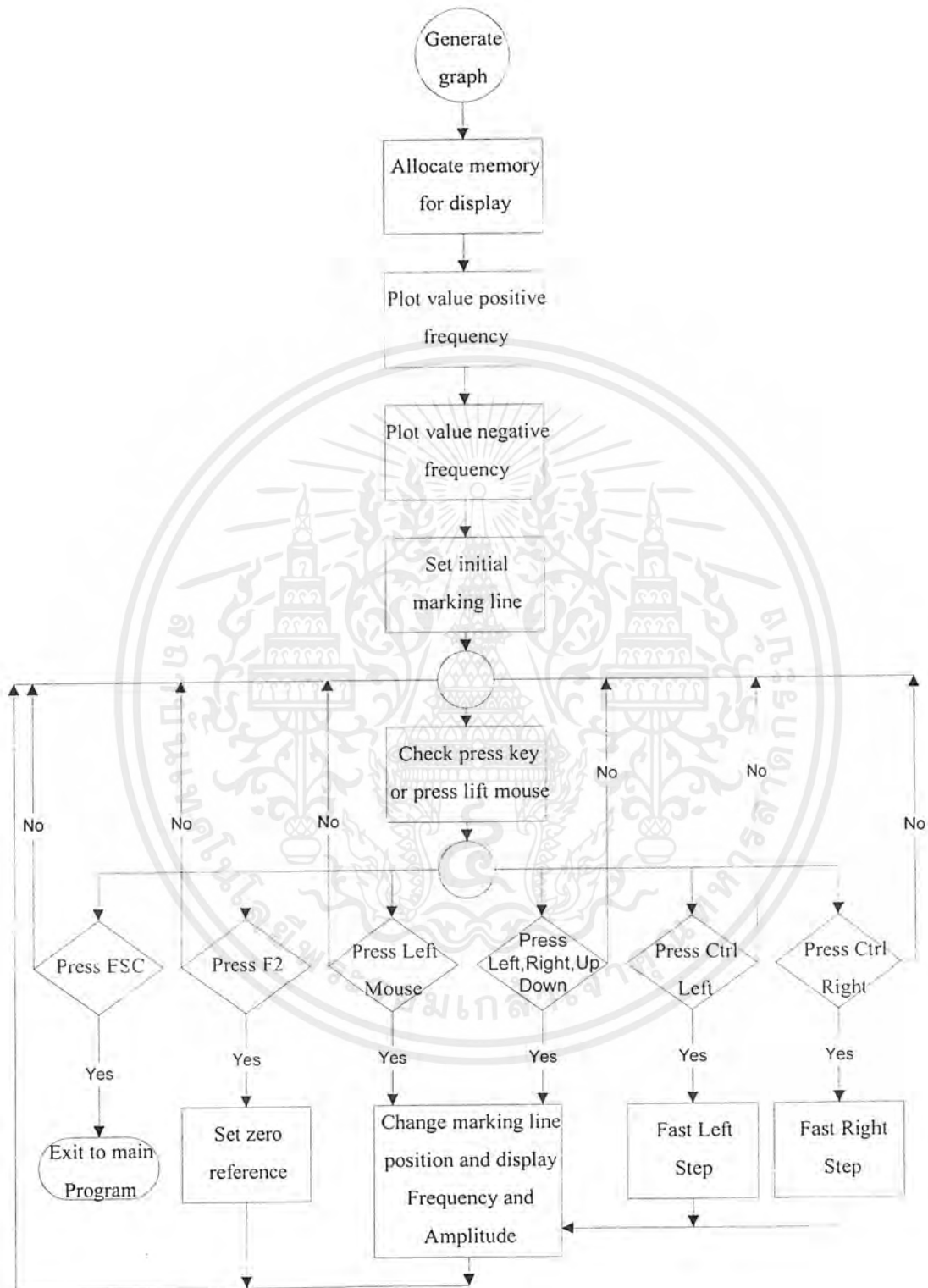
รูปที่ 4.21 แสดงแผนภาพการทำงานของโปรแกรมสเปกตรัมอะนาไลเซอร์

เอกสารนี้เป็นเอกสารที่สงวนไว้สำหรับการใช้งานเพื่อการศึกษาเท่านั้น ไม่อนุญาตให้นำไปใช้ประโยชน์ด้านการค้า ไม่ว่าจะกรณีใดๆ ทั้งสิ้น อีกทั้งห้ามมิให้ตัดแปลงเนื้อหาและต้องอ้างอิงถึงเจ้าของเอกสารทุกครั้งที่มีการนำไปใช้



รูปที่ 4.22 แผนภาพแสดงการทำงานของส่วนโปรแกรมโมดูล (module) ฟาสต์ฟูเรียร์ทรานส์ฟอร์ม

เอกสารนี้เป็นเอกสารที่สงวนไว้สำหรับการใช้งานเพื่อการศึกษาเท่านั้น ไม่อนุญาตให้นำไปใช้ประโยชน์ด้านการค้า ไม่ว่ากรณีใดๆ ทั้งสิ้น อีกทั้งห้ามมิให้ตัดแปลงเนื้อหาและต้องอ้างอิงถึงเจ้าของเอกสารทุกครั้งที่มีการนำไปใช้



รูปที่ 4.23 แผนภาพสร้างกราฟแสดงผล

เอกสารนี้เป็นเอกสารที่สงวนไว้สำหรับการใช้งานเพื่อการศึกษาเท่านั้น ไม่อนุญาตให้นำไปใช้ประโยชน์ด้านการค้าไม่ว่ากรณีใดๆ ทั้งสิ้น อีกทั้งห้ามมิให้ดัดแปลงเนื้อหาและต้องอ้างอิงถึงเจ้าของเอกสารทุกครั้งที่มีการนำไปใช้

บทที่ 5

บทวิจารณ์และสรุปผลการทดลอง

จากการทดลองเกิดปัญหาจากการทดลองหลายอย่างด้วยกัน อันเนื่องมาจาก เช่น การวัดสัญญาณที่ ยากลำบากเนื่องจากการใช้พอร์ทในการอินเตอร์เฟสแบบสล็อต ISA ซึ่งวางบนเมนบอร์ดซึ่งมีสัญญาณไฟรั่ว ไหลมากมายดังนั้น การทดลองจึงใช้สล็อต ISA ที่เป็นนอกประสงค์ต่อออกมาภายนอก และจากการออกแบบ แผ่นวงจรมีการผิดพลาดหลายอย่าง เนื่องจากกราวด์ที่ต้องแยกให้ถูกต้องคือ กราวด์อนาล็อก และกราวด์ ดิจิตอล ถ้าแยกไม่ถูกต้องจะเกิดการกวนกันของสัญญาณทั้งสองทำให้สัญญาณเกิดการผิดเพี้ยนได้

อุปกรณ์ที่ใช้เป็นอนาล็อกบัฟเฟอร์คือออปแอมป์ที่ใช้ต้องมีอัตราสูงๆ และอัตราการเปลี่ยนของแรงดันทางเอาต์พุตต้องมากคือ 12 โวลท์ ซึ่งในตลาดหายาก ดังนั้นจากการใช้งานจึงใช้วงจร RELAY มาทำการ เลือกระบบสัญญาณทางอินพุตเพื่อให้ค่าที่คำนวณได้ถูกต้อง ด้านการเขียนโปรแกรมประสบปัญหาคือขาดประสพ การณ์ในการเขียนโปรแกรมภาษา ซี แต่ภาษา ซี มีข้อเด่นหลายอย่างทำให้สามารถนำมาประยุกต์ใช้งานได้ เช่น มีฟังก์ชันไว้สำหรับการใช้งานเฉพาะซึ่งผู้ใช้สามารถเรียกใช้งานได้ง่าย หากจะพัฒนาก็คือการพัฒนาให้การใช้งาน ได้สะดวกขึ้น จะเห็นว่าส่วนของ โมดูลการคำนวณฟาสต์ฟูเรียร์ทรานส์ฟอร์มจะคงรูปเดิม สามารถนำมาใช้ ได้เลย โดยการรับอินพุตเข้าไปและทำการพล็อต(Plot)ค่าต่างๆออกมา ซึ่งผลจากการทดลองวัดสัญญาณต่างๆ ก็จะได้สเปคตรัมของสัญญาณนั้นๆ ทำให้ทราบว่าสัญญาณนั้นประกอบขึ้นจากสัญญาณความถี่ต่างๆกันและมี ขนาดที่ต่างกัน

แนวทางการพัฒนาต่อคือ เพิ่มย่านวัดให้สูงขึ้น เขียนโปรแกรมให้ใช้งานได้สะดวกขึ้น และอ่านค่าความถี่ ละเอียดขึ้น แสดงขนาดเป็นหน่วยเดซิเบล(dB) ให้โปรแกรมทำงานและอ่านค่าเป็นอัตโนมัติ มีการเก็บภาพที่ ได้จากการวัด ทำงานเป็นเวลาปัจจุบัน(Real Time)



เอกสารนี้เป็นเอกสารที่สงวนไว้สำหรับการใช้งานเพื่อการศึกษาเท่านั้น ไม่อนุญาตให้นำไปใช้ประโยชน์ด้านการค้า
ไม่ว่ากรณีใดๆ ทั้งสิ้น อีกทั้งห้ามมิให้ตัดแปลงเนื้อหาและต้องอ้างอิงถึงเจ้าของเอกสารทุกครั้งที่มีการนำไปใช้



เอกสารนี้เป็นเอกสารที่สงวนไว้สำหรับการใช้งานเพื่อการศึกษาเท่านั้น ไม่อนุญาตให้นำไปใช้ประโยชน์ด้านการค้า
ไม่ว่ากรณีใดๆ ทั้งสิ้น อีกทั้งห้ามมิให้ตัดแปลงเนื้อหาและต้องอ้างอิงถึงเจ้าของเอกสารทุกครั้งที่มีการนำไปใช้

```

/***** Computer Controled Spectrum Analyzer *****/
#include <stdio.h>
#include <bios.h>
#include <dos.h>
#include <conio.h>
#include <alloc.h>
#include <string.h>
#include <math.h>
#include <process.h>
#include <stdlib.h>
#include <graphics.h>
#include "funcmse.h"

typedef struct {
    float real, imag;
} COMPLEX;

#define PORT_CLEARCOUNTER    0x0300
#define PORT_STARTADC        0x0301
#define PORT_WAITADCREADY    0x0302
#define PORT_SETREADDATA     0x0303
#define PORT_READDATA        0x0304
#define PORT_SETCLOCK        0x0308

#define clear_counter()      inportb(PORT_CLEARCOUNTER)
#define set_clock(setclock)  inportb(setclock)
#define start_ADC()         inportb(PORT_STARTADC)
#define wait_ADC_ready()    inportb(PORT_WAITADCREADY)
#define set_read_data()     inportb(PORT_SETREADDATA)
#define read_ADC_data()     inportb(PORT_READDATA)

#define ESC                  0x011B
#define F1                   0x3B00
#define F2                   0x3C00
#define F3                   0x3D00
#define F4                   0x3E00
#define F5                   0x3F00
#define F6                   0x4000
#define F7                   0x4100
#define F8                   0x4200
#define F9                   0x4300
#define F10                  0x4400
#define SPACE                0x3920
#define LEFT                 0x4B00
#define RIGHT                0x4D00
#define UP                   0x4800
#define DOWN                 0x5000
#define CTRL_LEFT            0x7300
#define CTRL_RIGHT           0x7400

#define PI                    3.14159265

/* #define AMOUNT_SAMPLE     8192 */
/* #define N_CONSTANT        13 */
#define AMOUNT_SAMPLE        1024
#define N_CONSTANT           10

```

เอกสารนี้เป็นเอกสารที่สงวนไว้สำหรับการใช้งานเพื่อการศึกษาเท่านั้น ไม่อนุญาตให้นำไปใช้ประโยชน์ด้านการค้า
ไม่ว่ากรณีใดๆ ทั้งสิ้น อีกทั้งห้ามมิให้ดัดแปลงเนื้อหาและต้องอ้างอิงถึงเจ้าของเอกสารทุกครั้งที่มีการนำไปใช้

```

#define NORMAL_XSTEP          1
#define FAST_XSTEP           AMOUNT_SAMPLE/20

#define TMP_SAMPLE           2048
#define TMP_N                11

int _port_setclock = 0x0308;

unsigned char far *data_buffer;
COMPLEX far *data_complex;
int maxx,maxy;
char *menu_msg[] =
{
    "Esc-Quit",
    "F2-Start Down",
    "F3-Start Up",
    "F4-Read File",
    ""
};

char *graph_msg[] =
{
    "Esc-Main Menu",
    "F2-Set zero",
    "", "", ""
};

/*****/
void read_data(void);

/*****/
void wait_anykey(void)
{
    while(!kbhit());
    bioskey(0);
}

int get_N(int nn)
{
    int cnt = 0;

    while ((nn = nn/2) >= 1)
        cnt++;
    return cnt;
}

/*****/
void save_screen(void far *buf[4])
{
    unsigned size;
    int ystart=0, yend, yincr, block;

    yincr = (maxy+1) / 4;
    yend = yincr;
    size = imagesize(0, ystart, maxx, yend);
    /* get byte size of image */
}

```

เอกสารนี้เป็นเอกสารที่สงวนไว้สำหรับการใช้งานเพื่อการศึกษาเท่านั้น ไม่อนุญาตให้นำไปใช้ประโยชน์ด้านการค้า
ไม่ว่ากรณีใดๆ ทั้งสิ้น อีกทั้งห้ามมิให้ตัดแปลงเนื้อหาและต้องอ้างอิงถึงเจ้าของเอกสารทุกครั้งที่มีการนำไปใช้

```

if (size != 0xFFFF)
{
    for (block=0; block<=3; block++)
    {
        if ((buf[block] = farmalloc(size)) == NULL)
        {
            closegraph();
            printf("Error: not enough heap space in save_screen().\n");
            exit(1);
        }

        getimage(0, ystart, maxx, yend, buf[block]);
        ystart = yend + 1;
        yend += yincr + 1;
    }
}
else
{
    closegraph();
    printf("Error: image size is too large.\n");
    exit(1);
}
}

void restore_screen(void far *buf[4])
{
    int ystart=0, yend, yincr, block;

    yincr = (maxy+1) / 4;
    yend = yincr;

    for (block=0; block<=3; block++)
    {
        putimage(0, ystart, buf[block], COPY_PUT);
        /* free(buf[block]); */
        ystart = yend + 1;
        yend += yincr + 1;
    }
}

void save_scrn(void far *buf[1], int x1, int y1, int x2, int y2)
{
    unsigned size;

    size = imagesize(x1, y1, x2, y2);
    if (size != 0xFFFF)
    {
        if ((buf[0] = farmalloc(size)) == NULL)
        {
            closegraph();
            printf("Error: not enough heap space in save_screen().\n");
            exit(1);
        }

        getimage(x1, y1, x2, y2, buf[0]);
    }
    else
    {

```

เอกสารนี้เป็นเอกสารที่สงวนไว้สำหรับการใช้งานเพื่อการศึกษาเท่านั้น ไม่อนุญาตให้นำไปใช้ประโยชน์ด้านการค้า
ไม่ว่ากรณีใดๆ ทั้งสิ้น อีกทั้งห้ามมิให้ตัดแปลงเนื้อหาและต้องอ้างอิงถึงเจ้าของเอกสารทุกครั้งที่มีการนำไปใช้

```

        closegraph();
        printf("Error: image size is too large.\n");
        exit(1);
    }
}

void restore_scrn(void far *buf[1], int x1, int y1)
{
    putimage(x1, y1, buf[0], COPY_PUT);
    farfree(buf[0]);
}

/*****
/* Function for set window coordinate of graphic mode */
void set_window(int x1,int y1,int x2,int y2,int ops,int clip,int status)
{
    switch (ops)
    {
        case 0:setviewport (x1,y1,x2,y2,clip);break;
        case 1:rectangle(x1,y1,x2,y2);setviewport (x1+1,y1+1,x2-1,y2-
1,clip);break;
    }
    clearviewport();
    if (status == 0)
        setviewport (0,0,maxx,maxy,clip);
}

/*****
float get_max_real(COMPLEX *num, int n)
{
    COMPLEX *num_ptr;
    int i, amount;
    float max;

    num_ptr = num;
    max = num_ptr->real;
    amount = 1<<n;
    for (i=0;i<amount;i++)
    {
        if (max < num_ptr->real)
            max = num_ptr->real;
        num_ptr++;
    }
    return max;
}

float get_max_imag(COMPLEX *num, int n)
{
    COMPLEX *num_ptr;
    int i,amount;
    float max;
    num_ptr = num;
    max = num_ptr->imag;
    amount = 1<<n;
    for (i=0;i<amount;i++)
    {
        if (max < num_ptr->imag)

```

เอกสารนี้เป็นเอกสารที่สงวนไว้สำหรับการใช้งานเพื่อการศึกษาเท่านั้น ไม่อนุญาตให้นำไปใช้ประโยชน์ด้านการค้า
ไม่ว่ากรณีใดๆ ทั้งสิ้น อีกทั้งห้ามมิให้ดัดแปลงเนื้อหาและต้องอ้างอิงถึงเจ้าของเอกสารทุกครั้งที่มีการนำไปใช้

```

        max = num_ptr->imag;
        num_ptr++;
    }
    return max;
}

/*****
/* fft - In-place radix 2 decimation in frequency FFT Requires pointer
to complex array, x and power of 2 sizeof FFT,m (size of FFT = 2^m)
Places FFT output on top of input COMPLEX array. void fft(COMPLEX *x,
int m)
*****/
void fft(COMPLEX *x,int m)

    static COMPLEX *w;          /* used to store the w complex array */
    static int mstore=0;       /* stores m for future reference */
    static int n = 1;         /* length of fft stored for future */
    COMPLEX u,temp,tm;
    COMPLEX *xi,*xip,*xj,*wptr;
    int i,j,k,l,le,windex;
    float arg,w_real,w_imag,wrecur_real,wrecur_imag,wtemp_real;

    if(m != mstore)
    {
        /* free previously allocated storage and set new m */
        if(mstore !=0) free(w);
        mstore = m;
        if(m == 0) return;      /* if m=0 then done */
        /* n = 2^m = fft length */
        n=1 << m;
        le= n/2;

        /* allocate the storage for w */
        w = (COMPLEX far *) farcalloc(le-1,sizeof (COMPLEX));
        if (!w)
        {
            printf ("Unable to allocate complex W array \n");
            exit(1);
        }

        /* calculate the w values recursively */
        arg = 4.0 * atan(1.0)/le;    /* PI/le calculation */
        wrecur_real = w_real = cos(arg);
        wrecur_imag = w_imag = -sin(arg);
        xj = w;
        for (j=1 ; j<le ; j++)
        {
            xj->real = wrecur_real;
            xj->imag = wrecur_imag;
            xj++;
            wtemp_real = wrecur_real*w_real - wrecur_imag*w_imag;
            wrecur_imag = wrecur_real*w_imag + wrecur_imag*w_real;
            wrecur_real = wtemp_real;
        }
    }
}

```

เอกสารนี้เป็นเอกสารที่สงวนไว้สำหรับการใช้งานเพื่อการศึกษาเท่านั้น ไม่อนุญาตให้นำไปใช้ประโยชน์ด้านการค้า
ไม่ว่ากรณีใดๆ ทั้งสิ้น อีกทั้งห้ามมิให้ตัดแปลงเนื้อหาและต้องอ้างอิงถึงเจ้าของเอกสารทุกครั้งที่มีการนำไปใช้

```

/* start fft */
le = n;
windex = 1;
for (l=0; l<m; l++)
{
    le = le/2;

    /* first iteration with no multiplies */
    for( i=0; i<n; i=i+ 2*le)
    {
        xi = x+i;
        xip = xi+le;
        temp.real = xi->real + xip->real;
        temp.imag = xi->imag + xip->imag;
        xip->real = xi->real - xip->real;
        xip->imag = xi->imag - xip->imag;
        *xi = temp;
    }

    /* remaining iterations use stored w */
    wptr = w + windex - 1;
    for (j=1; j<le; j++)
    {
        u = *wptr;
        for(i = j ; i<n; i= i+2*le)
        {
            xi = x + i;
            xip = xi + le;
            temp.real = xi->real + xip->real;
            temp.imag = xi->imag + xip->imag;
            tm.real = xi->real - xip->real;
            tm.imag = xi->imag - xip->imag;
            xip->real = tm.real*u.real - tm.imag*u.imag;
            xip->imag = tm.real*u.imag + tm.imag*u.real;
            *xi = temp;
        }
        wptr = wptr + windex;
    }
    windex = 2*windex;
}

/* rearrange data by bit reversing */
j=0;
for (i=1; i<(n-1); i++)
{
    k = n/2;
    while(k<=j)
    {
        j = j-k;
        k = k/2;
    }
    j = j + k;
    if (i < j)
    {
        xi = x+i;
        xj = x+j;

```

เอกสารนี้เป็นเอกสารที่สงวนไว้สำหรับการใช้งานเพื่อการศึกษาเท่านั้น ไม่อนุญาตให้นำไปใช้ประโยชน์ด้านการค้า ไม่ว่าจะกรณีใดๆ ทั้งสิ้น อีกทั้งห้ามมิให้ดัดแปลงเนื้อหาและต้องอ้างอิงถึงเจ้าของเอกสารทุกครั้งที่มีการนำไปใช้

```

        temp = *xj;
        *xj = *xi;
        *xi = temp;
    }
}

void fft_gmode(COMPLEX *x,int m)
{
    set_window(0,0,maxx,maxy-40,0,1,1);
    outtextxy(5,5,"Calculating Fast Fourier Transform <FFT>...");

    fft(x,m);

    outtextxy(5,15,"Ready...");
    delay(100);
    set_window(0,0,maxx,maxy-40,0,1,0);
}

/*****
int read_datafile(void)
{
    register unsigned i;
    int tmp;
    float ftmp;
    unsigned char far *buffer;
    COMPLEX fai *complx;
    FILE *fileInput;
    int cnt = 0;

    if ((fileInput = fopen("input.dat", "r")) != NULL)
    {
        complx = data_complex;
        while (!feof(fileInput))
        {
            fscanf(fileInput, "%X", &tmp);
            ftmp = (float)tmp/0xFFFF;
            cnt++;
            complx->real = ftmp;
            complx->imag = 0;
            complx++;
        }
        fclose(fileInput);
        return cnt-1;
    }
    else
        return -1;
}

int wait_datafile(void)
{
    int iRetVal;

    printf("Read Data... ");
    iRetVal = read_datafile();
    printf("OK\n");
    return iRetVal;
}

```

เอกสารนี้เป็นเอกสารที่สงวนไว้สำหรับการใช้งานเพื่อการศึกษาเท่านั้น ไม่อนุญาตให้นำไปใช้ประโยชน์ด้านการค้า
ไม่ว่ากรณีใดๆ ทั้งสิ้น อีกทั้งห้ามมิให้ตัดแปลงเนื้อหาและต้องอ้างอิงถึงเจ้าของเอกสารทุกครั้งที่มีการนำไปใช้

```

)
void display_fft(int n)
{
    register i;
    int ch;
    COMPLEX far *complex;

    clrscr();
    complex = data_complex;
    for (i=0; i<(1<<n); i++)
    {
        printf("Index %d: ", i);
        printf("%12.5f %12.5f\n", complex->real, complex->imag);
        complex++;
        if (kbhit())
        {
            ch = bioskey(0);
            switch (ch)
            {
                case ESC:
                    return;
                case SPACE:
                    printf("\n-- more --");
                    bioskey(0);
                    printf("\r");
                    break;
            }
        }
        if ((i != 0) && (i%22 == 0))
        {
            printf("\n-- more --");
            bioskey(0);
            printf("\r");
        }
    }
}
}

```

```

void show_debug_menu(void)
{
    printf("\n");
    puts("1 - Clear counter          F1 - Display data buffer");
    puts("2 - Set clock                F2 - Display FFT");
    puts("3 - Start ADC                 F9 - Read data from file");
    puts("4 - Wait ADC to be ready     F10 - Create data");
    puts("5 - Set read data");
    puts("6 - Read ADC data");
    puts("? - Help Menu           ESC - Exit");
}

```

```

void debug_mode(void)

```

เอกสารนี้เป็นเอกสารที่สงวนไว้สำหรับการใช้งานเพื่อการศึกษาเท่านั้น ไม่อนุญาตให้นำไปใช้ประโยชน์ด้านการค้า
ไม่ว่ากรณีใดๆ ทั้งสิ้น อีกทั้งห้ามมิให้ตัดแปลงเนื้อหาและต้องอ้างอิงถึงเจ้าของเอกสารทุกครั้งที่มีการนำไปใช้

```

}

int set_tmp_data(void)
{
    unsigned int i;
    float time, angle1, angle2;
    COMPLEX far *complex;

    printf("Create Example data... ");
    complex = data_complex;
    time = 1/(10E6/(1<<(_port_setclock-0x308)));
    for (i=0; i<TMP_SAMPLE;i++)
    {
        /* time = i*(1/(10E6/(1<<_port_setclock-0x308))); */
        angle1 = i*(1000*2*PI*time);
        /* complex->real = sin(100*time)+cos(200*time); */
        complex->real = sin(angle1);
        complex->imag = 0;
        complex++;
    }
    printf("OK\n");
    return TMP_N;
}

void display_data(int n)
{
    register i, j;
    int ch;
    unsigned char far *buffer;
    int total_sample = 1<<n;

    buffer = data_buffer;
    for (i=0; i<total_sample/16; i++)
    {
        fprintf("\r\nAddress %04X: ", i*16);
        for (j=0; j<16; j++)
        {
            fprintf("%02X", *buffer++);
            if (j != 7) putchar(' ');
            else putchar('-');
        }
        if (kbhit())
        {
            ch = bioskey(0);
            switch (ch)
            {
                case ESC:
                    return;

                case SPACE:
                    printf("\n-- more --");
                    bioskey(0);
                    printf("\r          \r");
                    break;
            }
        }
    }
}

```

เอกสารนี้เป็นเอกสารที่สงวนไว้สำหรับการใช้งานเพื่อการศึกษาเท่านั้น ไม่อนุญาตให้นำไปใช้ประโยชน์ด้านการค้า
ไม่ว่ากรณีใดๆ ทั้งสิ้น อีกทั้งห้ามมิให้ตัดแปลงเนื้อหาและต้องอ้างอิงถึงเจ้าของเอกสารทุกครั้งที่มีการนำไปใช้

```

}

int set_tmp_data(void)
{
    unsigned int i;
    float time, angle1, angle2;
    COMPLEX far *complex;

    printf("Create Example data... ");
    complex = data_complex;
    time = 1/(10E6/(1<<(_port_setclock-0x308)));
    for (i=0; i<TMP_SAMPLE;i++)
    {
        /* time = i*(1/(10E6/(1<<_port_setclock-0x308))); */
        angle1 = i*(1000*2*PI*time);
        /* complex->real = sin(100*time)+cos(200*time); */
        complex->real = sin(angle1);
        complex->imag = 0;
        complex++;
    }
    printf("OK\n");
    return TMP_N;
}

void display_data(int n)
{
    register i, j;
    int ch;
    unsigned char far *buffer;
    int total_sample = 1<<n;

    buffer = data_buffer;
    for (i=0; i<total_sample/16; i++)
    {
        fprintf("\r\nAddress %04X: ", i*16);
        for (j=0; j<16; j++)
        {
            fprintf("%02X", *buffer++);
            if (j != 7) putchar(' ');
            else putchar('-');
        }
        if (kbhit())
        {
            ch = bioskey(0);
            switch (ch)
            {
                case ESC:
                    return;

                case SPACE:
                    printf("\n-- more --");
                    bioskey(0);
                    printf("\r          \r");
                    break;
            }
        }
    }
}

```

เอกสารนี้เป็นเอกสารที่สงวนไว้สำหรับการใช้งานเพื่อการศึกษาเท่านั้น ไม่อนุญาตให้นำไปใช้ประโยชน์ด้านการค้า
ไม่ว่ากรณีใดๆ ทั้งสิ้น อีกทั้งห้ามมิให้ตัดแปลงเนื้อหาและต้องอ้างอิงถึงเจ้าของเอกสารทุกครั้งที่มีการนำไปใช้

```

}

void display_fft(int n)
{
    register i;
    int ch;
    COMPLEX far *complex;

    clrscr();
    complex = data_complex;
    for (i=0; i<(l<<n); i++)
    {
        printf("Index %d: ", i);
        printf("%12.5f  %12.5f\n", complex->real, complex->imag);
        complex++;
        if (kbhit())
        {
            ch = bioskey(0);
            switch (ch)
            {
                case ESC:
                    return;
                case SPACE:
                    printf("\n-- more --");
                    bioskey(0);
                    printf("\r");
                    break;
            }
        }
        if ((i != 0) && (i%22 == 0))
        {
            printf("\n-- more --");
            bioskey(0);
            printf("\r");
        }
    }
}

```

```

void show_debug_menu(void)
{
    printf("\n");
    puts("1   - Clear counter           F1   - Display data buffer");
    puts("2   - Set clock                F2   - Display FFT");
    puts("3   - Start ADC                 F9   - Read data from file");
    puts("4   - Wait ADC to be ready      F10  - Create data");
    puts("5   - Set read data");
    puts("6   - Read ADC data");
    puts("?   - Help Menu             ESC  - Exit");
}

```

```

void debug_mode(void)

```

เอกสารนี้เป็นเอกสารที่สงวนไว้สำหรับการใช้งานเพื่อการศึกษาเท่านั้น ไม่อนุญาตให้นำไปใช้ประโยชน์ด้านการค้า ไม่ว่าจะกรณีใดๆ ทั้งสิ้น อีกทั้งห้ามมิให้ดัดแปลงเนื้อหาและต้องอ้างอิงถึงเจ้าของเอกสารทุกครั้งที่มีการนำไปใช้

```

int ch;
int n = N_CONSTANT, nn;

clrscr();
puts("\n[DebugMode]\n");
show_debug_menu();
for (;;)
{
    printf("\n> ");
    ch = bioskey(0);
    switch (ch & 0xFF)
    {
        case '1':
            puts("Counter cleared.");
            clear_counter();
            break;

        case '2':
            puts("Clock set.");
            set_clock(_port_setclock);
            break;

        case '3':
            puts("ADC started.");
            start_ADC();
            break;

        case '4':
            puts("Waiting for ADC to be ready");
            puts("Press ESC to abort...");
            while ((wait_ADC_ready() & 0x01) == 0 )
            {
                if (kbhit())
                {
                    if ((ch = bioskey(0)) == ESC)
                    {
                        puts("Abort...");
                        break;
                    }
                }
            }
            break;

        case '5':
            puts("Read data set.");
            set_read_data();
            break;

        case '6':
            puts("Reading data...");
            read_data();
            break;

        case '?':
            show_debug_menu();
            break;
    }
}

```

เอกสารนี้เป็นเอกสารที่สงวนไว้สำหรับการใช้งานเพื่อการศึกษาเท่านั้น ไม่อนุญาตให้นำไปใช้ประโยชน์ด้านการค้า ไม่ว่าจะกรณีใดๆ ทั้งสิ้น อีกทั้งห้ามมิให้ดัดแปลงเนื้อหาและต้องอ้างอิงถึงเจ้าของเอกสารทุกครั้งที่มีการนำไปใช้

```

    }

    switch (ch)
    {
        case F1:
            display_data(n);
            break;

        case F2:
            display_fft(n);
            break;

        case F9:
            if ((nn = wait_datafile()) != -1)
            {
                n = get_N(nn);
                fft(data_complex,n);
            }
            break;

        case F10:
            n = set_tmp_data();
            fft(data_complex,n);
            break;

        case ESC:
            puts("");
            return;
    }
}

/*****
void read_data(void)
{
    register unsigned i;
    unsigned char tmp;
    unsigned char far *buffer;
    COMPLEX far *complx;

    buffer = data_buffer;
    complx = data_complex;
    for (i=0; i<AMOUNT_SAMPLE; i++)
    {
        tmp = read_ADC_data();
        *buffer++ = tmp;
        /* complx->real = tmp*6.4/255-3.2; change raw data to true value */
        complx->real = 2*6.4/255*tmp-6.4;
        complx->imag = 0;
        complx++;
    }
}

/* Wait data from A/D converter */
int wait_data(void)
{
    int ch;

```

เอกสารนี้เป็นเอกสารที่สงวนไว้สำหรับการใช้งานเพื่อการศึกษาเท่านั้น ไม่อนุญาตให้นำไปใช้ประโยชน์ด้านการค้า
ไม่ว่ากรณีใดๆ ทั้งสิ้น อีกทั้งห้ามมิให้ตัดแปลงเนื้อหาและต้องอ้างอิงถึงเจ้าของเอกสารทุกครั้งที่มีการนำไปใช้

```

    set_window(0,0,maxx,maxy-40,0,1,1);
    outtextxy(5,5,"Waiting for ADC ready, press ESC to abort, F10 to
ignore...");

    clear_counter();
    set_clock(_port_setclock);
    start_ADC();
    while ((0x01 & wait_ADC_ready()) == 0)
    {
        if (kbhit())
        {
            ch = bioskey(0);
            switch (ch)
            {
                case ESC:
                    outtextxy(5,15,"Terminated...");
                    return 0;

                case F10:
                    break;
            }
        }
        clear_counter();
        set_read_data();
        read_data();

        outtextxy(5,15,"Ready...");
        delay(100);
        set_window(0,0,maxx,maxy-40,0,1,0);
        return N_CONSTANT;
    }

/*****
void show_main_menu(void)
{
    clrscr();
    printf("Spectrum Analyzer version 2000 [KMIT'L] .\n\n");
    printf("ESC    - Quit\n");
    printf("F2     - Wait Data\n");
    printf("F3     - Display Data\n");
    printf("F4     - Find FFT\n");
    printf("F5     - Display FFT\n");
    printf("F6     - Display Graph\n");
    printf("F10    - Sample Data\n");
    printf("Up,Down- Change Sampling frequency
[%04X]\n", _port_setclock);
}

void display_gscreen(void)
{
    int i, x_start;

    Cursor_Off();
    set_window(0,maxy-20,maxx,maxy,1,1,0);
    for (i=0;i<5;i++)

```

เอกสารนี้เป็นเอกสารที่สงวนไว้สำหรับการใช้งานเพื่อการศึกษาเท่านั้น ไม่อนุญาตให้นำไปใช้ประโยชน์ด้านการค้า
ไม่ว่ากรณีใดๆ ทั้งสิ้น อีกทั้งห้ามมิให้ดัดแปลงเนื้อหาและต้องอ้างอิงถึงเจ้าของเอกสารทุกครั้งที่มีการนำไปใช้

```

    {
        x_start = i*maxx/5;
        line(x_start,maxy-20,x_start,maxy);
        outtextxy(x_start+5,maxy-15,graph_msg[i]);
    }
    Cursor_On();
}

int check_gbutton(int x, int y)
{
    int i;

    for (i=1;i<=5;i++)
        if (x>(i-1)*maxx/5 && x<i*maxx/5)
            if (y>maxy-20 && y<maxy)
                return i;
    if (x>=0 && x<=maxx)
        if (y>=0 && y<=maxy-40)
            return 6;
    return 0;
}

void display_xy(float freq, float amplitude)
{
    char x_txt[50],y_txt[50];
    struct viewporttype viewinfo;

    Cursor_Off();
    getviewsettings(&viewinfo);

    sprintf(x_txt,"Frequency : %1.2f",freq);
    sprintf(y_txt,"Amplitude : %1.2f",amplitude);
    set_window(maxx-400,maxy-39,maxx-200,maxy-20,1,1,1);
    outtextxy(5,5,x_txt);
    set_window(maxx-200,maxy-39,maxx,maxy-20,1,1,1);
    outtextxy(5,5,y_txt);

    setviewport(viewinfo.left,viewinfo.top,viewinfo.right,viewinfo.bot
tom,viewinfo.clip);
    Cursor_On();
}

#define NO_YSTEP      100
#define SPACE_YDOT    20
void gen_graph(int n)
{
    int mpos_x, mpos_y;
    int button_no;
    int max_gx, max_gy;
    int y_start;

    int i,ch,update_flag = 0;
    int old_color;
    float x_step,y_step;
    int total_sample;
    float total_time;
    int x1,y1,x2,y2;

```

เอกสารนี้เป็นเอกสารที่สงวนไว้สำหรับการใช้งานเพื่อการศึกษาเท่านั้น ไม่อนุญาตให้นำไปใช้ประโยชน์ด้านการค้า
ไม่ว่ากรณีใดๆ ทั้งสิ้น อีกทั้งห้ามมิให้ตัดแปลงเนื้อหาและต้องอ้างอิงถึงเจ้าของเอกสารทุกครั้งที่มีการนำไปใช้

```

float max_real, max_imag;
float tmp;

int xpos, ypos, old_xpos, old_ypos;
float xaxis, yaxis;
int f_step;
int normal_ystep;

float far *f_axis;
int far *idx, *pos_idx;
COMPLEX far *complex;
void far *hbuf[1], *vbuf[1];

display_gscreen();
Cursor_Off();
if ((f_axis = (float far *)farcalloc(AMOUNT_SAMPLE, sizeof(float)))
== NULL)
{
    closegraph();
    puts("Can't allocate memory\n");
    exit(1);
}
if ((idx = (int far *)farcalloc(AMOUNT_SAMPLE, sizeof(int))) == NULL)
{
    closegraph();
    puts("Can't allocate memory\n");
    exit(1);
}
if ((pos_idx = (int far *)farcalloc(AMOUNT_SAMPLE, sizeof(int))) == NULL)
{
    closegraph();
    puts("Can't allocate memory\n");
    exit(1);
}

max_gx = maxx;
max_gy = maxy-40;
y_start = max_gy-30;
set_window(0, 0, max_gx, max_gy, 0, 1, 1);
total_sample = 1 << n;
total_time = (1/(10E6/(1<<_port_setclock-0x0308)))*total_sample;
/* total_time = (1/8e3)*total_sample; */
/* find maximum amplitude of complex number of FFT */
max_real = fabs(get_max_real(data_complex, n));
max_imag = fabs(get_max_imag(data_complex, n));

x_step = (float)max_gx/total_sample;
y_step = (float)(y_start-SPACE_YDOT)/(max(max_real, max_imag));
/* Draw X axis */
line(0, y_start, max_gx, y_start);
outtextxy(max_gx-80, y_start+3, "Frequency");
/* Draw Y axis */
line(max_gx/2, 0, max_gx/2, max_gy);
outtextxy(max_gx/2+3, 3, "Amplitude");

for (i=0; i<total_sample/2; i++)
{

```

เอกสารนี้เป็นเอกสารที่สงวนไว้สำหรับการใช้งานเพื่อการศึกษาเท่านั้น ไม่อนุญาตให้นำไปใช้ประโยชน์ด้านการค้า
ไม่ว่ากรณีใดๆ ทั้งสิ้น อีกทั้งห้ามมิให้ตัดแปลงเนื้อหาและต้องอ้างอิงถึงเจ้าของเอกสารทุกครั้งที่มีการนำไปใช้

```

        *(idx+i) = i;
        *(f_axis+i+total_sample/2) = i/total_time;
        *(pos_idx+i+total_sample/2) = (max_gx/2)+*(idx+i)*x_step;
    }
    for (i=total_sample/2;i<total_sample;i++)
    {
        *(idx+i) = -(total_sample-i);
        *(f_axis+i-total_sample/2) = -(total_sample-i)/total_time;
        *(pos_idx+i-total_sample/2) = (max_gx/2)+*(idx+i)*x_step;
    }

    /* draw_fft(x_step,y_step,idx,max_gx,y_start); */
    complx = data_complex;
    old_color = getcolor();
    setcolor(YELLOW);
    /* Draw amplitude of each result FFT */
    for (i=0;i<total_sample;i++)
    {
        x1 = (max_gx/2)+*(idx+i)*x_step;
        x2 = x1;
        y1 = y_start;
        y2 = (y_start)-fabs(complx->real)*y_step;
        line(x1,y1,x2,y2);
        y2 = (y_start)-fabs(complx->imag)*y_step;
        line(x1,y1,x2,y2);
        complx++;
    }
    setcolor(old_color);

    /* set initial marking value */
    xpos = max_gx/2;
    ypos = y_start;
    old_xpos = xpos;
    old_ypos = ypos;
    save_scrn(hbuf,xpos,0,xpos,max_gy);
    save_scrn(vbuf,0,ypos,max_gx,ypos);
    /* Draw X-Y marking */
    old_color = getcolor();
    setcolor(LIGHTBLUE);
    line(xpos,0,xpos,max_gy); /* Y-axis */
    line(0,ypos,max_gx,ypos); /* X-axis */
    setcolor(old_color);
    xaxis = 0;
    yaxis = 0;
    f_step = total_sample/2;
    if(max(max_real,max_imag)< NO_YSTEP)
        normal_ystep = 1;
    else
        normal_ystep = max(max_real,max_imag)/NO_YSTEP;
    display_xy(xaxis,yaxis);
    Cursor_On();
    while (ch != ESC)
    {
        if (Leftb_Pressed())
        {
            Wait_On(LEFTB);
            Mouse_Position(&mpos_x, &mpos_y);

```

เอกสารนี้เป็นเอกสารที่สงวนไว้สำหรับการใช้งานเพื่อการศึกษาเท่านั้น ไม่อนุญาตให้นำไปใช้ประโยชน์ด้านการค้า
ไม่ว่ากรณีใดๆ ทั้งสิ้น อีกทั้งห้ามมิให้ดัดแปลงเนื้อหาและต้องอ้างอิงถึงเจ้าของเอกสารทุกครั้งที่มีการนำไปใช้

```

button_no = check_gbutton(mpos_x,mpos_y);
switch (button_no)
{
    case 1:
        ch = ESC;
        break;

    case 2:
        xpos = max_gx/2;
        ypos = y_start;
        xaxis = 0;
        yaxis = 0;
        f_step = total_sample/2;
        break;

    case 6:
        tmp = (float) total_sample/max_gx;
        if (mpos_x < xpos)
            f_step = f_step-(xpos-mpos_x)*tmp;
        else
            f_step = f_step+(mpos_x-xpos)*tmp;
        xpos = *(pos_idx+f_step);
        xaxis = *(f_axis+f_step);

        if (mpos_y < ypos)
            yaxis = yaxis+(ypos-mpos_y)/y_step;
        else
            yaxis = yaxis-(mpos_y-ypos)/y_step;
        ypos = y_start-yaxis*y_step;
        break;
}
update_flag = 1;
}

if (kbhit())
{
    ch = bioskey(0);
    switch (ch)
    {
        case F2:
            xpos = max_gx/2;
            ypos = y_start;
            xaxis = 0;
            yaxis = 0;
            f_step = total_sample/2;
            break;

        case F3:
            x_step = (float)max_gx/(total_sample/2);
            for (i=0;i<total_sample/2;i++)
                *(pos_idx+i+total_sample/2) = (max_gx/2)+*(idx+i)*x_step;
            for (i=total_sample/2;i<total_sample;i++)
                *(pos_idx+i-total_sample/2) = (max_gx/2)+*(idx+i)*x_step;
            complex = data_complex;
            old_color = getcolor();
            setcolor(YELLOW);
            /* Draw amplitude of each result FFT */

```

เอกสารนี้เป็นเอกสารที่สงวนไว้สำหรับการใช้งานเพื่อการศึกษาเท่านั้น ไม่อนุญาตให้นำไปใช้ประโยชน์ด้านการค้า
ไม่ว่ากรณีใดๆ ทั้งสิ้น อีกทั้งห้ามมิให้ตัดแปลงเนื้อหาและต้องอ้างอิงถึงเจ้าของเอกสารทุกครั้งที่มีการนำไปใช้

```

for (i=0;i<total_sample;i++)
{
    x1 = (max_gx/2)+*(idx+i)*x_step;
    x2 = x1;
    y1 = y_start;
    y2 = (y_start)-fabs(complx->real)*y_step;
    line(x1,y1,x2,y2);
    y2 = (y_start)-fabs(complx->imag)*y_step;
    line(x1,y1,x2,y2);
    complx++;
}
setcolor(old_color);

/* set initial marking value */
xpos = max_gx/2;
ypos = y_start;
old_xpos = xpos;
old_ypos = ypos;
save_scrn(hbuf,xpos,0,xpos,max_gy);
save_scrn(vbuf,0,ypos,max_gx,ypos);
/* Draw X-Y marking */
old_color = getcolor();
setcolor(LIGHTBLUE);
line(xpos,0,xpos,max_gy); /* Y-axis */
line(0,ypos,max_gx,ypos); /* X-axis */
setcolor(old_color);
xaxis = 0;
yaxis = 0;
f_step = total_sample/2;
if(max(max_real,max_imag) < NO_YSTEP)
    normal_ystep = 1;
else
    normal_ystep = max(max_real,max_imag)/NO_YSTEP;
display_xy(xaxis,yaxis);
Cursor_On();
    break;
case F4:
    break;
case LEFT:
    if (f_step-NORMAL_XSTEP >= 0)
    {
        f_step-=NORMAL_XSTEP;
        xpos = *(pos_idx+f_step);
        xaxis = *(f_axis+f_step);
    }
    break;
case CTRL_LEFT:
    if (f_step-FAST_XSTEP >= 0)
    {
        f_step-=FAST_XSTEP;
        xpos = *(pos_idx+f_step);
        xaxis = *(f_axis+f_step);
    }
}

```

เอกสารนี้เป็นเอกสารที่สงวนไว้สำหรับการใช้งานเพื่อการศึกษาเท่านั้น ไม่อนุญาตให้นำไปใช้ประโยชน์ด้านการค้า
ไม่ว่ากรณีใดๆ ทั้งสิ้น อีกทั้งห้ามมิให้ดัดแปลงเนื้อหาและต้องอ้างอิงถึงเจ้าของเอกสารทุกครั้งที่มีการนำไปใช้

```

        break;

    case RIGHT:
        if (f_step+NORMAL_XSTEP <= total_sample-1)
        {
            f_step+=NORMAL_XSTEP;
            xpos = *(pos_idx+f_step);
            xaxis = *(f_axis+f_step);
        }
        break;

    case CTRL_RIGHT:
        if (f_step+FAST_XSTEP <= total_sample-1)
        {
            f_step+=FAST_XSTEP;
            xpos = *(pos_idx+f_step);
            xaxis = *(f_axis+f_step);
        }
        break;

    case UP:
        if (ypos > 0)
        {
            yaxis+=normal_ystep;
            ypos = y_start-yaxis*y_step;
        }
        break;

    case DOWN:
        if (ypos < max_gy)
        {
            yaxis-=normal_ystep;
            ypos = y_start-yaxis*y_step;
        }
        break;
    }
    update_flag = 1;
}

if (update_flag)
{
    update_flag = 0;
    Cursor_Off();
    old_color = getcolor();
    setcolor(LIGHTBLUE);
    restore_scrn(hbuf,old_xpos,0);
    restore_scrn(vbuf,0,old_ypos);
    old_xpos = xpos;
    old_ypos = ypos;
    save_scrn(hbuf,xpos,0,xpos,max_gy);
    save_scrn(vbuf,0,ypos,max_gx,ypos);
    line(xpos,0,xpos,max_gy);
    line(0,ypos,max_gx,ypos);
    setcolor(old_color);
    display_xy(xaxis,yaxis);
    Cursor_On();
}

```

เอกสารนี้เป็นเอกสารที่สงวนไว้สำหรับการใช้งานเพื่อการศึกษาเท่านั้น ไม่อนุญาตให้นำไปใช้ประโยชน์ด้านการค้า ไม่ว่าจะกรณีใดๆ ทั้งสิ้น อีกทั้งห้ามมิให้ดัดแปลงเนื้อหาและต้องอ้างอิงถึงเจ้าของเอกสารทุกครั้งที่มีการนำไปใช้

```

    }
    farfree(idx);
    farfree(pos_idx);
    farfree(f_axis);
    farfree(hbuf[0]);
    farfree(vbuf[0]);
    set_window(0,0,max_gx,max_gy,0,1,0);
}

void display_rate(int port)
{
    char txt[50];
    struct viewporttype viewinfo;

    Cursor_Off();
    switch (port)
    {
        case 0x0308: sprintf(txt,"Max frequency : 5.00 MHz");break;
        case 0x0309: sprintf(txt,"Max frequency : 2.50 MHz");break;
        case 0x030A: sprintf(txt,"Max frequency : 1.25 MHz");break;
        case 0x030B: sprintf(txt,"Max frequency :625.00 kHz");break;
        case 0x030C: sprintf(txt,"Max frequency :312.50 kHz");break;
        case 0x030D: sprintf(txt,"Max frequency :156.25 kHz");break;
        case 0x030E: sprintf(txt,"Max frequency :78.125 kHz");break;
        case 0x030F:sprintf(txt,"Max frequency :39.0625 kHz");break;
    }

    getviewsettings(&viewinfo);
    set_window(0,maxy-39,maxx-400,maxy-20,1,1,1);
    outtextxy(5,5,txt);
    setviewport(viewinfo.left,viewinfo.top,viewinfo.right,viewinfo.bot
tom,viewinfo.clip);
    Cursor_On();
}

void display_mscreen(void)
{
    int i, x_start;

    Cursor_Off();
    set_window(0,0,maxx,maxy-40,0,1,0);
    set_window(0,maxy-39,maxx,maxy-20,1,1,0);
    set_window(0,maxy-20,maxx,maxy,1,1,0);
    for (i=0;i<5;i++)
    {
        x_start = i*maxx/5;
        line(x_start,maxy-20,x_start,maxy);
        outtextxy(x_start+5,maxy-15,menu_msg[i]);
    }
    Cursor_On();
}

int check_mbutton(int x, int y)
{
    int i;

    for (i=1;i<=5;i++)

```

เอกสารนี้เป็นเอกสารที่สงวนไว้สำหรับการใช้งานเพื่อการศึกษาเท่านั้น ไม่อนุญาตให้นำไปใช้ประโยชน์ด้านการค้า ไม่ว่าจะกรณีใดๆ ทั้งสิ้น อีกทั้งห้ามมิให้ตัดแปลงเนื้อหาและต้องอ้างอิงถึงเจ้าของเอกสารทุกครั้งที่มีการนำไปใช้

```

        if (x>(i-1)*maxx/5 && x<i*maxx/5)
            if (y>maxy-20 && y<maxy)
                return i;
    return 0;
}

/*****
void main(int argc, char *argv[])
{
    int ch;
    int n = N_CONSTANT, nn;
    int mpos_x, mpos_y, button_no;
    int gdriver = DETECT, gmode, errorcode; /*request auto detection*/
    FILE *fileInput;

    if (argc > 2) /* check that user pass correct parameter or not */
    {
        puts("Usage: SPECTRUM [/d for debugging]");
        exit(0);
    }
    /* allocate memory for keeping true value */
    if ((data_buffer = (unsigned char far *)farmalloc(AMOUNT_SAMPLE))
== NULL)
    {
        puts("Can't allocate data buffer\n");
        exit(1);
    }
    /* allocate memory for keeping value to be used in FFT calculation */
    if ((data_complex = (COMPLEX far *)farcalloc(AMOUNT_SAMPLE, sizeof
(COMPLEX))) == NULL)
    {
        printf ("Can't allocate complex array\n");
        exit(1);
    }
    if (strnicmp(argv[1], "/d", 2) == 0) debug_mode(); /* if using
debug mode */
    else
    {
        if ((fileInput = fopen(argv[1], "r")) != NULL)
        {
            printf("This feature is not support now!\n");
            exit(1);
        }
        else
        {
            /* initialize graphics mode */
            initgraph(&gdriver, &gmode, "");
            /* read result of initialization */
            errorcode = graphresult();
            if (errorcode != grOk) /* an error occurred */
            {
                printf("Graphics error: %s\n", grapherrormsg(errorcode));
                printf("Press any key to halt:");
                getch();
                exit(1); /* return with error code */
            }
            /* trap_prt_scrn(); */

```

เอกสารนี้เป็นเอกสารที่สงวนไว้สำหรับการใช้งานเพื่อการศึกษาเท่านั้น ไม่อนุญาตให้นำไปใช้ประโยชน์ด้านการค้า
ไม่ว่ากรณีใดๆ ทั้งสิ้น อีกทั้งห้ามมิให้ตัดแปลงเนื้อหาและต้องอ้างอิงถึงเจ้าของเอกสารทุกครั้งที่มีการนำไปใช้

```

/* find maximum x value and maximum y value of monitor */
maxx = getmaxx();
maxy = getmaxy();

display_mscreen();          /* show main screen */
display_rate(_port_setclock);
Mouse_Reset();
Cursor_On();                /* cursor mouse is on */
/* loop for checking key-pressed and mouse-pressed */
while (ch != ESC)
{
if (Leftb_Pressed())/* check left button of mouse */
{
Wait_On(LEFTB);/* wait until left button is released */
Mouse_Position(&mpos_x, &mpos_y);/* find mouse position */
button_no = check_mbutton(mpos_x,mpos_y);
switch (button_no)
{
case 1:
ch = ESC;
break;
case 2:
n = wait_data();
fft_gmode(data_complex, n);
gen_graph(n);
display_mscreen();
display_rate(_port_setclock);
if (_port_setclock < 0x030F)
_port_setclock++;
else
_port_setclock = 0x0308;
display_rate(_port_setclock);
break;
case 3:
if (_port_setclock > 0x0308)
_port_setclock--;
else
_port_setclock = 0x030F;
display_rate(_port_setclock);
n = wait_data();
fft_gmode(data_complex, n);
gen_graph(n);
display_mscreen();
display_rate(_port_setclock);
break;
case 4:
if ((nn = read_datafile()) != -1)
{
n = get_N(nn);
fft_gmode(data_complex, n);
gen_graph(n);
}
display_mscreen();
display_rate(_port_setclock);
}
}
}

```

เอกสารนี้เป็นเอกสารที่สงวนไว้สำหรับการใช้งานเพื่อการศึกษาเท่านั้น ไม่อนุญาตให้นำไปใช้ประโยชน์ด้านการค้า
ไม่ว่ากรณีใดๆ ทั้งสิ้น อีกทั้งห้ามมิให้ตัดแปลงเนื้อหาและต้องอ้างอิงถึงเจ้าของเอกสารทุกครั้งที่มีการนำไปใช้

```

        break;

    case 5:
        n = set_tmp_data();
        fft_gmode(data_complex, n);
        gen_graph(n);
        display_mscreen();
        display_rate(_port_setclock);
        break;
    }
}

if (kbhit()) /* check key pressed */
{
    ch = bioskey(0);
    switch (ch)
    {
        case F2:
            if (_port_setclock > 0x0308)
                _port_setclock--;
            else
                _port_setclock = 0x030F;
            display_rate(_port_setclock);
            break;

        case F3:
            n = wait_data();
            fft_gmode(data_complex, n);
            gen_graph(n);
            display_mscreen();
            display_rate(_port_setclock);
            break;

        case F4:
            if ((nn = read_datafile()) != -1)
            {
                n = get_N(nn);
                fft_gmode(data_complex, n);
                gen_graph(n);
            }
            display_mscreen();
            display_rate(_port_setclock);
            break;
    }
}

closegraph();

}
}

farfree(data_complex); /* release memory */
farfree(data_buffer); /* release memory */
/* release_prt_scrn(); */
}

```

เอกสารนี้เป็นเอกสารที่สงวนไว้สำหรับการใช้งานเพื่อการศึกษาเท่านั้น ไม่อนุญาตให้นำไปใช้ประโยชน์ด้านการค้า ไม่ว่าจะกรณีใดๆ ทั้งสิ้น อีกทั้งห้ามมิให้ตัดแปลงเนื้อหาและต้องอ้างอิงถึงเจ้าของเอกสารทุกครั้งที่มีการนำไปใช้

```

/*****
/*                               FUNCNSE                               */
/* Compose of function for interface with mouse                       */
/*****
#define NOT_MOVED 0
#define MSE_RIGHT 1
#define MSE_LEFT 2
#define MSE_DOWN 3
#define MSE_UP 4
#define LEFTTB 1
#define RIGHTTB 2

void Cmouse(int *fnum,int *arg2,int *arg3,int *arg4);
int Mouse_Reset(void);
void Cursor_On(void);
void Cursor_Off(void);
int Lefttb_Pressed(void);
void Mouse_Position(int *x,int *y);
int Righttb_Pressed(void);
void Set_Mouse_Position(int x,int y);
void Mouse_Motion(int *deltax,int *deltay);
void Wait_On(int button);
/*****
void Cmouse(fnum,arg2,arg3,arg4)
int *fnum,*arg2,*arg3,*arg4;
{
union REGS inr,outr;
inr.x.ax=*fnum;
inr.x.bx=*arg2;
inr.x.cx=*arg3;
inr.x.dx=*arg4;
int86(0x33,&inr,&outr);
*fnum=outr.x.ax;
*arg2=outr.x.bx;
*arg3=outr.x.cx;
*arg4=outr.x.dx;
}

/*****
/* Function number 0                                               */
/* reset mouse and move mouse cursor to the centre of screen     */
/*****
int Mouse_Reset(void)
{
int fnum=0,arg2;
Cmouse(&fnum,&arg2,NULL,NULL);
if (fnum==0)
printf("Mouse Driver is not installed");
return(fnum);
}

/*****
/* Function number 1                                               */
/* display mouse cursor                                           */
/*****
void Cursor_On(void)
{

```

เอกสารนี้เป็นเอกสารที่สงวนไว้สำหรับการใช้งานเพื่อการศึกษาเท่านั้น ไม่อนุญาตให้นำไปใช้ประโยชน์ด้านการค้า
ไม่ว่ากรณีใดๆ ทั้งสิ้น อีกทั้งห้ามมิให้ตัดแปลงเนื้อหาและต้องอ้างอิงถึงเจ้าของเอกสารทุกครั้งที่มีการนำไปใช้

```

    int fnum=1;
    Cmouse (&fnum, &fnum, &fnum, &fnum);
}

/*****
/* Function number 2
/* not display mouse cursor
/*****
void Cursor_Off(void)
{
    int fnum=2;
    Cmouse (&fnum, &fnum, &fnum, &fnum);
}

/*****
/* Function number 3
/* check left button of mouse is pressed or not
/* if left button is pressed will return 1
/* else return 0
/*****
int Leftb_Pressed(void)
{
    int fnum=3, arg2;
    Cmouse (&fnum, &arg2, &fnum, &fnum);
    return (arg2&1);
}

/*****
/* Function number 3
/* get mouse cursor position
/*****
void Mouse_Position(x, y)
    int *x, *y;
{
    int fnum=3, arg3, arg4;
    Cmouse (&fnum, &fnum, &arg3, &arg4);
    *x=arg3;
    *y=arg4;
}

/*****
/* Function number 3
/* check right button of mouse is pressed or not
/* if right button is pressed will return 2
/* else return 0
/*****
int Rightb_Pressed(void)
{
    int fnum=3, arg2;
    Cmouse (&fnum, &arg2, &fnum, &fnum);
    return (arg2&2);
}

/*****
/* Function number 4
/* set position of mouse cursor
/*****

```

เอกสารนี้เป็นเอกสารที่สงวนไว้สำหรับการใช้งานเพื่อการศึกษาเท่านั้น ไม่อนุญาตให้นำไปใช้ประโยชน์ด้านการค้า
ไม่ว่ากรณีใดๆ ทั้งสิ้น อีกทั้งห้ามมิให้ตัดแปลงเนื้อหาและต้องอ้างอิงถึงเจ้าของเอกสารทุกครั้งที่มีการนำไปใช้

```

/*****/
void Set_Mouse_Position(x,y)
  int x,y;
{
  int fnum=4;
  Cmouse (&fnum, &fnum, &x, &y);
}

/*****/
/* Function number 11 */
/* check mouse is moved or not */
/* if not move return 0 */
/* if move right return 1 */
/* if move left return 2 */
/* if move down return 3 */
/* if move up return 4 */
/*****/
void Mouse_Motion(delta_x,delta_y)
  int *delta_x,*delta_y;
{
  int fnum=11,arg2,arg3,arg4;
  Cmouse (&fnum, &arg2, &arg3, &arg4);
  if (arg3>0) *delta_x=MSE_RIGHT;
  else if (arg3<0) *delta_x=MSE_LEFT;
  else *delta_x=NOT_MOVED;
  if (arg4>0) *delta_y=MSE_DOWN;
  else if (arg4<0) *delta_y=MSE_UP;
  else *delta_y=NOT_MOVED;
}

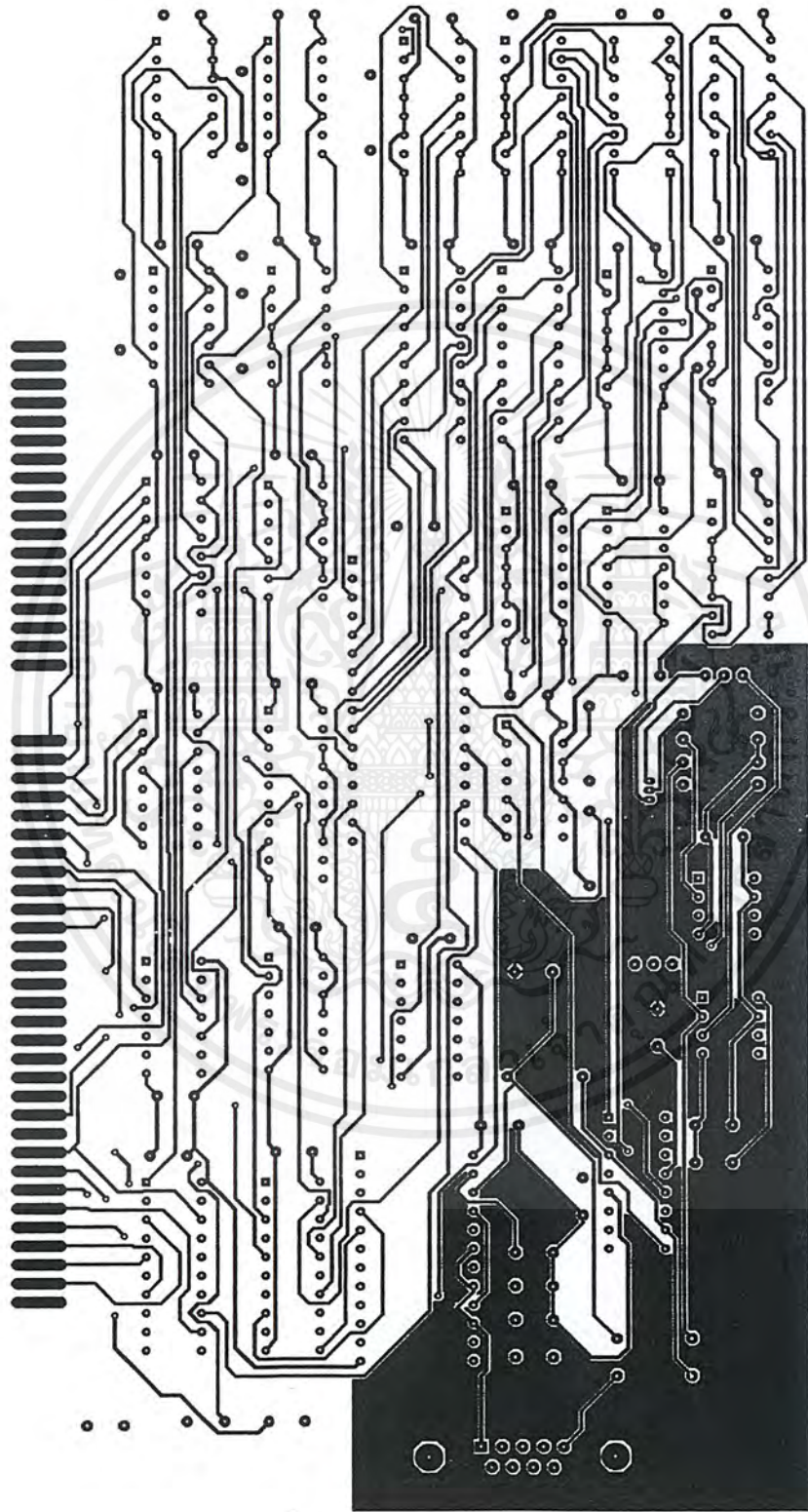
/*****/
/* Function for waiting until mouse button is release */
/*****/
void Wait_On(button)
  int button;
{
  if (button==LEFTB)
    while(Leftb_Pressed());
  else
    while(Rightb_Pressed());
}

```

เอกสารนี้เป็นเอกสารที่สงวนไว้สำหรับการใช้งานเพื่อการศึกษาเท่านั้น ไม่อนุญาตให้นำไปใช้ประโยชน์ด้านการค้า
ไม่ว่ากรณีใดๆ ทั้งสิ้น อีกทั้งห้ามมิให้ตัดแปลงเนื้อหาและต้องอ้างอิงถึงเจ้าของเอกสารทุกครั้งที่มีการนำไปใช้

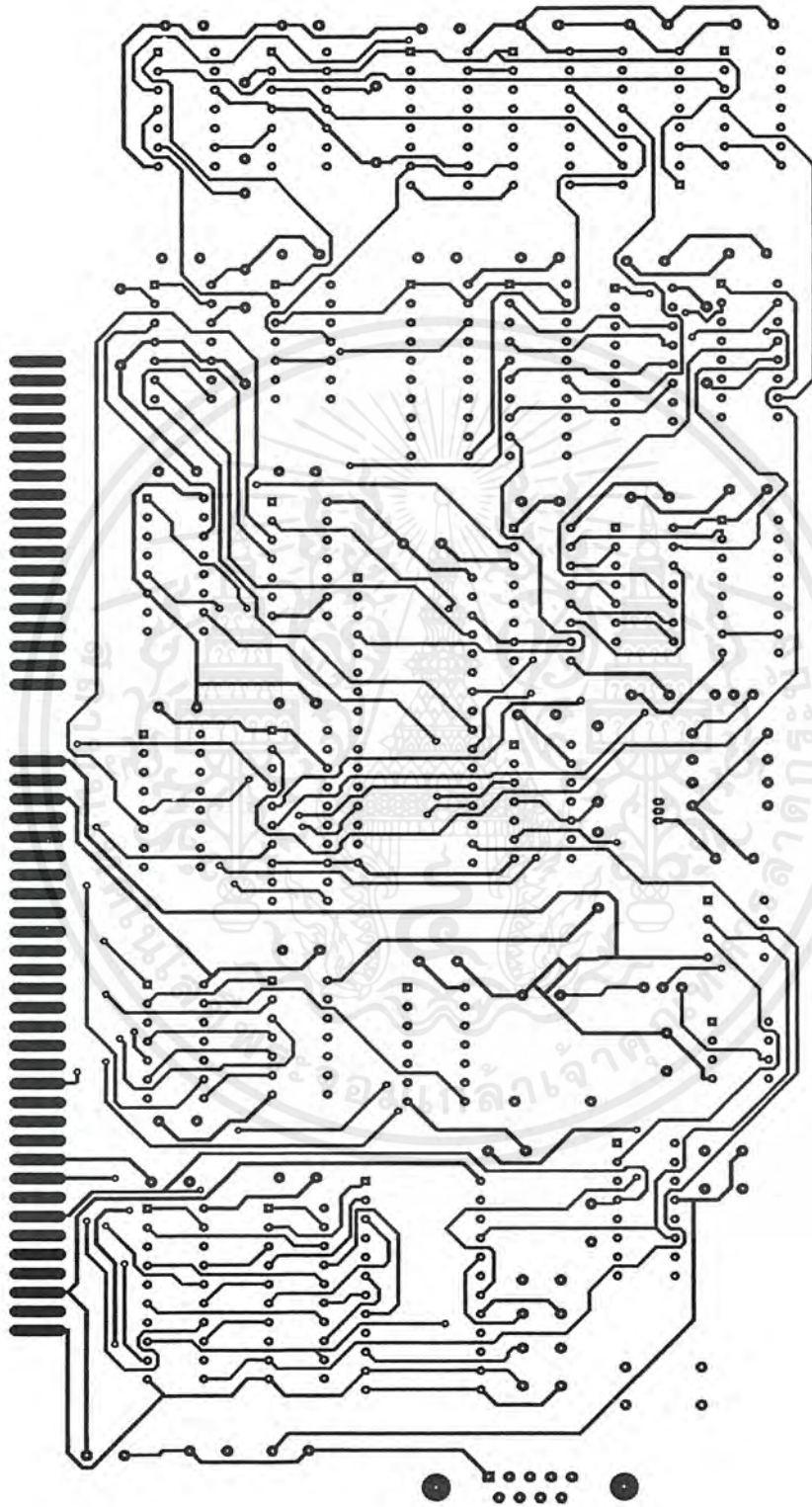


เอกสารนี้เป็นเอกสารที่สงวนไว้สำหรับการใช้งานเพื่อการศึกษาเท่านั้น ไม่อนุญาตให้นำไปใช้ประโยชน์ด้านการค้า
ไม่ว่ากรณีใดๆ ทั้งสิ้น อีกทั้งห้ามมิให้ตัดแปลงเนื้อหาและต้องอ้างอิงถึงเจ้าของเอกสารทุกครั้งที่มีการนำไปใช้



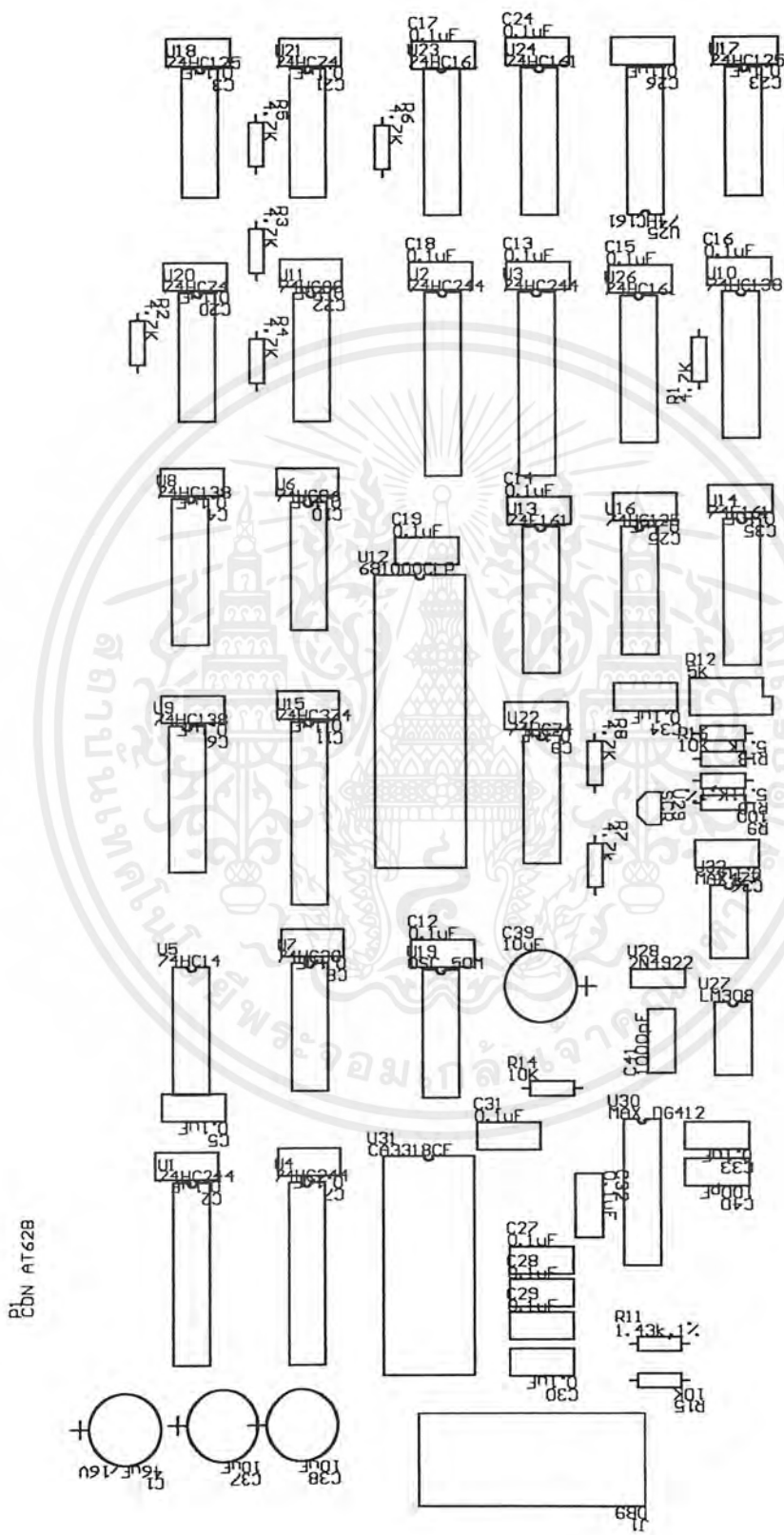
รูปแสดงลายปริ้นท์ทำของจริงด้านบน

เอกสารนี้เป็นเอกสารที่สงวนไว้สำหรับการใช้งานเพื่อการศึกษาเท่านั้น ไม่อนุญาตให้นำไปใช้ประโยชน์ด้านการค้าไม่ว่ากรณีใดๆ ทั้งสิ้น อีกทั้งห้ามมิให้ตัดแปลงเนื้อหาและต้องอ้างอิงถึงเจ้าของเอกสารทุกครั้งที่มีการนำไปใช้



รูปแสดงลายปริ๊นท์เท่าของจริงด้านล่าง

เอกสารนี้เป็นเอกสารที่สงวนไว้สำหรับการใช้งานเพื่อการศึกษาเท่านั้น ไม่อนุญาตให้นำไปใช้ประโยชน์ด้านการค้า
ไม่ว่ากรณีใดๆ ทั้งสิ้น อีกทั้งห้ามมิให้ตัดแปลงเนื้อหาและต้องอ้างอิงถึงเจ้าของเอกสารทุกครั้งที่มีการนำไปใช้



รูปแสดงการวางอุปกรณ์

เอกสารนี้เป็นเอกสารที่สงวนไว้สำหรับการใช้งานเพื่อการศึกษาเท่านั้น ไม่อนุญาตให้นำไปใช้ประโยชน์ด้านการค้า ไม่ว่าจะกรณีใดๆ ทั้งสิ้น อีกทั้งห้ามมิให้ตัดแปลงเนื้อหาและต้องอ้างอิงถึงเจ้าของเอกสารทุกครั้งที่มีการนำไปใช้



เอกสารนี้เป็นเอกสารที่สงวนไว้สำหรับการใช้งานเพื่อการศึกษาเท่านั้น ไม่อนุญาตให้นำไปใช้ประโยชน์ด้านการค้า
ไม่ว่ากรณีใดๆ ทั้งสิ้น อีกทั้งห้ามมิให้ตัดแปลงเนื้อหาและต้องอ้างอิงถึงเจ้าของเอกสารทุกครั้งที่มีการนำไปใช้

CMOS Video Speed, 8-Bit, Flash A/D Converter

August 1997

Features

- CMOS Low Power with SOS Speed (Typ)..... 150mW
- Parallel Conversion Technique
- 15MHz Sampling Rate (Conversion Time)..... 67ns
- 8-Bit Latched Three-State Output with Overflow Bit
- Accuracy (Typ)..... ± 1 LSB
- Single Supply Voltage 4V to 7.5V
- 2 Units in Series Allow 9-Bit Output
- 2 Units in Parallel Allow 30MHz Sampling Rate

Applications

- TV Video Digitizing (Industrial/Security/Broadcast)
- High Speed A/D Conversion
- Ultrasound Signature Analysis
- Transient Signal Analysis
- High Energy Physics Research
- General-Purpose Hybrid ADCs
- Optical Character Recognition
- Radar Pulse Analysis
- Motion Signature Analysis
- μ P Data Acquisition Systems

Description

The CA3318 is a CMOS parallel (FLASH) analog-to-digital converter designed for applications demanding both low power consumption and high speed digitization.

The CA3318 operates over a wide full scale input voltage range of 4V up to 7.5V with maximum power consumption depending upon the clock frequency selected. When operated from a 5V supply at a clock frequency of 15MHz, the typical power consumption of the CA3318 is 150mW.

The intrinsic high conversion rate makes the CA3318 ideally suited for digitizing high speed signals. The overflow bit makes possible the connection of two or more CA3318s in series to increase the resolution of the conversion system. A series connection of two CA3318s may be used to produce a 9-bit high speed converter. Operation of two CA3318s in parallel doubles the conversion speed (i.e., increases the sampling rate from 15MHz to 30MHz).

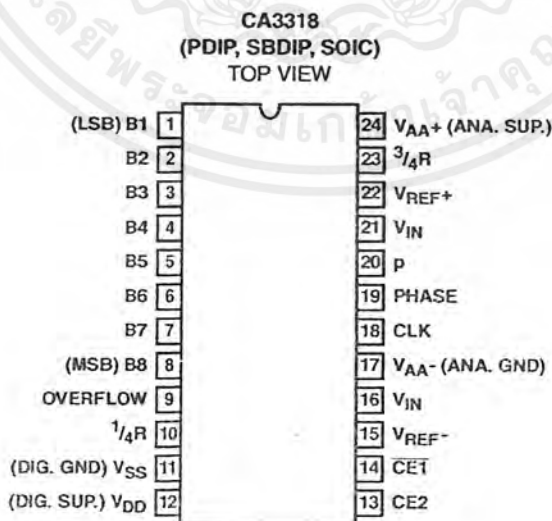
256 paralleled auto balanced voltage comparators measure the input voltage with respect to a known reference to produce the parallel bit outputs in the CA3318.

255 comparators are required to quantize all input voltage levels in this 8-bit converter, and the additional comparator is required for the overflow bit.

Ordering Information

PART NUMBER	LINEARITY (!NL, DNL)	SAMPLING RATE	TEMP. RANGE (°C)	PACKAGE	PKG. NO.
CA3318CE	± 1.5 LSB	15MHz (67ns)	-40 to 85	24 Ld PDIP	E24.6
CA3318CM	± 1.5 LSB	15MHz (67ns)	-40 to 85	24 Ld SOIC	M24.3
CA3318CD	± 1.5 LSB	15MHz (67ns)	-40 to 85	24 Ld SBDIP	D24.6

Pinout

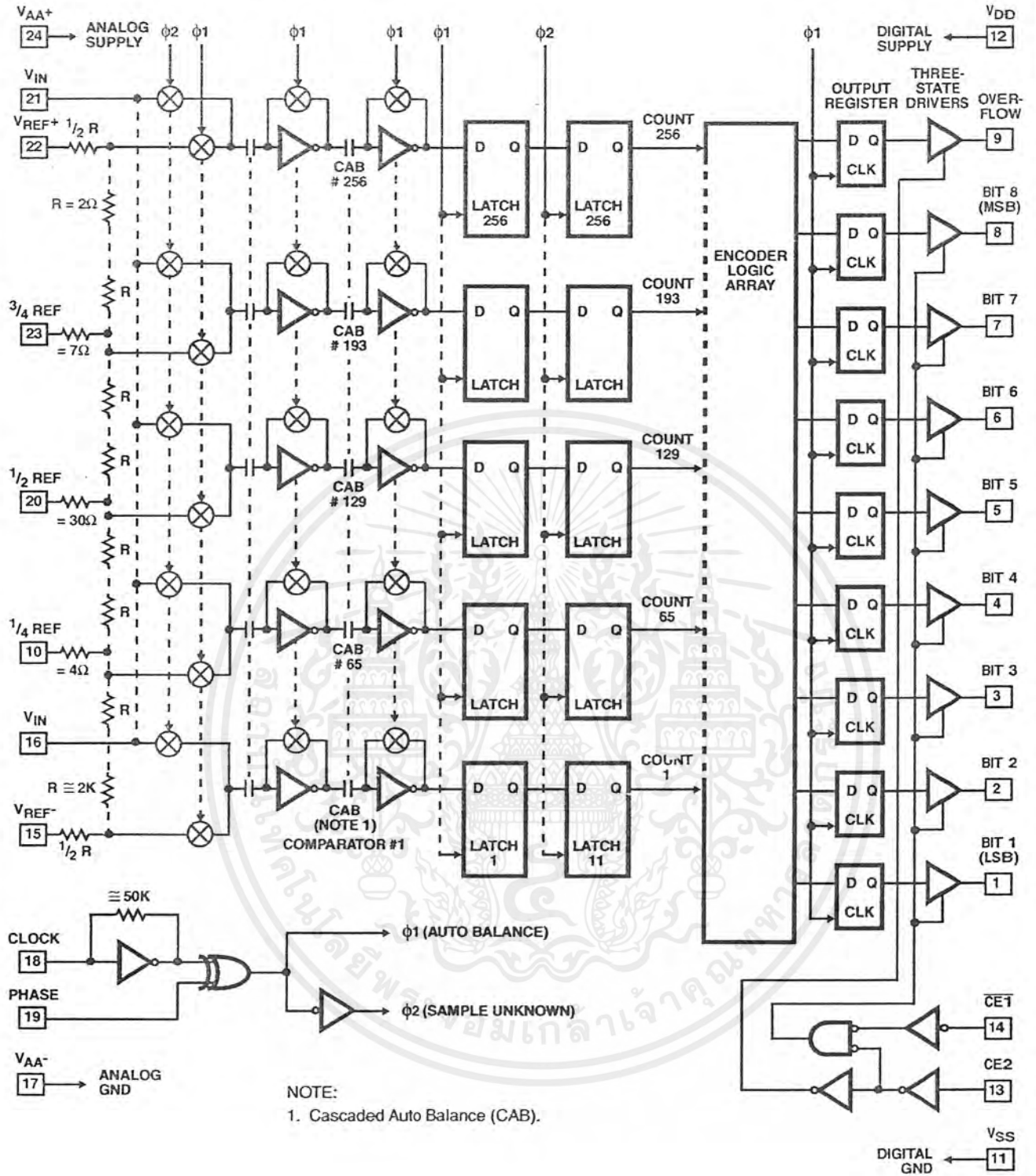


CAUTION: These devices are sensitive to electrostatic discharge; follow proper IC Handling Procedures.
http://www.intersil.com or 407-727-9207 | Copyright © Intersil Corporation 1999

File Number **3103.1**

เอกสารนี้เป็นเอกสารที่สงวนไว้สำหรับการใช้งานเพื่อการศึกษาเท่านั้น ไม่อนุญาตให้นำไปใช้ประโยชน์ด้านการค้า
ไม่ว่ากรณีใดๆ ทั้งสิ้น อีกทั้งห้ามมิให้ดัดแปลงเนื้อหาและต้องอ้างอิงถึงเจ้าของเอกสารทุกครั้งที่มีการนำไปใช้

Functional Block Diagram



Absolute Maximum Ratings

DC Supply Voltage Range (V_{DD} or V_{AA+})	-0.5V to +8V (Referenced to V_{SS} or V_{AA-} Terminal, Whichever is More Negative)
Input Voltage Range	
CE2 and CE1	V_{AA-} -0.5V to V_{DD} + 0.5V
Clock, Phase, V_{REF-} , $1/2$ Ref	V_{AA-} -0.5V to V_{AA+} + 0.5V
Clock, Phase, V_{REF-} , $1/4$ Ref	V_{SS} -0.5V to V_{DD} + 0.5V
V_{IN} , $3/4$ REF, V_{REF+}	V_{AA-} -0.5V to V_{AA+} + 7.5V
Output Voltage Range, Bits 1-8, Overflow (Outputs Off)	V_{SS} - 0.5V to V_{DD} + 0.5V
DC Input Current	± 20 mA
Clock, Phase, $\overline{CE1}$, CE2, V_{IN} , Bits 1-8, Overflow	

Thermal Information

Thermal Resistance (Typical, Note 1)	θ_{JA} ($^{\circ}$ C/W)	θ_{JC} ($^{\circ}$ C/W)
SBDIP Package	60	22
PDIP Package	60	N/A
SOIC Package	75	N/A
Maximum Junction Temperature		
Ceramic Package	175 $^{\circ}$ C	
Plastic Packages	150 $^{\circ}$ C	
Maximum Storage Temperature Range	-65 $^{\circ}$ C to 150 $^{\circ}$ C	
Maximum Lead Temperature (Soldering 10s) (SOIC - Lead Tips Only)	265 $^{\circ}$ C	

Operating Conditions

Operating Voltage Range (V_{DD} or V_{AA+})	4V (Min) to 7.5V (Max)
Recommended V_{AA+} Operating Range	$V_{DD} \pm 1$ V
Recommended V_{AA-} Operating Range	$V_{SS} \pm 1$ V
Operating Temperature Range (T_A)	-40 $^{\circ}$ C to 85 $^{\circ}$ C

CAUTION: Stresses above those listed in "Absolute Maximum Ratings" may cause permanent damage to the device. This is a stress only rating and operation of the device at these or any other conditions above those indicated in the operational sections of this specification is not implied.

NOTE:

- θ_{JA} is measured with the component mounted on an evaluation PC board in free air.

Electrical Specifications At 25 $^{\circ}$ C, $V_{AA+} = V_{DD} = 5$ V, $V_{REF+} = 6.4$ V, $V_{REF-} = V_{AA-} = V_{SS}$, CLK = 15MHz,
All Reference Points Adjusted, Unless Otherwise Specified

PARAMETER	TEST CONDITIONS	MIN	TYP	MAX	UNITS
SYSTEM PERFORMANCE					
Resolution		8	-	-	Bits
Integral Linearity Error		-	-	± 1.5	LSB
Differential Linearity Error		-	-	+1, -0.8	LSB
Offset Error, Unadjusted	$V_{IN} = V_{REF-} + 1/2$ LSB	-0.5	4.5	6.4	LSB
Gain Error Unadjusted	$V_{IN} = V_{REF+} - 1/2$ LSB	-1.5	0	1.5	LSB
DYNAMIC CHARACTERISTICS					
Maximum Input Bandwidth	(Note 1) CA3318	2.5	5.0	-	MHz
Maximum Conversion Speed	CLK = Square Wave	15	17	-	MSPS
Signal to Noise Ratio (SNR) $\frac{RMS_{Signal}}{RMS_{Noise}}$	$f_S = 15$ MHz, $f_{IN} = 100$ kHz	-	47	-	dB
	$f_S = 15$ MHz, $f_{IN} = 4$ MHz	-	43	-	dB
Signal to Noise Ratio (SINAD) $\frac{RMS_{Signal}}{RMS_{Noise+Distortion}}$	$f_S = 15$ MHz, $f_{IN} = 100$ kHz	-	45	-	dB
	$f_S = 15$ MHz, $f_{IN} = 4$ MHz	-	35	-	dB
Total Harmonic Distortion, THD	$f_S = 15$ MHz, $f_{IN} = 100$ kHz	-	-46	-	dBc
	$f_S = 15$ MHz, $f_{IN} = 4$ MHz	-	-36	-	dBc
Effective Number of Bits (ENOB)	$f_S = 15$ MHz, $f_{IN} = 100$ kHz	-	7.2	-	Bits
	$f_S = 15$ MHz, $f_{IN} = 4$ MHz	-	5.5	-	Bits
Differential Gain Error	Unadjusted	-	2	-	%
Differential Phase Error	Unadjusted	-	1	-	%
ANALOG INPUTS					
Full Scale Range, V_{IN} and (V_{REF+}) - (V_{REF-})	Notes 2, 4	4	-	7	V
Input Capacitance, V_{IN}		-	30	-	pF
Input Current, V_{IN} , (See Text)	$V_{IN} = 5$ V, $V_{REF+} = 5$ V	-	-	3.5	mA
REFERENCE INPUTS					
Ladder Impedance		270	500	800	Ω

Electrical Specifications At 25°C, $V_{AA+} = V_{DD} = 5V$, $V_{REF+} = 6.4V$, $V_{REF-} = V_{AA-} = V_{SS}$, CLK = 15MHz,
All Reference Points Adjusted, Unless Otherwise Specified (Continued)

PARAMETER	TEST CONDITIONS	MIN	TYP	MAX	UNITS
DIGITAL INPUTS					
Low Level Input Voltage, V_{OL} CE1, CE2	Note 4	-	-	$0.2V_{DD}$	V
Phase, CLK	Note 4	-	-	$0.2V_{AA}$	V
High Level Input Voltage, V_{IN} CE1, CE2	Note 4	$0.7V_{DD}$	-	-	V
Phase, CLK	Note 4	$0.7V_{AA}$	-	-	V
Input Leakage Current, I_I (Except CLK Input)	Note 3	-	± 0.2	± 5	μA
Input Capacitance, C_I		-	3	-	pF
DIGITAL OUTPUTS					
Output Low (Sink) Current	$V_O = 0.4V$	4	10	-	mA
Output High (Source) Current	$V_O = 4.5V$	-4	-6	-	mA
Three-State Output Off-State Leakage Current, I_{OZ}		-	± 0.2	± 5	μA
Output Capacitance, C_O		-	4	-	pF
TIMING CHARACTERISTICS					
Auto Balance Time ($\phi 1$)		33	-	∞	ns
Sample Time ($\phi 2$)	Note 4	25	-	500	ns
Aperture Delay		-	15	-	ns
Aperture Jitter		-	100	-	ps
Data Valid Time, t_D	Note 4	-	50	65	ns
Data Hold Time, t_H	Note 4	25	40	-	ns
Output Enable Time, t_{EN}		-	18	-	ns
Output Disable Time, t_{DIS}		-	18	-	ns
POWER SUPPLY CHARACTERISTICS					
Device Current ($I_{DD} + I_A$) (Excludes I_{REF})	Continuous Conversion (Note 4)	-	30	60	mA
	Auto Balance ($\phi 1$)	-	30	60	mA

NOTES:

1. A full scale sine wave input of greater than $f_{CLOCK}/2$ or the specified input bandwidth (whichever is less) may cause an erroneous code. The -3dB bandwidth for frequency response purposes is greater than 30MHz.
2. V_{IN} (Full Scale) or V_{REF+} should not exceed $V_{AA+} + 1.5V$ for accuracy.
3. The clock input is a CMOS inverter with a 50k Ω feedback resistor and may be AC coupled with 1V_{p-p} minimum source.
4. Parameter not tested, but guaranteed by design or characterization.

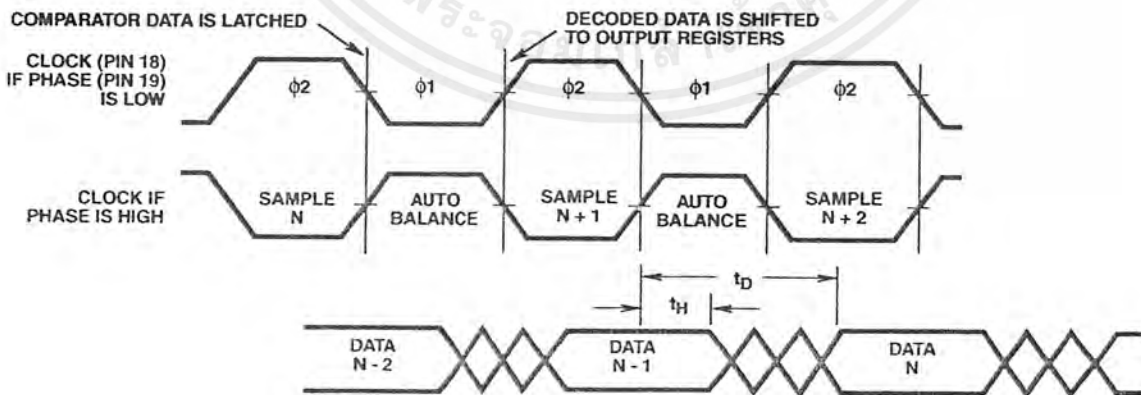
Timing Waveforms

FIGURE 1. INPUT TO OUTPUT TIMING DIAGRAM

74F161A • 74F163A Synchronous Presettable Binary Counter

General Description

The 74F161A and 74F163A are high-speed synchronous modulo-16 binary counters. They are synchronously presettable for application in programmable dividers and have two types of Count Enable inputs plus a Terminal Count output for versatility in forming synchronous multi-stage counters. The 74F161A has an asynchronous Master-Reset input that overrides all other inputs and forces the outputs LOW. The 74F163A has a Synchronous Reset input that overrides counting and parallel loading and allows the outputs to be simultaneously reset on the rising edge of the clock. The 74F161A and 74F163A are high-speed versions of the 74F161 and 74F163.

Features

- Synchronous counting and loading
- High-speed synchronous expansion
- Typical count frequency of 120 MHz

Ordering Code:

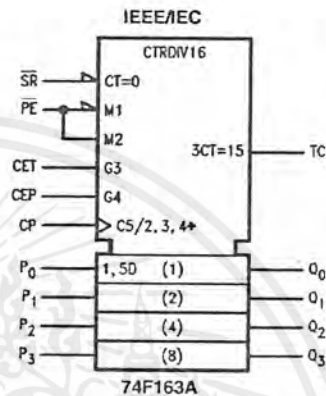
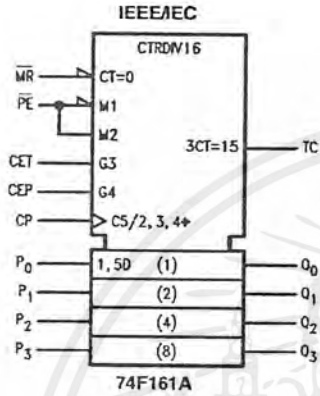
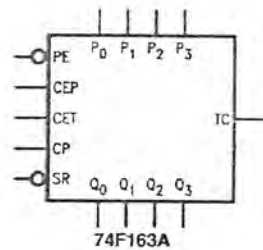
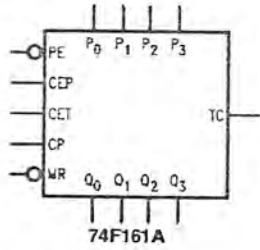
Order Number	Package Number	Package Description
74F161ASC	M16A	16-Lead Small Outline Integrated Circuit (SOIC), JEDEC MS-012, 0.150 Narrow
74F161ASJ	M16D	16-Lead Small Outline Package (SOP), EIAJ TYPE II, 5.3mm Wide
74F161APC	N16E	16-Lead Plastic Dual-In-Line Package (PDIP), JEDEC MS-001, 0.300 Wide
74F163ASC	M16A	16-Lead Small Outline Integrated Circuit (SOIC), JEDEC MS-012, 0.150 Narrow
74F163ASJ	M16D	16-Lead Small Outline Package (SOP), EIAJ TYPE II, 5.3mm Wide
74F163APC	N16E	16-Lead Plastic Dual-In-Line Package (PDIP), JEDEC MS-001, 0.300 Wide

Devices also available in Tape and Reel. Specify by appending the suffix letter "X" to the ordering code.

Connection Diagrams



Logic Symbols



Unit Loading/Fan Out

Pin Names	Description	U.L.	
		HIGH/LOW	Input I_{IH}/I_{IL} Output I_{OH}/I_{OL}
CEP	Count Enable Parallel Input	1.0/1.0	20 μ A-0.6 mA
CET	Count Enable Trickle Input	1.0/2.0	20 μ A-1.2 mA
CP	Clock Pulse Input (Active Rising Edge)	1.0/1.0	20 μ A-0.6 mA
\overline{MR} (74F161A)	Asynchronous Master Reset Input (Active LOW)	1.0/1.0	20 μ A-0.6 mA
\overline{SR} (74F163A)	Synchronous Reset Input (Active LOW)	1.0/2.0	20 μ A-1.2 mA
P_0-P_3	Parallel Data Inputs	1.0/1.0	20 μ A-0.6 mA
\overline{PE}	Parallel Enable Input (Active LOW)	1.0/2.0	20 μ A-1.2 mA
Q_0-Q_3	Flip-Flop Outputs	50/33.3	-1 mA/20 mA
TC	Terminal Count Output	50/33.3	-1 mA/20 mA

เอกสารนี้เป็นเอกสารที่สงวนไว้สำหรับการใช้งานเพื่อการศึกษาเท่านั้น ไม่อนุญาตให้นำไปใช้ประโยชน์ด้านการค้าไม่ว่ากรณีใดๆ ทั้งสิ้น อีกทั้งห้ามมิให้ดัดแปลงเนื้อหาและต้องอ้างอิงถึงเจ้าของเอกสารทุกครั้งที่มีการนำไปใช้

Functional Description

The 74F161A and 74F163A count in modulo-16 binary sequence. From state 15 (HHHH) they increment to state 0 (LLLL). The clock inputs of all flip-flops are driven in parallel through a clock buffer. Thus all changes of the Q outputs (except due to Master Reset of the 74F161A) occur as a result of, and synchronous with, the LOW-to-HIGH transition of the CP input signal. The circuits have four fundamental modes of operation, in order of precedence: asynchronous reset (74F161A), synchronous reset (74F163A), parallel load, count-up and hold. Five control inputs—Master Reset (\overline{MR} , 74F161A), Synchronous Reset (\overline{SR} , 74F163A), Parallel Enable (\overline{PE}), Count Enable Parallel (CEP) and Count Enable Trickle (CET)—determine the mode of operation, as shown in the Mode Select Table. A LOW signal on \overline{MR} overrides all other inputs and asynchronously forces all outputs LOW. A LOW signal on \overline{SR} overrides counting and parallel loading and allows all outputs to go LOW on the next rising edge of CP. A LOW signal on \overline{PE} overrides counting and allows information on the Parallel Data (P_n) inputs to be loaded into the flip-flops on the next

rising edge of CP. With \overline{PE} and \overline{MR} (F161A) or \overline{SR} (74F163A) HIGH, CEP and CET permit counting when both are HIGH. Conversely, a LOW signal on either CEP or CET inhibits counting.

The 74F161A and 74F163A use D-type edge triggered flip-flops and changing the \overline{SR} , \overline{PE} , CEP and CET inputs when the CP is in either state does not cause errors, provided that the recommended setup and hold times, with respect to the rising edge of CP, are observed.

The Terminal Count (TC) output is HIGH when CE is HIGH and the counter is in state 15. To implement synchronous multi-stage counters, the TC outputs can be used with the CEP and CET inputs in two different ways. Please refer to the 74F568 data sheet. The TC output is subject to decoding spikes due to internal race conditions and is therefore not recommended for use as a clock or asynchronous reset for flip-flops, counters or registers.

Logic Equations: Count Enable = CEP • CET • \overline{PE}

$$TC = Q_0 \cdot Q_1 \cdot Q_2 \cdot Q_3 \cdot CET$$

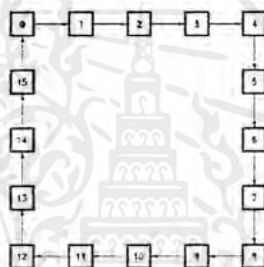
Mode Select Table

\overline{SR} (Note 1)	\overline{PE}	CET	CEP	Action on the Rising Clock Edge (\nearrow)
L	X	X	X	Reset (Clear)
H	L	X	X	Load ($P_n \rightarrow Q_n$)
H	H	H	H	Count (Increment)
H	H	L	X	No Change (Hold)
H	H	X	L	No Change (Hold)

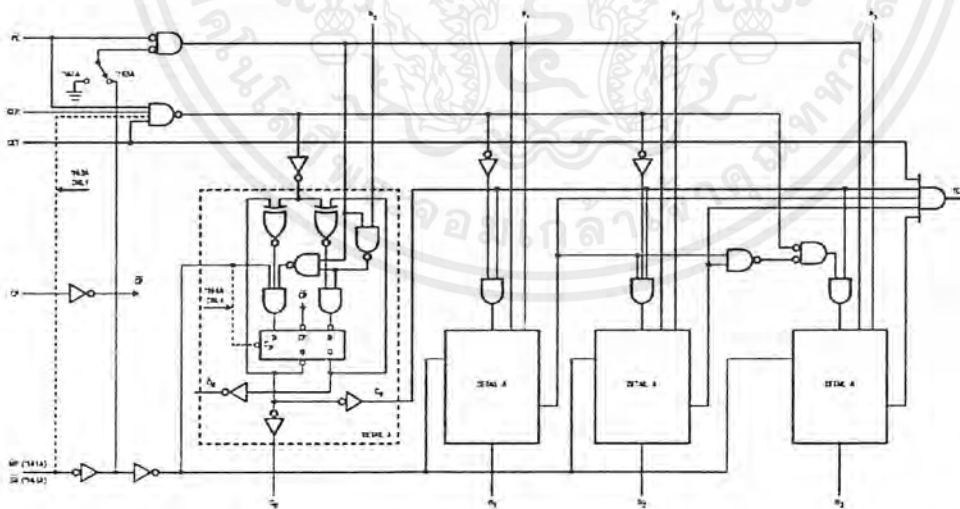
H = HIGH Voltage Level
L = LOW Voltage Level
X = Immaterial

**Note 1: For 74F163A only

State Diagram



Block Diagram



เอกสารนี้เป็นเอกสารที่สงวนไว้สำหรับการใช้งานเพื่อการศึกษาเท่านั้น ไม่อนุญาตให้นำไปใช้ประโยชน์ด้านการค้า
ไม่ว่ากรณีใดๆ ทั้งสิ้น อีกทั้งห้ามมิให้ดัดแปลงเนื้อหาและต้องอ้างอิงถึงเจ้าของเอกสารทุกครั้งที่มีการนำไปใช้

Absolute Maximum Ratings(Note 2)

Storage Temperature	-65°C to +150°C
Ambient Temperature under Bias	-55°C to +125°C
Junction Temperature under Bias	-55°C to +150°C
V _{CC} Pin Potential to Ground Pin	-0.5V to +7.0V
Input Voltage (Note 3)	-0.5V to +7.0V
Input Current (Note 3)	-30 mA to +5.0 mA
Voltage Applied to Output in HIGH State (with V _{CC} = 0V)	
Standard Output	-0.5V to V _{CC}
3-STATE Output	-0.5V to +5.5V
Current Applied to Output in LOW State (Max)	twice the rated I _{OL} (mA)
ESD Last Passing Voltage (Min)	4000V

Recommended Operating Conditions

Free Air Ambient Temperature	0°C to +70°C
Supply Voltage	+4.5V to +5.5V

Note 2: Absolute maximum ratings are values beyond which the device may be damaged or have its useful life impaired. Functional operation under these conditions is not implied.

Note 3: Either voltage limit or current limit is sufficient to protect inputs.

DC Electrical Characteristics

Symbol	Parameter	Min	Typ	Max	Units	V _{CC}	Conditions
V _{IH}	Input HIGH Voltage	2.0			V		Recognized as a HIGH Signal
V _{IL}	Input LOW Voltage			0.8	V		Recognized as a LOW Signal
V _{CD}	Input Clamp Diode Voltage			-1.2	V	Min	I _{IN} = -18 mA
V _{OH}	Output HIGH Voltage	10% V _{CC}	2.5		V	Min	
		5% V _{CC}	2.7				
V _{OL}	Output LOW Voltage			0.5	V	Min	I _{OL} = 20 mA
I _{IH}	Input HIGH Current			5.0	μA	Max	V _{IN} = 2.7V
I _{BI}	Input HIGH Current Breakdown Test			7.0	μA	Max	V _{IN} = 7.0V
I _{CEX}	Output HIGH Leakage Current			50	μA	Max	V _{OUT} = V _{CC}
V _{ID}	Input Leakage Test	4.75			V	0.0	I _{ID} = 1.9 μA All Other Pins Grounded
I _{OD}	Output Leakage Circuit Current			3.75	μA	0.0	V _{IOD} = 150 mV All Other Pins Grounded
I _{IL}	Input LOW Current			-0.6	mA	Max	V _{IN} = 0.5V (CEP, CP, MR, P ₀ -P ₃)
				-1.2	mA	Max	V _{IN} = 0.5V (CET, PE, SR)
I _{OS}	Output Short-Circuit Current	-60		-150	mA	Max	V _{OUT} = 0V
I _{CC}	Power Supply Current		37	55	mA	Max	

LM108/LM208/LM308 Operational Amplifiers

General Description

The LM108 series are precision operational amplifiers having specifications a factor of ten better than FET amplifiers over a -55°C to $+125^{\circ}\text{C}$ temperature range.

The devices operate with supply voltages from $\pm 2\text{V}$ to $\pm 20\text{V}$ and have sufficient supply rejection to use unregulated supplies. Although the circuit is interchangeable with and uses the same compensation as the LM101A, an alternate compensation scheme can be used to make it particularly insensitive to power supply noise and to make supply bypass capacitors unnecessary.

The low current error of the LM108 series makes possible many designs that are not practical with conventional amplifiers. In fact, it operates from $10\text{ M}\Omega$ source resistances,

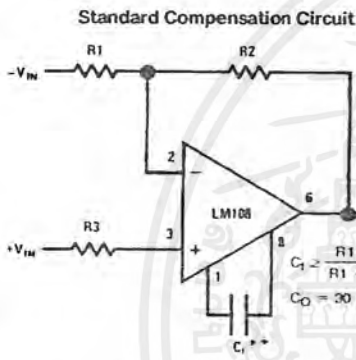
introducing less error than devices like the 709 with $10\text{ k}\Omega$ sources. Integrators with drifts less than $500\ \mu\text{V}/\text{sec}$ and analog time delays in excess of one hour can be made using capacitors no larger than $1\ \mu\text{F}$.

The LM108 is guaranteed from -55°C to $+125^{\circ}\text{C}$, the LM208 from -25°C to $+85^{\circ}\text{C}$, and the LM308 from 0°C to $+70^{\circ}\text{C}$.

Features

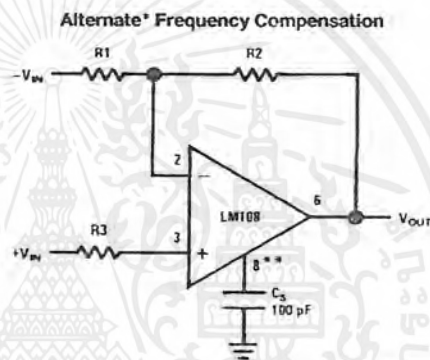
- Maximum input bias current of $3.0\ \text{nA}$ over temperature
- Offset current less than $400\ \text{pA}$ over temperature
- Supply current of only $300\ \mu\text{A}$, even in saturation
- Guaranteed drift characteristics

Compensation Circuits



TL/H/7758-1

**Bandwidth and slew rate are proportional to $1/C_1$

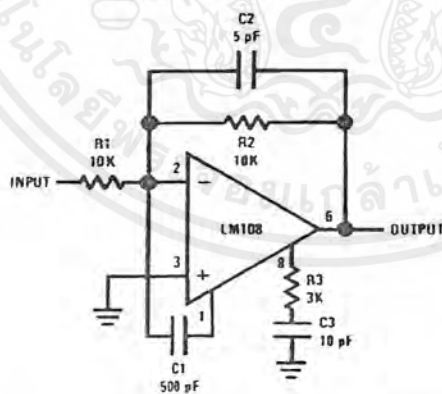


TL/H/7758-2

*Improves rejection of power supply noise by a factor of ten.

**Bandwidth and slew rate are proportional to $1/C_3$

Feedforward Compensation



TL/H/7758-3

เอกสารนี้เป็นเอกสารที่สงวนไว้สำหรับการใช้งานเพื่อการศึกษาเท่านั้น ไม่อนุญาตให้นำไปใช้ประโยชน์ด้านการค้า
 ไม่ว่ากรณีใดๆ ทั้งสิ้น อีกทั้งห้ามมิให้ดัดแปลงเนื้อหาและต้องอ้างอิงถึงเจ้าของเอกสารทุกครั้งที่มีการนำไปใช้

Absolute Maximum Ratings

If Military/Aerospace specified devices are required, please contact the National Semiconductor Sales Office/Distributors for availability and specifications.
(Note 5)

	LM108/LM208	LM308
Supply Voltage	±20V	±18V
Power Dissipation (Note 1)	500 mW	500 mW
Differential Input Current (Note 2)	±10 mA	±10 mA
Input Voltage (Note 3)	±15V	±15V
Output Short-Circuit Duration	Continuous	Continuous
Operating Temperature Range (LM108)	-55°C to +125°C	0°C to +70°C
(LM208)	-25°C to +85°C	
Storage Temperature Range	-65°C to +150°C	-65°C to +150°C
Lead Temperature (Soldering, 10 sec)		
DIP	260°C	260°C
H Package Lead Temp (Soldering 10 seconds)	300°C	300°C
Soldering Information		
Dual-In-Line Package		
Soldering (10 seconds)	260°C	
Small Outline Package		
Vapor Phase (60 seconds)	215°C	
Infrared (15 seconds)	220°C	
See AN-450 "Surface Mounting Methods and Their Effect on Product Reliability" for other methods of soldering surface mount devices.		
ESD Tolerance (Note 6)	2000V	

Electrical Characteristics (Note 4)

Parameter	Condition	LM108/LM208			LM308			Units
		Min	Typ	Max	Min	Typ	Max	
Input Offset Voltage	$T_A = 25^\circ\text{C}$		0.7	2.0		2.0	7.5	mV
Input Offset Current	$T_A = 25^\circ\text{C}$		0.05	0.2		0.2	1	nA
Input Bias Current	$T_A = 25^\circ\text{C}$		0.8	2.0		1.5	7	nA
Input Resistance	$T_A = 25^\circ\text{C}$	30	70		10	40		MΩ
Supply Current	$T_A = 25^\circ\text{C}$		0.3	0.6		0.3	0.8	mA
Large Signal Voltage Gain	$T_A = 25^\circ\text{C}, V_S = \pm 15\text{V}$ $V_{OUT} = \pm 10\text{V}, R_L \geq 10\text{ k}\Omega$	50	300		25	300		V/mV
Input Offset Voltage				3.0			10	mV
Average Temperature Coefficient of Input Offset Voltage			3.0	15		6.0	30	$\mu\text{V}/^\circ\text{C}$
Input Offset Current				0.4			1.5	nA
Average Temperature Coefficient of Input Offset Current			0.5	2.5		2.0	10	$\text{pA}/^\circ\text{C}$
Input Bias Current				3.0			10	nA
Supply Current	$T_A = +125^\circ\text{C}$		0.15	0.4				mA
Large Signal Voltage Gain	$V_S = \pm 15\text{V}, V_{OUT} = \pm 10\text{V}$ $R_L \geq 10\text{ k}\Omega$	25			15			V/mV
Output Voltage Swing	$V_S = \pm 15\text{V}, R_L = 10\text{ k}\Omega$	±13	±14		±13	±14		V

Electrical Characteristics (Note 4) (Continued)

Parameter	Condition	LM108/LM208			LM308			Units
		Min	Typ	Max	Min	Typ	Max	
Input Voltage Range	$V_S = \pm 15V$	± 13.5			± 14			V
Common Mode Rejection Ratio		85	100		80	100		dB
Supply Voltage Rejection Ratio		80	96		80	96		dB

Note 1: The maximum junction temperature of the LM108 is 150°C, for the LM208, 100°C and for the LM308, 85°C. For operating at elevated temperatures, devices in the H08 package must be derated based on a thermal resistance of 160°C/W, junction to ambient, or 20°C/W, junction to case. The thermal resistance of the dual-in-line package is 100°C/W, junction to ambient.

Note 2: The inputs are shunted with back-to-back diodes for overvoltage protection. Therefore, excessive current will flow if a differential input voltage in excess of 1V is applied between the inputs unless some limiting resistance is used.

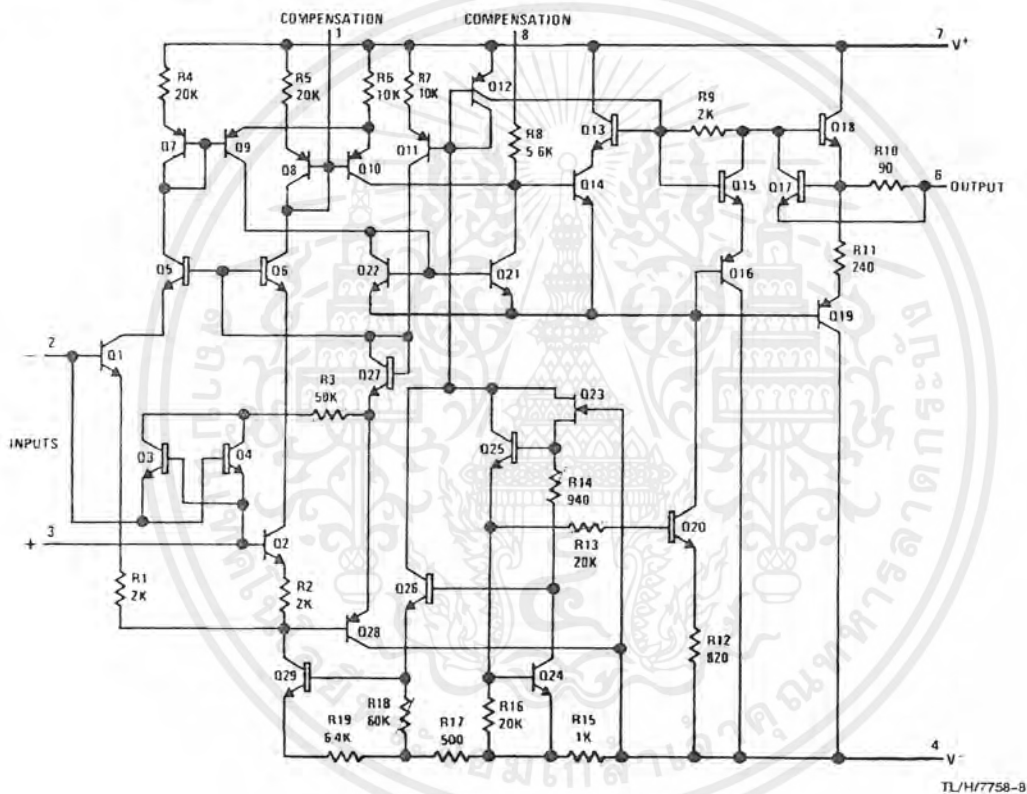
Note 3: For supply voltages less than $\pm 15V$, the absolute maximum input voltage is equal to the supply voltage.

Note 4: These specifications apply for $\pm 5V \leq V_S \leq \pm 20V$ and $-55^\circ C \leq T_A \leq +125^\circ C$, unless otherwise specified. With the LM208, however, all temperature specifications are limited to $-25^\circ C \leq T_A \leq 85^\circ C$, and for the LM308 they are limited to $0^\circ C \leq T_A \leq 70^\circ C$.

Note 5: Refer to RETS108X for LM108 military specifications and RETS 108AX for LM108A military specifications.

Note 6: Human body model, 1.5 k Ω in series with 100 pF.

Schematic Diagram



เอกสารนี้เป็นเอกสารที่สงวนไว้สำหรับการใช้งานเพื่อการศึกษาเท่านั้น ไม่อนุญาตให้นำไปใช้ประโยชน์ด้านการค้า
ไม่ว่ากรณีใดๆ ทั้งสิ้น อีกทั้งห้ามมิให้ตัดแปลงเนื้อหาและต้องอ้างอิงถึงเจ้าของเอกสารทุกครั้งที่มีการนำไปใช้

128K x8 bit Low Power CMOS Static RAM

FEATURES

- Process Technology: TFT
- Organization: 128K x8
- Power Supply Voltage: 4.5-5.5V
- Low Data Retention Voltage: 2V(Min)
- Three state output and TTL Compatible
- Package Type: 32-DIP-600, 32-SOP-525, 32-TSOP1-0820F/R

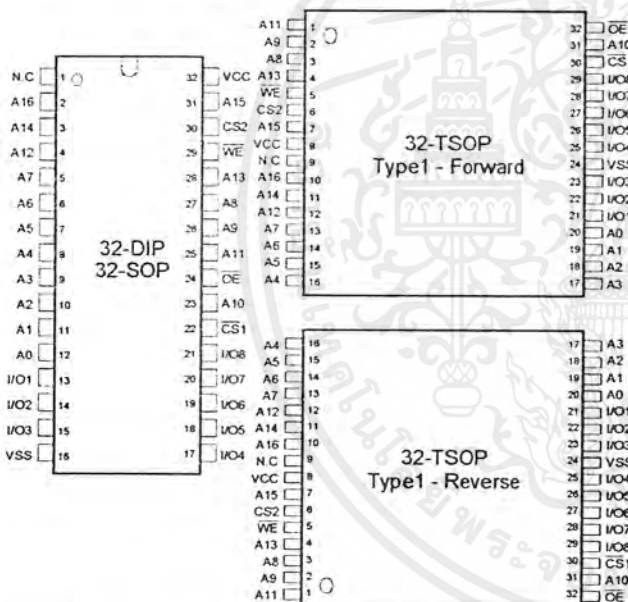
GENERAL DESCRIPTION

The KM681000C families are fabricated by SAMSUNG's advanced CMOS process technology. The families support various operating temperature ranges and have various package types for user flexibility of system design. The families also support low data retention voltage for battery back-up operation with low data retention current.

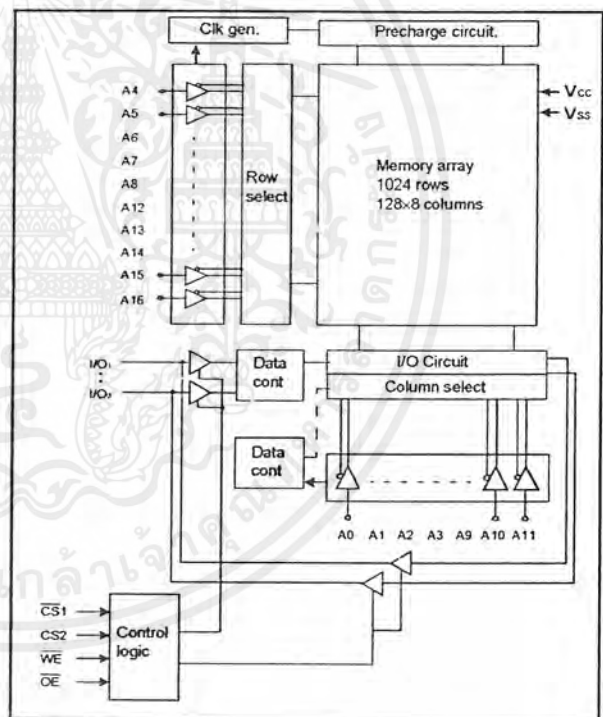
PRODUCT FAMILY

Product Family	Operating Temperature	Vcc Range	Speed	Power Dissipation		PKG Type
				Standby (I _{SB1} , Max)	Operating (I _{CC2} , Max)	
KM681000CL KM681000CL-L	Commercial(0~70°C)	4.5~5.5V	55/70ns	50µA 10µA	60mA	32-DIP, 32-SOP 32-TSOP1-F/R
KM681000CLI KM681000CLI-L	Industrial(-40~85°C)			50µA 15µA		

PIN DESCRIPTION



FUNCTIONAL BLOCK DIAGRAM



Name	Function	Name	Function
CS1, CS2	Chip Select Inputs	I/O1~I/O8	Data Inputs/Out-
OE	Output Enable	Vcc	Power
WE	Write Enable	Vss	Ground
A0~A16	Address Inputs	N.C	No Connection

SAMSUNG ELECTRONICS CO., LTD. reserves the right to change products and specifications without notice.



เอกสารนี้เป็นเอกสารที่สงวนไว้สำหรับการใช้งานเพื่อการศึกษาเท่านั้น ไม่อนุญาตให้นำไปใช้ประโยชน์ด้านการค้า
ไม่ว่ากรณีใดๆ ทั้งสิ้น อีกทั้งห้ามมิให้ดัดแปลงเนื้อหาและต้องอ้างอิงถึงเจ้าของเอกสารทุกครั้งที่มีการนำไปใช้

PRODUCT LIST

Commercial Temperature Products(0~70°C)		Industrial Temperature Products(-40~85°C)	
Part Name	Function	Part Name	Function
KM681000CLP-5	32-DIP, 55ns, L-pwr	KM681000CLGI-7	32-SOP, 70ns, L-pwr
KM681000CLP-7	32-DIP, 70ns, L-pwr	KM681000CLGI-7L	32-SOP, 70ns, LL-pwr
KM681000CLP-5L	32-DIP, 55ns, LL-pwr		
KM681000CLP-7L	32-DIP, 70ns, LL-pwr	KM681000CLTI-7L	32-TSOP1-F, 70ns, LL-pwr
KM681000CLG-5	32-SOP, 55ns, L-pwr	KM681000CLRI-7L	32-TSOP1-R, 70ns, LL-pwr
KM681000CLG-7	32-SOP, 70ns, L-pwr		
KM681000CLG-5L	32-SOP, 55ns, LL-pwr		
KM681000CLG-7L	32-SOP, 70ns, LL-pwr		
KM681000CLT-5L	32-TSOP1-F, 55ns, LL-pwr		
KM681000CLT-7L	32-TSOP1-F, 70ns, LL-pwr		
KM681000CLR-5L	32-TSOP1-R, 55ns, LL-pwr		
KM681000CLR-7L	32-TSOP1-R, 70ns, LL-pwr		

FUNCTIONAL DESCRIPTION

CS1	CS2	OE	WE	I/O Pin	Mode	Power
H	X ¹⁾	X ¹⁾	X ¹⁾	High-Z	Deselected	Standby
X ¹⁾	L	X ¹⁾	X ¹⁾	High-Z	Deselected	Standby
L	H	H	H	High-Z	Output Disable	Active
L	H	L	H	Dout	Read	Active
L	H	X ¹⁾	L	Din	Write	Active

1. X means don't care(Must be in high or low status.)

ABSOLUTE MAXIMUM RATINGS¹⁾

Item	Symbol	Ratings	Unit	Remark
Voltage on any pin relative to Vss	VIN, VOUT	-0.5 to 7.0	V	-
Voltage on Vcc supply relative to Vss	Vcc	-0.5 to 7.0	V	-
Power Dissipation	Pd	1.0	W	-
Storage temperature	Tstg	-65 to 150	°C	-
Operating Temperature	TA	0 to 70	°C	KM681000CL
		-40 to 85	°C	KM681000CLI
Soldering temperature and time	TSOLDER	260°C, 10sec (Lead Only)	-	-

1. Stresses greater than those listed under "Absolute Maximum Ratings" may cause permanent damage to the device. Functional operation should be restricted to recommended operating condition. Exposure to absolute maximum rating conditions for extended periods may affect reliability.

LM136-2.5/LM236-2.5/LM336-2.5V Reference Diode

General Description

The LM136-2.5/LM236-2.5 and LM336-2.5 integrated circuits are precision 2.5V shunt regulator diodes. These monolithic IC voltage references operate as a low-temperature-coefficient 2.5V zener with 0.2Ω dynamic impedance. A third terminal on the LM136-2.5 allows the reference voltage and temperature coefficient to be trimmed easily.

The LM136-2.5 series is useful as a precision 2.5V low voltage reference for digital voltmeters, power supplies or op amp circuitry. The 2.5V make it convenient to obtain a stable reference from 5V logic supplies. Further, since the LM136-2.5 operates as a shunt regulator, it can be used as either a positive or negative voltage reference.

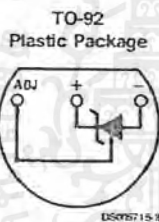
The LM136-2.5 is rated for operation over -55°C to +125°C while the LM236-2.5 is rated over a -25°C to +85°C temperature range.

The LM336-2.5 is rated for operation over a 0°C to +70°C temperature range. See the connection diagrams for available packages.

Features

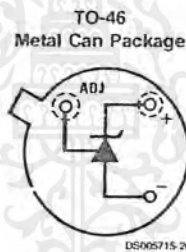
- Low temperature coefficient
- Wide operating current of 400 μA to 10 mA
- 0.2Ω dynamic impedance
- ±1% initial tolerance available
- Guaranteed temperature stability
- Easily trimmed for minimum temperature drift
- Fast turn-on
- Three lead transistor package

Connection Diagrams



Bottom View

Order Number LM236Z-2.5,
LM236AZ-2.5, LM336Z-2.5 or LM336BZ-2.5
See NS Package Number Z03A



Bottom View

Order Number LM136H-2.5,
LM136H-2.5/883, LM236H-2.5,
LM136AH-2.5, LM136AH-2.5/883
or LM236AH-2.5
See NS Package Number H03H

Absolute Maximum Ratings (Note 1)

If Military/Aerospace specified devices are required, please contact the National Semiconductor Sales Office/Distributors for availability and specifications.

Reverse Current	15 mA
Forward Current	10 mA
Storage Temperature	-60°C to +150°C

Operating Temperature Range (Note 2)

LM136	-55°C to +150°C
LM236	-25°C to +85°C
LM336	0°C to +70°C

Soldering Information

TO-92 Package (10 sec.)	260°C
TO-46 Package (10 sec.)	300°C
SO Package	
Vapor Phase (60 sec.)	215°C
Infrared (15 sec.)	220°C

See AN-450 "Surface Mounting Methods and Their Effect on Product Reliability" (Appendix D) for other methods of soldering surface mount devices.

Electrical Characteristics (Note 3)

Parameter	Conditions	LM136A-2.5/LM236A-2.5			LM336B-2.5			Units
		LM136-2.5/LM236-2.5			LM336-2.5			
		Min	Typ	Max	Min	Typ	Max	
Reverse Breakdown Voltage	$T_A=25^\circ\text{C}$, $I_R=1\text{ mA}$ LM136, LM236, LM336	2.440	2.490	2.540	2.390	2.490	2.590	V
	LM136A, LM236A, LM336B	2.465	2.490	2.515	2.440	2.490	2.540	V
Reverse Breakdown Change With Current	$T_A=25^\circ\text{C}$, $400\ \mu\text{A} \leq I_R \leq 10\text{ mA}$		2.6	6		2.6	10	mV
Reverse Dynamic Impedance	$T_A=25^\circ\text{C}$, $I_R=1\text{ mA}$, $f=100\text{ Hz}$		0.2	0.6		0.2	1	Ω
Temperature Stability (Note 4)	V_R Adjusted to 2.490V $I_R=1\text{ mA}$, Figure 2 $0^\circ\text{C} \leq T_A \leq 70^\circ\text{C}$ (LM336)					1.8	6	mV
	$-25^\circ\text{C} \leq T_A \leq +85^\circ\text{C}$ (LM236H, LM236Z)		3.5	9				mV
	$-25^\circ\text{C} \leq T_A \leq +85^\circ\text{C}$ (LM236M)		7.5	18				mV
	$-55^\circ\text{C} \leq T_A \leq +125^\circ\text{C}$ (LM136)		12	18				mV
Reverse Breakdown Change With Current	$400\ \mu\text{A} \leq I_R \leq 10\text{ mA}$		3	10		3	12	mV
Reverse Dynamic Impedance	$I_R=1\text{ mA}$		0.4	1		0.4	1.4	Ω
Long Term Stability	$T_A=25^\circ\text{C} \pm 0.1^\circ\text{C}$, $I_R=1\text{ mA}$, $t=1000\text{ hrs}$		20			20		ppm

Note 1: Absolute Maximum Ratings indicate limits beyond which damage to the device may occur. Electrical specifications do not apply when operating the device beyond its specified operating conditions.

Note 2: For elevated temperature operation, T_J max is:

LM136	150°C
LM236	125°C
LM336	100°C

Thermal Resistance	TO-92	TO-46	SO-8
θ_{JA} (Junction to Ambient)	180°C/W (0.4" leads) 170°C/W (0.125" lead)	440°C/W	165°C/W
θ_{JC} (Junction to Case)	n/a	80°C/W	n/a

Note 3: Unless otherwise specified, the LM136-2.5 is specified from $-55^\circ\text{C} \leq T_A \leq +125^\circ\text{C}$, the LM236-2.5 from $-25^\circ\text{C} \leq T_A \leq +85^\circ\text{C}$ and the LM336-2.5 from $0^\circ\text{C} \leq T_A \leq +70^\circ\text{C}$.

Note 4: Temperature stability for the LM336 and LM236 family is guaranteed by design. Design limits are guaranteed (but not 100% production tested) over the indicated temperature and supply voltage ranges. These limits are not used to calculate outgoing quality levels. Stability is defined as the maximum change in V_{RH} from 25°C to T_A (min) or T_A (max).

เอกสารนี้เป็นเอกสารที่สงวนไว้สำหรับการใช้งานเพื่อการศึกษาเท่านั้น ไม่อนุญาตให้นำไปใช้ประโยชน์ด้านการค้า
ไม่ว่ากรณีใดๆ ทั้งสิ้น อีกทั้งห้ามมิให้ดัดแปลงเนื้อหาและต้องอ้างอิงถึงเจ้าของเอกสารทุกครั้งที่มีการนำไปใช้

RECOMMENDED DC OPERATING CONDITIONS¹⁾

Item	Symbol	Min	Typ	Max	Unit
Supply voltage	V _{CC}	4.5	5.0	5.5	V
Ground	V _{SS}	0	0	0	V
Input high voltage	V _{IH}	2.2	-	V _{CC} +0.5 ²⁾	V
Input low voltage	V _{IL}	-0.5 ³⁾	-	0.8	V

- Note
1. Commercial Product : T_A=0 to 70°C and Industrial Product : T_A=-40 to 85°C, otherwise specified.
 2. Overshoot : V_{CC}+3.0V for ≤30ns pulse width.
 3. Undershoot : -3.0V for ≤30ns pulse width.
 4. Overshoot and undershoot are sampled, not 100% tested.

CAPACITANCE¹⁾ (f=1MHz, T_A=25°C)

Item	Symbol	Test Condition	Min	Max	Unit
Input capacitance	C _{IN}	V _{IN} =0V	-	6	pF
Input/Output capacitance	C _{IO}	V _{IO} =0V	-	8	pF

1. Capacitance is sampled not, 100% tested.

DC AND OPERATING CHARACTERISTICS

Item	Symbol	Test Conditions	Min	Typ	Max	Unit		
Input leakage current	I _I	V _{IN} =V _{SS} to V _{CC}	-1	-	1	μA		
Output leakage current	I _O	$\overline{CS1}=V_{IH}$ or $\overline{CS2}=V_{IL}$ or $\overline{OE}=V_{IH}$ or $\overline{WE}=V_{IL}$, V _{IO} =V _{SS} to V _{CC}	-1	-	1	μA		
Operating power supply current	I _{CC}	I _{IO} =0mA, $\overline{CS1}=V_{IL}$, $\overline{CS2}=V_{IH}$, V _{IN} =V _{IH} or V _{IL} , Read	-	5	10	mA		
Average operating current	I _{CC1}	Cycle time=1μs, 100% duty, I _{IO} =0mA, $\overline{CS1} \leq 0.2V$, $\overline{CS2} \geq V_{CC}-0.2V$, V _{IN} ≤ 0.2V or V _{IN} ≥ V _{CC} -0.2V	Read	-	2	5	mA	
			Write	-	20	35		
	I _{CC2}	Cycle time=Min, 100% duty, I _{IO} =0mA, $\overline{CS1}=V_{IL}$, $\overline{CS2}=V_{IH}$, V _{IN} =V _{IL} or V _{IH}	-	45	60	mA		
Output low voltage	V _{OL}	I _{OL} =2.1mA	-	-	0.4	V		
Output high voltage	V _{OH}	I _{OH} =-1.0mA	2.4	-	-	V		
Standby Current(TTL)	I _{SB}	$\overline{CS1}=V_{IH}$, $\overline{CS2}=V_{IL}$, Other input=V _{IL} or V _{IH}	-	-	3	mA		
Standby Current (CMOS)	KM681000CL	$\overline{CS1} \geq V_{CC}-0.2V$, $\overline{CS2} \geq V_{CC}-0.2V$ or $\overline{CS2} \leq 0.2V$ Other input = 0-V _{CC}	I _{SB1}	Low Power	-	1	50	μA
	Low Low Power			-	0.3	10		
	Low power			-	1	50		
	Low Low Power			-	0.3	15		

LM6161/LM6261/LM6361 High Speed Operational Amplifier

General Description

The LM6161 family of high-speed amplifiers exhibits an excellent speed-power product in delivering 300 V/ μ s and 50 MHz unity gain stability with only 5 mA of supply current. Further power savings and application convenience are possible by taking advantage of the wide dynamic range in operating supply voltage which extends all the way down to +5V.

These amplifiers are built with National's VIP™ (Vertically Integrated PNP) process which provides fast PNP transistors that are true complements to the already fast NPN devices. This advanced junction-isolated process delivers high speed performance without the need for complex and expensive dielectric isolation.

Features

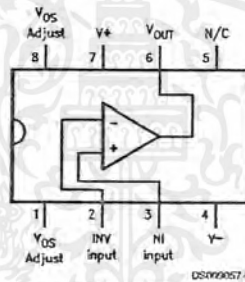
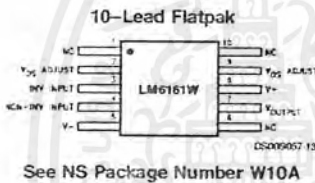
- High slew rate 300 V/ μ s

- High unity gain freq 50 MHz
- Low supply current 5 mA
- Fast settling 120 ns to 0.1%
- Low differential gain <0.1%
- Low differential phase 0.1°
- Wide supply range 4.75V to 32V
- Stable with unlimited capacitive load
- Well behaved; easy to apply

Applications

- Video amplifier
- High-frequency filter
- Wide-bandwidth signal conditioning
- Radar
- Sonar

Connection Diagrams



Temperature Range			Package	NSC Drawing
Military -55°C ≤ T _A ≤ +125°C	Industrial -25°C ≤ T _A ≤ +85°C	Commercial 0°C ≤ T _A ≤ +70°C		
	LM6261N	LM6361N	8-Pin Molded DIP	N08E
LM6161J/883 5962-8962101PA		LM6361J	8-Pin Ceramic DIP	J08A
	LM6261M	LM6361M	8-Pin Molded Surface Mt.	M08A
LM6161WG/883 5962-8962101XA			10-Lead Ceramic SOIC	WG10A
LM6161W/883 5962-8962101HA			10-Pin Ceramic Flatpak	W10A

VIP™ is a trademark of National Semiconductor Corporation.

เอกสารนี้เป็นเอกสารที่สงวนไว้สำหรับการใช้งานเพื่อการศึกษาเท่านั้น ไม่อนุญาตให้นำไปใช้ประโยชน์ด้านการค้า
ไม่ว่ากรณีใดๆ ทั้งสิ้น อีกทั้งห้ามมิให้ดัดแปลงเนื้อหาและต้องอ้างอิงถึงเจ้าของเอกสารทุกครั้งที่มีการนำไปใช้

LM108/LM208/LM308 Operational Amplifiers

General Description

The LM108 series are precision operational amplifiers having specifications a factor of ten better than FET amplifiers over a -55°C to $+125^{\circ}\text{C}$ temperature range.

The devices operate with supply voltages from $\pm 2\text{V}$ to $\pm 20\text{V}$ and have sufficient supply rejection to use unregulated supplies. Although the circuit is interchangeable with and uses the same compensation as the LM101A, an alternate compensation scheme can be used to make it particularly insensitive to power supply noise and to make supply bypass capacitors unnecessary.

The low current error of the LM108 series makes possible many designs that are not practical with conventional amplifiers. In fact, it operates from $10\text{ M}\Omega$ source resistances,

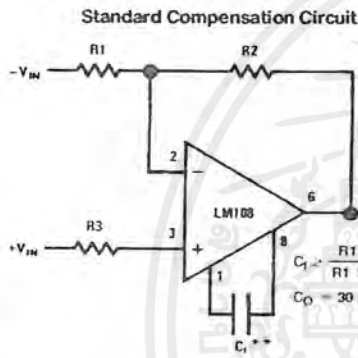
introducing less error than devices like the 709 with $10\text{ k}\Omega$ sources. Integrators with drifts less than $500\ \mu\text{V}/\text{sec}$ and analog time delays in excess of one hour can be made using capacitors no larger than $1\ \mu\text{F}$.

The LM108 is guaranteed from -55°C to $+125^{\circ}\text{C}$, the LM208 from -25°C to $+85^{\circ}\text{C}$, and the LM308 from 0°C to $+70^{\circ}\text{C}$.

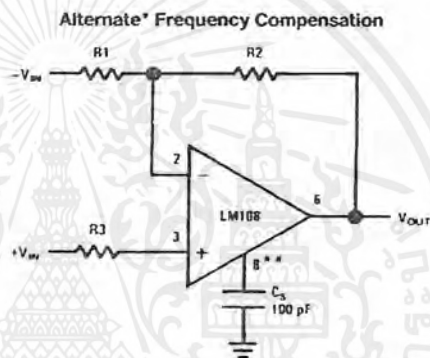
Features

- Maximum input bias current of $3.0\ \text{nA}$ over temperature
- Offset current less than $400\ \text{pA}$ over temperature
- Supply current of only $300\ \mu\text{A}$, even in saturation
- Guaranteed drift characteristics

Compensation Circuits

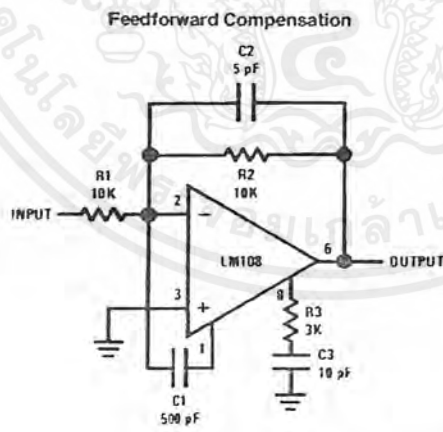


*Bandwidth and slew rate are proportional to $1/C_1$



*Improves rejection of power supply noise by a factor of ten.

**Bandwidth and slew rate are proportional to $1/C_5$



เอกสารนี้เป็นเอกสารที่สงวนไว้สำหรับการใช้งานเพื่อการศึกษาเท่านั้น ไม่อนุญาตให้นำไปใช้ประโยชน์ด้านการค้า
ไม่ว่ากรณีใดๆ ทั้งสิ้น อีกทั้งห้ามมิให้ดัดแปลงเนื้อหาและต้องอ้างอิงถึงเจ้าของเอกสารทุกครั้งที่มีการนำไปใช้

กิตติกรรมประกาศ

ปริญญานิพนธ์ฉบับนี้สำเร็จลุล่วงไปด้วยดีต้องขอขอบคุณ อาจารย์ ดร. สุทธิชัย นพนาถิพงษ์ ที่ให้คำแนะนำในการทำโปรเจกต์ และขอขอบคุณ พี่เศรษฐกร กามเมือง(ปริญญานิพนธ์โทภาคโทรมนาคม) ที่ให้คำชี้แนะและให้ยืมอุปกรณ์ในการทดลอง ขอขอบคุณพี่จรัส ปิ่นทองที่คอยให้คำปรึกษา สุดท้ายขอขอบคุณเพื่อนๆ ทุกคน ที่คอยให้กำลังใจ

หากมีข้อผิดพลาดประการใดทางผู้จัดทำยินดีรับคำชี้แนะและขออภัยมา ณ ที่นี้ด้วย

ผู้จัดทำ

นายจักรพงษ์ คำลือวงศ์

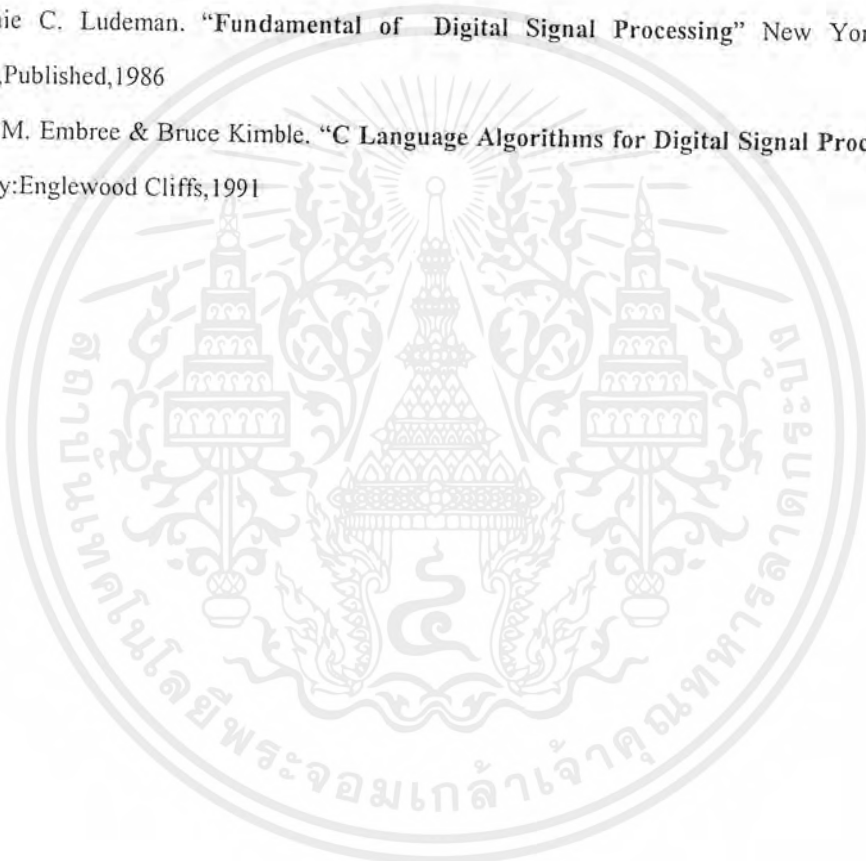
นายธีรชัย สว่างวาริ



เอกสารนี้เป็นเอกสารที่สงวนไว้สำหรับการใช้งานเพื่อการศึกษาเท่านั้น ไม่อนุญาตให้นำไปใช้ประโยชน์ด้านการค้าไม่ว่ากรณีใดๆ ทั้งสิ้น อีกทั้งห้ามมิให้ตัดแปลงเนื้อหาและต้องอ้างอิงถึงเจ้าของเอกสารทุกครั้งที่มีการนำไปใช้

บรรณานุกรม

1. ชันวา ศรีประโมง. “การเขียนโปรแกรมภาษาซี สำหรับวิศวกรรม” พิมพ์ครั้งที่ 3 . กรุงเทพมหานคร: โครงการตำราวิชาการมหาวิทยาลัยเทคโนโลยีมหานคร,2521
2. มนต์ชัย เทียนทอง. “การโปรแกรมภาษาซี” พิมพ์ครั้งที่ 1. กรุงเทพมหานคร:คณะครุศาสตร์อุตสาหกรรม สถาบันเทคโนโลยีพระจอมเกล้าพระนครเหนือ,2535
3. สิทธิชัย โกโกลยอุดม, “วงจรรขยายสัญญาณโอเพอร์เรชั่นแนล” พิมพ์ครั้งที่ 1,กรุงเทพมหานคร:คณะวิศวกรรมศาสตร์ สถาบันเทคโนโลยีพระจอมเกล้าเจ้าคุณทหารลาดกระบัง,2523
4. ชานินทร์ ถาวรศาสนวงศ์. “การอินเตอร์เฟส IBM/ PC” พิมพ์ครั้งที่1.กรุงเทพมหานคร:โครงการตำราเรียน Physics Center,2528
5. Lonnie C. Ludeman. “Fundamental of Digital Signal Processing” New York:Harper & Row,Published,1986
6. Paul M. Embree & Bruce Kimble. “C Language Algorithms for Digital Signal Processing”New Jersey:Englewood Cliffs,1991



เอกสารนี้เป็นเอกสารที่สงวนไว้สำหรับการใช้งานเพื่อการศึกษาเท่านั้น ไม่อนุญาตให้นำไปใช้ประโยชน์ด้านการค้า
ไม่ว่ากรณีใดๆ ทั้งสิ้น อีกทั้งห้ามมิให้ตัดแปลงเนื้อหาและต้องอ้างอิงถึงเจ้าของเอกสารทุกครั้งที่มีการนำไปใช้